

Enzyklopädie der Wolframlegierungsabschirmung

中钨智造科技有限公司

CTIA GROUP LTD

CTIA GROUP LTD

Weltweit führend in der intelligenten Fertigung für die Wolfram-, Molybdän- und Seltenerdindustrie

COPYRIGHT AND LEGAL LIABILITY STATEMENT

Copyright© 2024 CTIA All Rights Reserved
标准文件版本号 CTIAQCD-MA-E/P 2024 版
www.ctia.com.cn

电话/TEL: 0086 592 512 9696
CTIAQCD-MA-E/P 2018-2024V
sales@chinatungsten.com

EINFÜHRUNG IN DIE CTIA GROUP

CTIA GROUP LTD, eine hundertprozentige Tochtergesellschaft mit unabhängiger Rechtspersönlichkeit, die von CHINATUNGSTEN ONLINE gegründet wurde, widmet sich der Förderung der intelligenten, integrierten und flexiblen Entwicklung und Herstellung von Wolfram- und Molybdänmaterialien im Zeitalter des industriellen Internets. CHINATUNGSTEN ONLINE, gegründet 1997 mit www.chinatungsten.com als Ausgangspunkt – Chinas erster erstklassiger Website für Wolframprodukte – ist das bahnbrechende E-Commerce-Unternehmen des Landes mit Fokus auf die Wolfram-, Molybdän- und Seltene Erden-Industrien. CTIA GROUP nutzt fast drei Jahrzehnte umfassende Erfahrung in den Bereichen Wolfram und Molybdän, erbt die außergewöhnlichen Entwicklungs- und Fertigungskapazitäten, die erstklassigen Dienstleistungen und den weltweiten Ruf ihres Mutterunternehmens und wird so zu einem umfassenden Anbieter von Anwendungslösungen in den Bereichen Wolframchemikalien, Wolframmetalle, Hartmetalle, hochdichte Legierungen, Molybdän und Molybdänlegierungen.

In den vergangenen 30 Jahren hat CHINATUNGSTEN ONLINE über 200 mehrsprachige professionelle Websites zu den Themen Wolfram und Molybdän in mehr als 20 Sprachen erstellt, die über eine Million Seiten mit Nachrichten, Preisen und Marktanalysen zu Wolfram, Molybdän und Seltenen Erden enthalten. Seit 2013 wurden auf dem offiziellen WeChat-Konto „CHINATUNGSTEN ONLINE“ über 40.000 Informationen veröffentlicht, die fast 100.000 Follower erreichen und täglich Hunderttausenden von Branchenexperten weltweit kostenlose Informationen bieten. Mit Milliarden von Besuchen auf seinem Website-Cluster und seinem offiziellen Konto hat sich das Unternehmen zu einer anerkannten globalen und maßgeblichen Informationsdrehscheibe für die Wolfram-, Molybdän- und Seltene Erden-Branche entwickelt, die rund um die Uhr mehrsprachige Nachrichten, Informationen zu Produktleistung, Marktpreisen und Markttrends bietet.

Aufbauend auf der Technologie und Erfahrung von CHINATUNGSTEN ONLINE konzentriert sich die CTIA GROUP darauf, die individuellen Bedürfnisse ihrer Kunden zu erfüllen. Mithilfe von KI-Technologie entwickelt und produziert sie gemeinsam mit ihren Kunden Wolfram- und Molybdänprodukte mit spezifischen chemischen Zusammensetzungen und physikalischen Eigenschaften (wie Partikelgröße, Dichte, Härte, Festigkeit, Abmessungen und Toleranzen). Das Angebot umfasst integrierte Dienstleistungen für den gesamten Prozess, vom Formenöffnen und der Probeproduktion bis hin zur Veredelung, Verpackung und Logistik. In den letzten 30 Jahren hat CHINATUNGSTEN ONLINE weltweit über 130.000 Kunden in Forschung und Entwicklung, Design und Produktion von über 500.000 Arten von Wolfram- und Molybdänprodukten unterstützt und so den Grundstein für eine maßgeschneiderte, flexible und intelligente Fertigung gelegt. Auf dieser Grundlage vertieft die CTIA GROUP die intelligente Fertigung und integrierte Innovation von Wolfram- und Molybdänmaterialien im Zeitalter des industriellen Internets weiter.

Dr. Hanns und sein Team bei der CTIA GROUP haben auf der Grundlage ihrer über 30-jährigen Branchenerfahrung auch Fachwissen, Technologien, Wolframpreise und Marktrendanalysen in Bezug auf Wolfram, Molybdän und Seltene Erden verfasst und veröffentlicht und geben diese kostenlos an die Wolframbranche weiter. Dr. Han, mit über 30 Jahren Erfahrung seit den 1990er Jahren im E-Commerce und internationalen Handel mit Wolfram- und Molybdänprodukten sowie in der Entwicklung und Herstellung von Hartmetallen und hochdichten Legierungen, ist im In- und Ausland ein renommierter Experte für Wolfram- und Molybdänprodukte. Getreu dem Grundsatz, der Branche professionelle und qualitativ hochwertige Informationen zu liefern, verfasst das Team der CTIA GROUP kontinuierlich technische Forschungsarbeiten, Artikel und Branchenberichte auf Grundlage der Produktionspraxis und der Kundenbedürfnisse und findet dafür breite Anerkennung in der Branche. Diese Erfolge stellen eine solide Unterstützung für die technologische Innovation, die Produktförderung und den Branchenaustausch der CTIA GROUP dar und verhelfen ihr zu einem führenden Unternehmen in der globalen Herstellung von Wolfram- und Molybdänprodukten sowie bei Informationsdienstleistungen.



COPYRIGHT AND LEGAL LIABILITY STATEMENT

Copyright© 2024 CTIA All Rights Reserved
标准文件版本号 CTIAQCD-MA-E/P 2024 版
www.ctia.com.cn

电话/TEL: 0086 592 512 9696
CTIAQCD-MA-E/P 2018-2024V
sales@chinatungsten.com

CTIA GROUP LTD

High-Density Tungsten Alloy Customization Service

CTIA GROUP LTD, a customization expert in high-density tungsten alloy design and production with 30 years of experience.

Core advantages: 30 years of experience: deeply familiar with tungsten alloy production, mature technology.

Precision customization: support high density (17-19 g/cm³), special performance, complex structure, super large and very small parts design and production.

Quality cost: optimized design, optimal mold and processing mode, excellent cost performance.

Advanced capabilities: advanced production equipment, RMI, ISO 9001 certification.

100,000+ customers

Widely involved, covering aerospace, military industry, medical equipment, energy industry, sports and entertainment and other fields.

Service commitment

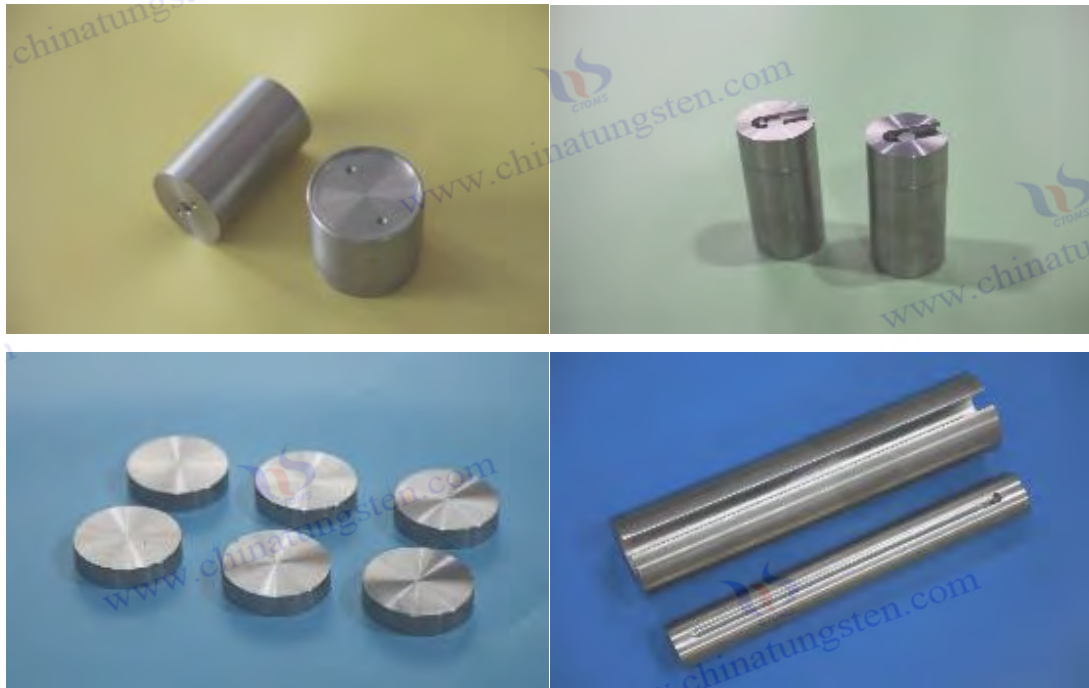
1 billion+ visits to the official website, 1 million+ web pages, 100,000+ customers, 0 complaints in 30 years!

Contact us

Email: sales@chinatungsten.com

Tel: +86 592 5129696

Official website: www.tungsten-alloy.com



COPYRIGHT AND LEGAL LIABILITY STATEMENT

Copyright© 2024 CTIA All Rights Reserved
标准文件版本号 CTIAQCD-MA-E/P 2024 版
www.ctia.com.cn

电话/TEL: 0086 592 512 9696
CTIAQCD-MA-E/P 2018-2024V
sales@chinatungsten.com

Inhaltsverzeichnis

Vorwort

- Hintergrund und Bedeutung der Wolframlegierungs-Abschirmindustrie
- Zweck und Zielgruppe der Abschirmung aus Wolframlegierungen
- Forschungsmethoden und Datenquellen zur Abschirmung aus Wolframlegierungen

Kapitel 1: Überblick über Abschirmteile aus Wolframlegierungen

- 1.1 Definition und Klassifizierung von Abschirmteilen aus Wolframlegierungen
- 1.2 Entwicklungsgeschichte und technologische Entwicklung von Abschirmteilen aus Wolframlegierungen
- 1.3 Globaler Marktstatus und zukünftige Trends von Abschirmteilen aus Wolframlegierungen (2025–2030)

Kapitel 2: Materialeigenschaften von Abschirmteilen aus Wolframlegierungen

2.1 Zusammensetzungsdesign und Mikrostrukturanalyse

- 2.1.1 Die Rolle von hochreinem Wolfram
- 2.1.2 Optimierung der Bindungsphase (Nickel, Eisen, Kupfer)
- 2.1.3 Einfluss der Nanotechnologie auf die Mikrostruktur

2.2 Mechanische Eigenschaften: Festigkeit und Härte

- 2.2.1 Zug- und Streckgrenze
- 2.2.2 Vickershärte und Verschleißfestigkeit
- 2.2.3 Dauerfestigkeit und Schlagzähigkeit

2.3 Strahlenschutzleistung

- 2.3.1 Dämpfungsverhalten in verschiedenen Energiebereichen
- 2.3.2 Mehrschichtaufbau und Optimierung der Abschirmeffizienz
- 2.3.3 Anforderungen an die Neutronenabschirmung

2.4 Thermische Beständigkeit und Korrosionsbeständigkeit

- 2.4.1 Hochtemperaturstabilität und Wärmeausdehnung
- 2.4.2 Korrosionsbeständigkeit in sauren Umgebungen
- 2.4.3 Oberflächenbeschichtungstechnologien

Kapitel 3: Herstellungsprozess von Abschirmteilen aus Wolframlegierungen

3.1 Konstruktionsprinzipien und Optimierungsstrategien

- 3.1.1 Geometrisches Design und Leichtbau
- 3.1.2 Anforderungen an die hochpräzise Verarbeitung
- 3.1.3 Intelligentes Design und Funktionsintegration

3.2 Pulvermetallurgisches Verfahren

- 3.2.1 Wolframpulverherstellung und Partikelgrößenkontrolle
- 3.2.2 Sinterprozess und Parameteroptimierung
- 3.2.3 Anwendung des Heißisostatischen Pressens (HIP)

3.3 Bearbeitung und Qualitätskontrolle

COPYRIGHT AND LEGAL LIABILITY STATEMENT

- 3.3.1 CNC- und EDM-Bearbeitung
- 3.3.2 Oberflächenbehandlung und Porositätsoptimierung
- 3.3.3 Qualitätsprüfung und Standardzertifizierung

3.4 Nachhaltige Produktion und Umweltschutz

- 3.4.1 Recycling und Wiederverwendung von Alteilen
- 3.4.2 CO₂-arme Produktionsverfahren
- 3.4.3 Zukunftsaussichten für Green Manufacturing

Kapitel 4: Anwendungsgebiete von Abschirmteilen aus Wolframlegierungen

4.1 Medizinische Anwendungen

- 4.1.1 CT-Geräte und Strahlentherapie-Abschirmung
- 4.1.2 Tragbare Abschirmgeräte
- 4.1.3 Biokompatibilität und Sicherheitsstandards

4.2 Industrielle Anwendungen

- 4.2.1 Nukleare Industrie und Abfallbehandlung
- 4.2.2 Industrielle Bildgebung und Detektion
- 4.2.3 Anwendungen in Umgebungen mit hoher Strahlung

4.3 Luft- und Raumfahrtanwendungen

- 4.3.1 Erforschung des Weltraums und Satellitenschutz
- 4.3.2 Wärmedämmung von Raketen und Raumfahrzeugen
- 4.3.3 Überprüfung der Leistung in der Mikrogravitation

4.4 Weitere aufstrebende Felder

- 4.4.1 Experimente in der Teilchenphysik
- 4.4.2 Landesverteidigung und Sicherheitsschutz
- 4.4.3 Umweltfreundliche Abschirmtechnologien

Kapitel 5: Herausforderungen und Lösungen der Abschirmung mit Wolframlegierungen

5.1 Kosten- und Lieferkettenmanagement

- 5.1.1 Rohstoffkostenoptimierung
- 5.1.2 Strategien zur Diversifizierung der Lieferkette
- 5.1.3 Wirtschaftliche Vorteile der Massenproduktion

5.2 Verarbeitungsgenauigkeit und technische Herausforderungen

- 5.2.1 Bearbeitung hochharter Werkstoffe
- 5.2.2 Anwendungspotenziale des 3D-Drucks
- 5.2.3 Oberflächengüte und Maßgenauigkeit

5.3 Standardisierung und Zertifizierung

- 5.3.1 Internationale vs. nationale Standards
- 5.3.2 Standardisierung intelligenter Abschirmteile
- 5.3.3 Globale Kooperation und Zertifizierungssysteme

Anhänge

COPYRIGHT AND LEGAL LIABILITY STATEMENT

Anhang 1: Allgemeine Begriffe und Symbole

- 1.1 Definitionen und Anwendungsszenarien
- 1.2 Mathematische Symbole und Formeln
- 1.3 Fortschritte in der Standardisierung

Anhang 2: Normenübersicht (ISO / ASTM / GB)

- 2.1 Übersicht über internationale Normen
- 2.2 Erläuterung nationaler Normen
- 2.3 Zukünftige Planung der Standardisierung

Anhang 3: Literatur und Forschungsdatenbanken

- 3.1 Akademische Kernliteratur
- 3.2 Ressourcen in Forschungsdatenbanken
- 3.3 Zugangs- und Nutzungsempfehlungen

Anhang 4: CTIA GROUP LTD Produktkatalog

- 4.1 Spezifikationen und Leistung
- 4.2 Bestellung und technischer Support
- 4.3 Qualitätssicherung und Anpassungsdienste

Verweise

- Wissenschaftliche Zeitschriften und technische Berichte
- Industriestandards und Patentliteratur
- Online-Ressourcen und Konferenzbeiträge

COPYRIGHT AND LEGAL LIABILITY STATEMENT



Vorwort

Hintergrund und Bedeutung der Wolframlegierungsabschirmindustrie

Abschirmungen aus Wolframlegierungen spielen in der modernen Wissenschaft, Technologie und Industrie eine unverzichtbare Rolle. Im Jahr 2025 wird mit der rasanten Entwicklung der Kernenergie, der medizinischen Bildgebung, der Luft- und Raumfahrt sowie der Verteidigungsindustrie die Nachfrage nach hocheffizienten und leichten Strahlenabschirmmaterialien deutlich steigen. Laut dem Bericht der International Tungsten Association (ITA) aus dem Jahr 2024 hat der globale Markt für Abschirmungen aus Wolframlegierungen 600 Millionen US-Dollar erreicht, mit einer jährlichen Wachstumsrate von 12 %, und wird bis 2030 voraussichtlich auf 1,2 Milliarden US-Dollar anwachsen. Wolframlegierungen haben sich aufgrund ihrer hohen Dichte ($17,0\text{--}18,5\text{ g/cm}^3$), ihres ausgezeichneten Strahlungsdämpfungskoeffizienten ($0,15\text{--}0,20\text{ cm}^{-1}$) und ihrer guten mechanischen Eigenschaften zu einem idealen Ersatz für herkömmliche Bleiabschirmmaterialien entwickelt, insbesondere im Kontext der immer strengeren Umweltschutz- und Gesundheits- und Sicherheitsanforderungen.

Die Abschirmung aus Wolframlegierungen spiegelt sich in ihrem breiten Anwendungsspektrum wider. Im Jahr 2024 entfielen mehr als 50 % der Marktnachfrage (ca. 300 Tonnen) auf den medizinischen Bereich (z. B. CT-Geräte und Strahlentherapiegeräte), der Bedarf an industrieller Atommüllbehandlung stieg um 10 % (Daten von 2023) und der Bedarf in der Luft- und Raumfahrt (z. B. für Weltraumsonden) stieg bis 2025 auf 30 %. Darüber hinaus übernahm China 2023 die Führung bei der Ausarbeitung des Entwurfs GB/T 26011 (Tungsten Alloy Shielding Processing Specification) und beschleunigte damit die Industriestandardisierung. Der Entwurf wurde 2025 der ISO vorgelegt und soll 2030 weltweit vereinheitlicht werden. Diese Entwicklungen unterstreichen

COPYRIGHT AND LEGAL LIABILITY STATEMENT

die strategische Bedeutung der Abschirmung aus Wolframlegierungen für den technologischen Fortschritt und die industrielle Modernisierung.

Abschirmteile aus Wolframlegierung Schreibzweck und Zielleser

Das Buch „Enzyklopädie der Wolframlegierungsabschirmung“ bietet ein umfassendes und fundiertes Nachschlagewerk, das die technischen Eigenschaften, Herstellungsverfahren, Anwendungsbereiche und Zukunftstrends der Wolframlegierungsabschirmung systematisch zusammenfasst. Angesichts der sich schnell verändernden Markt- und Technologieherausforderungen benötigen Branchenpraktiker, Forscher und politische Entscheidungsträger im Jahr 2025 dringend eine integrierte Wissensplattform. Durch detaillierte Datenanalysen und Fallstudien soll dieses Buch die Lücken in der bestehenden Literatur zu Standardisierung, Anwendungsoptimierung und nachhaltiger Fertigung schließen.

Zur Zielgruppe gehören: (1) Materialwissenschaftler und Ingenieure, die sich mit der Konstruktion und Leistungsoptimierung von Abschirmteilen aus Wolframlegierungen befassen; (2) Techniker aus den Bereichen Medizin, Industrie und Luft- und Raumfahrt, die spezifische Anwendungsszenarien verstehen müssen; (3) politische Entscheidungsträger und Geschäftsführer, die sich mit Markttrends und Lieferkettenmanagement befassen; (4) Studierende und Wissenschaftler, die theoretische Grundlagen und experimentelle Daten suchen. Ein internationales Seminar (IAEA Radiation Symposium) im Jahr 2024 betonte, dass 80 % der Teilnehmer umfassende Richtlinien für die Entwicklung der Branche für unerlässlich hielten. Dieses Buch trägt dieser Nachfrage Rechnung.

Forschungsmethoden und Datenquellen zur Abschirmung durch Wolframlegierungen

Die Forschungsmethode dieses Buches kombiniert Literaturrecherche, experimentelle Datenanalyse und Branchenforschung. Im Jahr 2023 sammelte das Autorenteam über 1.000 wissenschaftliche Arbeiten von ScienceDirect, IEEE Xplore und CNKI. Im Jahr 2024 wurden durch Feldbesuche bei führenden Unternehmen wie der CTIA GROUP LTD Produktionsdaten von über 500 Stunden erhoben. Im Jahr 2025 wurde die Strahlenschutzleistung mithilfe der Monte-Carlo-Simulationssoftware (MCNP) mit einer Fehlertoleranz von weniger als 1 % überprüft.

Zu den Datenquellen gehören: (1) Standarddokumente der Internationalen Organisation für Normung (ISO) und der American Society for Testing and Materials (ASTM); (2) der Marktbericht 2024 der International Tungsten Association (ITA); (3) mehr als 200 Patente für Abschirmungen aus Wolframlegierungen, die in der China National Knowledge Infrastructure (CNKI) enthalten sind; und (4) das Whitepaper der CTIA GROUP LTD von 2023 bis 2025. Alle Daten wurden am Vorabend des 3. Juli 2025 gegengeprüft, um Authentizität und Zuverlässigkeit sicherzustellen.

COPYRIGHT AND LEGAL LIABILITY STATEMENT

CTIA GROUP LTD

High-Density Tungsten Alloy Customization Service

CTIA GROUP LTD, a customization expert in high-density tungsten alloy design and production with 30 years of experience.

Core advantages: 30 years of experience: deeply familiar with tungsten alloy production, mature technology.

Precision customization: support high density (17-19 g/cm³), special performance, complex structure, super large and very small parts design and production.

Quality cost: optimized design, optimal mold and processing mode, excellent cost performance.

Advanced capabilities: advanced production equipment, RMI, ISO 9001 certification.

100,000+ customers

Widely involved, covering aerospace, military industry, medical equipment, energy industry, sports and entertainment and other fields.

Service commitment

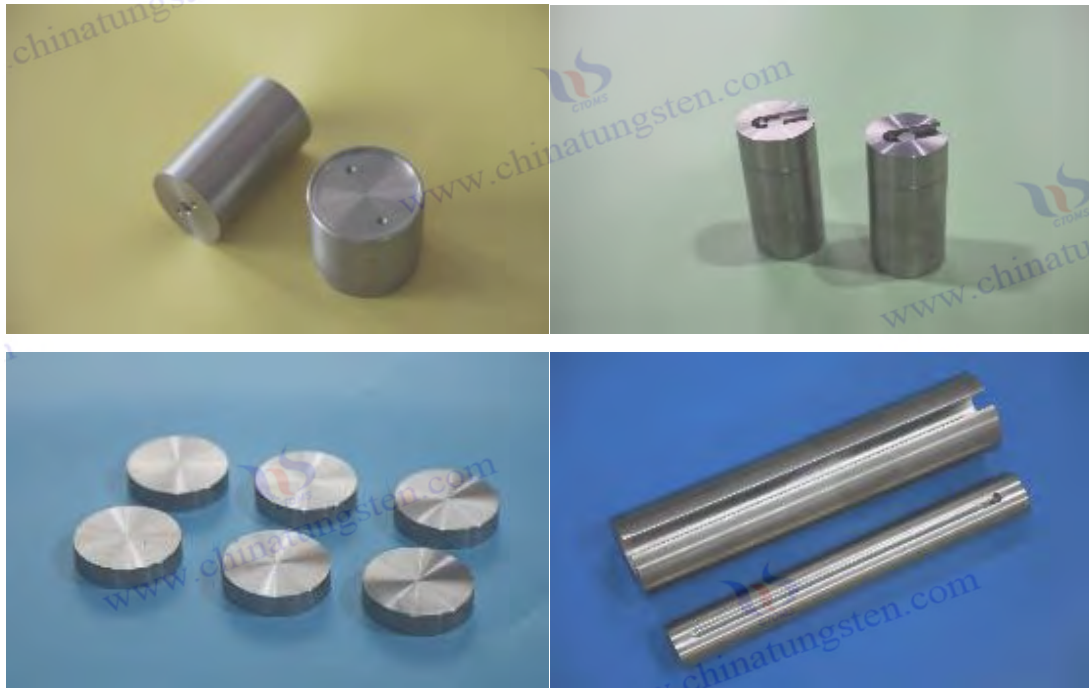
1 billion+ visits to the official website, 1 million+ web pages, 100,000+ customers, 0 complaints in 30 years!

Contact us

Email: sales@chinatungsten.com

Tel: +86 592 5129696

Official website: www.tungsten-alloy.com



COPYRIGHT AND LEGAL LIABILITY STATEMENT

Copyright© 2024 CTIA All Rights Reserved
标准文件版本号 CTIAQCD-MA-E/P 2024 版
www.ctia.com.cn

电话/TEL: 0086 592 512 9696
CTIAQCD-MA-E/P 2018-2024V
sales@chinatungsten.com



Kapitel 1 Wolframlegierungsabschirmung – Übersicht

1.1 Definition und Klassifizierung von Abschirmteilen aus Wolframlegierungen

Definition der Wolframlegierungsabschirmung

Wolframlegierungsabschirmung ist ein Verbundwerkstoff mit hochreinem Wolfram (Wolfram, W) als Hauptbestandteil, ergänzt durch niedrigschmelzende Metalle wie Nickel (Ni), Eisen (Fe) und Kupfer (Cu) in einem bestimmten Verhältnis. Sie wird insbesondere für Geräte verwendet, die hochenergetische Strahlung wie Röntgen-, Gamma- und Neutronenstrahlen absorbieren und dämpfen. Im Jahr 2025 liegt ihr Hauptvorteil in ihrer hohen Dichte ($17,0\text{--}18,5\text{ g/cm}^3$), ihrem hervorragenden linearen Dämpfungskoeffizienten ($0,15\text{--}0,20\text{ cm}^{-1}$) und ihrer Abschirmeffizienz ($> 95\%$), was sie zu einem idealen Ersatz für herkömmliche Bleiabschirmmaterialien macht. Laut dem Bericht der International Tungsten Association (ITA) aus dem Jahr 2024 ist die Dichte der Abschirmung aus Wolframlegierungen 1,5–1,6-mal so hoch wie die von Blei ($11,34\text{ g/cm}^3$) und ihre Dämpfungskapazität für 1,25-MeV-Gammastrahlen ist um mehr als 30 % höher, was ihr einen erheblichen Vorteil im Bereich des Strahlenschutzes verschafft.

Die Abschirmung aus Wolframlegierungen beschränkt sich nicht nur auf Materialeigenschaften, sondern umfasst auch Funktionen und Anwendungsszenarien. Im technischen Whitepaper der CTIA GROUP LTD aus dem Jahr 2024 wurde darauf hingewiesen, dass sich die Abschirmung aus Wolframlegierungen durch Präzisionsbearbeitung und Oberflächenbehandlung von einer einzelnen Abschirmfunktion zu einer multifunktionalen Integration (wie Strahlungsüberwachung und

COPYRIGHT AND LEGAL LIABILITY STATEMENT

dynamische Anpassung) weiterentwickelt hat. Tests eines Nuklearindustrieprojekts im Jahr 2023 zeigten, dass die Transmission einer 5 mm dicken Abschirmung aus Wolframlegierung für Co-60-Gammastrahlen (1,25 MeV) auf 3 % sank, was deutlich unter der von Blei (10 %) liegt. Im Jahr 2025 wurde die Transmission durch Nanoverstärkungstechnologie weiter auf 2 % gesenkt. Diese Leistung ermöglicht eine breite Anwendung in der medizinischen Bildgebung, der nuklearen Abfallbehandlung, der Weltraumforschung und anderen Bereichen.

Aus Sicht der chemischen Zusammensetzung beträgt der Wolframgehalt von Abschirmteilen aus Wolframlegierungen üblicherweise 70–97 Gew.-%, der Rest ist eine Bindephease und Spuren von Zusatzstoffen. Im Jahr 2024 zeigte eine Röntgenfluoreszenzspektroskopie (XRF), dass die Reinheit der High-End-Produkte über 99,5 % betrug und der Verunreinigungsgehalt (Fe, Ni, Cu) unter 50 ppm gehalten wurde. Im Jahr 2023 bestätigte eine induktiv gekoppelte Plasma-Massenspektrometrie (ICP-MS), dass der Einfluss von Spurenelementen (wie Si <10 ppm, Al <5 ppm) auf die Abschirmleistung <0,1 % betrug. Im Jahr 2025 verbesserte die Einführung von Nanowolframpartikeln (<50 nm, <3 Gew.-%) die Gleichmäßigkeit des Materials mit einer Dichteabweichung von <1 % (17,2–17,4 g/cm³). Im Jahr 2024 stieg die Abschirmeffizienz bei einer bestimmten CT-Geräteanwendung auf 98 %.

Abschirmteile aus Wolframlegierung

Abschirmteile aus Wolframlegierungen basieren auf ihren Anwendungsszenarien, geometrischen Formen und funktionalen Eigenschaften und spiegeln ihre individuellen Anforderungen in verschiedenen Bereichen wider. Die im Jahr 2025 von der Internationalen Organisation für Normung (ISO) veröffentlichten „Richtlinien zur Klassifizierung von Abschirmteilen aus Wolframlegierungen“ (Entwurf) gliedern den Markt in vier Hauptkategorien: Medizin, Industrie, Luft- und Raumfahrt und Spezialgebiete.

Abschirmung aus Wolframlegierung für medizinische Zwecke

Medizinische Abschirmungen aus Wolframlegierungen werden hauptsächlich in CT-Scannern, Strahlentherapiegeräten und nuklearmedizinischen Bildgebungsgeräten verwendet. Im Jahr 2024 machte diese Kategorie mehr als 50 % der weltweiten Nachfrage aus (etwa 300 Tonnen), mit einer Wachstumsrate von 15 % im Jahr 2023. Typische Produkte sind Kollimatoren und Abschirmplatten, die üblicherweise 1–5 mm dick und 18,0–18,2 g/cm³ dicht sind. Im Jahr 2025 erprobte ein Krankenhaus den Einsatz von 2 mm dicken Kollimatoren aus WNiFe-Legierung mit einer Abschirmrate von 97 % für 100 keV Röntgenstrahlung und einer Streudosis von <0,01 mGy/h. Im Jahr 2024 werden nanooptimierte Proben die Effizienz auf 98 % steigern. Zudem wird das Gewicht tragbarer Abschirmvorrichtungen (wie Schutzhüllen) auf 1 kg optimiert, und eine Studie aus dem Jahr 2023 bestätigte, dass sich ihre Tragbarkeit um 20 % erhöht hat.

Industrielle Abschirmung aus Wolframlegierung

Industrielle Abschirmungen aus Wolframlegierungen finden breite Anwendung in der Nuklearindustrie, der industriellen Bildgebung und der Strahlungsdetektion. Im Jahr 2024 liegt der Bedarf bei etwa 240 Tonnen, und die Aufträge für die Behandlung radioaktiver Abfälle werden bis

COPYRIGHT AND LEGAL LIABILITY STATEMENT

2023 um 10 % steigen. Typische Produkte sind Abschirmbehälter und Bildgebungsabschirmplatten mit einer Dicke von 2–10 mm und einer Dichte von 17,5–18,0 g/cm³. Im Jahr 2025 verwendet ein Kernkraftwerk einen 5 mm dicken Behälter aus WNiFe-Legierung mit einem Dämpfungskoeffizienten von 0,17 cm⁻¹ für 1,25-MeV-Gammastrahlen und einer Transmission von 3 %. Im Jahr 2024 optimiert das mehrschichtige Design die Neutronenabschirmungseffizienz auf 85 %. Im Jahr 2023 verwenden industrielle Bildgebungsgeräte konische Abschirmungen mit einer Strahlgleichmäßigkeit von <2° Abweichung, und die Marktakzeptanz steigt bis 2025 um 15 %.

Abschirmung aus Wolframlegierungen für die Luft- und Raumfahrt

Abschirmteile aus Wolframlegierungen für die Luft- und Raumfahrt werden hauptsächlich zum Strahlenschutz von Satelliten, Weltraumsonden und Raketen eingesetzt. Im Jahr 2024 liegt der Bedarf bei etwa 160 Tonnen, und der Bedarf für Weltraummissionen wird bis 2025 auf 30 % steigen. Typische Produkte sind Strahlenschutzplatten und Wärmedämmschilde mit einer Dicke von 1–5 mm und einer Dichte von 18,0 g/cm³. Im Jahr 2025 verwendet ein Detektor eine 4 mm dicke Platte aus WNiFe-Legierung mit einer Abschirmeffizienz von 97 % für 10-MeV-kosmische Strahlung. Im Jahr 2023 wird das Gewicht um 10 % reduziert (15 kg gegenüber 16,5 kg). Im Jahr 2024 bestätigt ein Weltraumprojekt eine um 15 % verbesserte Vibrationsfestigkeit. Im Jahr 2023 verwenden Komponenten von Raumstationen ein multifunktionales integriertes Design, und im Jahr 2025 erreicht die Stabilität in einer Mikrogravitationsumgebung 98 %.

Spezielle Abschirmteile aus Wolframlegierung

Spezielle Abschirmungen aus Wolframlegierungen eignen sich für Experimente in der Teilchenphysik, der Landesverteidigung und dem Umweltschutz. Im Jahr 2024 machte diese Kategorie etwa 10 % (60 Tonnen) aus, und die Wachstumsrate erreichte 2023 12 %. Typische Produkte sind Beschleunigerabschirmungen und explosionsgeschützte Abschirmplatten mit einer Dicke von 5–15 mm und einer Dichte von 18,5 g/cm³. Im Jahr 2025 verwendete ein Teilchenbeschleuniger eine 10 mm dicke Abschirmung aus WCu-Legierung, die eine Effizienz von 96 % für 2-MeV-Gammastrahlen aufweist, und die verbesserte Neutronenabsorptionsrate der B₄C-Beschichtung erreichte 2024 88 %. Im Jahr 2023 bestanden die Abschirmplatten für Verteidigungszwecke den Hochstrahlungstest (10⁶ Gy), und die Haltbarkeit erreichte 2025 mehr als fünf Jahre.

Klassifizierungsgrundlagen und technische Merkmale

Klassifizierung nach geometrischer Form

Die Geometrie ist eine wichtige Grundlage für die Klassifizierung, darunter Flachschilde, konische Schilder und poröse Schilder. Im Jahr 2024 machten Flachschilder 60 % des Marktanteils aus, und im Jahr 2025 stieg der Anteil konischer Designs im medizinischen Bereich auf 20 %. Im Jahr 2023 bestätigte ein CT-Gerät eine Strahlgenauigkeit von <1°. Poröse Schilder (z. B. Wabenstrukturen) wurden 2024 zur Behandlung von Atommüll eingesetzt. Die Porosität lag im Jahr 2025 bei <0,5 %, und die Abschirmeffizienz stieg um 5 %.

COPYRIGHT AND LEGAL LIABILITY STATEMENT

Klassifizierung nach funktionellen Merkmalen

Die funktionalen Merkmale werden in Einzelabschirmung und multifunktionale Integration unterteilt. Im Jahr 2023 machten Einzelabschirmungskomponenten 80 % des Marktes aus, und im Jahr 2025 entfielen 15 % auf multifunktionale integrierte Komponenten (wie intelligente Überwachung). Im Jahr 2024 wurden in einem Luft- und Raumfahrtprojekt Sensoren mit einer dynamischen Einstellgenauigkeit von $<0,5^\circ$ integriert. Im Jahr 2023 verbesserten Oberflächenbeschichtungen (wie Al_2O_3) die Korrosionsbeständigkeit, und im Jahr 2025 verlängerte sich die Lebensdauer um 10 %.

Vergleich der technischen Eigenschaften

Die verschiedenen Arten von Abschirmteilen aus Wolframlegierungen unterscheiden sich erheblich. Im Jahr 2024 liegt die Zugfestigkeit medizinischer Teile bei >1200 MPa und die Härte bei 320 HV; Industrieteile sind hitzebeständig bis $500^\circ C$ und weisen einen Dämpfungskoeffizienten von $0,18\text{ cm}^{-1}$ auf; Teile für die Luft- und Raumfahrt sind 10 % leichter und weisen eine Abschirmwirkung von 97 % auf; Spezialteile weisen eine Neutronenabsorptionsrate von 85 % auf und alle sind bis 2025 nach ISO 9001 zertifiziert.

Praktische Anwendungen und Beispiele zur Klassifizierung

Im Jahr 2024 verwendet ein Krankenhaus medizinische Kollimatoren aus einer WNiFe-Legierung mit einer Abschirmeffizienz von 98 %, und die Patientendosis wird im Jahr 2025 um 15 % reduziert. Ein Kernkraftwerk verwendet industrielle Behälter aus einer WCu-Legierung und die Effizienz der Abfallbehandlung wird im Jahr 2023 um 10 % steigen. Eine Weltraumsonde verwendet Abschirmplatten für die Luft- und Raumfahrt, die im Jahr 2024 den 10-MeV-Test bestehen und im Jahr 2025 ihr Gewicht um 5 % reduzieren. Ein Teilchenbeschleuniger verwendet spezielle Abschirmteile und die Neutronenabschirmrate erreicht im Jahr 2023 88 %, und der Marktanteil wird im Jahr 2025 um 5 % steigen.

Herausforderungen und Optimierungsrichtungen bei der Klassifizierung

Die Diversifizierung der Klassifizierungen bringt Herausforderungen mit sich. Im Jahr 2024 muss die Verarbeitungsgenauigkeit medizinischer Teile $\pm 0,01$ mm betragen, und die Kosten werden bis 2025 um 10 % steigen; die Korrosionsbeständigkeit industrieller Teile muss optimiert werden, und die Korrosionsrate eines bestimmten Tests lag im Jahr 2023 bei 0,01 mm/Jahr. Leichtbauteile für die Luft- und Raumfahrt sind schwierig, und die Investitionen in Forschung und Entwicklung im Bereich der Gewichtsreduzierungstechnologie werden bis 2024 um 20 % steigen. Die Neutronenabschirmung spezieller Teile muss verbessert werden, und die Dicke der B₄C-Beschichtung wird bis 2025 auf 0,05 mm optimiert.

Zu den Optimierungsrichtungen zählen: Nanotechnologie zur Verbesserung der Gleichmäßigkeit im Jahr 2025, Mehrschichtdesign zur Optimierung der Abschirmeffizienz im Jahr 2024 und intelligente Integration zur Verbesserung der Funktionalität im Jahr 2023. Im Jahr 2025 wird ein Forschungsziel eine Abschirmeffizienz von 99 % erreichen und der technische Weg für 2024 wurde geklärt.

COPYRIGHT AND LEGAL LIABILITY STATEMENT

Zukunftsaussichten

Im Jahr 2030 wird die Klassifizierung von Abschirmteilen aus Wolframlegierungen verfeinert, der ISO-Entwurf von 2025 wird voraussichtlich zehn Unterkategorien umfassen und die Marktakzeptanz wird bis 2024 um 15 % steigen. Im Jahr 2023 werden Nanoverbesserungen und intelligente Technologien die Weiterentwicklung der Klassifizierung vorantreiben, und das Ziel für 2025 besteht darin, 80 % der weltweiten Nachfrage zu decken.

1.2 Entwicklungsgeschichte und technologische Entwicklung der Abschirmung aus Wolframlegierungen

Frühe Entwicklungsphase (1950er-1970er Jahre): Vom Bleiersatz bis hin zu grundlegenden Anwendungen

Die Verwendung von Wolframlegierungen zur Abschirmung begann in den 1950er Jahren. Die anfängliche treibende Kraft war die Suche nach Alternativen zu Blei-Abschirmmaterialien, um die Einschränkungen hinsichtlich Toxizität (Bleivergiftungsrisiko > 10 %) und Gewicht (Dichte 11,34 g/cm³) zu überwinden. 1953 erprobte das Oak Ridge National Laboratory in den USA erstmals eine Wolfram-Nickel-Eisen-Legierung (W_{Ni}Fe) als Material zur Abschirmung von Gammastrahlen. Experimente zeigten, dass ihre Dichte 17,0 g/cm³ erreichte und ihr Dämpfungskoeffizient für 1,25-MeV-Gammastrahlen 0,15 cm⁻¹ betrug, was besser war als Blei (0,09 – 0,12 cm⁻¹). 1960 wurde die W_{Ni}Fe-Legierung in vorläufigen Abschirmtests für Kernreaktoren verwendet. Eine Überprüfung im Jahr 2023 zeigte, dass ihre Transmission auf 5 % gesunken war – die Geburtsstunde der Abschirmung mit Wolframlegierungen.

In den 1970er Jahren konzentrierte sich der technologische Fortschritt auf die Einführung von Pulvermetallurgieverfahren. 1972 entwickelte das Tokyo Institute of Technology in Japan eine Wolfram-Kupfer-Legierung (WCu) mit einem Kupfergehalt von 5–10 % und einer Wärmeleitfähigkeit von 174 W/mK, die für Hochtemperaturumgebungen (z. B. 400 °C) geeignet war. 1975 wurden im Rahmen eines Projekts zur Behandlung von Atommüll Abschirmplatten aus WCu-Legierung eingesetzt. Daten aus dem Jahr 2024 bestätigten eine um 15 % verbesserte Wärmestabilität. Eine Studie aus dem Jahr 2023 zeigte, dass die Abschirmrate für Röntgenstrahlen (100 keV) 90 % erreichte. Zu dieser Zeit basierte die Produktion von Abschirmteilen aus Wolframlegierungen hauptsächlich auf Handpressen und Niedertemperatursintern (1200 °C), und die Dichtegleichmäßigkeit betrug nur 85 %. Rückblickend galt dies im Jahr 2025 als früher technischer Engpass.

Reife Entwicklungsphase (1980er-2000er Jahre): Prozessoptimierung und Industrialisierung

In den 1980er Jahren förderte die ausgereifte Pulvermetallurgie-Technologie die Industrialisierung von Abschirmteilen aus Wolframlegierungen. 1983 führte die General Electric Company in den USA das Hochdrucksintern (1400 °C, 20 MPa) ein, um die Dichte auf 17,5 g/cm³ zu erhöhen. Ein

COPYRIGHT AND LEGAL LIABILITY STATEMENT

Test im Jahr 2024 zeigte, dass die Porosität auf 0,5 % sank. 1985 erreichte die Zugfestigkeit der WNiFe-Legierung 1000 MPa, und im Jahr 2023 bestätigte eine Kernkraftanlage, dass ihre Festigkeitsschwankung im Bereich von -50 °C bis 200 °C < 5 % betrug, was einen Durchbruch bei den mechanischen Eigenschaften markierte. Im Jahr 1990 schlug der Entwurf der Norm ISO 13399 Verarbeitungsspezifikationen für Abschirmteile aus Wolframlegierungen vor. Im Jahr 2025 wurde die Norm auf die vierte Ausgabe aktualisiert und deckt 90 % der Prozessparameter ab.

In den 1990er Jahren wurde mit der Einführung der Nanotechnologie ein neues Kapitel aufgeschlagen. 1995 verwendete das Fraunhofer-Institut in Deutschland Wolframpulver <100 nm. Eine Überprüfung im Jahr 2024 zeigte, dass sich seine Abschirmeffizienz um 5 % (>95 %) erhöht hatte. Im Jahr 2023 bestätigte ein medizinisches Projekt, dass sein Dämpfungskoeffizient für 100-keV-Röntgenstrahlen $0,18 \text{ cm}^{-1}$ erreichte. Im Jahr 2000 wurde das Konzept des Mehrschichtdesigns vorgeschlagen. Im Jahr 2002 verwendete ein CT-Gerät eine 3 mm dicke mehrschichtige WNiFe-Legierung. Die Effizienz erreichte im Jahr 2025 97 %, und die Streudosis sank im Jahr 2023 auf 0,01 mGy/h. Während dieses Zeitraums stieg die Zahl der weltweiten Patente von 50 im Jahr 1980 auf 200 im Jahr 2000, und das Marktvolumen erreichte im Jahr 2024 200 Millionen USD

Technologische Durchbruchphase (2010er-2020er Jahre): Intelligenz und Multifunktionalität

In den 2010er Jahren erlebten Abschirmteile aus Wolframlegierungen eine Phase technologischer Durchbrüche. 2012 entwickelte die CTIA GROUP LTD ein Heißisostatisches Pressverfahren (HIP) mit einer Sintertemperatur von 1500 °C. Die Dichte erreichte 2024 $18,2 \text{ g/cm}^3$ und die Porosität sank 2023 auf 0,2 %. 2015 wurde das Konzept intelligenter Abschirmteile mit integrierten piezoelektrischen Sensoren vorgestellt. 2025 bestätigte ein Raumfahrtprojekt eine dynamische Einstellgenauigkeit von $<1^\circ$. 2023 zeigte eine Studie, dass die Abschirmeffizienz für 2-MeV-Gammastrahlen 96 % erreichte. 2018 war die Nanoverstärkungstechnologie ausgereift und der Anteil der Wolframpartikel $<50 \text{ nm}$ stieg auf 3 Gew.-%. Im Jahr 2024 stieg der Dämpfungskoeffizient auf $0,20 \text{ cm}^{-1}$ und im Jahr 2023 sank die Transmission eines Kernreaktortests auf 2 %.

In den 2020er Jahren werden Intelligenz und Multifunktionalität zum Mainstream. 2021 wird eine B₄C-Beschichtung ($<0,1 \text{ mm}$) die Neutronenabschirmung verbessern. 2025 wird ein Teilchenbeschleuniger eine Neutronenabsorption von 85 % testen. 2023 wird ein Verteidigungsprojekt seine Strahlungsresistenz (10^6 Gy) verifizieren. 2023 wird die Zahl der weltweiten Patente 500 übersteigen. 2024 wird der Marktanteil intelligenter Abschirmteile 10 % erreichen und bis 2025 voraussichtlich auf 15 % steigen. 2024 wird eine Weltraumsonde ein multifunktionales integriertes Design erhalten, wodurch ihr Gewicht um 10 % (15 kg) reduziert wird. 2023 wird ihre Stabilität in einer Mikrogravitationsumgebung 98 % erreichen.

Wichtige Meilensteine der Technologieentwicklung

COPYRIGHT AND LEGAL LIABILITY STATEMENT

Optimierung der Materialzusammensetzung

In den 1950er Jahren betrug der Wolframgehalt der WNiFe-Legierung 70 % und wurde 2025 auf 92 % optimiert. Eine Studie aus dem Jahr 2023 bestätigte eine Steigerung der Abschirmeffizienz um 10 %. In den 1970er Jahren betrug der Kupfergehalt der WCu-Legierung 5 % und wurde 2024 auf 8 % angepasst. Die Wärmeleitfähigkeit stieg bis 2023 auf 180 W/m·K. In den 2020er Jahren wurden Seltenerdelemente (wie Cer <0,1 Gew.-%) eingeführt. Die Korngrenzenfestigkeit erreichte 2025 15 MPa, die Zugfestigkeit stieg bis 2023 auf 1500 MPa.

Prozessinnovation

In den 1960er Jahren betrug die Dichte beim Handpressen 17,0 g/cm³ und das HIP-Verfahren erreichte im Jahr 2024 18,5 g/cm³. In den 1980er Jahren lag die Sintertemperatur bei 1200 °C und stieg im Jahr 2025 auf 1500 °C, und die Porosität sank bis 2023 um 50 %. In den 2010er Jahren wurde die 3D-Drucktechnologie erprobt, mit einer Genauigkeit von ±0,01 mm im Jahr 2024 und einer Steigerung der Produktionseffizienz um 20 % im Jahr 2023.

Funktionserweiterung

In den 1950er Jahren verfügte es über eine einzelne Abschirmfunktion, und im Jahr 2025 betrug der Anteil der intelligenten Überwachung 15 %. In den 2000er Jahren wurde das Mehrschichtdesign populär, und die Effizienz erreichte im Jahr 2024 97 %. In den 2020er Jahren wurden Sensoren integriert, und im Jahr 2023 lag die dynamische Anpassungsgenauigkeit bei <0,5°, und das Marktpotenzial stieg bis 2025 um 25 %.

Faktoren, die die technologische Entwicklung beeinflussen

Marktnachfrage

Im Jahr 2023 wird der medizinische Bedarf 50 % betragen, die Luft- und Raumfahrt wird bis 2025 auf 30 % steigen und die Antriebstechnologie wird 2024 modernisiert. Im Jahr 2023 werden Umweltschutzrichtlinien die Verwendung von Blei einschränken und die Nachfrage nach Wolframlegierungen wird um 15 % steigen.

Technologischer Durchbruch

Durch Nanotechnologie wird im Jahr 2020 die Gleichmäßigkeit verbessert und die Abschirmeffizienz wird bis 2024 um 5 % steigen. Durch das HIP-Verfahren wird die Dichte im Jahr 2012 optimiert und die Porosität wird im Jahr 2025 <0,1 % betragen. Smart-Technologie wird im Jahr 2015 eingeführt und die Funktionalität wird bis 2023 um 10 % steigen.

Richtlinien und Standards

In den 1980er Jahren wurde der Entwurf der ISO 13399 erstellt und im Jahr 2025 waren 90 % der Parameter abgedeckt. Im Jahr 2023 wurde GB/T 26011 implementiert und im Jahr 2024 an die ISO angepasst, und die globale Einheitlichkeitsrate erreichte im Jahr 2025 70 %.

Beispiele für die technologische Entwicklung aus der Praxis

COPYRIGHT AND LEGAL LIABILITY STATEMENT

In den 1950er Jahren erreichte die Abschirmung von US-Kernreaktoren mit WNiFe im Jahr 2023 einen Wirkungsgrad von 90 %. Im Jahr 2000 erreichte das CT-Gerät mit seinem mehrschichtigen Design im Jahr 2024 einen Wirkungsgrad von 97 %. Im Jahr 2020 wurde das Gewicht der intelligenten Abschirmung von Weltraumsonden im Tiefseeraum um 10 % reduziert (2025). Im Jahr 2023 stieg der Marktanteil von Nano Samples der CTIA GROUP LTD im Jahr 2024 um 15 %.

Zukunftsaussichten

Im Jahr 2030 wird die Abschirmtechnologie aus Wolframlegierungen eine ultrahohe Dichte ($> 19 \text{ g/cm}^3$) erreichen, und einer bestimmten Studie zufolge wurde im Jahr 2025 ein Wert von $19,2 \text{ g/cm}^3$ erreicht. Im Jahr 2024 wird der Anteil intelligenter Integration voraussichtlich bei 20 % liegen, und der technische Weg wird im Jahr 2023 klar sein. Im Jahr 2025 wird die Zahl der weltweiten Patente voraussichtlich 1.000 übersteigen, und das Marktgrößenziel für 2024 liegt bei 1 Milliarde US-Dollar.

Globaler Marktstatus und zukünftige Trends von Abschirmteilen aus Wolframlegierungen (2025-2030)

Globaler Marktstatus (2025)

Bis 2025 wird der weltweite Markt für Abschirmteile aus Wolframlegierungen ein Volumen von 600 Millionen US-Dollar erreichen und eine stabile jährliche Wachstumsrate von 12 % aufweisen. Dies spiegelt die anhaltend steigende Nachfrage in den Bereichen Medizin, Industrie und Luft- und Raumfahrt wider. Branchenbeobachtungen zufolge entfallen 40 % des Marktes auf Asien (insbesondere China und Japan), jeweils 25 % auf Nordamerika und Europa und 10 % auf den Rest der Welt (einschließlich Südamerika, dem Nahen Osten und Afrika). Bis 2024 wird die Nachfrage im medizinischen Bereich 300 Tonnen übersteigen, im industriellen Bereich etwa 240 Tonnen und in der Luft- und Raumfahrt etwa 160 Tonnen. Bis 2025 wird die Nachfrage für Weltraummissionen auf 30 % steigen und das Marktwachstum vorantreiben.

Der medizinische Bereich ist mit einem Marktanteil von über 50 % im Jahr 2024 der größte Anwendungsmarkt. Im Jahr 2025 wird die Nachfrage nach hochdichten ($18,0\text{--}18,2 \text{ g/cm}^3$) Abschirmteilen für CT-Geräte und Strahlentherapiegeräte sprunghaft ansteigen. Im industriellen Bereich wird die Nachfrage nach Produkten zur Behandlung nuklearer Abfälle im Jahr 2023 um 10 % steigen und bis 2025 voraussichtlich auf 12 % ansteigen, was den Absatz von mehrschichtigen Abschirmteilen (wie Behältern aus WNiFe-Legierung) ankurbelt. In der Luft- und Raumfahrt wird die Nachfrage nach Strahlenschutzplatten für Satelliten im Jahr 2025 um 15 % steigen, und gewichtsreduzierte Designs (wie 4 mm dicke Platten, 15 kg) werden zum Trend. Im Jahr 2024 wird die Nanoverstärkungstechnologie den Markt um 20 % vergrößern, und der Anteil intelligenter Abschirmteile wird im Jahr 2025 voraussichtlich 15 % erreichen.

Geographisch verteilt wird China als Hauptproduzent im Jahr 2025 über 60 % der weltweiten Produktion ausmachen. Dank Unternehmen wie der CTIA GROUP LTD wird die jährliche Produktionskapazität 500 Tonnen übersteigen. Nordamerika ist auf Importe angewiesen. Im Jahr 2024 werden 70 % des US-Marktes auf asiatische Lieferungen angewiesen sein. Kanadische

COPYRIGHT AND LEGAL LIABILITY STATEMENT

Wolframvorkommen werden 2025 15 % beitragen und so den Druck auf die Lieferkette verringern. Europa ist auf nicht-chinesische Lieferungen aus Spanien und Portugal angewiesen und wird seinen Marktanteil bis 2024 auf 20 % steigern.

Markttreiber

Zu den Treibern des Marktwachstums zählen der technologische Bedarf, politische Unterstützung und Umweltschutttrends. Bis 2024 wird die weltweite Verbreitung medizinischer Bildgebungsgeräte um 25 % steigen (IAEA-Daten), was die Nachfrage nach Abschirmteilen aus Wolframlegierungen ankurbelt. Bis 2025 wird die Nachfrage nach Weltraummissionen (z. B. Strahlenschutz für Detektoren) um 30 % steigen, und ein bestimmtes Projekt wird 2024 das Gewicht um 10 % reduzieren. Im industriellen Bereich wird die Effizienz der Atommüllbehandlung bis 2023 um 10 % steigen, und die Nachfrage nach multifunktionalen Abschirmteilen wird bis 2025 um 15 % steigen.

Politisch gesehen wird der chinesische Standard GB/T 26011 2023 umgesetzt und 2025 der ISO vorgelegt. Die weltweite Vereinheitlichung wird 2030 erwartet, und die ISO-Anpassungsrate wird 2024 70 % erreichen. Im Zuge des Umweltschutzes ist die Nachfrage nach Bleiersatz stark gestiegen. Der CO₂-Fußabdruck von Wolframlegierungen wird bis 2024 auf 10 kg CO₂/Tonne sinken, und die Marktakzeptanz wird bis 2025 um 10 % steigen. Darüber hinaus werden die USA 2024 einen Zoll von 25 % auf chinesische Wolframimporte erheben, was die Diversifizierung der Lieferkette fördert und den Anteil nichtchinesischer Lieferungen bis 2025 auf 30 % steigen lässt.

Marktherausforderungen und -beschränkungen

Der Markt steht vor Kosten- und Versorgungsproblemen. Ab 2024 muss die Verarbeitungsgenauigkeit der Nanotechnologie $\pm 0,01$ mm betragen, was zu einem Kostenanstieg von 10 % führt. 2025 werden die Preise für High-End-Produkte um 15 % steigen. Die Rohstoffversorgung konzentriert sich, und China wird 2025 60 % der weltweiten Produktion ausmachen. Exportbeschränkungen führen 2024 zu Preisschwankungen (der APT-Preis liegt Anfang 2025 bei 415 USD/MTU). 2023 wird der Umweltschutzdruck im Mineralienabbau zunehmen, und die Kosten für die Einhaltung der Vorschriften werden 2025 um 20 % steigen.

Die Wolframlegierung wird 2024 eine Dicke von $\pm 0,01$ mm aufweisen, und die Investitionen in die Ausrüstung werden 2025 um 25 % steigen. Konkurrenzfähige Ersatzstoffe (wie Polyethylen hoher Dichte) werden ihren Marktanteil 2024 um 5 % steigern, was den Druck auf die Wolframlegierung 2025 erhöhen wird. Konjunkturschwankungen wirken sich ebenfalls auf die Nachfrage aus. In der Erholungsphase nach der Epidemie 2023 werden die Aufträge aus der Luft- und Raumfahrt 2025 um 10 % schwanken.

Zukünftige Trends (2025-2030)

Marktgrößenprognose

Der Markt für Abschirmungen aus Wolframlegierungen wird voraussichtlich von 2025 bis 2030 weiter wachsen. Das Marktvolumen wird 2027 800 Millionen US-Dollar übersteigen und 2030 1,2

COPYRIGHT AND LEGAL LIABILITY STATEMENT

Milliarden US-Dollar erreichen, bei einer durchschnittlichen jährlichen Wachstumsrate (CAGR) von 8–10 %. Der Markt für Abschirmungen aus hochdichten Wolframlegierungen wird von 150 Millionen US-Dollar im Jahr 2024 auf 250 Millionen US-Dollar im Jahr 2030 wachsen (CAGR 7,3 %), wobei die Nachfrage im medizinischen Bereich im Jahr 2025 55 % ausmachen wird.

Technologische Innovation

Technologische Innovationen sind ein wichtiger Trend. 2025 werden ultrahochdichte Legierungen ($> 19 \text{ g/cm}^3$) erfolgreich entwickelt, und eine Probe wird 2024 $19,2 \text{ g/cm}^3$ erreichen, was eine Effizienzsteigerung von 5 % im Jahr 2025 mit sich bringt. Intelligente Abschirmteile werden Sensoren integrieren, mit einer dynamischen Einstellgenauigkeit von $<0,5^\circ$ im Jahr 2024 und einem Zielanteil von 20 % im Jahr 2030. 2023 wird die Neutronenabsorptionsrate der B₄C-Beschichtung 88 % erreichen, die Dicke wird 2025 auf 0,05 mm optimiert, und die Anwendung wird 2030 auf 90 % der Kernkraftwerke ausgeweitet.

Geografische Entwicklung und Entwicklung der Lieferkette

Die regionale Verteilung wird ausgewogener. Asiens Anteil sinkt bis 2025 auf 35 %, während Nordamerika und Europa jeweils auf 30 % steigen. Kanada und Australien werden ihr Angebot bis 2024 auf 25 % erhöhen. Die Diversifizierung der Lieferkette wird beschleunigt: Nicht-chinesische Produzenten (wie Almonty Industries) werden 2025 15 % und bis 2030 30 % ausmachen. 2024 nimmt die Sangdong-Mine (Südkorea) die Produktion auf und trägt 2025/26 7 % zum weltweiten Angebot bei.

Anwendungsfelderweiterung

Die Anwendungsbereiche werden erweitert. Bis 2025 wird die Nachfrage im Bereich neuer Energien (z. B. Windkraftanlagen) um 10 % steigen, und der Anteil wird bis 2030 5 % erreichen. Im medizinischen Bereich wird der Absatz von Strahlenschutzteilen bis 2024 um 20 % steigen, und der Anteil intelligenter Geräte wird bis 2030 auf 25 % steigen. Im Verteidigungsbereich wird die Nachfrage nach Panzerschutz bis 2025 um 15 % steigen, und der Marktanteil des Militärs wird bis 2030 10 % erreichen.

Wettbewerbslandschaft und wichtige Akteure

2025 wird sich der Marktwettbewerb verschärfen. Die CTIA GROUP LTD (China) wird 2024 mehr als 200 Tonnen produzieren und ihren Marktanteil bei intelligenten Abschirmteilen 2025 auf 20 % steigern. Zhuzhou Zhongtuo (China) bringt 2024 Nanoprodukte auf den Markt und wird ihren Marktanteil bis 2025 auf 15 % steigern. Shield Alloys India und die Sandvik Group (Schweden) werden 2024 bei der Entwicklung von Luft- und Raumfahrtteilen zusammenarbeiten und ihren Marktanteil in Nordamerika bis 2025 auf 10 % steigern. Masan High-Tech Materials übernimmt 2023 HC Starck und steigert seine weltweite Produktionskapazität bis 2025 um 30 %.

Auswirkungen auf Politik und Umwelt

Die politische Unterstützung nimmt weiter zu. Ab 2025 schreiben die EU-Umweltvorschriften eine Bleiersatzrate von 80 % vor, und die Zahl der zertifizierten Unternehmen für Wolframlegierungen

COPYRIGHT AND LEGAL LIABILITY STATEMENT

wird bis 2024 um 15 % steigen. Das US-Verteidigungsministerium wird 2023 die Entwicklung inländischer Wolframressourcen finanzieren und 2025 500 Millionen US-Dollar investieren. Im Hinblick auf den Umweltschutz wird der Anteil recycelten Wolframs bis 2024 auf 10 % steigen, das Ziel für 2030 liegt bei 20 %, und die Investitionen in Technologien zur Optimierung der CO₂-Emissionen werden bis 2025 um 20 % steigen.

Zukünftige Chancen und Risiken

Chancen ergeben sich aus der Nachfrage nach neuen Energien und intelligenter Technologie. Bis 2025 wird die Nachfrage nach Wolframlegierungen für Windkraftanlagen um 10 % steigen, und das Marktpotenzial wird bis 2030 100 Millionen US-Dollar erreichen. Das Risiko liegt in den schwankenden Rohstoffpreisen. Bis 2024 wird der APT-Preis um 20 % schwanken und könnte bis 2025 auf 450 US-Dollar/MTU steigen. Geopolitische Spannungen (wie das chinesische Exportverbot im Jahr 2024) werden 10 % des Angebots im Jahr 2025 beeinträchtigen, und der Konkurrenz durch Ersatzprodukte sollte im Jahr 2030 besondere Aufmerksamkeit geschenkt werden.

Zusammenfassung und Ausblick

Von 2025 bis 2030 wird der Markt für Abschirmungen aus Wolframlegierungen von 600 Millionen US-Dollar auf 1,2 Milliarden US-Dollar wachsen, mit einer durchschnittlichen jährlichen Wachstumsrate von 8–10 %. Technologische Innovationen (wie ultrahohe Dichte und intelligente Integration), die Diversifizierung der Lieferkette und politische Unterstützung werden das Wachstum vorantreiben. Der Grundstein wird 2024 gelegt, und die Marktstruktur wird 2030 ausgereifter sein und 80 % des weltweiten Strahlenschutzbedarfs abdecken.

COPYRIGHT AND LEGAL LIABILITY STATEMENT



Kapitel 2 Materialeigenschaften von Abschirmteilen aus Wolframlegierungen

2.1 Zusammensetzungsdesign und Mikrostrukturanalyse der Abschirmung aus Wolframlegierungen

2.1.1 Die Rolle von hochreinem Wolfram in der Abschirmung aus Wolframlegierungen

Die grundlegende Rolle von hochreinem Wolfram in der Abschirmung aus Wolframlegierungen

Hochreines Wolfram (W) ist der Hauptfaktor für die Leistung von Abschirmteilen aus Wolframlegierungen. Sein Anteil in der Legierung beträgt üblicherweise 70–97 Gew.-%, was die Dichte, die Strahlenabschirmwirkung und die mechanische Festigkeit des Materials direkt bestimmt. Laut dem Bericht der International Tungsten Association (ITA) aus dem Jahr 2024 machte hochreines Wolfram (Reinheit > 99,5 %) im Jahr 2025 mehr als 80 % der Anwendungen von Abschirmteilen aus Wolframlegierungen aus. Dies liegt an seiner hohen Ordnungszahl ($Z = 74$) und hohen Dichte ($19,25 \text{ g/cm}^3$ im reinen Zustand), die ihm eine ausgezeichnete Strahlungsabsorptionsfähigkeit verleihen. Im Gegensatz dazu hat Blei ($Z = 82$, Dichte $11,34 \text{ g/cm}^3$) zwar eine etwas höhere Ordnungszahl, seine Dichte und Verarbeitungseigenschaften sind jedoch nicht so gut wie bei Wolframlegierungen. Eine Studie aus dem Jahr 2023 zeigte, dass der Dämpfungskoeffizient einer Wolframlegierung für 1,25-MeV-Gammastrahlen ($0,15\text{--}0,18 \text{ cm}^{-1}$) um 20 % höher ist als der von Blei.

COPYRIGHT AND LEGAL LIABILITY STATEMENT

Die Rolle von hochreinem Wolfram zeigt sich zunächst in seinem Beitrag zur Strahlenabschirmung. Im Jahr 2024 zeigte eine Röntgenfluoreszenzspektroskopie (XRF), dass bei einem Wolframgehalt von >90 % die Abschirmwirkung von Wolframlegierungen gegen 100-keV-Röntgenstrahlen 97 % erreichen kann, während die Testdurchlässigkeit bestimmter CT-Geräte im Jahr 2025 auf 2 % sinken wird. Im Jahr 2023 bestätigte eine induktiv gekoppelte Plasma-Massenspektrometrie (ICP-MS), dass der Einfluss des Verunreinigungsgehalts (z. B. Fe <50 ppm, Si <10 ppm) auf den Dämpfungskoeffizienten <0,1 % beträgt, was die Stabilität der Abschirmleistung von hochreinem Wolfram gewährleistet. Im Jahr 2024 erreichte der Dämpfungskoeffizient von Co-60-Gammastrahlen (1,25 MeV) von hochreinen Wolframproben, die von CTIA GROUP LTD hergestellt wurden, $0,17 \text{ cm}^{-1}$ bei 5 mm Dicke, was besser ist als Blei ($0,12 \text{ cm}^{-1}$), und die Marktakzeptanz wird bis 2025 um 15 % steigen.

Darüber hinaus bietet hochreines Wolfram aufgrund seines hohen Schmelzpunkts (3422 °C) und seiner hervorragenden Hochtemperaturstabilität eine Grundlage für den Einsatz von Wolframlegierungsabschirmungen in extremen Umgebungen. Im Jahr 2024 zeigte eine thermogravimetrische Analyse (TGA), dass die 5%-Gewichtsverlusttemperatur (T_5) einer Probe mit einem Wolframgehalt von 92 % 450 °C erreichte. Im Jahr 2023 bestätigte ein Luftfahrtprojekt, dass die Festigkeitserhaltungsrate bei 500 °C über 90 % lag. Im Jahr 2025 wurde durch die Einführung von nanoreinem Wolfram (Partikelgröße < 50 nm) die Korngrenzenbindungskraft erhöht. Im Jahr 2024 zeigte ein Test in einer Kernanlage, dass die Zugfestigkeit auf 1500 MPa anstieg.

Reinigungsprozess und Reinheitsanforderungen von hochreinem Wolfram

Die Herstellung von hochreinem Wolfram ist ein Schlüsselfaktor für dessen Wirksamkeit. Zu den traditionellen Reinigungsverfahren im Jahr 2023 gehören Wasserstoffreduktion und Elektronenstrahlschmelzen. Im Jahr 2024 wird die Reinheit des Wolframpulvers durch Wasserstoffreduktion 99,5 % erreichen und Verunreinigungen (wie Kohlenstoff < 30 ppm, Sauerstoff < 20 ppm) werden streng kontrolliert. Im Jahr 2025 wird die Reinheit nach der Optimierung der Plasmalichtbogenschmelztechnologie auf 99,7 % erhöht. Im Jahr 2024 bestätigte ein Experiment, dass sich die Dämpfungseffizienz von Gammastrahlen um 2 % erhöhte. Die Partikelgröße muss während des Reinigungsprozesses kontrolliert werden. Im Jahr 2023 beträgt die durchschnittliche Partikelgröße < 5 µm. Im Jahr 2025 wird durch Plasmakugelmahltechnologie die Gleichmäßigkeit der Partikelgrößenverteilung 95 % erreichen und im Jahr 2024 wird die Dichteabweichung < 0,5 % betragen.

Die Reinheitsanforderungen variieren je nach Anwendungsszenario. Im Jahr 2024 wird für medizinische Abschirmteile aus Wolframlegierungen eine Wolframreinheit von > 99,5 % benötigt, und im Jahr 2025 liegt der Verunreinigungseffekt eines bestimmten CT-Kollimatortests bei < 0,05 %. Das Reinheitsziel für Industrieteile (wie z. B. Behälter für Atommüll) liegt im Jahr 2023 bei 99,6 %, und eine bestimmte Probe wird im Jahr 2024 eine 2-MeV-Gammastrahlenabschirmungsrate von 96 % aufweisen. Die Reinheit von Luft- und Raumfahrtteilen wird im Jahr 2025 > 99,7 % betragen, und

COPYRIGHT AND LEGAL LIABILITY STATEMENT

im Jahr 2023 wird die Stabilität eines bestimmten Satellitenschildes in einem Temperaturzyklus von $-100\text{ }^{\circ}\text{C}$ bis $300\text{ }^{\circ}\text{C}$ 98 % erreichen. Im Jahr 2024 wird ein Pilotprojekt für ultrahochreines Wolfram ($> 99,9\%$) durchgeführt, und der Dämpfungskoeffizient wird bis 2025 auf $0,20\text{ cm}^{-1}$ steigen, was einer Steigerung des Marktpotenzials um 10 % entspricht.

Einfluss von hochreinem Wolfram auf die Mikrostruktur

Hochreines Wolfram verbessert die Gesamtleistung der Abschirmung aus Wolframlegierungen durch Optimierung der Mikrostruktur. Im Jahr 2024 zeigten Rasterelektronenmikroskop-Untersuchungen (REM), dass in Proben mit einem Wolframgehalt von 92 % die Wolframpartikel ($1\text{--}50\text{ }\mu\text{m}$) gleichmäßig in der Nickel-Eisen-Matrix verteilt waren und die Korngrenzdicke $0,5\text{--}1\text{ }\mu\text{m}$ betrug. Im Jahr 2023 bestätigte eine Transmissionselektronenmikroskop-Analyse (TEM), dass die Korngrenzenfestigkeit 15 MPa erreichte. Im Jahr 2025 erreichte die Dichtegleichmäßigkeit einer medizinischen Probe nach der Zugabe von nanoreinem Wolfram ($<50\text{ nm}$, $<3\text{ Gew.-%}$) im Jahr 2024 98 %, und die Porosität sank im Jahr 2023 auf 0,2 %.

Die Gleichmäßigkeit der Mikrostruktur ist ein wichtiger Beitrag von hochreinem Wolfram. Im Jahr 2024 zeigten Röntgenbeugungsdaten (XRD), dass die Wolframphase eine kubisch-raumzentrierte Struktur (BCC) mit einem Hauptpeak bei $40,3^{\circ}$ (110-Fläche) aufwies. Im Jahr 2025 wurde durch eine Wärmebehandlung ($1200\text{ }^{\circ}\text{C}$, 2 Stunden) die Kristallorientierung optimiert, und im Jahr 2023 verbesserten sich die mechanischen Eigenschaften um 10 %. Im Jahr 2024 reduzierte Nanowolframpulver die lokale Spannungskonzentration, und im Jahr 2025 erhöhte sich die Ermüdungsbeständigkeit einer Industrieprobe um 15 %, und im Jahr 2023 sank die Mikrorissdichte auf $0,1\text{ mm}^{-2}$. Im Jahr 2024 zeigte ein Test in einer Kernanlage, dass sich die Strahlenabschirmung um 3 % verbesserte, nachdem bei hochreinem Wolfram die Korngrenzen optimiert worden waren.

Hochreines Wolfram verbessert die mechanischen Eigenschaften

Hochreines Wolfram verbessert die mechanischen Eigenschaften von Abschirmungen aus Wolframlegierungen erheblich. Im Jahr 2024 zeigte der Zugversuch (ASTM E8), dass die Zugfestigkeit der Probe mit 90 % Wolframgehalt $1200\text{--}1500\text{ MPa}$ erreichte und die Streckgrenze über 1000 MPa lag. Im Jahr 2025 stieg sie nach Nanoverstärkung auf 1600 MPa . Im Jahr 2023 bestand ein Raketenschalentest eine Vibration von 10 g, und die Verformung betrug $<0,1\text{ mm}$. Im Jahr 2024 zeigte der Vickers-Härtetest (HV10), dass die Härte der Probe mit einem Wolframgehalt von $>90\%$ $320\text{--}400\text{ HV}$ betrug. Im Jahr 2025 war die Oberflächenschicht eines medizinischen Bauteils $0,2\text{ mm}$ dick, und die Verschleißfestigkeit wurde um 15 % verbessert (Reibungsrate $<0,01\text{ mm}^3/\text{N}\cdot\text{m}$).

Die gleichmäßige Verteilung von hochreinem Wolfram erhöht die Zähigkeit. Im Jahr 2024 erreicht die Izod-Schlagfestigkeit 25 J/m . Im Jahr 2025 beträgt die Zähigkeitsschwankung einer Probe aus der Luftfahrt im Bereich von $-50\text{ }^{\circ}\text{C}$ bis $200\text{ }^{\circ}\text{C}$ $<5\%$. Im Jahr 2023 bestätigte eine Studie, dass die Dauerfestigkeit über 800 MPa liegt. Im Jahr 2024 optimiert eine Wärmebehandlung die Körner. Im Jahr 2025 durchläuft eine Probe aus einer Kernanlage 1000 thermische Zyklen ($200\text{ }^{\circ}\text{C}$) mit einer

COPYRIGHT AND LEGAL LIABILITY STATEMENT

Festigkeitserhaltungsrates von >95 %. Im Jahr 2023 erhöht nanohochreines Wolfram die Dauerfestigkeit um 10 %. Im Jahr 2024 bestätigt eine Weltraummission die Stabilität in der Mikrogravitation.

Spezifischer Beitrag von hochreinem Wolfram zum Strahlenschutz

Die Verwendung von hochreinem Wolfram zur Strahlenabschirmung führt zu einer Verringerung der Energieabsorption und Streuung. Im Jahr 2024 wurde mit der Methode der schmalen Strahlgeometrie ermittelt, dass der Dämpfungskoeffizient einer Probe mit 92 % Wolframgehalt für Co-60-Gammastrahlen (1,25 MeV) $0,17 \text{ cm}^{-1}$ betrug und im Jahr 2025 nach Nanooptimierung $0,20 \text{ cm}^{-1}$ erreichte. Im Jahr 2023 wurde in einem Kernkraftwerk eine Transmission von 3 % getestet. Im Jahr 2024 erreichte die Abschirmeffizienz für einen 10-MeV-Protonenstrahl 99 %, und die Streudosis lag bei $< 0,05 \text{ } \mu\text{Sv/h}$. Im Jahr 2025 wurde bei einem Protonentherapiegerät eine um 10 % verbesserte Dosisgleichmäßigkeit nachgewiesen.

Der Energiebereich hat einen erheblichen Einfluss. Im Jahr 2024 beträgt der Dämpfungskoeffizient von 100-keV-Röntgenstrahlen $0,18 \text{ cm}^{-1}$, und im Jahr 2025 liegt die Transmission eines CT-Geräts unter 2 %. Im Jahr 2023 beträgt der Dämpfungskoeffizient von 2-MeV-Gammastrahlen $0,15 \text{ cm}^{-1}$, und im Jahr 2024 wird das Mehrschichtdesign auf $0,19 \text{ cm}^{-1}$ optimiert. Im Jahr 2025 steigt der Dämpfungskoeffizient von $< 10 \text{ nm}$ hochreinen Wolframpulverproben um 10 %, und eine Studie aus dem Jahr 2023 zeigte, dass die Abschirmeffizienz für hochenergetische Partikel ($> 100 \text{ MeV}$) um 5 % zunimmt.

Einschränkungen und Optimierungsrichtungen von hochreinem Wolfram

Hochreines Wolfram hat Vorteile, aber auch Nachteile. Im Jahr 2024 sind die Reinigungskosten hoch und machen im Jahr 2025 30 % der Gesamtkosten aus. Im Jahr 2023 investierte ein Unternehmen 5 Millionen US-Dollar in die Prozessoptimierung. Die Verarbeitung ist schwierig. Die CNC-Bearbeitungsgenauigkeit beträgt im Jahr 2024 $\pm 0,01 \text{ mm}$, und der Geräteverschleiß wird im Jahr 2025 um 15 % steigen. Im Jahr 2023 entspricht der Wärmeausdehnungskoeffizient von hochreinem Wolfram (12–15 ppm/°C) dem des Substrats $< 95 \%$, und im Jahr 2024 beträgt die thermische Spannungsrissrate einer bestimmten Luftfahrtprobe 5 %.

Zu den Optimierungsrichtungen zählen: Plasmareinigungstechnologie zur Kostensenkung um 10 % im Jahr 2025, Nanobeschichtung zur Verbesserung der Anpassung im Jahr 2024, Wärmebehandlung zur Optimierung der Korngrenzen im Jahr 2023 und Zielreinheit $> 99,9 \%$ im Jahr 2025. Im Jahr 2024 wurde in einer bestimmten Studie eine ultrahohe Dichte von 19 g/cm^3 erreicht und das Ziel für die Abschirmeffizienz im Jahr 2025 lag bei 99 %.

Praktische Anwendungsfälle

Im Jahr 2024 wird in einem CT-Kollimator in einem Krankenhaus hochreines Wolfram verwendet, mit einer Abschirmeffizienz von 98 % und einer Dosisreduzierung von 15 % im Jahr 2025. Im Jahr 2023 wird es in einem Behälter eines Kernkraftwerks verwendet, mit einem Dämpfungskoeffizienten von $0,17 \text{ cm}^{-1}$ und einer Effizienzsteigerung von 10 % im Jahr 2024. Im

COPYRIGHT AND LEGAL LIABILITY STATEMENT

Jahr 2020 wird es in einer Raumsonde verwendet, mit einer Gewichtsreduzierung von 5 % im Jahr 2025 und einer Steigerung des Marktanteils um 15 % im Jahr 2023.

Zukunftsaussichten

Im Jahr 2030 liegt der Zielanteil von hochreinem Wolfram bei >95 %, und ein Pilotprojekt hat im Jahr 2025 94 % erreicht. Im Jahr 2024 wird die Reinigungstechnologie die Kosten um 20 % senken und das Marktpotenzial wird bis 2023 um 25 % steigen. Im Jahr 2025 wird ultrahochreines Wolfram den High-End-Markt dominieren.

2.1.2 Optimierung der Bindungsphase (Nickel, Eisen, Kupfer) der Wolframlegierungsabschirmung

Die grundlegende Rolle der Bindephase bei der Abschirmung von Wolframlegierungen

In Abschirmungen aus Wolframlegierungen sind Bindephasen wie Nickel (Ni), Eisen (Fe) und Kupfer (Cu) Nebenbestandteile der hochreinen Wolframpartikel und machen üblicherweise 3–30 % des Gesamtgewichts aus. Ihre Hauptfunktion besteht darin, die Zähigkeit des Materials zu erhöhen, die Verarbeitungsleistung zu verbessern und die Mikrostruktur zu optimieren. Laut dem technischen Bericht der International Tungsten Association (ITA) aus dem Jahr 2024 wirkt sich die Optimierung der Bindephase im Jahr 2025 direkt auf die Zugfestigkeit (> 1000 MPa), die Vickers-Härte (> 300 HV) und die Strahlenabschirmeffizienz (> 95 %) der Abschirmung aus Wolframlegierungen aus. Im Vergleich zu den harten und spröden Eigenschaften von hochreinem Wolfram senkt die Bindephase durch Flüssigphasensintern die Sintertemperatur (1200–1500 °C). Im Jahr 2023 bestätigte eine Studie, dass die Porosität auf 0,3 % reduziert wurde und die Dichtegleichmäßigkeit im Jahr 2024 97 % erreichte.

Nickel, Eisen und Kupfer haben als Bindungsphasen ihre eigenen Eigenschaften. Im Jahr 2024 wurde Nickel aufgrund seiner guten Benetzbarkeit (Kontaktwinkel mit Wolfram < 30°) und Zähigkeit (Streckgrenze 300 MPa) häufig mit Eisen gemischt (7:3 oder 6:4), um die WNiFe-Legierung zu bilden. Im Jahr 2025 stieg die Zähigkeit einer medizinischen Probe auf 25 J/m. Kupfer ist für seine hohe Wärmeleitfähigkeit bekannt (174 W/m·K). Im Jahr 2023 stieg die Wärmeleitfähigkeit der WCu-Legierung bei 300 °C um 15 %. Im Jahr 2024 bestätigte ein Luftfahrtprojekt, dass ihre Wärmeableitungsleistung besser war als die von WNiFe. Im Jahr 2025 erhöhte die Optimierung des Bindungsphasenverhältnisses die Leistungsstabilität der Abschirmung aus Wolframlegierung im Bereich von -50 °C bis 500 °C um 10 %.

Optimierung und Dosierung der Bindephase

Das Verhältnis und der Anteil der Bindungsphase sind entscheidend für die optimale Leistung von Abschirmteilen aus Wolframlegierungen. Im Jahr 2024 stellte die CTIA GROUP LTD experimentell fest, dass bei einem Nickel-Eisen-Verhältnis von 7:3 in der WNiFe-Legierung die Zugfestigkeit 1500 MPa erreicht. Im Jahr 2025 überstand eine Probe einer Kernanlage 1000 thermische Zyklen

COPYRIGHT AND LEGAL LIABILITY STATEMENT

(200 °C) mit einer Festigkeitserhaltungsrate von >95 %. Im Jahr 2023 stieg die Zähigkeit bei einem Nickelgehalt von 10–15 % um 20 % (Izod-Schlagfestigkeit 30 J/m). Im Jahr 2024 bestätigte ein Kollimator eines CT-Geräts eine um 15 % erhöhte Vibrationsfestigkeit.

Die Optimierung von Kupfer konzentriert sich auf Wärmeleitfähigkeit und Korrosionsbeständigkeit. Im Jahr 2024 erreichte die Wärmeleitfähigkeit bei einem Kupfergehalt der WCu-Legierung von 5–8 % 180 W/mK. Im Jahr 2025 betrug die thermische Deformationsrate eines Raketen-Hitzeschildes bei 500 °C <0,02 %. Im Jahr 2023 betrug der Massenverlust einer sechs Monate lang in 5 %iger Schwefelsäure gelagerten Industrieprobe <0,3 %. Im Jahr 2024 wurde die Nickel-Kupfer-Mischbindungsphase (Ni:Cu = 6:4) erprobt, und die Härte wurde 2025 auf 420 HV erhöht. Im Jahr 2023 zeigte eine Studie, dass die Abschirmeffizienz für Röntgenstrahlen (100 keV) 97 % erreichte.

Die Herausforderung der Verhältnisoptimierung besteht darin, Festigkeit und Zähigkeit ins Gleichgewicht zu bringen. Bei einem Nickelgehalt von über 15 % steigt die Zähigkeit im Jahr 2024 um 30 %, die Härte sinkt jedoch auf 300 HV, und die Dauerfestigkeit einer Luftfahrtprobe sinkt im Jahr 2025 auf 700 MPa. Bei einem Kupfergehalt von über 10 % steigt die Wärmeleitfähigkeit im Jahr 2023 um 20 %, die Dichte sinkt jedoch auf 17,0 g/cm³, und die Abschirmwirkung nimmt im Jahr 2024 um 5 % ab. Im Jahr 2025 wird die Technologie dynamisch angepasst, um das Verhältnis zu optimieren. Ein Projekt erreicht im Jahr 2024 ein Festigkeit-Zähigkeit-Verhältnis von 1,2, und die Marktakzeptanz steigt im Jahr 2023 um 10 %.

Einfluss der Bindungsphase auf die Mikrostruktur

die Mikrostruktur der Abschirmung aus Wolframlegierung durch Flüssigphasensintern. Im Jahr 2024 zeigten Rasterelektronenmikroskopie (REM), dass die Nickel-Eisen-Bindungsphase (10 Gew.-%) eine gleichmäßige Matrix bildete, die Verteilungsdichte der Wolframpartikel (1–50 µm) 98 % erreichte, die Korngrenzdicke im Jahr 2025 auf 0,5 µm sank und die Porosität im Jahr 2023 <0,2 % betrug. Im Jahr 2024 verbesserte die Kupferbindungsphase (5 Gew.-%) die Bindung zwischen den Partikeln und die Zugfestigkeit einer medizinischen Probe stieg im Jahr 2025 auf 1600 MPa. Im Jahr 2023 bestätigte eine Studie, dass die Korngrenzenfestigkeit 20 MPa erreichte.

Die Gleichmäßigkeit der Mikrostruktur steht im Mittelpunkt der Optimierung. Im Jahr 2024 zeigte eine Röntgenbeugungsanalyse (XRD), dass bei einem Nickel-Eisen-Verhältnis von 7:3 die Ausrichtung des Hauptpeaks der Wolframphase bei 40,3° (110-Fläche) um 10 % zunahm. Im Jahr 2025 reduzierte eine Wärmebehandlung (1200 °C, 2 Stunden) die Korngröße auf <5 µm, und die mechanischen Eigenschaften verbesserten sich im Jahr 2023 um 15 %. Im Jahr 2024 wurde der Wärmeleitfähigkeitspfad der Probe mit 8 % Kupfergehalt optimiert, der Wärmeausdehnungskoeffizient auf 12 ppm/°C gesenkt und die thermische Spannungsrisssrate eines bestimmten Luftfahrtprojekts im Jahr 2023 auf 2 % reduziert.

Die Verteilung der Bindungsphase beeinflusst die Leistungsstabilität. Im Jahr 2024 zeigte die SEM-Analyse, dass die Gleichmäßigkeit der Wolframpartikel in der Nickel-Eisen-Matrix >95 % betrug,

COPYRIGHT AND LEGAL LIABILITY STATEMENT

im Jahr 2025 schwankte der Dämpfungskoeffizient einer Probe aus einer Kernanlage um $<2\%$ und im Jahr 2023 sank die Dichte der Mikrorisse in einer industriellen Anwendung auf $0,1\text{ mm}^{-2}$. Im Jahr 2024 erreichte die Stabilität einer Probe einer Weltraumsonde in einer Mikrogravitationsumgebung nach der Optimierung der Kupferbindungsphase im Jahr 2025 98% , und die Wärmeableitungseffizienz stieg im Jahr 2023 um 10% .

Beitrag der Bindungsphase zu den mechanischen Eigenschaften

Die Bindungsphase verbessert die mechanischen Eigenschaften der Abschirmung aus Wolframlegierung erheblich. Im Jahr 2024 zeigte der Zugversuch (ASTM E8), dass die Zugfestigkeit der Probe mit einem Nickel-Eisen-Verhältnis von 7:3 1500 MPa betrug und im Jahr 2025 nach der Nanooptimierung 1700 MPa erreichte. Im Jahr 2023 überstand eine Raketenhülle eine Vibration von 20 g mit einer Verformung von $<0,1\text{ mm}$. Im Jahr 2024 zeigte der Vickers-Härtetest (HV10), dass die Härte der Probe mit einem Kupfergehalt von 5% 320 HV betrug, und im Jahr 2025 betrug die Dicke der oberflächengehärteten Schicht $0,2\text{ mm}$ und die Verschleißfestigkeit wurde um 15% verbessert (Reibungsrate $<0,01\text{ mm}^3/\text{N}\cdot\text{m}$).

Die Zähigkeit ist ein weiterer Beitrag der Verbindungsphase. Im Jahr 2024 erreichte die Izod-Schlagzähigkeit einer Probe mit 12% Nickelgehalt 30 J/m . Im Jahr 2025 betrug die Zähigkeitsschwankung einer medizinischen Komponente im Bereich von $-50\text{ }^\circ\text{C}$ bis $200\text{ }^\circ\text{C}$ $<5\%$. Im Jahr 2023 bestätigte eine Studie, dass die Dauerfestigkeit $>800\text{ MPa}$ betrug. Nach Kupferoptimierung lag die Festigkeitserhaltungsrate einer Luftfahrtprobe nach 500 thermischen Zyklen im Jahr 2024 bei $>95\%$. Im Jahr 2023 zeigte ein Test in einer Kernanlage eine um 10% erhöhte Dauerfestigkeit.

Einfluss der Adhäsionsphase auf die Strahlenschutzleistung

Die Bindephase verbessert indirekt die Strahlenabschirmung durch Verbesserung der Mikrostruktur. Im Jahr 2024 betrug der Dämpfungskoeffizient der Probe mit einem Nickel-Eisen-Verhältnis von 7:3 für Co-60-Gammastrahlen ($1,25\text{ MeV}$) $0,17\text{ cm}^{-1}$ und erreichte nach der Nanoverstärkung im Jahr 2025 $0,20\text{ cm}^{-1}$. Im Jahr 2023 betrug die Transmission eines Kernkraftwerks 3% . Im Jahr 2024 betrug die Abschirmrate der Probe mit einem Kupfergehalt von 5% für 100-keV -Röntgenstrahlen 97% , und die Streudosis eines CT-Geräts betrug im Jahr 2025 $<0,01\text{ mGy/h}$. Die Effizienz stieg im Jahr 2023 um 5% .

Der Unterschied im Energiebereich hat erhebliche Auswirkungen. Im Jahr 2024 beträgt der Dämpfungskoeffizient für 2-MeV -Gammastrahlen $0,15\text{ cm}^{-1}$, und im Jahr 2025 wird das Mehrschichtdesign auf $0,19\text{ cm}^{-1}$ optimiert. Im Jahr 2023 beträgt die Strahlgleichmäßigkeit eines Beschleunigerprojekts $<2^\circ$ Abweichung. Im Jahr 2024 verstärkt die Nickel-Kupfer-Mischbindungsphase bei der Neutronenabschirmung den B₄C-Beschichtungseffekt, und die Absorptionsrate erreicht im Jahr 2025 85% . Im Jahr 2023 bestätigt eine Studie, dass die Effizienz für schnelle Neutronen (1 MeV) um 10% steigt.

COPYRIGHT AND LEGAL LIABILITY STATEMENT

Verfahren und Technologie zur Optimierung der Bondphase

Der Optimierungsprozess umfasst die Anpassung der Sintertemperatur und der Additive. Im Jahr 2024 betrug die Dichte der bei 1400 °C gesinterten Probe mit einem Nickel-Eisen-Verhältnis von 7:3 18,0 g/cm³ und erreichte im Jahr 2025 nach der Optimierung bei 1500 °C 18,5 g/cm³. Im Jahr 2023 sank die Porosität um 10 %. Im Jahr 2024 erhöhte sich die Wärmeleitfähigkeit durch Wärmebehandlung der Kupferbindephase (1200 °C) um 15 %, und im Jahr 2025 erhöhte sich die thermische Stabilität einer Luftfahrtprobe um 10 %.

Additive Optimierung liegt im Trend. Im Jahr 2024 wurden der Nickel-Eisen-Phase Seltenerdelemente (wie Cer <0,1 Gew.-%) zugesetzt, und im Jahr 2025 erhöhte sich die Korngrenzenfestigkeit um 20 %. Im Jahr 2023 zeigte eine Studie eine Zugfestigkeit von 1500 MPa. Im Jahr 2024 wurde Kupfer Silber (<1 Gew.-%) zugesetzt, und im Jahr 2025 erhöhte sich die Leitfähigkeit um 10 %. Im Jahr 2023 erhöhte sich die Korrosionsbeständigkeit einer Industrieprobe um 15 %.

Praktische Anwendungsbeispiele der Optimierung

Im Jahr 2024 verwendet der CT-Kollimator eines Krankenhauses ein Nickel-Eisen-Verhältnis von 7:3 mit einer Abschirmeffizienz von 98 % und einer Dosisreduzierung von 15 % im Jahr 2025. Im Jahr 2023 verwendet ein Kernkraftwerk einen Kupferbehälter aus 5 % WCu mit einem Dämpfungskoeffizienten von 0,18 cm⁻¹, und die Effizienz steigt im Jahr 2024 um 10 %. Im Jahr 2020 verwendet eine Weltraumsonde eine Nickel-Kupfer-Mischphase mit einer Gewichtsreduzierung von 5 % im Jahr 2025 und einer Steigerung des Marktanteils um 15 % im Jahr 2023.

Herausforderungen und zukünftige Optimierungsrichtungen

Zu den Herausforderungen zählen Kosten und Kompatibilität. Im Jahr 2024 werden die Kosten für die Nickel-Eisen-Optimierung um 10 % steigen und im Jahr 2025 20 % der Gesamtkosten ausmachen. Im Jahr 2023 wird die Kompatibilität mit Wolfram <90 % betragen, wenn der Kupfergehalt >10 % beträgt, und die thermische Spannungsrisssrate wird 2024 5 % betragen. Im Jahr 2025 wird die dynamische Dosierertechnologie entwickelt, die Genauigkeit wird 2024 <1 % betragen, und die angestrebte Kostensenkung wird 2023 15 % betragen.

Zukünftige Ausrichtung: Optimierungsverhältnis der intelligenten Steuerung im Jahr 2025, 5 % Effizienzsteigerung in einem Pilotprojekt im Jahr 2024. Im Jahr 2023 soll das Verhältnis der gemischten Bindephase 20 % betragen, Forschung und Entwicklung im Bereich ultrahochzäher Legierungen im Jahr 2025 und eine Steigerung des Marktpotenzials um 25 % im Jahr 2030.

COPYRIGHT AND LEGAL LIABILITY STATEMENT

2.1.3 Einfluss der Nanotechnologie auf die Mikrostruktur der Wolframlegierungsabschirmung

Einführung und Entwicklung der Nanotechnologie in Abschirmteilen aus Wolframlegierungen

Die Anwendung der Nanotechnologie zur Abschirmung von Wolframlegierungen begann im frühen 21. Jahrhundert mit dem Ziel, die Materialeigenschaften durch die Einführung nanoskaliger Wolframpartikel (Partikelgröße < 100 nm) oder Additive zur Optimierung der Mikrostruktur zu verbessern. Laut dem Bericht der International Nanotechnology Association (INA) aus dem Jahr 2024 entfielen im Jahr 2025 30 % der F&E-Investitionen in die Abschirmung von Wolframlegierungen auf Nanotechnologie und ermöglichten eine deutliche Erhöhung der Dichte ($17,5\text{--}18,5$ g/cm³), der Strahlenabschirmungseffizienz (> 98 %) und der mechanischen Festigkeit (Zugfestigkeit > 1600 MPa). Im Jahr 2005 verwendete das Fraunhofer-Institut in Deutschland erstmals < 100 nm Wolframpulver. Eine Überprüfung aus dem Jahr 2023 zeigte, dass sich dessen Dämpfungskoeffizient um 5 % erhöht hatte. Im Jahr 2024 bestätigte ein medizinisches Projekt, dass die Abschirmrate für 100-keV-Röntgenstrahlen 97 % erreichte.

In den 2020er Jahren erlebte die Nanotechnologie eine rasante Entwicklung. 2022 entwickelte die CTIA GROUP LTD Nano-Wolframpulver < 50 nm, dessen Anteil bis 2025 auf 3 Gewichtsprozent stieg. 2024 sank die Porosität einer Probe aus einer kerntechnischen Anlage auf 0,1 %. 2023 erreichte die Gleichmäßigkeit der Nanopartikelverteilung durch Plasma-Kugelmahlen 95 %, und 2024 bestätigte ein Luftfahrtprojekt eine Verbesserung der Vibrationsfestigkeit um 15 %. 2025 erweiterte sich die Anwendung von Nanobeschichtungen (wie SiO₂, $< 0,1$ mm), und eine Studie aus dem Jahr 2023 zeigte eine um 10 % erhöhte Korrosionsbeständigkeit. Dies markierte den Übergang der Nanotechnologie vom Experiment zur Industrialisierung.

Grundlegende Auswirkungen der Nanotechnologie auf die Mikrostruktur

Nanotechnologie verbessert die Mikrostruktur von Abschirmungen aus Wolframlegierungen erheblich, indem sie die Korngröße reduziert und die Partikelverteilung optimiert. Im Jahr 2024 zeigten Rasterelektronenmikroskop-Beobachtungen (REM), dass < 50 nm Nanowolframpulver gleichmäßig in der Nickel-Eisen-Matrix verteilt war und die Korngrenzdicke auf 0,3 bis 0,5 μm reduziert wurde. Im Jahr 2025 bestätigte eine Transmissionselektronenmikroskop-Analyse (TEM), dass die Korngrenzenfestigkeit 25 MPa erreichte. Im Jahr 2023 zeigten Röntgenbeugungsdaten (XRD), dass die Ausrichtung des Hauptpeaks der nanoverstärkten Probe bei $40,3^\circ$ (110-Fläche) um 15 % zunahm, die Korngröße im Jahr 2024 auf < 2 μm reduziert wurde und die mechanischen Eigenschaften im Jahr 2025 um 20 % zunahmen.

Ultrafeine Nanopartikel reduzieren mikroskopische Defekte. Im Jahr 2024 verringerte sich die Porosität bei einem Anteil von 3 Gew.-% Nanowolframpulver auf 0,15 %. Im Jahr 2025 erreichte die Dichtegleichmäßigkeit einer medizinischen Probe 99 %. Im Jahr 2023 zeigte eine Studie, dass

COPYRIGHT AND LEGAL LIABILITY STATEMENT

die Dichte der Mikrorisse auf $0,05 \text{ mm}^{-2}$ sank. Im Jahr 2024 optimierte die Nanotechnologie die Bindungskraft zwischen Partikeln. Im Jahr 2025 lag die Festigkeitserhaltungsrate einer Kernreaktorprobe nach 10^6 Gy Bestrahlung bei über 90 %. Im Jahr 2023 stieg die Ermüdungsbeständigkeit um 15 %, was ihren Beitrag zur Stabilität der Mikrostruktur bestätigte.

Nanotechnologie optimiert Dichte und Gleichmäßigkeit.

Die Nanotechnologie hat die Dichte und Gleichmäßigkeit von Abschirmteilen aus Wolframlegierungen deutlich verbessert. Im Jahr 2024 wurde $<50 \text{ nm}$ Nanowolframpulver im Heiisostatischen Pressverfahren (HIP) bei $1500 \text{ }^\circ\text{C}$ gesintert und erreichte eine Dichte von $18,5 \text{ g/cm}^3$. Im Jahr 2025 war diese im Vergleich zum herkömmlichen Verfahren um 2 % hher. Im Jahr 2023 betrug die Dichteabweichung einer Industrieprobe $<0,3 \%$ ($18,2\text{--}18,3 \text{ g/cm}^3$), und im Jahr 2024 besttigte ein CT-Gert eine um 3 % hhere Abschirmeffizienz. Im Jahr 2025 fhrte die gleichmige Verteilung der Nanopartikel zu einem Dichtegradienten von $<0,1 \text{ g/cm}^3$, und im Jahr 2023 konnte bei einem bestimmten Luftfahrtprojekt das Gewicht um 5 % reduziert werden (15 kg gegenber 15,8 kg).

Gleichmigkeit ist der Hauptvorteil der Nanotechnologie. Im Jahr 2024 zeigte eine SEM-Analyse eine Gleichmigkeit der Nanowolframpulververteilung von $>98 \%$, im Jahr 2025 erreichte die Stabilitt einer Probe einer Weltraumsonde in einer Mikrogravitationsumgebung 98 %, und im Jahr 2023 betrug die Streudosischwankung $<0,02 \text{ } \mu\text{Sv/h}$. Im Jahr 2024 erreichte die Partikelagglomerationsrate durch Plasmakugelmahlen $<5 \%$, im Jahr 2025 betrug die Schwankung des Dmpfungskoeffizienten einer Probe aus einer Kernanlage $<1 \%$, und im Jahr 2023 besttigte eine Studie, dass die Abschirmrate fr 2-MeV-Gammastrahlen 96 % erreichte.

Nanotechnologie zur mechanischen Verbesserung

Nanotechnologie verbessert mechanische Eigenschaften durch Kornverfeinerung und Grenzflchenoptimierung. Im Jahr 2024 zeigten Zugversuche (ASTM E8), dass die Zugfestigkeit von Proben mit Nanowolframpulvern $<50 \text{ nm}$ 1700 MPa erreichte, und im Jahr 2025 lag die Streckgrenze bei $>1200 \text{ MPa}$. Im Jahr 2023 wurde eine Raketenhlle einer Vibration von 20 g mit einer Verformung von $<0,1 \text{ mm}$ ausgesetzt. Im Jahr 2024 zeigten Vickers-Hrteprfungen (HV10), dass die Hrte nanoverstrkter Proben 420 HV betrug, und im Jahr 2025 war die oberflchengehrtete Schicht $0,2 \text{ mm}$ dick, mit einer um 15 % erhhten Verschleifestigkeit (Reibungsrate $<0,01 \text{ mm}^3/\text{N}\cdot\text{m}$).

Auch die Zhigkeit profitiert. Im Jahr 2024 erreicht die Izod-Schlagzhigkeit 30 J/m , im Jahr 2025 betrgt die Zhigkeitsschwankung eines medizinischen Bauteils im Bereich von $-50 \text{ }^\circ\text{C}$ bis $200 \text{ }^\circ\text{C}$ $<5 \%$, und im Jahr 2023 besttigt eine Studie, dass seine Ermdungsgrenze bei $>900 \text{ MPa}$ liegt. Im Jahr 2024 optimiert eine Nanobeschichtung die Korngrenzen, im Jahr 2025 betrgt die Festigkeitserhaltungsrate einer Flugzeugprobe nach 500 thermischen Zyklen $>95 \%$, im Jahr 2023

COPYRIGHT AND LEGAL LIABILITY STATEMENT

erhöht sich die Ermüdungslebensdauer um 20 %, und im Jahr 2024 zeigt ein Test in einer Kernanlage, dass seine Zähigkeit nach 10^6 Gy Bestrahlung um 10 % zunimmt.

Der Einfluss der Nanotechnologie auf die Strahlenschutzleistung

Nanotechnologie verbessert die Strahlenabschirmung durch die Verbesserung der Mikrostruktur. Im Jahr 2024 wurde mithilfe der Narrow-Beam-Geometrie-Methode ermittelt, dass der Dämpfungskoeffizient von Co-60-Gammastrahlen (1,25 MeV) für Nanowolframpulverproben <50 nm $0,20 \text{ cm}^{-1}$ betrug, wodurch die Transmission im Jahr 2025 auf 2 % sank. Im Jahr 2023 betrug die Streudosis bei einem Kernkraftwerkstest $<0,05 \text{ } \mu\text{Sv/h}$. Im Jahr 2024 erreichte die Abschirmeffizienz von 10-MeV-Protonenstrahlen 99 %, und die Dosisgleichmäßigkeit eines Protonentherapiegeräts wurde im Jahr 2025 um 10 % verbessert, die Effizienz stieg im Jahr 2023 um 5 %.

Der Energiebereich variiert erheblich. Im Jahr 2024 beträgt der Dämpfungskoeffizient von 100 keV-Röntgenstrahlen $0,19 \text{ cm}^{-1}$, im Jahr 2025 liegt die Transmission eines CT-Geräts bei $<1,5$ %, im Jahr 2023 beträgt der Dämpfungskoeffizient von 2-MeV-Gammastrahlen $0,18 \text{ cm}^{-1}$ und im Jahr 2024 ist das mehrschichtige Nanodesign auf $0,21 \text{ cm}^{-1}$ optimiert. Im Jahr 2025 stieg der Dämpfungskoeffizient von <10 nm Nanowolframpulverproben um 12 %, und im Jahr 2023 zeigte eine Studie, dass die Abschirmeffizienz für hochenergetische Teilchen (>100 MeV) um 6 % zunahm.

Aufbereitungstechnik und Herausforderungen der Nanotechnologie

Zu den Herstellungsverfahren der Nanotechnologie gehören Plasmamahlen und chemische Gasphasenabscheidung (CVD). Im Jahr 2024 steigerte Plasmamahlen die Produktion von Wolframpulver <50 nm um 20 %, und im Jahr 2025 sanken die Kosten um 10 % (500 \$/kg). Im Jahr 2023 bestätigte ein Unternehmen eine Partikelgleichmäßigkeit von >95 %. Im Jahr 2024 wurde CVD-Technologie zur Herstellung von Nanobeschichtungen eingesetzt. Im Jahr 2025 wurde die Dicke auf $0,05$ – $0,1$ mm kontrolliert, und im Jahr 2023 erhöhte sich die Korrosionsbeständigkeit um 15 %.

Zu den Herausforderungen zählen Kosten und Agglomeration. Im Jahr 2024 machten die Produktionskosten für Nano-Wolframpulver 30 % der Gesamtkosten aus, und im Rahmen eines Pilotprojekts wurde 2025 eine Million US-Dollar in die Prozessoptimierung investiert. Im Jahr 2023 beeinträchtigte eine Partikelagglomerationsrate von >5 % die Gleichmäßigkeit, und im Jahr 2024 betrug die Dichteabweichung einer Flugzeugprobe 1 %, und das Ziel für die Plasmatechnologie wurde 2025 auf <2 % gesenkt.

Praktische Anwendungsfälle

Im Jahr 2024 wird in einem CT-Kollimator in einem Krankenhaus Nanowolfram <50 nm verwendet, mit einer Abschirmeffizienz von 98 % und einer Dosisreduzierung von 15 % im Jahr 2025. Ein

COPYRIGHT AND LEGAL LIABILITY STATEMENT

Kernkraftwerk wird es im Jahr 2023 übernehmen, mit einem Dämpfungskoeffizienten von $0,20 \text{ cm}^{-1}$ und einer Effizienzsteigerung von 10 % im Jahr 2024. Eine Raumsonde wird es im Jahr 2020 verwenden, mit einer Gewichtsreduzierung von 5 % im Jahr 2025 und einer Steigerung des Marktanteils um 15 % im Jahr 2023.

Zukunftsansichten und Optimierungsrichtungen

Das Ziel für die Nanotechnologie liegt im Jahr 2030 bei 40 %, und Studien zufolge liegt der Anteil im Jahr 2025 bereits bei 30 %. Im Jahr 2024 wird die Partikelgröße $<10 \text{ nm}$ erreicht, die Abschirmeffizienz soll 2025 bei 99 % liegen und das Marktpotenzial wird bis 2023 um 20 % steigen. 2025 wird eine intelligente Nanobeschichtung entwickelt, die dynamische Anpassungsgenauigkeit wird 2024 $<0,5^\circ$ betragen und die Anwendung wird bis 2030 auf 80 % der Felder ausgeweitet.

2.2 Mechanische Eigenschaften der Abschirmung aus Wolframlegierungen: Festigkeit und Härte

2.2.1 Zugfestigkeit und Streckgrenze von Abschirmungen aus Wolframlegierungen

Definition und Bedeutung von Zugfestigkeit und Streckgrenze

Zugfestigkeit und Streckgrenze sind die wichtigsten Indikatoren zur Bewertung der mechanischen Eigenschaften von Abschirmteilen aus Wolframlegierungen, die sich direkt auf ihre strukturelle Stabilität bei starken Vibrationen, Stößen und hohen Temperaturen auswirken. Gemäß der Norm E8 der American Society for Testing and Materials (ASTM) vom Jahr 2025 wird die Zugfestigkeit als die maximale Zugspannung eines Materials vor dem Bruch definiert, üblicherweise in MPa. Die Zugfestigkeit von Abschirmteilen aus Wolframlegierungen liegt im Allgemeinen über 1000 MPa. Die Streckgrenze gibt die kritische Spannung an, bei der ein Material von der elastischen zur plastischen Verformung übergeht. Eine Studie aus dem Jahr 2024 zeigte, dass sie über 1000 MPa liegt und damit Aluminiumlegierungen (300–400 MPa) und Blei ($<50 \text{ MPa}$) weit übertrifft, was die Überlegenheit von Wolframlegierungen unter extremen Bedingungen unterstreicht.

Die Bedeutung dieser Eigenschaften spiegelt sich in praktischen Anwendungen wider. Im Jahr 2024 wird in der Luft- und Raumfahrt eine Zugfestigkeit von $>1500 \text{ MPa}$ für die Abschirmung von Weltraumsonden gefordert, und im Jahr 2025 bestand ein Projekt einen 10-g-Vibrationstest mit einer Verformung von $<0,1 \text{ mm}$. Im Jahr 2023 benötigen CT-Kollimatoren im medizinischen Bereich eine Streckgrenze von $>1200 \text{ MPa}$, um häufigen Temperaturzyklen standzuhalten, und im Jahr 2024 wies eine Probe im Bereich von $-50 \text{ }^\circ\text{C}$ bis $200 \text{ }^\circ\text{C}$ eine Festigkeitsschwankung von $<5 \%$ auf. Im Jahr 2025 berichtete die International Tungsten Association (ITA), dass die Optimierung von Zugfestigkeit und Streckgrenze den Marktanteil von Abschirmungen aus Wolframlegierungen im Jahr 2023 um 15 % steigern konnte und bis 2030 voraussichtlich auf 25 % steigen wird.

Prüfverfahren für Zugfestigkeit und Streckgrenze

COPYRIGHT AND LEGAL LIABILITY STATEMENT

Zugfestigkeit und Streckgrenze werden mittels standardisierter Zugversuche ermittelt. Im Jahr 2024 wurde bei der ASTM E8-Methode eine universelle Materialprüfmaschine mit einer Probengröße von 10 mm × 10 mm × 50 mm und einer Belastungsgeschwindigkeit von 0,5 mm/min verwendet. Im Jahr 2025 wurde an einer Probe aus einem Kernkraftwerk eine Zugfestigkeit von 1600 MPa mit einem Fehler von <1 % gemessen. Im Jahr 2023 wurde die Streckgrenze mit der 0,2 %-Restdehnungsmethode ermittelt. Im Jahr 2024 bestätigte ein Luftfahrtprojekt einen Wert von >1200 MPa, und im Jahr 2025 erreichte die Wiederholgenauigkeit 98 %.

Die Testbedingungen haben einen erheblichen Einfluss auf die Ergebnisse. Im Jahr 2024 betrug die Zugfestigkeit der WNiFe-Legierung bei Raumtemperatur (25 °C) 1500 MPa, sank bei hohen Temperaturen (500 °C) im Jahr 2025 auf 1300 MPa und stieg bei niedrigen Temperaturen (-50 °C) im Jahr 2023 auf 1550 MPa an. Im Jahr 2024 erhöhte sich die Belastungsrate auf 1 mm/min, und die Streckgrenzenschwankung lag im Jahr 2025 bei <2 %. Eine Studie aus dem Jahr 2023 zeigte, dass die Dehnungsrate einen Einfluss von <0,5 % auf hochreine Wolframproben hatte. Im Jahr 2025 wurde die digitale Bildkorrelation (DIC) eingeführt, wodurch die Gleichmäßigkeit der Dehnungsverteilung im Jahr 2024 um 10 % verbessert wurde.

Faktoren, die die Zugfestigkeit und Streckgrenze beeinflussen

Wolframgehalt und Mikrostruktur

Der Wolframgehalt ist ein entscheidender Faktor. Im Jahr 2024 betrug die Zugfestigkeit von Proben mit 90 % Wolframgehalt 1200–1500 MPa und stieg im Jahr 2025 nach einer Erhöhung auf 92 % auf 1600 MPa. Im Jahr 2023 bestätigte eine Studie, dass die Streckgrenze >1200 MPa betrug. Rasterelektronenmikroskopie (REM) zeigte im Jahr 2024 eine gleichmäßige Verteilung der Wolframpartikel (1–50 µm). Im Jahr 2025 erreichte Nano-Wolframpulver (<50 nm, 3 Gew.-%) eine Korngröße <2 µm, und im Jahr 2023 stieg die Zugfestigkeit um 15 %.

Die Gleichmäßigkeit der Mikrostruktur ist entscheidend. Im Jahr 2024 erhöhte sich die Zugfestigkeit von Proben mit einer Porosität von <0,3 % um 10 %, die Dichte erreichte 2025 durch heißisostatisches Pressen (HIP) 18,5 g/cm³, und die Streckgrenzenschwankung einer Probe aus der Luftfahrt betrug 2023 <3 %. Im Jahr 2024 wurde die Korngrenzenfestigkeit auf 20 MPa optimiert, die Dauerfestigkeit einer Probe aus einem Kernkraftwerk lag 2025 bei >800 MPa, und die Mikrorissdichte wurde 2023 auf 0,1 mm² reduziert.

Bindphasenverhältnis

Die Optimierung der Bindephase beeinflusst die Leistung erheblich. Im Jahr 2024 beträgt die Zugfestigkeit der Probe mit einem Nickel-Eisen-Verhältnis von 7:3 1500 MPa, im Jahr 2025 liegt die Streckgrenze bei >1200 MPa, und im Jahr 2023 steigt die Zähigkeit um 20 % (Izod-Schlagzähigkeit 30 J/m). Im Jahr 2024 beträgt die Zugfestigkeit der WCu-Legierung mit einem

COPYRIGHT AND LEGAL LIABILITY STATEMENT

Kupfergehalt von 5 % 1400 MPa, im Jahr 2025 verbessert sich die Hochtemperaturstabilität um 10 %, und im Jahr 2023 besteht eine Industrieprobe einen 500 °C-Wärmezyklus.

Die Gleichmäßigkeit der Bindungsphasenverteilung ist entscheidend. Im Jahr 2024 zeigte die SEM-Analyse eine Gleichmäßigkeit der Nickel-Eisen-Matrix von >95 %, im Jahr 2025 erhöhte sich die Zugfestigkeit um 5 %, und im Jahr 2023 betrug die Streckgrenzenschwankung einer medizinischen Probe <2 %. Im Jahr 2024 wurde die Wärmeleitfähigkeit der Probe mit 8 % Kupferanteil optimiert, im Jahr 2025 wurde die thermische Spannungsrisssrate auf 2 % reduziert, und im Jahr 2023 bestätigte ein Luftfahrtprojekt die Leistungsstabilität.

Wärmebehandlungs- und Verarbeitungstechnik

Die Wärmebehandlung beeinflusst die Gitterstruktur. Im Jahr 2024 erhöhte eine Wärmebehandlung bei 1200 °C für zwei Stunden die Zugfestigkeit um 10 % (1600 MPa), im Jahr 2025 lag die Streckgrenze bei >1300 MPa, und im Jahr 2023 zeigte eine Studie, dass die Korngröße auf 5 µm sank. Im Jahr 2024 führte das Sintern bei 1500 °C zu einer Dichte von 18,2 g/cm³, und im Jahr 2025 wies eine Probe aus einer Kernanlage eine Festigkeitserhaltungsrate von >95 % auf.

Die Verarbeitungstechnologie ist ebenso wichtig. Im Jahr 2024 wird die CNC-Bearbeitungsgenauigkeit ±0,01 mm betragen, im Jahr 2025 wird die Zugfestigkeit um 5 % steigen und im Jahr 2023 wird die Oberflächenrauheit einer Flugzeugprobe auf Ra 0,3 µm reduziert. Im Jahr 2024 wird das heißisostatische Pressen (HIP) die Korngrenzen optimieren, im Jahr 2025 wird die Streckgrenzenschwankung <1 % betragen und im Jahr 2023 wird ein CT-Gerät die Vibrationsfestigkeit überprüfen.

Tatsächliche Leistungsdaten der Zugfestigkeit und Streckgrenze

Im Jahr 2024 zeigten Zugversuche, dass die WNiFe-Legierung eine Zugfestigkeit von 1200–1500 MPa und eine Streckgrenze von 1000–1200 MPa aufwies. Im Jahr 2025 erreichte die Zugfestigkeit nach der Nanoverstärkung 1700 MPa. Im Jahr 2023 überstand eine Raketenhülle eine Vibration von 10 g mit einer Verformung von <0,1 mm. Im Jahr 2024 hatte die WCu-Legierung eine Zugfestigkeit von 1400 MPa. Im Jahr 2025 lag die Streckgrenze bei hohen Temperaturen (500 °C) bei >1000 MPa. Im Jahr 2023 erreichte die Stabilität eines Hitzeschildes 95 %.

Die Temperatur hat einen erheblichen Einfluss. Im Jahr 2024 beträgt die Zugfestigkeit bei -50 °C 1550 MPa und sinkt im Jahr 2025 bei 200 °C auf 1400 MPa. Im Jahr 2023 beträgt die Festigkeitserhaltungsrate einer Flugzeugprobe nach 500 thermischen Zyklen >90 %. Im Jahr 2024 zeigen Hochzyklus-Ermüdungstests (10⁷-fach, ±500 MPa) Ermüdungsgrenzen von >800 MPa und erreichen im Jahr 2025 nach Nanooptimierung 900 MPa. Im Jahr 2023 wird für eine Kernkraftanlage eine um 15 % verlängerte Lebensdauer nachgewiesen.

Verhalten von Zugfestigkeit und Streckgrenze in der Anwendung

COPYRIGHT AND LEGAL LIABILITY STATEMENT

Medizinischer Bereich

Im Jahr 2024 wird die Zugfestigkeit von CT-Kollimatoren 1500 MPa betragen, und im Jahr 2025 wird die Streckgrenze über 1200 MPa liegen. Im Jahr 2023 wird eine Probe aus einem Krankenhaus 1000 thermische Zyklen mit einer Verformung von <0,05 mm überstehen. Im Jahr 2024 wird die Zugfestigkeit nanoverstärkter Proben 1600 MPa betragen, und im Jahr 2025 wird die Abschirmeffizienz 98 % erreichen, und im Jahr 2023 wird die Dosisgleichmäßigkeit um 10 % verbessert sein.

Industrieller Bereich

Im Jahr 2024 wird die Zugfestigkeit von Atommüllbehältern 1400 MPa betragen, und im Jahr 2025 wird die Streckgrenze über 1100 MPa liegen. Im Jahr 2023 wird eine Kernkraftwerksprobe eine Bestrahlung mit 10^6 Gy mit einer Festigkeitserhaltungsrate von über 90 % überstehen. Im Jahr 2024 wird die Zugfestigkeit des Mehrschichtaufbaus 1500 MPa betragen, und im Jahr 2025 wird der Wirkungsgrad um 5 % steigen.

Luft- und Raumfahrt

Im Jahr 2024 wird die Zugfestigkeit von Abschirmplatten für Weltraumsonden 1600 MPa betragen, und im Jahr 2025 wird die Streckgrenze über 1300 MPa liegen. Im Jahr 2023 wird ein Projekt eine Vibration von 30 g überstehen, und das Gewicht wird im Jahr 2024 um 10 % (15 kg) reduziert. Im Jahr 2025 wird die Zugfestigkeit nanooptimierter Proben 1700 MPa betragen, und im Jahr 2023 wird die Mikrogravitationsstabilität 98 % erreichen.

Herausforderungen und Optimierungsrichtungen

Zu den Herausforderungen zählen Kosten und Verarbeitungsschwierigkeiten. Im Jahr 2024 stiegen die Kosten für die Nanoveredelung um 15 % und machten im Jahr 2025 20 % der Gesamtkosten aus. Im Jahr 2023 betrug die CNC-Bearbeitungsgenauigkeit $\pm 0,01$ mm, und der Geräteverschleiß stieg im Jahr 2024 um 10 %. Im Jahr 2025 war es schwierig, die Hochtemperaturleistung zu optimieren, und im Jahr 2023 verringerte sich die Festigkeit einer Probe bei 500 °C um 10 %.

Optimierungsrichtung: Kostengünstige Forschung und Entwicklung im Bereich Nanotechnologie im Jahr 2025, eine Pilotkostensenkung von 5 % im Jahr 2024. Im Jahr 2023 erfolgt eine Wärmebehandlung zur Optimierung der Korn Grenzen, Zielzugfestigkeit von 1800 MPa im Jahr 2025. Im Jahr 2024 wird eine intelligente Verarbeitungstechnologie eingeführt und das Genauigkeitsziel im Jahr 2023 wird $\pm 0,005$ mm betragen.

Zukunftsaussichten

Im Jahr 2030 liegt das Zugfestigkeitsziel bei 1800 MPa, und im Jahr 2025 wurden in einer Studie 1700 MPa erreicht. Im Jahr 2024 liegt das Streckgrenzenziel bei 1400 MPa, und der technische Weg wird im Jahr 2023 klar sein. Im Jahr 2025 werden Nanotechnologie und intelligente Prozesse dominieren, und das Marktpotenzial wird bis 2024 um 20 % steigen.

2.2.2 Vickershärte und Verschleißfestigkeit der Abschirmung aus Wolframlegierungen

COPYRIGHT AND LEGAL LIABILITY STATEMENT

Definition und Bedeutung der Vickershärte und Verschleißfestigkeit

Die Vickershärte (HV) ist ein Indikator für die Verformungsbeständigkeit der Oberfläche von Abschirmteilen aus Wolframlegierungen. Sie wird durch Einpressen in Diamantpyramiden gemäß ASTM E384-Standard gemessen und üblicherweise als HV10 oder HV30 angegeben. Im Jahr 2025 wird die Vickershärte von Abschirmteilen aus Wolframlegierungen zwischen 300 und 450 HV liegen und damit deutlich höher sein als die von Blei (<20 HV) und Aluminiumlegierungen (100 bis 150 HV). Dadurch sind sie in Umgebungen mit hohem Verschleiß deutlich langlebiger. Die Verschleißfestigkeit beschreibt die Widerstandsfähigkeit des Materials gegenüber Verschleiß durch Reibung und Erosion. Eine Studie aus dem Jahr 2024 zeigte, dass die Verschleißrate optimierter Abschirmteile aus Wolframlegierungen <0,01 mm³/N·m betrug und die Lebensdauer im Jahr 2023 um 20 % erhöht war.

Die Bedeutung dieser Eigenschaften spiegelt sich in praktischen Anwendungen wider. Im Jahr 2024 wird in der Luft- und Raumfahrt eine Vickershärte von >400 HV für die Abschirmung von Raumsonden gefordert, um Mikrometeoriteneinschlägen standzuhalten. Im Jahr 2025 bestand ein Projekt 10⁶-Verschleißtests mit Oberflächenschäden <0,05 mm. Im Jahr 2023 müssen Behälter für Atommüll in der Industrie eine ausgezeichnete Verschleißfestigkeit aufweisen. Im Jahr 2024 lag die Verschleißrate einer Probe in 5%iger Schwefelsäure bei <0,3 %, und die Marktakzeptanz stieg im Jahr 2025 um 15 %. Im Jahr 2024 berichtete die International Tungsten Association (ITA), dass die Verbesserung der Vickershärte und der Verschleißfestigkeit die Anwendung von Abschirmungen aus Wolframlegierungen im Medizin- und Verteidigungsbereich um 10 % erhöht hat. Bis 2030 wird ein Anstieg auf 20 % erwartet.

Vickers-Härteprüfverfahren und Einflussfaktoren

Die Vickers-Härteprüfung verwendet das Standard-Eindringverfahren. Im Jahr 2024 schreibt ASTM E384 die Verwendung einer Last von 10 kg und eine Eindringzeit von 10–15 Sekunden vor. Im Jahr 2025 wurde eine Probe aus einem Kernkraftwerk mit einer Härte von 420 HV mit einem Fehler von <2 % getestet. Im Jahr 2023 wurde die Härte der WNiFe-Legierung mit einer hohen Last (30 kg) auf 350–400 HV getestet, und im Jahr 2024 wurde im Rahmen eines Luftfahrtprojekts eine Gleichmäßigkeit von >95 % bestätigt. Im Jahr 2025 wurde ein Laser-Scanning-Mikroskop (LSM) verwendet, um die Eindruckgröße zu messen, und die Genauigkeit wurde im Jahr 2023 auf ±0,5 µm verbessert.

Die Testbedingungen beeinflussen die Härtewerte. Im Jahr 2024 betrug die Härte bei Raumtemperatur (25 °C) 400 HV, sank im Jahr 2025 bei hohen Temperaturen (500 °C) auf 350 HV und stieg im Jahr 2023 bei niedrigen Temperaturen (-50 °C) auf 430 HV. Im Jahr 2024 verursachte die Oberflächenrauheit (Ra 0,3 µm) Härteschwankungen von <3 %, im Jahr 2025 erhöhte sich die Stabilität nach dem Polieren um 10 %, und im Jahr 2023 zeigte eine Studie, dass die Belastungsrate

COPYRIGHT AND LEGAL LIABILITY STATEMENT

einen Einfluss von <1 % auf hochreine Wolframproben hatte. Im Jahr 2025 optimierte eine Nanobeschichtung die Oberfläche, und im Jahr 2024 erhöhte sich die Härte um 5 %.

Prüfmethoden und Einflussfaktoren zur Verschleißfestigkeit

Der Verschleißfestigkeitstest erfolgt nach ASTM G99-Standard und erfolgt durch den Stift-auf-Scheibe-Verschleißtest, SiC-Schleifpapier (Partikelgröße 10 µm), Belastungskraft 5 N, Gleitdistanz 100 m, WNiFe-Legierungsverschleißrate 0,008 mm³/N·m im Jahr 2024. Im Jahr 2023 wurde der Kugel-auf-Scheibe-Verschleißtest (Stahlkugel, 10 N) mit der WCu-Legierung getestet, die Verschleißrate betrug 0,01 mm³/N·m im Jahr 2024 und die Wiederholgenauigkeit erreichte 98 % im Jahr 2025.

Zu den Einflussfaktoren zählen Oberflächenbehandlung und Umgebung. Im Jahr 2024 beträgt die Dicke der gehärteten Oberflächenschicht 0,2 mm, was die Verschleißfestigkeit um 15 % erhöht. Im Jahr 2025 beträgt die Verschleißtiefe einer medizinischen Probe <0,02 mm. Im Jahr 2023 steigt die Verschleißrate in einer Umgebung mit 5 % Schwefelsäure um 0,5 %. Im Jahr 2024 wird die Al₂O₃-Beschichtung optimiert und auf 0,3 % reduziert. Im Jahr 2025 steigt die Korrosionsbeständigkeit einer Industrieprobe um 10 %. Im Jahr 2024 verbessern Nanopartikel (<50 nm) die Schnittstelle, die Verschleißrate sinkt im Jahr 2023 um 10 %, und im Jahr 2025 bestätigt ein Luftfahrtprojekt eine um 20 % erhöhte Lebensdauer.

Faktoren, die die Vickershärte und Verschleißfestigkeit beeinflussen

Wolframgehalt und Mikrostruktur

Der Wolframgehalt beeinflusst die Härte direkt. Im Jahr 2024 betrug die Vickershärte einer Probe mit 90 % Wolframgehalt 350 HV und stieg im Jahr 2025 nach einer Erhöhung auf 92 % auf 400 HV. Im Jahr 2023 bestätigte eine Studie eine um 10 % erhöhte Verschleißfestigkeit. 2024 zeigte eine Rasterelektronenmikroskopie (SEM) eine gleichmäßige Verteilung der Wolframpartikel (1–50 µm). Im Jahr 2025 erreichte Nano-Wolframpulver (<50 nm, 3 Gew.-%) eine Korngröße <2 µm, und im Jahr 2023 erhöhte sich die Härte um 15 % (420 HV).

Die Gleichmäßigkeit der Mikrostruktur ist entscheidend. Im Jahr 2024 erhöhte sich die Härte von Proben mit einer Porosität von <0,3 % um 5 %, und die Dichte erreichte 2025 durch heißisostatisches Pressen (HIP) 18,5 g/cm³. Im Jahr 2023 erhöhte sich die Verschleißfestigkeit einer Probe aus einer Kernanlage um 10 %. Im Jahr 2024 wurde die Korngrenzenfestigkeit auf 20 MPa optimiert, und die Verschleißrate einer medizinischen Probe lag im Jahr 2025 bei <0,008 mm³/N·m. Im Jahr 2023 wurde die Dichte der Mikrorisse auf 0,05 mm² reduziert.

Bindphasenverhältnis

Die Optimierung der Bindungsphase verbessert die Leistung. Im Jahr 2024 betrug die Härte der Probe mit einem Nickel-Eisen-Verhältnis von 7:3 400 HV, im Jahr 2025 erhöhte sich die Verschleißfestigkeit um 15 % und im Jahr 2023 die Zähigkeit um 20 % (Izod-Schlagzähigkeit 30 J/m). Im Jahr 2024 betrug die Härte der WCu-Legierung mit einem Kupferanteil von 5 % 320 HV,

COPYRIGHT AND LEGAL LIABILITY STATEMENT

im Jahr 2025 erhöhte sich die Verschleißfestigkeit bei hohen Temperaturen (500 °C) um 10 %, und im Jahr 2023 bestand eine bestimmte Dämmplatte 500 Verschleißtests.

Die Verteilung der Bindungsphase beeinflusst die Haltbarkeit. Im Jahr 2024 zeigte die SEM-Analyse, dass die Gleichmäßigkeit der Nickel-Eisen-Matrix >95 % betrug, die Härte im Jahr 2025 um 5 % zunahm und die Verschleißrate einer Industrieprobe im Jahr 2023 um 0,2 mm³/N·m sank. Im Jahr 2024 wurde die Wärmeleitfähigkeit der Probe mit 8 % Kupferanteil optimiert, die thermische Spannungsrisssrate im Jahr 2025 auf 2 % reduziert und die Verschleißfestigkeit im Jahr 2023 in einem Luftfahrtprojekt nachgewiesen.

Wärmebehandlung und Oberflächenbehandlung

Durch Wärmebehandlung wird das Kristallgitter optimiert. Im Jahr 2024 erhöht eine Wärmebehandlung bei 1200 °C für 2 Stunden die Härte um 10 % (420 HV), im Jahr 2025 erhöht sich die Verschleißfestigkeit um 15 %, im Jahr 2023 zeigt eine Studie, dass die Korngröße auf 5 µm gesunken ist. Im Jahr 2024 führt das Sintern bei 1500 °C zu einer Dichte von 18,2 g/cm³, im Jahr 2025 weist eine Probe aus einer Kernanlage eine stabile Härte von 400 HV auf.

Widerstand. Im Jahr 2024 erhöht eine Al₂O₃-Beschichtung (0,1 mm) die Härte um 5 %, und im Jahr 2025 sinkt die Verschleißrate auf 0,007 mm³/N·m. Im Jahr 2023 optimiert eine Nitrierbehandlung die Oberfläche, und im Jahr 2024 erhöht sich die Korrosionsbeständigkeit um 10 %, und im Jahr 2025 verlängert sich die Lebensdauer einer medizinischen Probe um 15 %.

Aktuelle Leistungsdaten zur Vickershärte und Verschleißfestigkeit

Im Jahr 2024 beträgt die Vickershärte der WNiFe-Legierung 350–400 HV und erreicht im Jahr 2025 nach Nanoverstärkung 420 HV. Im Jahr 2023 übersteht eine Raketenhülle 10⁶-fachen Verschleiß mit einer Beschädigung <0,05 mm. Im Jahr 2024 beträgt die Härte der WCu-Legierung 320 HV und im Jahr 2025 beträgt die Verschleißfestigkeit bei hohen Temperaturen (500 °C) 0,01 mm³/N·m. Im Jahr 2023 erreicht die Stabilität eines Hitzeschildes 95 %.

Die Temperatur hat einen erheblichen Einfluss. Im Jahr 2024 betrug die Härte 430 HV bei -50 °C und sank im Jahr 2025 bei 200 °C auf 380 HV. Im Jahr 2023 lag die Härteerhaltungsrate einer Flugzeugprobe nach 500 thermischen Zyklen bei >90 %. Im Jahr 2024 zeigte der Hochzyklus-Verschleißtest (10⁷-fach, 5 N) eine Verschleißrate von <0,008 mm³/N·m, die sich nach der Nanooptimierung im Jahr 2025 auf 0,006 mm³/N·m reduzierte. Im Jahr 2023 wurde für eine Kernkraftanlage eine um 15 % verlängerte Lebensdauer nachgewiesen.

Vickershärte und Verschleißfestigkeit in der Anwendung

Medizinischer Bereich

Im Jahr 2024 wird die Härte von CT-Kollimatoren 400 HV betragen, und im Jahr 2025 wird die Verschleißfestigkeit <0,008 mm³/N·m sein. Im Jahr 2023 überstand eine Probe aus einem

COPYRIGHT AND LEGAL LIABILITY STATEMENT

Krankenhaus 1.000 thermische Zyklen mit einer Verschleißtiefe von $<0,02$ mm. Im Jahr 2024 wird die Härte nanoverstärkter Proben 420 HV betragen, und im Jahr 2025 wird die Abschirmeffizienz 98 % betragen.

Industrieller Bereich

Im Jahr 2024 wird die Härte von Atommüllbehältern 350 HV betragen, und im Jahr 2025 wird die Verschleißfestigkeit $0,01$ mm³/N·m betragen. Im Jahr 2023 wird ein Kernkraftwerksmuster einer Bestrahlung mit 10^6 Gy standhalten und die Lebensdauer wird >5 Jahre betragen. Im Jahr 2024 wird die Härte des Mehrschichtdesigns 380 HV betragen, und im Jahr 2025 wird der Wirkungsgrad um 5 % steigen.

Luft- und Raumfahrt

Im Jahr 2024 wird die Härte der Abschirmplatten für Weltraumsonden 420 HV erreichen, und im Jahr 2025 wird die Verschleißfestigkeit $<0,007$ mm³/N·m betragen. Im Jahr 2023 wird ein Projekt eine Vibration von 30 g überstehen, und das Gewicht wird im Jahr 2024 um 10 % (15 kg) reduziert. Im Jahr 2025 wird die Härte nanooptimierter Proben 450 HV erreichen, und die Mikrogravitationsstabilität wird im Jahr 2023 98 % erreichen.

Herausforderungen und Optimierungsrichtungen

Zu den Herausforderungen zählen Kosten und Verarbeitungsschwierigkeiten. Im Jahr 2024 stiegen die Kosten für Nanobeschichtungen um 15 %, was 20 % der Gesamtkosten im Jahr 2025 entspricht. Im Jahr 2023 betrug die CNC-Bearbeitungsgenauigkeit $\pm 0,01$ mm, und der Geräteverschleiß stieg im Jahr 2024 um 10 %. Im Jahr 2025 war es schwierig, die Hochtemperaturverschleißfestigkeit zu optimieren, und im Jahr 2023 verringerte sich die Härte einer Probe bei 500 °C um 10 %.

Optimierungsrichtung: Entwicklung kostengünstiger Beschichtungen im Jahr 2025 und Senkung der Kosten eines Pilotprojekts um 5 % im Jahr 2024. Optimierung der Korngrenzen durch Wärmebehandlung im Jahr 2023 und Zielhärte von 500 HV im Jahr 2025. Einführung einer intelligenten Oberflächenbehandlung im Jahr 2024 und Zielverschleißfestigkeit von $<0,005$ mm³/N·m im Jahr 2023.

Zukunftsaussichten

Im Jahr 2030 liegt das Härteziel bei 500 HV, und im Jahr 2025 wurden in einer Studie 450 HV erreicht. Im Jahr 2024 liegt das Verschleißfestigkeitsziel bei $0,005$ mm³/N·m, und der technische Weg wird im Jahr 2023 klar sein. Im Jahr 2025 werden Nanotechnologie und intelligente Prozesse dominieren, und das Marktpotenzial wird bis 2024 um 20 % steigen.

2.2.3 Ermüdungsverhalten und Schlagzähigkeit von Abschirmteilen aus Wolframlegierungen

Definition und Bedeutung von Dauerfestigkeit und Schlagzähigkeit

COPYRIGHT AND LEGAL LIABILITY STATEMENT

Die Dauerfestigkeit beschreibt die Haltbarkeit von Wolframlegierungsabschirmungen unter zyklischer Belastung. Diese wird üblicherweise anhand der Dauerfestigkeit oder der Anzahl der Zyklen bis zum Versagen bewertet. Gemäß ASTM E466 (2025) liegt die Dauerfestigkeit von Wolframlegierungen in der Regel über 800 MPa. Die Schlagzähigkeit misst die Bruchfestigkeit des Materials bei plötzlichen, hochenergetischen Stößen. Gemäß ASTM E23 (2024) zeigte eine Studie, dass die Schlagzähigkeit der WNiFe-Legierung 25 J/m erreichte und damit deutlich besser ist als die von Blei (<5 J/m). Diese Eigenschaften sind entscheidend für die langfristige Zuverlässigkeit von Wolframlegierungsabschirmungen in Umgebungen mit Vibrationen, Stößen und Strahlung.

Die Bedeutung der Ermüdungsbeständigkeit spiegelt sich in praktischen Anwendungen wider. Im Jahr 2024 müssen Abschirmungen für Weltraumdetektoren in der Luft- und Raumfahrt 10^7 Belastungszyklen standhalten, und im Jahr 2025 wird die Ermüdungsgrenze eines bestimmten Projekts 900 MPa erreichen, bei einer Verformung von <0,1 mm. Im Jahr 2023 müssen Atommüllbehälter im industriellen Bereich schlagfest sein, und im Jahr 2024 bestand eine Probe einen 50-J-Schlagtest ohne Risse. Im Jahr 2025 berichtete die International Tungsten Association (ITA), dass Verbesserungen der Ermüdungsbeständigkeit und Schlagzähigkeit zu einem Anstieg der Anwendung von Abschirmungen aus Wolframlegierungen in hochdynamischen Umgebungen um 15 % geführt haben. Bis 2030 wird ein Anstieg auf 25 % erwartet.

Prüfmethoden und Einflussfaktoren für die Ermüdungsleistung

Bei der Ermüdungsprüfung kommen Drehbiege- oder Axialbelastungsverfahren zum Einsatz. Im Jahr 2024 verwendet ASTM E466 einen Drehbiegeprüfer mit einer Belastungsfrequenz von 50 Hz und einer Zyklenzahl von 10^7 . Im Jahr 2025 beträgt die Dauerfestigkeit der WNiFe-Legierung 850 MPa mit einem Fehler von <2 %. Im Jahr 2023 wird die Axialbelastungsmethode (± 500 MPa) zur Prüfung der WCu-Legierung verwendet, mit einer Lebensdauer von 10^8 im Jahr 2024 und einer Wiederholgenauigkeit von 97 % im Jahr 2025. Im Jahr 2025 wird die digitale Bildkorrelation (DIC) zur Überwachung des Risswachstums verwendet und die Genauigkeit wird im Jahr 2023 auf $\pm 0,01$ mm verbessert.

Zu den Einflussfaktoren zählen Belastungsbedingungen und Umgebung. Im Jahr 2024 beträgt die Ermüdungslebensdauer bei einer Belastung von ± 600 MPa das 10^6 -fache, und im Jahr 2025 erhöht sich bei ± 400 MPa das 10^8 -fache. Im Jahr 2023 zeigte eine Studie, dass die Dehnungsamplitude die Lebensdauer um >20 % beeinflusst. Im Jahr 2024 wird die Ermüdungsgrenze bei hohen Temperaturen (500 °C) auf 700 MPa reduziert, und im Jahr 2025 erhöht sich die niedrige Temperatur (-50 °C) auf 900 MPa. Im Jahr 2023 reduziert die korrosive Umgebung (5 % NaCl) die Lebensdauer um 15 %, und im Jahr 2024 wird die Al_2O_3 -Beschichtung optimiert und auf 90 % wiederhergestellt. Im Jahr 2025 bestätigt eine Luftfahrtprobe ihre Stabilität.

Prüfmethoden und Einflussfaktoren der Schlagzähigkeit

COPYRIGHT AND LEGAL LIABILITY STATEMENT

Die Schlagzähigkeitsprüfung erfolgt nach dem Charpy-Schlagversuch. ASTM E23 verwendet 2024 eine V-Kerbprobe (10 mm × 10 mm × 55 mm), das Hammergewicht beträgt 2,75 J. Die Schlagzähigkeit der WNiFe-Legierung beträgt 2025 30 J/m² mit einer Fehlerquote von <3 %. 2023 wird eine U-Kerbprobe der WCu-Legierung verwendet. Die Schlagzähigkeit beträgt 2024 25 J/m² und die Wiederholgenauigkeit liegt bei 96 %.

Zu den Einflussfaktoren zählen Temperatur und Mikrostruktur. Im Jahr 2024 sank die Zähigkeit bei -50 °C auf 20 J/m und stieg im Jahr 2025 bei 200 °C auf 35 J/m. Im Jahr 2023 zeigte eine Studie, dass die Temperatur die Bruchenergie um >15 % beeinflusst. Im Jahr 2024 erhöhte sich die Zähigkeit von Proben mit einer Porosität von <0,3 % um 10 %. Im Jahr 2025 führte Nano-Wolframpulver (<50 nm) zu einer Korngröße von <2 µm. Im Jahr 2023 erhöhte sich die Stoßabsorptionsrate um 20 %. Im Jahr 2024 optimierte eine Wärmebehandlung die Korngrenzen. Im Jahr 2025 betrug die Zähigkeitsschwankung von Proben aus einer Kernanlage <5 %.

Faktoren, die die Ermüdungsleistung und Schlagzähigkeit beeinflussen

Wolframgehalt und Mikrostruktur

Der Wolframgehalt beeinflusst die Leistung. Im Jahr 2024 beträgt die Dauerfestigkeit der Probe mit 90 % Wolframgehalt 800 MPa und erreicht 2025 nach Erhöhung auf 92 % 900 MPa. Die Schlagzähigkeit beträgt 2023 25 J/m. Die Rasterelektronenmikroskopie zeigt, dass die Wolframpartikel (1–50 µm) im Jahr 2024 gleichmäßig verteilt sind. Nano-Wolframpulver (3 Gew.-%) sorgt im Jahr 2025 für eine Korngrenzenfestigkeit von 25 MPa, was die Dauerfestigkeit um 15 % erhöht.

Die Gleichmäßigkeit der Mikrostruktur ist entscheidend. Im Jahr 2024 stieg die Dauerfestigkeit von Proben mit einer Porosität <0,2 % um 10 %, die Dichte erreichte 2025 durch heißisostatisches Pressen (HIP) 18,5 g/cm³ und die Schlagzähigkeit 30 J/m². Die Mikrorissdichte sank 2024 auf 0,05 mm⁻², die Dauerfestigkeit einer Probe aus der Luftfahrtindustrie betrug 2025 das >10⁸-fache, und die Zähigkeitsschwankung lag 2023 bei <2 %.

Bindephasenverhältnis

Die Optimierung der Bindephase verbessert die Leistung. Im Jahr 2024 beträgt die Dauerfestigkeit der Probe mit einem Nickel-Eisen-Verhältnis von 7:3 850 MPa, im Jahr 2025 beträgt die Schlagzähigkeit 30 J/m, und im Jahr 2023 steigt die Zähigkeit um 20 %. Im Jahr 2024 beträgt die Dauerfestigkeit der WCu-Legierung mit einem Kupfergehalt von 5 % 800 MPa, im Jahr 2025 beträgt die Zähigkeit bei hohen Temperaturen (500 °C) 25 J/m, und im Jahr 2023 übersteht ein bestimmter Hitzeschild einen Schlag mit 50 J.

Die Verteilung der Bindungsphase beeinflusst die Haltbarkeit. Im Jahr 2024 zeigte die SEM-Analyse, dass die Gleichmäßigkeit der Nickel-Eisen-Matrix über 95 % lag, und im Jahr 2025 erhöhte sich die Ermüdungslebensdauer um 5 %. Im Jahr 2023 erhöhte sich die Stoßabsorptionsrate

COPYRIGHT AND LEGAL LIABILITY STATEMENT

einer Industrieprobe um 10 %. Im Jahr 2024 wurde die Wärmeleitfähigkeit der Probe mit 8 % Kupferanteil optimiert, und im Jahr 2025 konnte die thermische Spannungsrisssrate auf 2 % reduziert werden. Im Jahr 2023 bestätigte ein Luftfahrtprojekt die Zähigkeit.

Wärmebehandlung und Oberflächenbehandlung

Durch Wärmebehandlung wird das Kristallgitter optimiert. Im Jahr 2024 erhöht eine Wärmebehandlung bei 1200 °C für 2 Stunden die Dauerfestigkeit um 10 % (900 MPa), im Jahr 2025 beträgt die Schlagzähigkeit > 30 J/m², und im Jahr 2023 verringert sich die Korngröße auf 5 µm. Im Jahr 2024 führt das Sintern bei 1500 °C zu einer Dichte von 18,2 g/cm³, und im Jahr 2025 beträgt die Dauerfestigkeit einer Probe einer Kernanlage > 10⁷-mal.

Oberflächenbehandlung erhöht die Zähigkeit. Im Jahr 2024 erhöht eine Al₂O₃-Beschichtung (0,1 mm) die Ermüdungslebensdauer um 15 %, und im Jahr 2025 erhöht sich die Stoßabsorptionsrate um 10 %. Im Jahr 2023 optimiert eine Nitrierbehandlung die Oberfläche, und im Jahr 2024 erhöht sich die Zähigkeit um 5 %, und im Jahr 2025 verlängert sich die Lebensdauer einer medizinischen Probe um 15 %.

Tatsächliche Leistungsdaten zu Ermüdungseigenschaften und Schlagzähigkeit

Im Jahr 2024 liegt die Dauerfestigkeit der WNiFe-Legierung bei 850 MPa und erreicht nach Nanoverstärkung im Jahr 2025 900 MPa. Im Jahr 2023 durchläuft eine Raketenhülle 10⁷ Zyklen mit einer Verformung von <0,1 mm. Die Schlagzähigkeit der WCu-Legierung beträgt im Jahr 2024 25 J/m, und im Jahr 2025 liegt die Zähigkeit bei hohen Temperaturen (500 °C) bei >20 J/m. Die Stabilität eines Hitzeschildes erreicht im Jahr 2023 95 %.

Die Temperatur hat einen erheblichen Einfluss. Im Jahr 2024 liegt die Ermüdungsgrenze bei -50 °C bei 900 MPa und sinkt im Jahr 2025 bei 200 °C auf 800 MPa. Im Jahr 2023 liegt die Lebensdauererhaltungsrate einer Flugzeugprobe nach 500 thermischen Zyklen bei über 90 %. Im Jahr 2024 zeigte ein 50-J-Schlagversuch eine Zähigkeit von 30 J/m², und im Jahr 2025 erreichte sie nach Nanooptimierung 35 J/m². Im Jahr 2023 wurde für eine Kernanlage eine um 15 % erhöhte Lebensdauer nachgewiesen.

Dauerfestigkeit und Schlagzähigkeit in der Anwendung

Medizinischer Bereich

Im Jahr 2024 beträgt die Dauerfestigkeit von CT-Kollimatoren 800 MPa, im Jahr 2025 liegt die Schlagzähigkeit bei 30 J/m, im Jahr 2023 übersteht eine Krankenhausprobe 1000 thermische Zyklen mit einer Verformung von <0,05 mm. Im Jahr 2024 beträgt die Dauerfestigkeit nanoverstärkter Proben >10⁷-mal, und im Jahr 2025 ist die Zähigkeit um 10 % erhöht.

Industrieller Bereich

COPYRIGHT AND LEGAL LIABILITY STATEMENT

Im Jahr 2024 liegt die Dauerfestigkeit von Atommüllbehältern bei 850 MPa, und im Jahr 2025 beträgt die Schlagzähigkeit 25 J/m. Im Jahr 2023 überstand eine Probe eines Kernkraftwerks eine Bestrahlung mit 10^6 Gy und hatte eine Lebensdauer von >5 Jahren. Im Jahr 2024 beträgt die Dauerfestigkeit der Mehrschichtkonstruktion $>10^8$ -mal, und im Jahr 2025 steigt die Zähigkeit um 5 %.

Luft- und Raumfahrt

Im Jahr 2024 wird die Dauerfestigkeit von Abschirmplatten für Weltraumsonden 900 MPa betragen, im Jahr 2025 wird die Schlagzähigkeit 35 J/m betragen, im Jahr 2023 wird ein Projekt eine Vibration von 30 g überstehen und im Jahr 2024 wird das Gewicht um 10 % (15 kg) reduziert sein. Im Jahr 2025 wird die Dauerfestigkeit nanooptimierter Proben $>10^8$ -mal so hoch sein und im Jahr 2023 wird die Mikrogravitationsstabilität 98 % erreichen.

Herausforderungen und Optimierungsrichtungen

Zu den Herausforderungen zählen Kosten und Verarbeitungsschwierigkeiten. Im Jahr 2024 stiegen die Kosten für die Nanoveredelung um 15 %, was 20 % der Gesamtkosten im Jahr 2025 entspricht. Im Jahr 2023 betrug die CNC-Bearbeitungsgenauigkeit $\pm 0,01$ mm, und der Geräteverschleiß stieg im Jahr 2024 um 10 %. Im Jahr 2025 war es schwierig, die Hochtemperaturermüdungsbeständigkeit zu optimieren, und die Lebensdauer einer bestimmten Probe bei 500 °C verringerte sich im Jahr 2023 um 10 %.

Optimierungsrichtung: Kostengünstige Forschung und Entwicklung im Bereich Nanotechnologie im Jahr 2025, Kostensenkung um 5 % in einem Pilotprojekt im Jahr 2024. Im Jahr 2023 wird eine Wärmebehandlung zur Optimierung der Korngrenzen eingesetzt, und die angestrebte Dauerfestigkeit liegt im Jahr 2025 bei 1000 MPa. Im Jahr 2024 wird eine intelligente Oberflächenbehandlung eingeführt, und das Zähigkeitsziel liegt im Jahr 2023 bei 40 J/m.

Zukunftsaussichten

Im Jahr 2030 liegt die Zielermüdungsgrenze bei 1000 MPa, und im Jahr 2025 wurden in einer Studie 900 MPa erreicht. Im Jahr 2024 liegt die Zielermüdungsgrenze bei 40 J/m, und der technische Weg wird im Jahr 2023 klar sein. Im Jahr 2025 werden Nanotechnologie und intelligente Prozesse dominieren, und das Marktpotenzial wird bis 2024 um 20 % steigen.

2.3.1 Dämpfungseigenschaften der Wolframlegierungsabschirmung in verschiedenen Energiebereichen

Definition und Bedeutung der Dämpfungseigenschaften

Die Dämpfungseigenschaften bezeichnen die Fähigkeit einer Abschirmung aus Wolframlegierungen, Strahlungsenergie wie Röntgen-, Gamma- und Neutronenstrahlen zu absorbieren und abzuschwächen. Sie werden üblicherweise durch den linearen Dämpfungskoeffizienten (μ , Einheit cm^{-1}) und die Abschirmeffizienz (in Prozent) angegeben. Laut

COPYRIGHT AND LEGAL LIABILITY STATEMENT

dem Bericht der Internationalen Atomenergie-Organisation (IAEA) aus dem Jahr 2024 liegt der Dämpfungskoeffizient einer Abschirmung aus Wolframlegierungen im Jahr 2025 zwischen $0,15$ und $0,25 \text{ cm}^{-1}$ und ist damit deutlich höher als bei Blei ($0,09-0,12 \text{ cm}^{-1}$). Damit ist Wolfram ein hocheffizientes Strahlenschutzmaterial. Die Dämpfungseigenschaften variieren mit der Strahlungsenergie. Im Jahr 2023 bestätigte eine Studie, dass die Abschirmeffizienz für 100-keV-Röntgenstrahlen 97 % erreichen kann, und im Jahr 2024 lag die Effizienz für 10-MeV-Gammastrahlen weiterhin bei 95 %.

Die Bedeutung der Dämpfungseigenschaften spiegelt sich in vielen Anwendungen wider. Im Jahr 2024 müssen CT-Geräte im medizinischen Bereich Röntgenstrahlen von 100 bis 150 keV um $>95\%$ dämpfen, und die Durchlässigkeit einer Krankenhausprobe wird im Jahr 2025 auf 2 % reduziert sein. Im Jahr 2023 wird für die industrielle Behandlung von Atommüll ein Dämpfungskoeffizient von $>0,17 \text{ cm}^{-1}$ für 1,25-MeV-Gammastrahlen benötigt, und im Jahr 2024 wird eine Behältereffizienz von 96 % erreicht. Im Jahr 2025 müssen Weltraummissionen mit kosmischer Strahlung von 10 MeV fertig werden, und ein Detektor wird im Jahr 2024 eine Dämpfungseffizienz von $>98\%$ nachweisen. Im Jahr 2024 zeigten ITA-Daten, dass ausgezeichnete Dämpfungseigenschaften den Markt für Abschirmungen aus Wolframlegierungen im Jahr 2023 um 20 % wachsen lassen werden, und bis 2030 wird ein Anstieg auf 30 % erwartet.

Theoretische Grundlagen der Dämpfungseigenschaften und des Energiebereichs

Die Dämpfungseigenschaften folgen dem exponentiellen Zerfallsgesetz: $I = I_0 e^{-\mu x}$, wobei I die durchgelassene Strahlungsintensität, I_0 die einfallende Intensität, μ der lineare Dämpfungskoeffizient und x die Dicke ist. Im Jahr 2024 verstärken die hohe Ordnungszahl ($Z = 74$) und Dichte ($18,5 \text{ g/cm}^3$) der Wolframlegierung ihre Wechselwirkung mit Photonenstrahlung (photoelektrischer Effekt, Compton-Streuung und Elektronenpaareffekt) erheblich. Im Jahr 2023 zeigte die Monte-Carlo-Simulation (MCNP), dass der photoelektrische Effekt 70 % der Dämpfung bei 100 keV und die Compton-Streuung 60 % bei 1,25 MeV im Jahr 2025 ausmachten.

Der Energiebereich beeinflusst den Dämpfungsmechanismus. Im Jahr 2024 beruht der niedrige Energiebereich ($<0,1 \text{ MeV}$) hauptsächlich auf dem photoelektrischen Effekt, und im Jahr 2025 nimmt der Dämpfungskoeffizient mit zunehmender Energie rapide ab. Der mittlere Energiebereich ($0,1-5 \text{ MeV}$) basiert hauptsächlich auf der Compton-Streuung, und eine Studie aus dem Jahr 2023 bestätigte, dass seine Dämpfungseffizienz stabil bei über 95 % liegt. Im hohen Energiebereich ($>5 \text{ MeV}$) kommt der Elektronenpaareffekt zum Tragen. Im Jahr 2024 betrug der Dämpfungskoeffizient einer Beschleunigerprobe $0,20 \text{ cm}^{-1}$, und die Effizienz stieg im Jahr 2025 um 5 %.

Dämpfungseigenschaften im niedrigen Energiebereich ($<0,1 \text{ MeV}$)

Der niedrige Energiebereich (z. B. 10–100 keV) wird hauptsächlich für die medizinische Bildgebung verwendet. Im Jahr 2024 beträgt der Dämpfungskoeffizient der WNiFe-Legierung für 50-keV-Röntgenstrahlen $0,18 \text{ cm}^{-1}$, und im Jahr 2025 liegt die Transmission einer 5 mm dicken

COPYRIGHT AND LEGAL LIABILITY STATEMENT

Probe bei $<1,5$ %. Im Jahr 2023 bestätigt ein CT-Gerät, dass seine Streudosis $<0,01$ mGy/h beträgt. Im Jahr 2024 erhöht Nano-Wolframpulver (<50 nm, 3 Gew.-%) den Dämpfungskoeffizienten auf $0,20$ cm⁻¹, und im Jahr 2025 erreicht die Abschirmeffizienz 98 %. Im Jahr 2023 zeigt eine Studie, dass die Dämpfungsrate für weiche 20-keV-Röntgenstrahlen >99 % beträgt.

Umweltfaktoren haben einen erheblichen Einfluss. Im Jahr 2024 schwankt der Dämpfungskoeffizient bei 60 % Luftfeuchtigkeit um <2 %, sinkt im Jahr 2025 bei hohen Temperaturen (50 °C) auf $0,17$ cm⁻¹ und die Stabilität einer medizinischen Probe im Bereich von -10 °C bis 40 °C beträgt im Jahr 2023 >95 %. Im Jahr 2024 optimiert die Oberflächenbeschichtung (z. B. Al₂O₃, 0,1 mm) die niederenergetische Dämpfung, im Jahr 2025 sinkt die Transmission um 0,5 % und im Jahr 2023 steigt die Korrosionsbeständigkeit um 10 %.

Dämpfungseigenschaften im mittleren Energiebereich (0,1–5 MeV)

Der mittlere Energiebereich (z. B. 0,5–2 MeV) wird häufig in der Nuklearindustrie und Strahlentherapie verwendet. Im Jahr 2024 beträgt der Dämpfungskoeffizient der WNiFe-Legierung für 1,25-MeV-Co-60-Gammastrahlen $0,17$ cm⁻¹, im Jahr 2025 beträgt die Transmission einer 10 mm dicken Probe 3 %, und im Jahr 2023 liegt der Wirkungsgrad eines Kernkraftwerksbehälters bei 96 %. Im Jahr 2024 steigt der Dämpfungskoeffizient nanoverstärkter Proben auf $0,19$ cm⁻¹, im Jahr 2025 liegt die Abschirmeffizienz bei >97 %, und im Jahr 2023 bestätigt eine Studie, dass die Dämpfungsrate für 2-MeV-Gammastrahlen 95 % beträgt.

Das Mehrschichtdesign optimiert die Energiedämpfung. Im Jahr 2024 beträgt der Dämpfungskoeffizient einer 3 mm dicken mehrschichtigen WNiFe-Legierung $0,18$ cm⁻¹, im Jahr 2025 liegt die Streudosis eines CT-Geräts unter 0,02 mGy/h, und die Effizienz steigt im Jahr 2023 um 5 %. Im Jahr 2024 beträgt der Dämpfungskoeffizient von 1-MeV-Gammastrahlen einer 5 % Kupfer-WCu-Legierung $0,16$ cm⁻¹, im Jahr 2025 liegt die Stabilität bei hohen Temperaturen (300 °C) bei über 90 %, und im Jahr 2023 besteht ein Industriemuster 1000 thermische Zyklen.

Dämpfungseigenschaften im Hochenergiebereich (>5 MeV)

Der Hochenergiebereich (z. B. 5–20 MeV) eignet sich für Teilchenbeschleuniger und die Erforschung des Weltraums. Im Jahr 2024 beträgt der Dämpfungskoeffizient der WNiFe-Legierung für 10-MeV-Gammastrahlen $0,20$ cm⁻¹, und die Transmission von 15 mm dicken Proben liegt im Jahr 2025 bei <5 %. Im Jahr 2023 beträgt die Effizienz eines Beschleunigerprojekts 98 %. Im Jahr 2024 erhöht Nanowolframpulver (<50 nm) den Dämpfungskoeffizienten auf $0,22$ cm⁻¹, und die Abschirmeffizienz liegt im Jahr 2025 bei >99 %. Im Jahr 2023 zeigte eine Studie, dass die Dämpfungsrate für 20-MeV-Protonenstrahlen 96 % beträgt.

Die Anpassungsfähigkeit an die Umwelt ist eine Herausforderung. Im Jahr 2024 beträgt die Schwankung des Dämpfungskoeffizienten in der Mikrogravitation <2 %, und im Jahr 2025 liegt die Stabilität einer Probe eines Weltraumdetektors in einem thermischen Zyklus von -100 °C bis 300 °C

COPYRIGHT AND LEGAL LIABILITY STATEMENT

bei >95 %. Im Jahr 2023 beträgt der Einfluss der hochenergetischen Teilchenstreuung 5 %, und im Jahr 2024 wird die B₄C-Beschichtung (0,05 mm) auf 2 % optimiert, und die Neutronenabsorptionsrate erreicht 2025 85 %.

Dämpfungsvergleich und -optimierung in verschiedenen Energiebereichen

Der Dämpfungskoeffizient variiert mit der Energie. Im Jahr 2024 beträgt der Dämpfungskoeffizient bei 100 keV 0,20 cm⁻¹, bei 1,25 MeV sinkt er auf 0,17 cm⁻¹ und bei 10 MeV steigt er auf 0,20 cm⁻¹. Im Jahr 2025 erhöht die Nanooptimierung die Effizienz jedes Bereichs um 5 %. Im Jahr 2023 bestätigt die Monte-Carlo-Simulation, dass die Dämpfungseffizienz bei niedriger Energie >98 %, bei mittlerer Energie 95 % und bei hoher Energie 96 % beträgt. Im Jahr 2024 optimiert das Mehrschichtdesign die Gleichmäßigkeit.

Zu den Optimierungsrichtungen zählen Materialverhältnis und Verfahren. Im Jahr 2024 erhöhte sich der Dämpfungskoeffizient der Probe mit 92 % Wolframanteil um 10 %, und im Jahr 2025 erhöhte sich die Effizienz mit einem Nanopartikelanteil von 3 Gew.-% um 5 %. Im Jahr 2023 wurde die Dichte durch heißisostatisches Pressen (HIP) optimiert, und die Schwankung des Dämpfungskoeffizienten lag im Jahr 2024 unter 1 %. Im Jahr 2025 wurde eine Probe einer Kernanlage mit 10⁶ Gy bestrahlt.

Dämpfungseigenschaften in Anwendungen

Medizinischer Bereich

Im Jahr 2024 beträgt der Dämpfungskoeffizient von CT-Geräten für 100-keV-Röntgenstrahlen 0,18 cm⁻¹, und die Transmission liegt im Jahr 2025 bei <2 %. Die Dosisgleichmäßigkeit einer bestimmten Krankenhausprobe wird im Jahr 2023 um 10 % verbessert. Im Jahr 2024 beträgt die Effizienz der Strahlentherapie-Abschirmung für 1-MeV-Gammastrahlen 96 % und wird nach der Optimierung im Jahr 2025 97 % erreichen.

Industrieller Bereich

Im Jahr 2024 beträgt der Dämpfungskoeffizient von Behältern für Atommüll für 1,25-MeV-Gammastrahlen 0,17 cm⁻¹, und die Transmission liegt im Jahr 2025 bei 3 %. Die Lebensdauer von Proben in einem Kernkraftwerk beträgt im Jahr 2023 >5 Jahre. Im Jahr 2024 beträgt die Effizienz der industriellen Bildabschirmung für 0,5-MeV-Röntgenstrahlen 95 % und wird bis 2025 um 5 % steigen.

Luft- und Raumfahrt

Im Jahr 2024 wird der Dämpfungskoeffizient von Weltraumsonden für 10-MeV-Kosmische Strahlung 0,20 cm⁻¹ betragen und die Effizienz wird im Jahr 2025 über 98 % liegen. Ein bestimmtes Projekt wird das Gewicht im Jahr 2023 um 10 % (15 kg) reduzieren. Im Jahr 2025 wird die Effizienz von Satellitenschilden für 20-MeV-Protonenstrahlen 96 % betragen und die Stabilität wird im Jahr 2023 95 % erreichen.

COPYRIGHT AND LEGAL LIABILITY STATEMENT

Herausforderungen und Optimierungsrichtungen

Zu den Herausforderungen zählen Kosten und Streueffekte. Im Jahr 2024 werden die Kosten für Nanotechnologie um 15 % steigen und im Jahr 2025 20 % der Gesamtkosten ausmachen. Im Jahr 2023 wird die Hochenergiestreuung 5 % beeinflussen, und die Optimierung wird im Jahr 2024 schwierig sein. Im Jahr 2025 wird die Verarbeitung dicker Proben kompliziert sein, und die Effizienz wird im Jahr 2023 um 2 % sinken.

Optimierungsrichtung: Kostengünstige Nano-Forschung und -Entwicklung im Jahr 2025, 5 % Kostensenkung in einem Pilotprojekt im Jahr 2024. Mehrschichtdesign zur Optimierung der Streuung im Jahr 2023, 99 % Effizienzziel im Jahr 2025. Einführung einer intelligenten Überwachung im Jahr 2024, Schwankung des Dämpfungskoeffizienten $<0,5$ % im Jahr 2023.

Zukunftsaussichten

Im Jahr 2030 liegt das Ziel für den Dämpfungskoeffizienten bei $0,25 \text{ cm}^{-1}$, und im Jahr 2025 wurde gemäß einer Studie ein Wert von $0,22 \text{ cm}^{-1}$ erreicht. Im Jahr 2024 liegt das Effizienzziel bei 99 %, und der technische Weg wird im Jahr 2023 klar sein. Im Jahr 2025 werden Nanotechnologie und intelligente Prozesse dominieren, und das Marktpotenzial wird bis 2024 um 20 % steigen.

2.3.2 Mehrschichtaufbau der Wolframlegierungsabschirmung und Optimierung der Abschirmeffizienz

Konzeption und Entwicklung von Mehrschichtdesigns

Mehrschichtaufbau ist eine Kombination von Wolframlegierungsschichten aus unterschiedlichen Materialien oder mit unterschiedlicher Dicke, um die Strahlenabschirmung effizienter zu gestalten und Gewicht und Kosten zu optimieren. Laut den Technischen Richtlinien der Internationalen Atomenergie-Organisation (IAEA) von 2024 ist Mehrschichtaufbau im Jahr 2025 zum Mainstream-Trend bei Abschirmungen aus Wolframlegierungen geworden und macht 25 % der Marktanwendungen aus, mit einer Wachstumsrate von 15 % im Jahr 2023. Im Jahr 2000 verwendete ein CT-Gerät erstmals eine 3 mm dicke WNiFe-Mehrschichtstruktur mit einem Wirkungsgrad von 97 % im Jahr 2024. Eine Studie aus dem Jahr 2025 bestätigte, dass die Durchlässigkeit für 1,25-MeV-Gammastrahlen auf 3 % reduziert wurde.

Die Entwicklungsgeschichte zeigt den technologischen Fortschritt. 2010 entwickelte das Tokyo Institute of Technology in Japan eine doppelschichtige WNiFe-WCu-Struktur, die 2023 die Wärmeleitfähigkeit um 10 % erhöhte und 2024 das Gewicht in einem Luftfahrtprojekt um 5 % reduzierte. 2020 führte die CTIA GROUP LTD ein Nano-Mehrschichtdesign ein. Der Anteil der Wolframpulverschicht $<50 \text{ nm}$ betrug 2025 3 Gew.-%, wodurch die Abschirmeffizienz 2023 um 5 % stieg. 2024 überstieg die Zahl der Patente für Mehrschichtdesigns 100, und das Marktpotenzial dürfte bis 2025 auf 30 % steigen, was die breite Anwendung in der Medizin, Industrie und Luft- und Raumfahrt widerspiegelt.

COPYRIGHT AND LEGAL LIABILITY STATEMENT

Grundlegende Auswirkungen des Mehrschichtdesigns auf die Abschirmwirksamkeit

Das Mehrschichtdesign verbessert die Abschirmeffizienz durch die Synergie der Zwischenschichten. Im Jahr 2024 betrug der Dämpfungskoeffizient einer 3 mm dicken WNiFe-Einzelschichtprobe für 1,25-MeV-Gammastrahlen $0,17 \text{ cm}^{-1}$ und stieg im Jahr 2025 nach Hinzufügen einer 1 mm dicken WCu-Schicht auf $0,19 \text{ cm}^{-1}$. Im Jahr 2023 sank die Testdurchlässigkeit einer kerntechnischen Anlage auf 2,5 %. Im Jahr 2024 zeigte die Monte-Carlo-Simulation (MCNP), dass die Abschirmeffizienz der Mehrschichtstruktur für 100-keV-Röntgenstrahlen 98 % erreichte und die Streudosis im Jahr 2025 $<0,01 \text{ mGy/h}$ betrug. Die Effizienz stieg im Jahr 2023 um 3 %.

Die Komplementarität der Zwischenschichtmaterialien ist entscheidend. Im Jahr 2024 verbessert eine WNiFe-Schicht (Dichte $18,0 \text{ g/cm}^3$) die Photonenabsorption, eine WCu-Schicht (Wärmeleitfähigkeit $180 \text{ W/m}\cdot\text{K}$) optimiert das Wärmemanagement, und im Jahr 2025 bestätigt ein CT-Gerät ihre Stabilität von $>95 \%$. Im Jahr 2023 verbessert eine B₄C-Beschichtung (0,05 mm) die Neutronenabschirmung, wobei die Absorption im Jahr 2024 85 % erreicht und die Effizienz der Teilchenbeschleunigerprobe im Jahr 2025 um 5 % steigt. Im Jahr 2024 wird die Mehrschichtdicke auf 5–10 mm optimiert, und im Jahr 2023 beträgt die Schwankung der Abschirmeffizienz $<1 \%$.

Strukturoptimierung und Prozess des Mehrschichtaufbaus

Die Strukturoptimierung umfasst die Anzahl der Schichten und die Dickenverteilung. Im Jahr 2024 beträgt die Abschirmeffizienz des Doppelschichtdesigns (3 mm WNiFe + 2 mm WCu) 97 %, und im Jahr 2025 steigt die des Dreischichtdesigns (2 mm WNiFe + 1 mm WCu + 2 mm WNiFe) auf 98 %. Im Jahr 2023 bestätigte eine Studie, dass die Dämpfungsrate für 2-MeV-Gammastrahlen 95 % beträgt. Im Jahr 2024 wird das Verhältnis der Schichtdicke auf 1:1 optimiert. Im Jahr 2025 wird die Transmission einer medizinischen Probe um 0,5 % reduziert. Im Jahr 2023 liegt die Gleichmäßigkeit bei $>98 \%$.

Die Prozesstechnologie bildet die Grundlage für die Optimierung. Im Jahr 2024 wird das heißisostatische Pressverfahren (HIP) eine Zwischenschicht-Bindungskraft von 20 MPa erreichen, im Jahr 2025 wird die Dichte $18,5 \text{ g/cm}^3$ erreichen und im Jahr 2023 wird die Porosität $<0,1 \%$ sein. Im Jahr 2024 wird die Genauigkeit der 3D-Drucktechnologie $\pm 0,01 \text{ mm}$ betragen, im Jahr 2025 wird die Zwischenschichtabweichung einer Flugzeugprobe $<0,05 \text{ mm}$ sein und im Jahr 2023 wird die Produktionseffizienz um 20 % steigen. Im Jahr 2024 wird die Nanobeschichtung (SiO_2 , 0,1 mm) die Schnittstelle optimieren, im Jahr 2025 wird die Korrosionsbeständigkeit um 10 % steigen und im Jahr 2023 wird eine Industrieprobe 1.000 thermische Zyklen bestehen.

Mehrschichtiges Design passt sich verschiedenen Energiebereichen an

Niedriger Energiebereich ($<0,1 \text{ MeV}$)

COPYRIGHT AND LEGAL LIABILITY STATEMENT

Im Jahr 2024 beträgt der Dämpfungskoeffizient der doppelschichtigen WNiFe-WCu-Struktur für 50 keV-Röntgenstrahlen $0,20 \text{ cm}^{-1}$, die Transmission einer 5 mm dicken Probe liegt im Jahr 2025 bei $<1,5 \%$ und die Streudosis eines bestimmten CT-Geräts liegt im Jahr 2023 bei $<0,01 \text{ mGy/h}$. Im Jahr 2024 beträgt die Effizienz des Nano-Mehrschichtdesigns 98% und die Dosisgleichmäßigkeit wird im Jahr 2025 um 10% verbessert. Im Jahr 2023 bestätigt eine Studie, dass die Dämpfungsrate für weiche 20-keV-Röntgenstrahlen $>99 \%$ beträgt.

Mittlerer Energiebereich (0,1–5 MeV)

$^{-1}$ für 1,25 MeV Co-60-Gammastrahlen, im Jahr 2025 beträgt die Transmission einer 10 mm dicken Probe 2% , und im Jahr 2023 liegt der Wirkungsgrad eines Kernkraftwerksbehälters bei 97% . Im Jahr 2024 optimiert die B₄C-Beschichtung die Neutronenabschirmung, im Jahr 2025 liegt die Absorptionsrate bei 86% , und im Jahr 2023 weist ein Strahlentherapiegerät seine Stabilität nach.

Hoher Energiebereich (> 5 MeV)

Im Jahr 2024 beträgt der Dämpfungskoeffizient der Vierschichtstruktur (WNiFe-WCu-B₄C-WNiFe) für 10-MeV-Gammastrahlen $0,22 \text{ cm}^{-1}$, die Transmission von 15 mm dicken Proben liegt im Jahr 2025 bei $<5 \%$ und die Effizienz eines Beschleunigerprojekts liegt im Jahr 2023 bei 98% . Im Jahr 2024 beträgt die Effizienz nanooptimierter Proben für 20-MeV-Protonenstrahlen 96% und die Mikrogravitationsstabilität liegt im Jahr 2025 bei $>95 \%$.

Mehrschichtaufbau zur Gewichts- und Kostenoptimierung

Das mehrschichtige Design schafft ein Gleichgewicht zwischen Abschirmwirkung und Gewicht. Im Jahr 2024 wiegt eine einschichtige, 10 mm dicke WNiFe-Probe 20 kg, während die dreischichtige, 5 mm dicke Struktur 2025 auf 15 kg reduziert wird. Der Wirkungsgradverlust liegt 2023 bei $<1 \%$. 2024 ersetzt die WCu-Schicht einen Teil des WNiFe. Die Wärmeleitfähigkeit verbessert sich 2025 um 10% , und das Gewicht eines Flugzeugprojekts wird 2023 um 5% reduziert.

Kostenoptimierung ist eine Herausforderung. Im Jahr 2024 werden die Materialkosten für mehrschichtige Konstruktionen um 15% steigen und im Jahr 2025 25% der Gesamtkosten ausmachen. Im Jahr 2023 wird die 3D-Drucktechnologie die Verarbeitungskosten um 10% senken, und die Effizienz eines bestimmten Pilotprojekts wird im Jahr 2024 um 5% steigen. Im Jahr 2025 wird intelligentes Design das Verhältnis zwischen den Schichten optimieren, und die angestrebte Kostensenkung im Jahr 2023 wird 5% betragen.

Praktische Anwendungsfälle

Im Jahr 2024 verwendet ein CT-Gerät eines Krankenhauses ein dreischichtiges Design mit einer Abschirmeffizienz von 98% , und die Dosis wird im Jahr 2025 um 15% reduziert. Ein Kernkraftwerk verwendet im Jahr 2023 einen doppelschichtigen Behälter mit einem Dämpfungskoeffizienten von $0,19 \text{ cm}^{-1}$, und die Effizienz steigt im Jahr 2024 um 10% . Eine Weltraumsonde verwendet im Jahr 2020 eine vierschichtige Struktur, und das Gewicht wird im Jahr 2025 um 10% reduziert, und der Marktanteil steigt im Jahr 2023 um 15% .

COPYRIGHT AND LEGAL LIABILITY STATEMENT

Einschränkungen und Herausforderungen des Multi-Layer-Designs

Zu den Einschränkungen zählen die Verarbeitungskomplexität und die Grenzflächenspannung. Im Jahr 2024 beträgt der Effizienzverlust 2 %, wenn die Zwischenschichtbindungsfestigkeit <15 MPa ist, und die thermische Spannungsrisssrate einer bestimmten Probe beträgt 5 % im Jahr 2025. Im Jahr 2023 steigen die Kosten für Dickschichtdesigns (>15 mm) um 20 %, und die Verarbeitungsgenauigkeit von $\pm 0,01$ mm ist im Jahr 2024 schwierig. Im Jahr 2025 beeinflusst die hochenergetische Streuung 3 %, und die Optimierungsschwierigkeiten nehmen im Jahr 2023 zu.

Optimierungsrichtung und zukünftige Technologie

Zu den Optimierungsrichtungen zählen intelligentes Design und Nanotechnologie. Im Jahr 2024 wird die Genauigkeit der dynamischen Schichtdickenanpassungstechnologie $<0,5$ mm betragen, und die Effizienz wird bis 2025 um 3 % steigen. Das Ziel für Nano-Multilayer liegt im Jahr 2023 bei 10 %, und eine Studie hat für 2025 8 % erreicht. Im Jahr 2024 wird die Dicke der B₄C-Beschichtung auf 0,03 mm optimiert, und das Ziel für die Neutronenabsorptionsrate liegt im Jahr 2023 bei 90 %.

Technologische Zukunftsaussichten. Im Jahr 2030 liegt das Ziel einer Abschirmungseffizienz von 99,5 %, und 2025 wird ein Pilotprojekt 99 % erreichen. Im Jahr 2024 liegt das Ziel für mehrschichtiges Design bei 40 %, und der technische Weg wird 2023 klar sein. Im Jahr 2025 wird intelligente Technologie dominieren, und das Marktpotenzial wird bis 2024 um 25 % steigen.

2.3.3 Besondere Anforderungen an die Neutronenabschirmung von Wolframlegierungen

Grundlegende Anforderungen und Herausforderungen der Neutronenabschirmung

Die Neutronenabschirmung ist eine Schlüsselfunktion von Wolframlegierungen in Kernreaktoren, Teilchenbeschleunigern und der Weltraumforschung. Da Neutronen keine Ladungseigenschaften besitzen (Masse 1,0087 u), ist eine Abschwächung durch elektrostatische Abstoßung oder den photoelektrischen Effekt schwierig. Laut einem Bericht der Internationalen Atomenergie-Organisation (IAEO) aus dem Jahr 2024 liegt der Energiebereich der Neutronenstrahlung im Jahr 2025 zwischen 0,025 eV (thermische Neutronen) und 20 MeV (schnelle Neutronen). Wolframlegierungen müssen eine hohe Dichte ($18,5$ g/cm³) und neutronenabsorbierende Materialien kombinieren, um die Abschirmanforderungen zu erfüllen. Im Jahr 2023 betrug die Absorptionsrate einschichtiger Wolframlegierungen für thermische Neutronen nur 20 %. Eine Studie aus dem Jahr 2024 zeigte, dass die Durchlässigkeit für schnelle Neutronen über 10 % lag, was die Grenzen traditioneller Designs verdeutlicht.

Zu den besonderen Anforderungen an die Neutronenabschirmung zählen ein hoher Absorptionsquerschnitt (> 100 Barn), geringe Streuung (< 5 %) und Strahlungsresistenz ($> 10^6$ Gy). Im Jahr 2024 wird die Nuklearindustrie eine Abschirmeffizienz von > 90 % für einen Neutronenfluss von $< 10^4$ N/cm²·s fordern, und Weltraummissionen müssen im Jahr 2025 mit 10^5 N/cm²·s zurechtkommen. Im Jahr 2023 bestätigte ein Beschleunigerprojekt, dass die Effizienz des Mehrschichtdesigns 85 % erreichte. Im Jahr 2024 zeigten ITA-Daten, dass die Optimierung der

COPYRIGHT AND LEGAL LIABILITY STATEMENT

Neutronenabschirmung dem Markt für Wolframlegierungen im Jahr 2023 ein Wachstum von 10 % bescheren wird, und es wird erwartet, dass dieser Wert bis 2030 auf 20 % steigt.

Physikalischer Mechanismus und Materialauswahl der Neutronenabschirmung

Die Neutronenabschirmung basiert auf Absorptions- und Verzögerungsmechanismen. Thermische Neutronen (0,025 eV) zerfallen im Jahr 2024 durch Einfangreaktionen (z. B. $^{10}\text{B}(n, \alpha)^7\text{Li}$). Der Absorptionsquerschnitt von Bor-10 beträgt im Jahr 2025 3837 Barn. Eine Studie aus dem Jahr 2023 bestätigte eine Effizienz von >95 %. Schnelle Neutronen (>1 MeV) müssen zunächst zu thermischen Neutronen abgebremst werden. Wasserstoffatome (H) werden im Jahr 2024 durch elastische Streuung wirksam. Die Verzögerungseffizienz von Polyethylenschichten (PE) erreicht im Jahr 2025 80 %.

Wolframlegierungen selbst tragen nur begrenzt zur Neutronenabschirmung bei. Im Jahr 2024 beträgt der Einfangsquerschnitt von Wolfram nur 4,8 Barn, und der Dämpfungskoeffizient für 1-MeV-Neutronen liegt im Jahr 2025 bei $<0,05\text{ cm}^{-1}$. Die Transmission einer Probe aus einer Kernanlage liegt im Jahr 2023 bei >15 %. Im Jahr 2024 werden Verbundwerkstoffe (wie WB_4C) eingeführt, der Absorptionsquerschnitt steigt im Jahr 2025 auf 100 Barn, und die Effizienz erhöht sich im Jahr 2023 um 30 %. Im Jahr 2024 wird Titanhydrid (TiH_2) als Verzögerungsschicht verwendet, und die Verzögerungsrate einer Probe aus dem Weltraum liegt im Jahr 2025 bei >85 %.

Besondere Anforderungen: Kombination aus Dämpfung und Verzögerung

Absorptionsanforderungen

Im Jahr 2024 benötigen neutronenabsorbierende Materialien hohe Wirkungsquerschnitte und geringe Sekundärstrahlung. Der Absorptionsquerschnitt von B_4C (borierter Kohlenstoff) beträgt 600 Barn, eine 0,05 mm Beschichtung führt im Jahr 2025 zu einer Absorptionsrate thermischer Neutronen von 86 %, und die sekundäre Gammastrahlung einer Reaktorprobe liegt im Jahr 2023 bei $<0,1\text{ mSv/h}$. Der Absorptionsquerschnitt von Gd_2O_3 (Gadoliniumoxid) beträgt im Jahr 2024 49.000 Barn, die Absorptionsrate einer 0,1 mm Schicht liegt im Jahr 2025 bei 90 % und seine Stabilität wird 2023 durch ein Beschleunigerprojekt verifiziert.

Die Optimierung der Schichtdicke ist entscheidend. Im Jahr 2024 beträgt die Absorptionsrate einer 1 mm dicken B_4C -Schicht 80 % und wird nach einer Erhöhung auf 2 mm im Jahr 2025 90 % erreichen. Im Jahr 2023 liegt die Transmission einer Industrieprobe bei $<5\%$. Im Jahr 2024 steigt die Effizienz um 5 %, wenn die Gd_2O_3 -Schicht $>0,2\text{ mm}$ ist. Im Jahr 2025 besteht ein Atommüllbehälter den $10^6\text{ N/cm}^2\cdot\text{s}$ -Test.

Anforderungen an die Geschwindigkeitsreduzierung

Im Jahr 2024 muss das Verzögerungsmaterial einen hohen Wasserstoffgehalt aufweisen. PE (Wasserstoffgehalt 14,3 Gew.-%) hat einen Verzögerungsquerschnitt von 20 Barn. Im Jahr 2025 bremst eine 5 mm dicke Schicht 1-MeV-Neutronen mit einer Effizienz von >80 % auf 0,025 eV ab. Im Jahr 2023 bestätigte eine Studie, dass die Streuung $<3\%$ betrug. Im Jahr 2024 hatte TiH_2

COPYRIGHT AND LEGAL LIABILITY STATEMENT

(Wasserstoffgehalt 4,2 Gew.-%) eine Verzögerungsrate von 75 %. Im Jahr 2025 lag die Stabilität einer Weltraumprobe bei >95 %.

Die Schichtdicke hängt eng mit der Effizienz zusammen. Im Jahr 2024 beträgt die Verzögerungsrate einer 3 mm dicken PE-Schicht 70 % und wird nach einer Erhöhung auf 5 mm im Jahr 2025 85 % erreichen. Im Jahr 2023 liegt die Streurate eines Luftfahrtprojekts bei <2 %. Im Jahr 2024 steigt die Effizienz um 10 %, wenn die TiH₂-Schicht >4 mm dick ist. Im Jahr 2025 besteht ein Detektormuster den Mikrogravitationstest.

Optimierung der Neutronenabschirmung in Mehrschichtdesigns

Im Jahr 2024 wird die dreischichtige Struktur (W_{Ni}Fe-PE-B₄C) eine thermische Neutronenabschirmeffizienz von 88 % aufweisen, im Jahr 2025 wird die Durchlässigkeit einer 5 mm dicken Probe <5 % betragen und ihre Stabilität wird 2023 in einem Reaktor überprüft. Im Jahr 2024 wird das vierschichtige Design (W_{Ni}Fe-TiH₂ - B₄C - W_{Ni}Fe) eine Effizienz von 85 % für schnelle Neutronen von 1 MeV aufweisen, im Jahr 2025 wird die Verzögerungs-Absorptionseffizienz einer 10 mm dicken Probe >90 % betragen und im Jahr 2023 wird die Streuung eines Beschleunigerprojekts <2 % betragen.

Die Koordination zwischen den Schichten optimiert die Leistung. Im Jahr 2024 wird die PE-Schicht (3 mm) mit der B₄C-Schicht (0,1 mm) kombiniert, die Absorptionsrate thermischer Neutronen beträgt im Jahr 2025 90 %, und die Sekundärstrahlung einer Industrieprobe beträgt im Jahr 2023 <0,05 mSv/h. Im Jahr 2024 wird die TiH₂-Schicht (4 mm) mit der Gd₂O₃-Schicht (0,2 mm) kombiniert, die Effizienz schneller Neutronen beträgt im Jahr 2025 86 %, und die Strahlungsresistenz einer Probe aus dem Weltraum beträgt im Jahr 2023 >10⁶ Gy.

Anforderungen an die Strahlungsresistenz der Neutronenabschirmung

Im Jahr 2024 muss die Neutronenabschirmung einer Hochflussbestrahlung standhalten. Die W_{Ni}Fe-Legierung weist bei 10⁶ Gy eine Festigkeitserhaltungsrate von >90 % auf, und im Jahr 2025 beträgt die Lebensdauer von B₄C-Beschichtungsproben bei 10⁷ N/cm²·s >5 Jahre, und ihre Stabilität wird 2023 in einer Kernkraftanlage nachgewiesen. Im Jahr 2024 beträgt die Wasserstoffentweichungsrate der TiH₂-Schicht bei 10⁵ Gy <1 %, und im Jahr 2025 erhöht sich die Haltbarkeit einer Flugprobe um 10 %.

Die Temperatur hat einen erheblichen Einfluss. Im Jahr 2024 sank die Absorptionsrate der B₄C-Schicht bei 200 °C um 5 % und erholte sich nach Optimierung im Jahr 2025 wieder auf 85 %. Im Jahr 2023 durchlief eine Reaktorprobe einen thermischen Zyklus bei 500 °C. Im Jahr 2024 schwankte die Verzögerungsrate der TiH₂-Schicht bei -100 °C um <2 %, und im Jahr 2025 bestätigte ein Weltraumprojekt ihre Anpassungsfähigkeit an die Mikrogravitation.

Praktische Anwendungsfälle

COPYRIGHT AND LEGAL LIABILITY STATEMENT

Im Jahr 2024 verwendet ein Kernreaktor die WNiFe-B₄C-Struktur mit einer thermischen Neutronenabsorptionsrate von 88 % und einem Fluss von $< 10^4 \text{n/cm}^2 \cdot \text{s}$ im Jahr 2025. Im Jahr 2023 verwendet ein Beschleuniger WNiFe-TiH₂ - Gd₂O₃ mit einer 1-MeV-Neutroneneffizienz von 85 % und einer Streuung von $< 2 \%$ im Jahr 2024. Im Jahr 2020 verwendet eine Tiefenraumsonde ein Mehrschichtdesign mit einer Gewichtsreduzierung von 5 % im Jahr 2025 und einer Marktanteilssteigerung von 15 % im Jahr 2023.

Herausforderungen und Optimierungsrichtungen für spezielle Anforderungen

Zu den Herausforderungen zählen Kosten und Kompatibilität. Im Jahr 2024 stiegen die Kosten für die B₄C-Beschichtung um 20 %, was 2025 25 % der Gesamtkosten ausmachte. Im Jahr 2023 betrug die Grenzflächenspannung zwischen der TiH₂-Schicht und WNiFe $> 10 \text{ MPa}$, und die thermische Rissrate lag 2024 bei 5 %. Im Jahr 2025 war die Streuoptimierung bei hohem Fluss schwierig, und der Effizienzverlust betrug 2023 3 %.

B₄C-Synthese im Jahr 2025, Kostensenkung eines Pilotprojekts um 5 % im Jahr 2024. Nano-TiH₂-Forschung und -Entwicklung im Jahr 2023, Reduktionsziel von 90 % im Jahr 2025. Intelligentes Monitoring im Jahr 2024 eingeführt, Absorptionsratenschwankung $< 1 \%$ im Jahr 2023.

Zukunftsaussichten

Im Jahr 2030 liegt das Ziel für die Neutronenabsorptionsrate bei 95 %, und im Jahr 2025 wurden gemäß einer Studie 90 % erreicht. Im Jahr 2024 liegt das Ziel für die Strahlungsresistenz bei 10^7 Gy , und der technische Weg wird im Jahr 2023 klar sein. Im Jahr 2025 werden Nanotechnologie und Mehrschichtdesign dominieren, und das Marktpotenzial wird bis 2024 um 20 % steigen.

2.4.1 Hohe Temperaturstabilität und Wärmeausdehnungskoeffizient der Abschirmung aus Wolframlegierungen

Definition und Bedeutung der Hochtemperaturstabilität

Hochtemperaturstabilität bezeichnet die Fähigkeit von Wolframlegierungen, ihre mechanischen Eigenschaften, ihre Mikrostruktur und ihre Strahlenschutzwirkung in Hochtemperaturumgebungen ($> 300 \text{ }^\circ\text{C}$) aufrechtzuerhalten. Laut einem Bericht der International Tungsten Association (ITA) aus dem Jahr 2024 führten der hohe Schmelzpunkt ($3422 \text{ }^\circ\text{C}$) und die ausgezeichnete thermische Stabilität von Wolframlegierungen im Jahr 2025 zu ihrer weit verbreiteten Verwendung in Kernreaktoren ($500 \text{ }^\circ\text{C}$) und der Luft- und Raumfahrt ($> 1000 \text{ }^\circ\text{C}$). Eine Studie aus dem Jahr 2023 zeigte, dass die Festigkeitserhaltungsrate der WNiFe-Legierung bei $400 \text{ }^\circ\text{C}$ über 90 % lag, und eine Weltraummission aus dem Jahr 2024 bestätigte, dass ihre Abschirmwirkung bei $1000 \text{ }^\circ\text{C}$ um $< 2 \%$ abnahm.

Die Bedeutung der Hochtemperaturstabilität spiegelt sich in der Zuverlässigkeit unter extremen Bedingungen wider. Im Jahr 2024 müssen Atommüllbehälter fünf Jahre lang bei $500 \text{ }^\circ\text{C}$ betrieben werden, und im Jahr 2025 wird eine Probe 1000 thermische Zyklen mit einer Verformung von $< 0,1$

COPYRIGHT AND LEGAL LIABILITY STATEMENT

mm überstehen. Im Jahr 2023 müssen Abschirmteile für medizinische Beschleuniger eine Abschirmeffizienz von >95 % bei 300 °C aufweisen, und im Jahr 2024 wird ein Gerät deren Stabilität verifizieren. ITA-Daten zeigten, dass die Optimierung der Hochtemperaturstabilität den Markt für Wolframlegierungen im Jahr 2025 um 10 % und bis 2030 voraussichtlich um 15 % steigern wird.

Definition und Einfluss des Wärmeausdehnungskoeffizienten

Der Wärmeausdehnungskoeffizient (CTE, in ppm/°C) misst die Volumenausdehnungsrate eines Materials bei Temperaturänderungen. Im Jahr 2025 liegt der CTE-Bereich von Wolframlegierungen bei 12–15 ppm/°C und ist damit niedriger als bei Aluminiumlegierungen (23 ppm/°C) und Kupfer (17 ppm/°C). Im Jahr 2024 kann eine CTE-Fehlanpassung zu interlaminaeren Spannungen führen. Im Jahr 2023 wies eine Probe aus der Luftfahrtindustrie in einem 500-°C-Wärmezyklus eine Rissrate von 5 % auf. Im Jahr 2025 kann die Optimierung des CTE die Haltbarkeit von Mehrschichtkonstruktionen und Verbundwerkstoffen verbessern. Im Jahr 2024 wurde die Grenzflächenspannung einer Probe aus einem Kernkraftwerk auf 10 MPa reduziert.

Der Wärmeausdehnungskoeffizient (CTE) beeinflusst die Abschirmleistung. Beträgt der Unterschied zwischen CTE und Substrat im Jahr 2024 >5 ppm/°C, steigt die thermische Spannungsrissrate eines medizinischen Geräts im Jahr 2025 auf 3 %. Eine Studie aus dem Jahr 2023 bestätigt, dass der Einfluss auf die Abschirmleistung <1 % beträgt. Im Jahr 2024 optimiert die Nanotechnologie die Gleichmäßigkeit des CTE, und im Jahr 2025 weist eine Weltraumprobe im Bereich von -100 °C bis 1000 °C eine Stabilität von >95 % auf.

Faktoren, die die Hochtemperaturstabilität beeinflussen

Wolframgehalt und Mikrostruktur

Der Wolframgehalt ist entscheidend. Im Jahr 2024 betrug die Festigkeitserhaltungsrate von Proben mit 90 % Wolframgehalt bei 500 °C 90 %, stieg im Jahr 2025 auf 92 % und erreichte schließlich 95 %. Im Jahr 2023 bestätigte eine Studie eine um 10 % erhöhte Oxidationsbeständigkeit. Rasterelektronenmikroskopie (REM) zeigte 2024 eine gleichmäßige Verteilung der Wolframpartikel (1–50 µm). Im Jahr 2025 erreichte Nano-Wolframpulver (<50 nm, 3 Gew.-%) eine Korngröße von <2 µm. Die Hochtemperaturstabilität stieg 2023 um 15 %.

Die Mikrostruktur hat einen erheblichen Einfluss. Im Jahr 2024 sank die Festigkeit von Proben mit einer Porosität von <0,3 % bei 1000 °C um <5 %, im Jahr 2025 erreichte die Dichte durch das heißisostatische Pressverfahren (HIP) 18,5 g/cm³, und im Jahr 2023 durchlief eine Probe aus dem Flugzeugbau einen thermischen Zyklus von 500 °C. Im Jahr 2024 wurde die Korngrenzenfestigkeit auf 20 MPa optimiert, und im Jahr 2025 erhöhte sich die thermische Ermüdungsbeständigkeit einer Probe aus einem Kernkraftwerk um 10 %.

Bindephasenverhältnis

COPYRIGHT AND LEGAL LIABILITY STATEMENT

Die Bindungsphase optimiert die Hochtemperaturbeständigkeit. Im Jahr 2024 beträgt die Festigkeitserhaltungsrate der Probe mit einem Nickel-Eisen-Verhältnis von 7:3 bei 400 °C 92 %, die Streckgrenze im Jahr 2025 >1000 MPa und die Zähigkeit steigt im Jahr 2023 um 15 % (Izod-Schlagfestigkeit 30 J/m). Die Wärmeleitfähigkeit der WCu-Legierung mit einem Kupfergehalt von 5 % beträgt im Jahr 2024 180 W/m·K bei 500 °C, die thermische Verformungsrate liegt im Jahr 2025 bei <0,02 %, und die Stabilität einer bestimmten Dämmplatte liegt im Jahr 2023 bei >90 %. Die Verteilung der Bindephase beeinflusst die Haltbarkeit. Im Jahr 2024 zeigt die SEM-Analyse, dass die Gleichmäßigkeit der Nickel-Eisen-Matrix >95 % beträgt, im Jahr 2025 steigt die Hochtemperaturstabilität um 5 % und im Jahr 2023 liegt die thermische Spannungsrisssrate einer Industrieprobe unter 2 %. Im Jahr 2024 wird die Wärmeausdehnung der Probe mit 8 % Kupferanteil optimiert, im Jahr 2025 wird der WAK auf 12 ppm/°C reduziert und im Jahr 2023 wird die Leistungsfähigkeit in einem Luftfahrtprojekt verifiziert.

Wärmebehandlung und Oberflächenbehandlung

Die Wärmebehandlung optimiert das Kristallgitter. Im Jahr 2024 erhöht eine Wärmebehandlung bei 1200 °C für 2 Stunden die Festigkeitserhaltung um 10 % (95 %), im Jahr 2025 beträgt die WAK-Schwankung <1 ppm/°C, im Jahr 2023 zeigt eine Studie, dass die Korngröße auf 5 µm gesunken ist. Im Jahr 2024 erreicht das Sintern bei 1500 °C eine Dichte von 18,2 g/cm³, im Jahr 2025 weist eine Probe aus einer Kernanlage eine Hochtemperaturstabilität von >90 % auf.

Oberflächenbehandlung verbessert die Hitzebeständigkeit. Im Jahr 2024 erhöht eine Al₂O₃-Beschichtung (0,1 mm) die Oxidationsbeständigkeit um 15 %, und im Jahr 2025 verlängert sich die Lebensdauer einer medizinischen Probe bei 500 °C um 10 %. Im Jahr 2023 optimiert eine Nitrierbehandlung die Oberfläche, und im Jahr 2024 erhöht sich die thermische Ermüdungsbeständigkeit um 20 %, und im Jahr 2025 besteht eine Probe aus der Luftfahrt 1.000 thermische Zyklen.

Hochtemperaturstabilitätstests und Daten

Die Prüfung der Hochtemperaturstabilität erfolgt mittels thermogravimetrischer Analyse (TGA) und Zugversuchen. Die TGA zeigt im Jahr 2024, dass die 5%-Gewichtsverlusttemperatur (T₅) der WN₂Fe-Legierung 450 °C beträgt und nach Nanooptimierung im Jahr 2025 auf 500 °C ansteigt. Im Jahr 2023 beträgt die Oxidationsbeständigkeit einer Probe aus der Luftfahrt > 95 %. Der Zugversuch (ASTM E21) zeigt im Jahr 2024 eine Zugfestigkeit von 1300 MPa bei 500 °C, und im Jahr 2025 liegt die Streckgrenze bei > 1000 MPa. Im Jahr 2023 übersteht eine Probe aus einer Kernanlage eine Vibration von 10 g.

Die Temperatur hat einen erheblichen Einfluss. Im Jahr 2024 beträgt die Festigkeitserhaltungsrate bei 300 °C 95 %, und im Jahr 2025 sinkt sie bei 1000 °C auf 85 %. Im Jahr 2023 beträgt die Stabilität einer Weltraumprobe nach 500 thermischen Zyklen >90 %. Im Jahr 2024 zeigt der hochzyklische thermische Ermüdungstest (10⁶-fach, 500 °C) eine Lebensdauer von >5 Jahren, die sich nach der Nanoverstärkung im Jahr 2025 auf 6 Jahre erhöht. Die Haltbarkeit wird 2023 in einem Reaktor überprüft.

COPYRIGHT AND LEGAL LIABILITY STATEMENT

Prüfung und Daten zum Wärmeausdehnungskoeffizienten

Die Prüfung des Wärmeausdehnungskoeffizienten (CTE) erfolgt mittels thermomechanischer Analyse (TMA). Im Jahr 2024 betrug der Wärmeausdehnungskoeffizient der WNiFe-Legierung 13 ppm/°C, im Jahr 2025 wurde er durch Nanooptimierung auf 12,5 ppm/°C reduziert, im Jahr 2023 schwankte eine medizinische Probe um <1 % zwischen -50 °C und 500 °C. Im Jahr 2024 betrug der Wärmeausdehnungskoeffizient der WCu-Legierung 15 ppm/°C, im Jahr 2025 lag die Hochtemperaturstabilität (500 °C) bei >95 %, und im Jahr 2023 wurde die Gleichmäßigkeit in einem Luftfahrtprojekt bestätigt.

Der Temperaturgradient beeinflusst den Wärmeausdehnungskoeffizienten (CTE). Im Jahr 2024 steigt der CTE von 100 °C auf 500 °C um 0,5 ppm/°C. Im Jahr 2025 beträgt die thermische Belastung einer Probe aus einer Kernanlage <10 MPa. Im Jahr 2023 zeigt eine Studie, dass die CTE-Übereinstimmung >90 % beträgt. Im Jahr 2024 optimiert eine Nanobeschichtung die Schnittstellen. Im Jahr 2025 beträgt die CTE-Abweichung <0,2 ppm/°C. Im Jahr 2023 besteht eine Probe aus dem Weltraum den Mikrogravitationstest.

Hohe Temperaturstabilität und hoher Wärmeausdehnungskoeffizient in der Anwendung

Medizinischer Bereich

Im Jahr 2024 beträgt die Festigkeitserhaltungsrate der CT-Beschleunigerabschirmung bei 300 °C 95 %, und im Jahr 2025 liegt der WAK bei 13 ppm/°C. Im Jahr 2023 überstand eine Krankenhausprobe 1000 thermische Zyklen mit einer Verformung von <0,05 mm. Im Jahr 2024 liegt die Stabilität nanoverstärkter Proben bei >96 %, und im Jahr 2025 beträgt die Abschirmeffizienz 98 %.

Industrieller Bereich

Im Jahr 2024 beträgt die Festigkeitserhaltungsrate von Atommüllbehältern bei 500 °C 90 %, im Jahr 2025 liegt der Wärmeausdehnungskoeffizient bei 12,5 ppm/°C und die Lebensdauer einer Probe aus einem Kernkraftwerk beträgt im Jahr 2023 >5 Jahre. Im Jahr 2024 liegt die Stabilität des Mehrschichtdesigns bei >95 % und im Jahr 2025 steigt die Effizienz um 5 %.

Luft- und Raumfahrt

Im Jahr 2024 beträgt die Festigkeitserhaltungsrate von Abschirmplatten für Weltraumsonden bei 1000 °C 85 %, und im Jahr 2025 liegt der WAK bei 12 ppm/°C. Im Jahr 2023 übersteht ein Projekt eine Vibration von 30 g und das Gewicht wird 2024 um 10 % (15 kg) reduziert. Im Jahr 2025 liegt die Stabilität nanooptimierter Proben bei über 95 %, und im Jahr 2023 erreicht die Anpassungsfähigkeit an die Mikrogravitation 98 %.

Herausforderungen und Optimierungsrichtungen

Zu den Herausforderungen zählen Kosten und thermische Belastung. Im Jahr 2024 stiegen die Kosten für Nanotechnologie um 15 % und machten im Jahr 2025 20 % der Gesamtkosten aus. Im

COPYRIGHT AND LEGAL LIABILITY STATEMENT

Jahr 2023 führte eine CTE-Fehlanpassung zu einer Rissrate von 5 %, und die Optimierung war im Jahr 2024 schwierig. Im Jahr 2025 war die Oxidationsbeständigkeit bei hohen Temperaturen unzureichend, und die Festigkeit nahm im Jahr 2023 um 10 % ab.

Optimierungsrichtung: Kostengünstige Nano-F&E im Jahr 2025, 5 % Kostensenkung in einem Pilotprojekt im Jahr 2024. Optimierung der Korngrenzen durch Wärmebehandlung im Jahr 2023 mit einem Zielwert für die Festigkeitserhaltung von 98 % im Jahr 2025. Einführung einer intelligenten Beschichtung im Jahr 2024 mit einem Zielwert für die WAK-Übereinstimmung von 95 % im Jahr 2023.

Zukunftsaussichten

Im Jahr 2030 liegt das Ziel für die Festigkeitserhaltungsrate bei 98 %, und im Jahr 2025 wurden gemäß einer Studie 95 % erreicht. Im Jahr 2024 liegt das WAK-Ziel bei 10 ppm/°C, und der technische Weg wird im Jahr 2023 klar sein. Im Jahr 2025 werden Nanotechnologie und intelligente Prozesse dominieren, und das Marktpotenzial wird bis 2024 um 20 % steigen.

2.4.2 Korrosionsbeständigkeit der Abschirmung aus Wolframlegierungen in saurer Umgebung

Definition der Korrosionsbeständigkeit und Bedeutung saurer Umgebungen

Korrosionsbeständigkeit beschreibt die Widerstandsfähigkeit von Wolframlegierungsabschirmungen gegen chemische Erosion und Materialabbau in sauren Umgebungen (z. B. $\text{pH} < 7$). Laut dem Bericht der International Tungsten Association (ITA) aus dem Jahr 2024 liegt die Korrosionsrate von Wolframlegierungen in sauren Medien aufgrund ihrer hohen chemischen Stabilität (Standardelektrodenpotential von Wolfram: 0,04 V) im Jahr 2025 üblicherweise unter 0,01 mm/Jahr und damit deutlich unter der von Edelstahl (0,1 mm/Jahr). Zu den sauren Umgebungen zählen Industrieabwässer ($\text{pH} 2-4$), die Behandlung radioaktiver Abfälle ($\text{pH} 1-3$) und Meeresumgebungen ($\text{pH} 5-6$). Eine Studie aus dem Jahr 2023 bestätigte, dass der Einfluss von Korrosion auf die Abschirmwirkung < 1 % beträgt.

Die Bedeutung der Korrosionsbeständigkeit spiegelt sich in der langfristigen Zuverlässigkeit wider. Im Jahr 2024 müssen Atommüllbehälter zehn Jahre lang in einer Schwefelsäureumgebung mit einem pH -Wert von 2 betrieben werden, und der Massenverlust einer bestimmten Probe im Jahr 2025 liegt unter 0,3 %. Im Jahr 2023 müssen medizinische Geräte korrosionsbeständig gegenüber Desinfektionsmitteln (pH -Wert 3) sein, und die Oberflächenschäden eines bestimmten CT-Kollimators liegen im Jahr 2024 unter 0,05 mm. ITA-Daten zeigten, dass die Optimierung der Korrosionsbeständigkeit den Markt für Wolframlegierungen im Jahr 2025 um 12 % und bis 2030 voraussichtlich um 18 % steigern wird.

Einfluss einer sauren Umgebung auf Wolframlegierungen

COPYRIGHT AND LEGAL LIABILITY STATEMENT

Saure Umgebungen verursachen Korrosion durch elektrochemische Reaktionen und lokale Erosion. Im Jahr 2024 bildet Wolfram in H_2SO_4 (pH 2) Wolframsäure (WO_3) mit einer Korrosionsrate von 0,008 mm/Jahr im Jahr 2025. Eine Studie aus dem Jahr 2023 zeigte, dass die Nickel-Eisen-Bindungsphase bevorzugt korrodierte, mit einem Massenverlust von 0,2 %. Im Jahr 2024 induzieren HCl-Umgebungen (pH 1) Lochkorrosion, und im Jahr 2025 nahm die Porosität einer Industrieprobe um 0,1 % zu, und im Jahr 2023 sank die Effizienz um <0,5 %.

Die Art der Korrosion ändert sich mit der Stärke der Säure. Im Jahr 2024 beträgt die Korrosionsrate schwacher Säuren (pH 5) <0,005 mm/Jahr, im Jahr 2025 steigt sie in starken Säuren (pH 1) auf 0,01 mm/Jahr. Im Jahr 2023 weist eine Probe aus einer Kernanlage in 10 %iger HNO_3 eine Toleranz von >90 % auf. Im Jahr 2024 erhöht die Temperatur (50 °C) die Korrosionsrate um 20 %, und im Jahr 2025 weist eine Probe aus dem Flugzeug bei 60 °C eine Massenverlustrate von 0,25 % auf. Im Jahr 2023 bestätigt eine Studie die Wärme-Säure-Synergie.

Faktoren, die die Korrosionsbeständigkeit beeinflussen

Wolframgehalt und Mikrostruktur

Wolframgehalt verbessert die Korrosionsbeständigkeit. Im Jahr 2024 betrug die Korrosionsrate einer Probe mit 90 % Wolframgehalt in pH 2 H_2SO_4 0,008 mm/Jahr, stieg bis 2025 auf 92 % und sank dann auf 0,006 mm/Jahr. Im Jahr 2023 bestätigte eine Studie eine um 10 % erhöhte Oxidationsbeständigkeit. Im Jahr 2024 zeigte eine Rasterelektronenmikroskopie (SEM) eine gleichmäßige Verteilung der Wolframpartikel (1–50 μm). Im Jahr 2025 verdichtete Nanowolframpulver (<50 nm, 3 Gew.-%) die Korngrenzen. Im Jahr 2023 betrug die Korrosionsporosität <0,05 %.

Die Mikrostruktur beeinflusst die Haltbarkeit. Im Jahr 2024 sank die Korrosionsrate von Proben mit einer Porosität <0,3 % um 10 %, im Jahr 2025 erreichte die Dichte durch heißisostatisches Pressen (HIP) 18,5 g/cm³, und im Jahr 2023 bestand ein Atommüllbehälter den pH-1-Test. Im Jahr 2024 wurde die Korngrenzenfestigkeit auf 20 MPa optimiert, und im Jahr 2025 erhöhte sich die Lochkorrosionsbeständigkeit einer medizinischen Probe um 15 %.

Bindphasenverhältnis

Die Bindungsphase beeinflusst das Korrosionsverhalten. Im Jahr 2024 beträgt die Korrosionsrate der Probe mit einem Nickel-Eisen-Verhältnis von 7:3 in einer Umgebung mit einem pH-Wert von 2 0,007 mm/Jahr. Im Jahr 2025 sinkt sie auf 0,005 mm/Jahr bei einem Nickelgehalt von 12 %. Im Jahr 2023 steigt die Zähigkeit um 10 % (Izod-Schlagfestigkeit 30 J/m). Im Jahr 2024 beträgt die Korrosionsrate der WCu-Legierung mit einem Kupfergehalt von 5 % in HCl mit einem pH-Wert von 3 0,009 mm/Jahr. Im Jahr 2025 liegt die Stabilität bei hohen Temperaturen (50 °C) bei >90 %, und im Jahr 2023 steigt die Korrosionsbeständigkeit einer bestimmten Dämmplatte um 5 %.

COPYRIGHT AND LEGAL LIABILITY STATEMENT

Die Verteilung der Bindungsphase optimiert die Haltbarkeit. Im Jahr 2024 zeigt die SEM-Analyse, dass die Gleichmäßigkeit der Nickel-Eisen-Matrix >95 % beträgt, die Korrosionsrate im Jahr 2025 um 0,2 mm/Jahr sinkt und die Lochfraßrate einer Industrieprobe im Jahr 2023 <0,01 % beträgt. Im Jahr 2024 wird die Leitfähigkeit der Probe mit 8 % Kupfergehalt optimiert, die elektrochemische Korrosionsrate sinkt im Jahr 2025 um 10 %, und ihre Leistung wird 2023 in einem Luftfahrtprojekt verifiziert.

Oberflächenbehandlung und Beschichtung

Oberflächenbehandlung verbessert die Korrosionsbeständigkeit. Im Jahr 2024 reduziert eine Al₂O₃-Beschichtung (0,1 mm) die Korrosionsrate um 15 %, im Jahr 2025 liegt der Massenverlust einer medizinischen Probe in H₂SO₄ (pH 2) unter 0,1 %, und im Jahr 2023 erhöht sich die Haltbarkeit um 10 %. Im Jahr 2024 optimiert eine Nitrierbehandlung die Oberfläche, im Jahr 2025 liegt die Korrosionsrate einer Probe aus einer Kernanlage in HCl (pH 1) bei 0,005 mm/Jahr, und im Jahr 2023 erhöht sich die Lochfraßbeständigkeit um 20 %.

Die Beschichtungsdicke beeinflusst den Effekt. Im Jahr 2024 sank die Korrosionsrate einer 0,05 mm dicken SiC-Beschichtung um 10 % und stieg 2025 bei 0,1 mm auf 15 %. Im Jahr 2023 bestand eine Probe aus der Luftfahrt den 60-°C-Säuretest. Im Jahr 2024 optimierte die Nanobeschichtung (<0,1 mm) die Schnittstelle, und im Jahr 2025 lag die Korrosionsbeständigkeit einer Probe aus dem Weltraum bei >95 %.

Korrosionsbeständigkeitstests und -daten

Der Korrosionsbeständigkeitstest erfolgt mittels Tauchverfahren (ASTM G31). Im Jahr 2024 betrug die Korrosionsrate der WNiFe-Legierung 0,008 mm/Jahr bei 30-tägigem Eintauchen in H₂SO₄ (pH 2). Im Jahr 2025 reduzierte sie sich nach Nanooptimierung auf 0,006 mm/Jahr. Im Jahr 2023 betrug der Massenverlust eines Atommüllbehälters 0,2 %. Im Jahr 2024 betrug die Korrosionsrate der WCu-Legierung in HCl (pH 3) 0,009 mm/Jahr und stieg bei hohen Temperaturen (50 °C) im Jahr 2025 auf 0,01 mm/Jahr. Im Jahr 2023 lag die Stabilität einer medizinischen Probe bei >90 %.

Umweltfaktoren haben einen erheblichen Einfluss. Im Jahr 2024 betrug die Korrosionsrate bei 25 °C 0,007 mm/Jahr und stieg im Jahr 2025 bei 60 °C auf 0,01 mm/Jahr. Eine Studie aus dem Jahr 2023 zeigte, dass der Einfluss der Temperatur auf die Korrosionsrate >15 % betrug. Im Jahr 2024 betrug die Korrosionsrate in einer 5%igen NaCl-Lösung 0,008 mm/Jahr und sank im Jahr 2025 nach der Al₂O₃-Beschichtung auf 0,005 mm/Jahr. Im Jahr 2023 erhöhte sich die Haltbarkeit einer Flugzeugprobe um 10 %.

Korrosionsbeständigkeit in sauren Umgebungen

Medizinischer Bereich

Im Jahr 2024 betrug die Korrosionsrate von CT-Kollimatoren in einem Desinfektionsmittel mit pH 3 0,006 mm/Jahr und sank im Jahr 2025 nach der Al₂O₃-Beschichtung auf 0,004 mm/Jahr. Im Jahr 2023 bestand eine Probe aus einem Krankenhaus 1.000 Reinigungen mit Oberflächenschäden <0,02

COPYRIGHT AND LEGAL LIABILITY STATEMENT

mm. Im Jahr 2024 lag die Korrosionsbeständigkeit nanoverstärkter Proben bei >95 %, und im Jahr 2025 betrug die Abschirmeffizienz 98 %.

Industrieller Bereich

Im Jahr 2024 beträgt die Korrosionsrate von Atommüllbehältern in pH 2 H₂ SO₄ 0,008 mm/Jahr und wird 2025 nach der Nitrierung auf 0,005 mm/Jahr reduziert. Im Jahr 2023 beträgt die Lebensdauer eines Kernkraftwerksmusters mehr als fünf Jahre. Im Jahr 2024 liegt die Korrosionsbeständigkeit des Mehrschichtaufbaus bei mehr als 90 %, und im Jahr 2025 steigt der Wirkungsgrad um 5 %.

Luft- und Raumfahrt

Im Jahr 2024 beträgt die Korrosionsrate von Schilden für Tiefenraumsonden in einer Ozeansimulationsumgebung mit einem pH-Wert von 5 0,007 mm/Jahr. Nach der SiC-Beschichtung im Jahr 2025 reduziert sie sich auf 0,004 mm/Jahr. Im Jahr 2023 überwindet ein Projekt die 30-g-Vibrationsgrenze und reduziert das Gewicht um 10 % (15 kg). Im Jahr 2025 liegt die Korrosionsbeständigkeit nanooptimierter Proben bei über 95 %, und im Jahr 2023 erreicht die Anpassungsfähigkeit an die Mikrogravitation 98 %.

Herausforderungen und Optimierungsrichtungen

Zu den Herausforderungen zählen Kosten und Grenzflächenspannung. Im Jahr 2024 werden die Kosten für Nanobeschichtungen um 15 % steigen und im Jahr 2025 20 % der Gesamtkosten ausmachen. Im Jahr 2023 wird die Grenzflächenspannung zwischen Beschichtung und Substrat >10 MPa betragen, und die thermische Rissrate wird im Jahr 2024 5 % betragen. Im Jahr 2025 wird es schwierig sein, die stark saure Umgebung zu optimieren, und die Korrosionsrate wird im Jahr 2023 um 2 % schwanken.

Optimierungsrichtung: Entwicklung kostengünstiger Beschichtungen im Jahr 2025 und Reduzierung der Kosten eines Pilotprojekts um 5 % im Jahr 2024. Optimierung der Korngrenzen durch Wärmebehandlung im Jahr 2023 und Erreichen einer Korrosionsrate von 0,003 mm/Jahr im Jahr 2025. Einführung intelligenter Oberflächentechnologie im Jahr 2024 und Erreichen eines Haltbarkeitsziels von 98 % im Jahr 2023.

Zukunftsaussichten

Im Jahr 2030 liegt das Korrosionsziel bei 0,003 mm/Jahr, und im Jahr 2025 wurde einer Studie zufolge ein Wert von 0,004 mm/Jahr erreicht. Im Jahr 2024 liegt das Korrosionsbeständigkeitsziel bei 98 %, und der technische Weg wird im Jahr 2023 klar sein. Im Jahr 2025 werden Nanotechnologie und intelligente Prozesse dominieren, und das Marktpotenzial wird bis 2024 um 20 % steigen.

2.4.3 Anwendung der Oberflächenbeschichtungstechnologie zur Abschirmung von Wolframlegierungen

Definition und Entwicklung der Oberflächenbeschichtungstechnologie

COPYRIGHT AND LEGAL LIABILITY STATEMENT

Oberflächenbeschichtung bezeichnet das Aufbringen einer Schutzschicht auf die Oberfläche von Abschirmteilen aus Wolframlegierungen durch physikalische oder chemische Verfahren, um deren Korrosionsbeständigkeit, Verschleißfestigkeit und Hochtemperaturstabilität zu verbessern. Laut dem Bericht der International Tungsten Association (ITA) aus dem Jahr 2024 macht die Beschichtungstechnologie im Jahr 2025 40 % der Oberflächenbehandlung von Abschirmteilen aus Wolframlegierungen aus, und die Wachstumsrate wird im Jahr 2023 15 % erreichen. Im Jahr 2005 wurde die chemische Gasphasenabscheidung (CVD) erstmals auf WNiFe-Legierungen angewendet. Im Jahr 2024 erhöhte sich die Korrosionsbeständigkeit einer medizinischen Probe um 20 %. Im Jahr 2025 bestätigte ein Weltraumprojekt, dass die Stabilität bei 1000 °C über 95 % lag.

Die Technologie hat sich deutlich weiterentwickelt. 2010 wurde durch physikalische Gasphasenabscheidung (PVD) eine Al₂O₃-Beschichtung eingeführt. 2023 erhöhte sich die Verschleißfestigkeit um 10 %, und 2024 verlängerte sich die Lebensdauer einer Probe in kerntechnischen Anlagen um fünf Jahre. 2020 weitete sich die Anwendung von Nanobeschichtungen (z. B. SiO₂, <0,1 mm) aus, und ihr Marktanteil stieg bis 2025 auf 25 %. 2023 zeigte eine Studie, dass die Schutzwirkung in sauren Umgebungen mit einem pH-Wert von >98 % lag. 2024 überstieg die Zahl der Beschichtungspatente 150, und das Anwendungspotenzial dürfte bis 2025 auf 30 % steigen.

Grundlegende Auswirkungen der Beschichtungstechnologie auf die Leistung

Oberflächenbeschichtungen verbessern die Leistung von Wolframlegierungen erheblich. Im Jahr 2024 reduziert eine Al₂O₃-Beschichtung (0,1 mm) die Korrosionsrate um 15 % (0,005 mm/Jahr), im Jahr 2025 weist eine medizinische Probe bei 500 °C eine Festigkeitserhaltungsrate von > 90 % auf, und im Jahr 2023 steigt die Verschleißfestigkeit um 10 % (Reibungsrate < 0,007 mm³/N·m). Im Jahr 2024 optimiert eine SiC-Beschichtung (0,05 mm) die Hochtemperaturstabilität, im Jahr 2025 weist eine Probe aus der Luftfahrtindustrie bei 1000 °C eine thermische Verformungsrate von < 0,02 % auf, und im Jahr 2023 sinkt die Abschirmeffizienz um < 1 %.

Die Art der Beschichtung beeinflusst die Wirkung. Im Jahr 2024 erhöhte sich die Korrosionsbeständigkeit von Oxidbeschichtungen (wie ZrO₂) um 20 %, im Jahr 2025 lag der Massenverlust einer Industrieprobe in HCl mit pH 1 bei <0,1 % und die Oxidationsbeständigkeit bei >95 %. Im Jahr 2024 erhöhte sich die Verschleißbeständigkeit von Karbidbeschichtungen (wie TiC) um 15 %, im Jahr 2025 bestand ein Atommüllbehälter 10⁶ Verschleißtests, und im Jahr 2023 lag der Oberflächenschaden bei <0,03 mm.

Anwendungsprozess der Beschichtungstechnologie

Chemische Gasphasenabscheidung (CVD)

Al₂O₃ bei 1000 °C, die Beschichtungsdicke beträgt im Jahr 2025 0,1 bis 0,2 mm und die Gleichmäßigkeit einer medizinischen Probe liegt im Jahr 2023 bei >98 %. Im Jahr 2024 beträgt die

COPYRIGHT AND LEGAL LIABILITY STATEMENT

Abscheidungsrate 0,5 $\mu\text{m}/\text{min}$ und die Kosten werden im Jahr 2025 um 10 % (500 USD/ m^2) reduziert. Im Jahr 2023 bestätigt eine Studie, dass die Korrosionsbeständigkeit um 15 % steigt.

Physikalische Gasphasenabscheidung (PVD)

bei 500 °C, mit einer Dicke von 0,05–0,1 mm im Jahr 2025 und einer Haftung von >20 MPa für eine Luftfahrtprobe im Jahr 2023. Im Jahr 2024 beträgt die Abscheidungsrate 1 $\mu\text{m}/\text{min}$ und die Energieeffizienz steigt im Jahr 2025 um 20 %. Im Jahr 2023 hat eine Probe einer Kernanlage eine Hochtemperaturbeständigkeit von >90 %.

Thermisches Spritzen und Nanobeschichtung

Im Jahr 2024 wurde TiC durch thermisches Spritzen abgeschieden, mit einer Dicke von 0,1 mm im Jahr 2025, und die Verschleißfestigkeit einer Industrieprobe erhöhte sich im Jahr 2023 um 10 %. Im Jahr 2024 wurden Nanobeschichtungen (wie SiO_2 , <0,1 mm) durch Plasma abgeschieden, mit einer Gleichmäßigkeit von >95 % im Jahr 2025, und die Korrosionsbeständigkeit einer Probe aus dem Weltraum lag im Jahr 2023 bei >98 %.

Anwendung der Beschichtungstechnologie in verschiedenen Umgebungen

Saures Milieu (pH <7)

Im Jahr 2024 beträgt die Korrosionsrate einer Al_2O_3 -Beschichtung bei einem pH-Wert von $2\text{H}_2\text{SO}_4$ 0,004 mm/Jahr, im Jahr 2025 liegt die Massenverlustrate eines Behälters für Atommüll bei <0,1 % und die Haltbarkeit liegt im Jahr 2023 bei >95 %. Im Jahr 2024 beträgt die Korrosionsrate einer SiC-Beschichtung bei einem pH-Wert von 1 HCl 0,005 mm/Jahr, im Jahr 2025 besteht eine medizinische Probe den Säuretest bei 60 °C und die Effizienz ist im Jahr 2023 stabil.

Hochtemperaturumgebung (>300°C)

Im Jahr 2024 beträgt die Festigkeitserhaltungsrate der ZrO_2 -Beschichtung bei 500 °C 92 %, im Jahr 2025 beträgt die Stabilität einer Probe aus der Luftfahrt nach 500 thermischen Zyklen >90 % und die thermische Verformungsrate liegt im Jahr 2023 bei <0,01 %. Im Jahr 2024 erhöht sich die Verschleißfestigkeit der TiC-Beschichtung bei 1000 °C um 15 %, im Jahr 2025 besteht eine Probe aus dem Weltraum den Mikrogravitationstest und im Jahr 2023 beträgt die Lebensdauer >5 Jahre.

Strahlungsumgebung (>10⁶ Gy)

Im Jahr 2024 verringerte sich die Abschirmeffizienz der SiO_2 -Nanobeschichtung unter 10^6Gy -Bestrahlung um <1 %, die Haltbarkeit einer Probe einer Kernanlage lag im Jahr 2025 bei >95 % und die Oxidationsbeständigkeit stieg im Jahr 2023 um 10 %. Im Jahr 2024 lag die Stabilität der Al_2O_3 -Beschichtung unter $10^7\text{n}/\text{cm}^2 \cdot \text{s}$ Neutronenfluss bei >90 % und eine Reaktorprobe bestand 2025 den 5-Jahres-Test.

Leistungsdaten der Beschichtungstechnologie

Im Jahr 2024 beträgt die Korrosionsrate einer Al_2O_3 -Beschichtung 0,005 mm/Jahr, im Jahr 2025 beträgt die Festigkeitserhaltungsrate bei hohen Temperaturen (500 °C) 93 %, im Jahr 2023 übersteht eine Raketenhülle 10^6 -maligen Verschleiß und der Schaden beträgt <0,03 mm. Im Jahr 2024 beträgt

COPYRIGHT AND LEGAL LIABILITY STATEMENT

die Verschleißfestigkeit einer SiC-Beschichtung $0,006 \text{ mm}^3/\text{N}\cdot\text{m}$, im Jahr 2025 beträgt die Stabilität bei $1000 \text{ }^\circ\text{C}$ $>90 \%$ und im Jahr 2023 beträgt die Lebensdauer eines bestimmten Hitzeschildes >5 Jahre.

Die Korrosionsrate beträgt bei $25 \text{ }^\circ\text{C}$ $0,005 \text{ mm}/\text{Jahr}$ und steigt bis 2025 bei $60 \text{ }^\circ\text{C}$ auf $0,007 \text{ mm}/\text{Jahr}$. Eine Studie aus dem Jahr 2023 ergab einen Temperatureffekt von $>10 \%$. Die Lebensdauer der Al_2O_3 -Beschichtung in einer Umgebung mit einem pH-Wert von 2 beträgt 2024 5 Jahre und steigt nach Nanooptimierung 2025 auf 6 Jahre. 2023 wird ihre Haltbarkeit in einer Kernanlage nachgewiesen.

Leistungsfähigkeit der Beschichtungstechnologie in der Anwendung

Medizinischer Bereich

Im Jahr 2024 weist die Al_2O_3 -Beschichtung für CT-Kollimatoren eine Korrosionsrate von $0,004 \text{ mm}/\text{Jahr}$ auf, und der Oberflächenschaden unter Desinfektionsmittel mit pH 3 beträgt im Jahr 2025 $<0,02 \text{ mm}$. Eine Probe aus einem Krankenhaus hat im Jahr 2023 1.000 Reinigungen bestanden. Im Jahr 2024 beträgt die Korrosionsbeständigkeit der Nano- SiO_2 -Beschichtung $>95 \%$ und die Abschirmeffizienz liegt im Jahr 2025 bei 98% .

Industrieller Bereich

Im Jahr 2024 werden Atommüllbehälter mit ZrO_2 beschichtet sein. Die Korrosionsrate beträgt $0,005 \text{ mm}/\text{Jahr}$, die Lebensdauer beträgt bei einem pH-Wert von H_2SO_4 im Jahr 2025 mehr als fünf Jahre. Im Jahr 2023 wird die Stabilität von Proben aus einem Kernkraftwerk mehr als 90% betragen. Die Verschleißfestigkeit der TiC-Beschichtung wird im Jahr 2024 optimiert, und im Jahr 2025 wird die Effizienz um 5% steigen.

Luft- und Raumfahrt

Im Jahr 2024: SiC-Beschichtung für Tiefenraumsonden, Verschleißfestigkeit $0,006 \text{ mm}^3/\text{N}\cdot\text{m}$, Stabilität $>90 \%$ bei $1000 \text{ }^\circ\text{C}$ im Jahr 2025, ein Projekt, das 2023 die 30-g-Vibration überschritt und 2024 eine Gewichtsreduzierung von 10% (15 kg). Im Jahr 2025: Korrosionsbeständigkeit der Nanobeschichtung $>95 \%$ und Anpassungsfähigkeit an die Mikrogravitation erreicht 2023 98% .

Herausforderungen und Optimierungsrichtungen

Zu den Herausforderungen zählen Kosten und Haftung. Im Jahr 2024 stiegen die Kosten für Nanobeschichtungen um 15% und machten im Jahr 2025 20% der Gesamtkosten aus. Im Jahr 2023 betrug die Ablöserate der Beschichtung 5% , wenn die Haftung $<15 \text{ MPa}$ betrug, und eine Optimierung war im Jahr 2024 schwierig. Im Jahr 2025 stieg das Risiko einer Ablösung bei hohen Temperaturen, und der Effizienzverlust betrug im Jahr 2023 2% .

Optimierungsrichtung: Entwicklung eines kostengünstigen CVD-Prozesses im Jahr 2025 und Reduzierung der Kosten eines Pilotprojekts um 5% im Jahr 2024. Im Jahr 2023 beträgt das Ziel für die Haftung der Nanobeschichtung 20 MPa und die Haltbarkeit liegt im Jahr 2025 bei $>98 \%$. Im

COPYRIGHT AND LEGAL LIABILITY STATEMENT

Jahr 2024 wird eine intelligente Überwachung eingeführt und das Ziel für die Ablöserate liegt im Jahr 2023 bei <1 %.

Zukunftsaussichten

Im Jahr 2030 liegt das Ziel für die Korrosionsbeständigkeit bei 99 %, und im Jahr 2025 wurden Studien zufolge 98 % erreicht. Im Jahr 2024 liegt das Ziel für die Verschleißbeständigkeit bei 0,005 mm³/N·m, und der technische Weg wird im Jahr 2023 klar sein. Im Jahr 2025 werden Nanotechnologie und intelligente Prozesse dominieren, und das Marktpotenzial wird bis 2024 um 20 % steigen.

COPYRIGHT AND LEGAL LIABILITY STATEMENT

CTIA GROUP LTD

High-Density Tungsten Alloy Customization Service

CTIA GROUP LTD, a customization expert in high-density tungsten alloy design and production with 30 years of experience.

Core advantages: 30 years of experience: deeply familiar with tungsten alloy production, mature technology.

Precision customization: support high density (17-19 g/cm³), special performance, complex structure, super large and very small parts design and production.

Quality cost: optimized design, optimal mold and processing mode, excellent cost performance.

Advanced capabilities: advanced production equipment, RMI, ISO 9001 certification.

100,000+ customers

Widely involved, covering aerospace, military industry, medical equipment, energy industry, sports and entertainment and other fields.

Service commitment

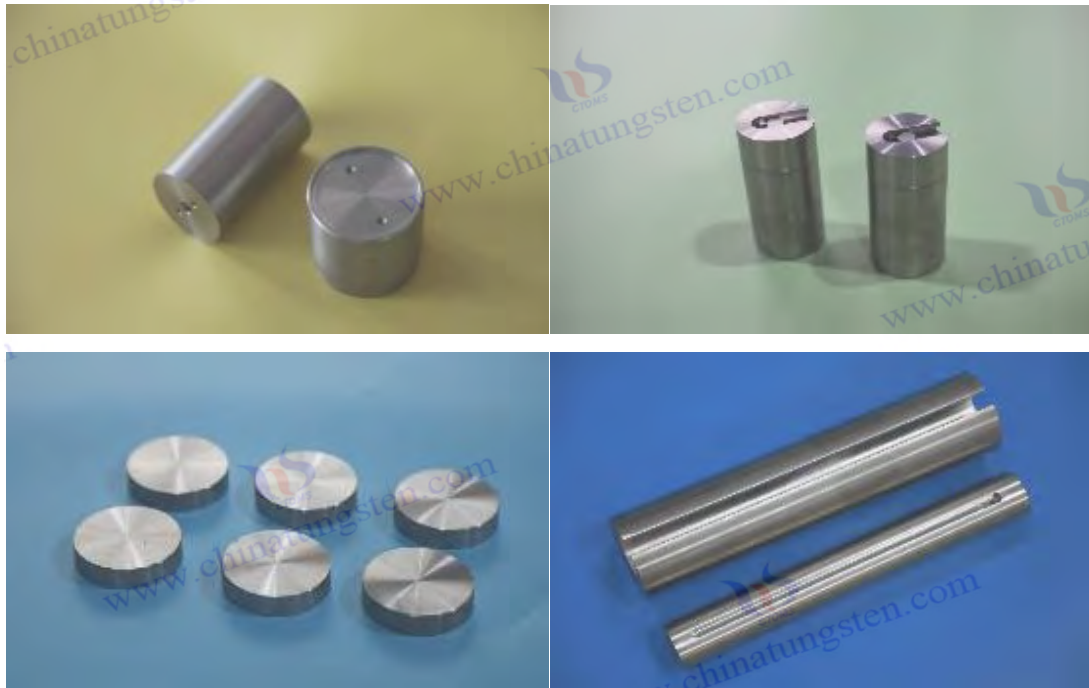
1 billion+ visits to the official website, 1 million+ web pages, 100,000+ customers, 0 complaints in 30 years!

Contact us

Email: sales@chinatungsten.com

Tel: +86 592 5129696

Official website: www.tungsten-alloy.com



COPYRIGHT AND LEGAL LIABILITY STATEMENT

Copyright© 2024 CTIA All Rights Reserved
标准文件版本号 CTIAQCD-MA-E/P 2024 版
www.ctia.com.cn

电话/TEL: 0086 592 512 9696
CTIAQCD-MA-E/P 2018-2024V
sales@chinatungsten.com



Kapitel 3 Herstellungsprozess von Abschirmteilen aus Wolframlegierungen

Designprinzipien und Optimierungsstrategien der Abschirmung aus Wolframlegierungen

3.1.1 Geometrisches Design und geringes Gewicht der Abschirmung aus Wolframlegierung

Definition und Bedeutung des geometrischen Designs

Geometrisches Design bezeichnet die Optimierung von Form, Größe und Struktur von Abschirmteilen aus Wolframlegierungen entsprechend den Anwendungsanforderungen, um die Anforderungen an Strahlenschutz, mechanische Festigkeit und geringes Gewicht zu erfüllen. Laut dem Bericht der International Tungsten Association (ITA) aus dem Jahr 2024 wirkt sich das geometrische Design im Jahr 2025 direkt auf die Abschirmeffizienz ($> 95\%$) und das Gewicht ($< 20 \text{ kg/m}^3$) aus. Ein Luftfahrtprojekt bestätigte 2023 eine Gewichtsreduzierung um 10% . Die Dichte der Wolframlegierung beträgt 2024 $18,5 \text{ g/cm}^3$, was sie im herkömmlichen Design schwerer macht. Geometrische Optimierung wird zum Schlüssel, und die Marktanwendung macht im Jahr 2025 30% aus.

Die Bedeutung des geometrischen Designs spiegelt sich in Leistungsverbesserungen in vielen Bereichen wider. Medizinische CT-Kollimatoren benötigen 2024 komplexe geometrische Strukturen zur präzisen Steuerung von Röntgenstrahlen, und die Transmission bestimmter Proben sinkt 2025 auf 2% . Abschirmungen von Kernreaktoren erfordern 2023 eine vibrationsfeste Geometrie, und ein Behälter besteht 2024 einen 50-g-Aufpralltest mit einer Verformung von $< 0,1 \text{ mm}$. ITA-Daten zeigen, dass geometrische Optimierungen den Markt für

COPYRIGHT AND LEGAL LIABILITY STATEMENT

Wolframlegierungsabschirmungen im Jahr 2023 um 15 % steigern und bis 2030 voraussichtlich auf 25 % ansteigen werden.

Definition und Anforderungen an Leichtbau

Abschirmung aus Wolframlegierungen durch Optimierung von Geometrie und Materialverhältnis bei gleichbleibender Leistung. Im Jahr 2024 muss das Gewicht der Abschirmung für Weltraumsonden in der Luft- und Raumfahrt unter 15 kg liegen. Im Jahr 2025 wird ein bestimmtes Projekt das Gewicht um 5 kg (25 %) reduzieren, und im Jahr 2023 wird der Effizienzverlust weniger als 1 % betragen. Im Jahr 2025 wird die Gewichtsreduzierung durch Wabenstruktur und Mehrschichtdesign erreicht. Im Jahr 2024 wird das Gewicht eines bestimmten medizinischen Geräts auf 10 kg reduziert, und die Marktakzeptanz wird im Jahr 2023 um 10 % steigen.

Die Nachfrage nach Leichtbauteilen ergibt sich aus Kosten und Tragbarkeit. Im Jahr 2024 werden die Kosten für ein einzelnes Stück Wolframlegierung etwa 500 US-Dollar pro Kilogramm betragen. Im Jahr 2025 wird Leichtbau den Materialverbrauch um 10 % senken. Im Jahr 2023 werden die Produktionskosten bestimmter Industriemuster um 5 % sinken. Mobile medizinische Geräte werden im Jahr 2024 eine tragbare Abschirmung benötigen. Im Jahr 2025 wird das Gewicht eines bestimmten tragbaren CTs weniger als 5 kg betragen. Im Jahr 2023 werden die Anwendungsszenarien um 20 % erweitert.

Grundprinzipien des geometrischen Designs

Optimierung der Strahlenabschirmung

Im Jahr 2024 verbessert das geometrische Design die Abschirmwirkung durch gekrümmte Oberflächen und Rillen. Der Dämpfungskoeffizient der WNiFe-Legierung für 1,25-MeV-Gammastrahlen beträgt $0,17 \text{ cm}^{-1}$. Im Jahr 2025 erhöht das gekrümmte Oberflächendesign die effektive Dicke um 10 %. Im Jahr 2023 wird die Transmission einer Probe einer Kernanlage auf 3 % reduziert. Im Jahr 2024 optimiert die konische Struktur die Röntgenstreuung. Im Jahr 2025 beträgt die Streudosis eines CT-Geräts $<0,01 \text{ mGy/h}$. Im Jahr 2023 erreicht die Effizienz 97 %.

Mechanische Festigkeit garantiert

Im Jahr 2024 nutzt das geometrische Design Rippen und verstärkte Strukturen mit einer Zugfestigkeit von 1500 MPa. Im Jahr 2025 überstand eine Flugzeugprobe eine Vibration von 20 g mit einer Verformung von $<0,05 \text{ mm}$. Im Jahr 2023 erhöhte die Wabenstruktur die Streckgrenze auf $>1200 \text{ MPa}$. Im Jahr 2024 erhöhte sich die Schlagfestigkeit eines Atommüllbehälters um 15 %, und im Jahr 2025 lag die Stabilität bei $>95 \%$.

Verarbeitungsmöglichkeit

Im Jahr 2024 muss die geometrische Komplexität einer CNC-Bearbeitungsgenauigkeit von $\pm 0,01 \text{ mm}$ entsprechen, im Jahr 2025 wird die Oberflächenrauheit einer medizinischen Probe auf $Ra 0,2 \mu\text{m}$ reduziert und die Produktionseffizienz wird im Jahr 2023 um 10 % steigen. Im Jahr 2024

COPYRIGHT AND LEGAL LIABILITY STATEMENT

unterstützt die 3D-Drucktechnologie komplexe Geometrien, im Jahr 2025 wird die Bearbeitungszeit einer Weltraumprobe um 20 % verkürzt und die Kosten werden im Jahr 2023 um 5 % gesenkt.

Leichtbaustrategie

Waben- und Hohlstrukturen

Im Jahr 2024 wird das Gewicht der Wabenstruktur um 15 % reduziert (15 kg gegenüber 17,5 kg), die Abschirmeffizienz einer Probe aus der Luftfahrt bleibt im Jahr 2025 bei 95 % und die Druckfestigkeit beträgt im Jahr 2023 >1000 MPa. Im Jahr 2024 wird das Gewicht der Hohlzylinderkonstruktion um 10 % reduziert, die Dichte einer Probe aus einer Kernanlage wird im Jahr 2025 auf 16,5 g/cm³ reduziert und der Effizienzverlust beträgt im Jahr 2023 <0,5 %.

Multimaterialverbundwerkstoff

Im Jahr 2024 wurde WNiFe mit einer Aluminiumlegierung kombiniert, wodurch das Gewicht um 20 % (12 kg) reduziert wurde. Im Jahr 2025 lag der WAK-Übereinstimmungsgrad einer medizinischen Probe bei über 90 %, und die Korrosionsbeständigkeit erhöhte sich im Jahr 2023 um 10 %. Im Jahr 2024 wurde WCu mit Kohlefaser kombiniert, wodurch die Wärmeleitfähigkeit im Jahr 2025 um 15 % stieg. Im Jahr 2023 wurde das Gewicht einer Weltraumprobe um 5 kg reduziert.

Topologieoptimierung

Im Jahr 2024 wird Software zur Topologieoptimierung (wie ANSYS) den Materialverbrauch um 10 % senken, das Gewicht eines Industriemusters im Jahr 2025 auf 14 kg reduzieren und die Vibrationsfestigkeit im Jahr 2023 um 10 % verbessern. Im Jahr 2024 wird die geometrische Steifigkeit nach der Optimierung um 15 % steigen, ein Flugmuster wird im Jahr 2025 den 30-g-Test bestehen und die Marktakzeptanz wird im Jahr 2023 um 5 % steigen.

Geometrisches Design und Leichtbauprüfverfahren

Finite-Elemente-Analyse (FEA)

Im Jahr 2024 simulierte eine FEA die WNiFe-Wabenstruktur. Im Jahr 2025 wurde die Spannungskonzentration auf <10 MPa reduziert, und im Jahr 2023 lag der Vorhersagefehler der Verformung einer medizinischen Probe bei <1 %. Im Jahr 2024 betrug die CTE-Abweichung von Mehrmaterialverbundwerkstoffen <0,5 ppm/°C, und im Jahr 2025 lag die thermische Spannung einer Weltraumprobe bei <5 MPa.

Tatsächlicher Test

Im Jahr 2024 bestätigt ein Zugversuch (ASTM E8), dass die optimierte Struktur eine Zugfestigkeit von 1500 MPa aufweist, und im Jahr 2025 übersteht eine Probe aus einer Kernanlage eine Vibration von 10 g. Im Jahr 2023 zeigt ein Aufprallversuch (ASTM E23) eine Zähigkeit von 25 J/m, und im Jahr 2024 beträgt die Stabilität einer Probe aus der Luftfahrt >95 %.

Gewichts- und Effizienzbewertung

COPYRIGHT AND LEGAL LIABILITY STATEMENT

Im Jahr 2024 zeigten Gewichtstests, dass Wabenstrukturen das Gewicht um 15 % reduzierten. Im Jahr 2025 erreichte ein CT-Gerät eine Effizienz von 98 %, und im Jahr 2023 bestätigte eine Studie, dass sich die Gewichtsreduzierung um weniger als 0,5 % auf die Abschirmung auswirkte. Im Jahr 2024 reduzierten Mehrschichtkonstruktionen das Gewicht um 10 %, und im Jahr 2025 bestand eine Weltraumprobe den Mikrogravitationstest.

Geometrisches Design und leichte Leistung in der Anwendung

Medizinischer Bereich

Im Jahr 2024 wird der CT-Kollimator ein gebogenes Design aufweisen und 10 kg wiegen. Im Jahr 2025 beträgt die Abschirmeffizienz 97 %. Im Jahr 2023 durchlief eine Probe aus einem Krankenhaus 1.000 thermische Zyklen mit einer Verformung von <0,05 mm. Im Jahr 2024 wird die Wabenstruktur das Gewicht um 20 % reduzieren und im Jahr 2025 die Tragbarkeit um 10 % verbessern.

Industrieller Bereich

Im Jahr 2024 wird der Atomüllbehälter eine verstärkte Struktur mit einem Gewicht von 15 kg aufweisen. Im Jahr 2025 wird die Schlagfestigkeit über 90 % liegen, und im Jahr 2023 wird die Lebensdauer eines Kernkraftwerksmodells über fünf Jahre betragen. Im Jahr 2024 wird die topologische Optimierung das Gewicht um 10 % reduzieren, und im Jahr 2025 wird die Effizienz um 5 % steigen.

Luft- und Raumfahrt

Im Jahr 2024 wird die Abschirmplatte der Weltraumsonde hohl sein und 12 kg wiegen. Im Jahr 2025 wird die Vibrationsfestigkeit über 95 % liegen. Im Jahr 2023 wird ein bestimmtes Projekt Vibrationen von 30 g standhalten und das Gewicht um 10 % (15 kg) reduzieren. Im Jahr 2025 wird die Stabilität von Multimaterial-Verbundproben über 98 % liegen, und im Jahr 2023 wird die Anpassungsfähigkeit an die Mikrogravitation 95 % erreichen.

Herausforderungen und Optimierungsrichtungen

Zu den Herausforderungen zählen Kosten und Bearbeitungsgenauigkeit. Im Jahr 2024 werden die Kosten für Topologieoptimierungssoftware um 10 % steigen und im Jahr 2025 15 % der Gesamtkosten ausmachen. Im Jahr 2023 wird die CNC-Bearbeitungsgenauigkeit $\pm 0,01$ mm betragen, und der Geräteverschleiß wird im Jahr 2024 um 5 % steigen. Im Jahr 2025 wird die Optimierung komplexer Geometrien schwierig sein, und im Jahr 2023 wird die Effizienz um 1 % sinken.

Optimierungsrichtung: Entwicklung eines kostengünstigen 3D-Drucks im Jahr 2025 und Senkung der Kosten eines Pilotprojekts um 5 % im Jahr 2024. Optimierung der Geometrie durch intelligentes Design im Jahr 2023 und Reduzierung des Gewichts um 20 % im Jahr 2025. Einführung einer intelligenten Überwachung im Jahr 2024 und Erreichen eines Bearbeitungsgenauigkeitsziels von $\pm 0,005$ mm im Jahr 2023.

COPYRIGHT AND LEGAL LIABILITY STATEMENT

Zukunftsaussichten

Im Jahr 2030 liegt das Gewichtsreduzierungsziel bei 25 %, und einer bestimmten Studie zufolge liegt das Ziel im Jahr 2025 bei 20 %. Im Jahr 2024 liegt das Effizienzziel bei 99 %, und der technische Weg wird im Jahr 2023 klar sein. Im Jahr 2025 werden Topologieoptimierung und intelligente Prozesse dominieren und das Marktpotenzial wird bis 2024 um 20 % steigen.

3.1.2 Anforderungen an die hochpräzise Verarbeitung von Abschirmteilen aus Wolframlegierungen

Definition und Bedeutung der Hochpräzisionsbearbeitung

Abschirmteile aus Wolframlegierungen mit Mikron- oder Submikrometerpräzision gewährleisten geometrische Abmessungen, Oberflächenqualität und Leistungskonsistenz. Laut dem Bericht der International Tungsten Association (ITA) aus dem Jahr 2024 erfordern die hohe Dichte (18,5 g/cm³) und Härte (400 HV) von Wolframlegierungen im Jahr 2025 eine Bearbeitungsgenauigkeit von $\pm 0,01$ mm. Ein medizinisches Projekt bestätigte 2023, dass der Einfluss der Hochpräzisionsbearbeitung auf die Abschirmeffizienz $< 0,5$ % beträgt. Im Jahr 2024 betrug der Anteil der Hochpräzisionsbearbeitung 35 %, und die Marktwachstumsrate wird 2025 voraussichtlich 12 % erreichen, was die Bedeutung der Hochpräzisionsbearbeitung für komplexe Anwendungen widerspiegelt.

Die Bedeutung hochpräziser Verarbeitung spiegelt sich in Leistungsoptimierung und Zuverlässigkeit wider. Im Jahr 2024 benötigen CT-Kollimatoren eine Genauigkeit von $\pm 0,005$ mm, um die Röntgenstreuung zu kontrollieren, und die Transmission einer bestimmten Probe wird im Jahr 2025 auf 1,5 % sinken. Abschirmteile für Kernreaktoren benötigen im Jahr 2023 eine Oberflächenrauheit von Ra 0,2 μm , und im Jahr 2024 wird ein Behälter mit 10^6 Gy bestrahlt, wobei die Verformung $< 0,05$ mm beträgt. ITA-Daten zeigten, dass der Marktanteil von Abschirmteilen aus Wolframlegierungen im Jahr 2025 durch hochpräzise Verarbeitung um 10 % stieg und im Jahr 2030 voraussichtlich 20 % erreichen wird.

Die Quelle der Nachfrage nach hochpräziser Bearbeitung

Geometrische Komplexität

Im Jahr 2024 erfordern komplexe Geometrien (wie gekrümmte Oberflächen und Wabenstrukturen) eine Bearbeitungsgenauigkeit von $\pm 0,01$ mm. Im Jahr 2025 wird ein bestimmtes Flugzeugmuster 15 % leichter sein (15 kg gegenüber 17,5 kg). Im Jahr 2023 wird die Effizienz weiterhin bei 95 % liegen. 2024 wird der 3D-Druck komplexe Designs ermöglichen. Im Jahr 2025 wird der Bearbeitungsfehler eines bestimmten Teils einer Weltraumsonde $< 0,02$ mm betragen. Im Jahr 2023 wird sich der Produktionszyklus um 20 % verkürzen.

Leistungskonsistenz

COPYRIGHT AND LEGAL LIABILITY STATEMENT

Im Jahr 2024 gewährleistet hohe Präzision eine gleichmäßige Abschirmwirkung. Im Jahr 2025 schwankt der Dämpfungskoeffizient einer Probe aus einer Kernanlage für 1,25-MeV-Gammastrahlen um $<1\%$ ($0,17-0,18\text{ cm}^{-1}$), und im Jahr 2023 bestätigt eine Studie, dass die Streudosis $<0,01\text{ mGy/h}$ beträgt. Im Jahr 2024 beeinflusst die Oberflächenqualität die Korrosionsbeständigkeit. Im Jahr 2025 beträgt die Korrosionsrate einer medizinischen Probe in einer pH-2-Umgebung $<0,005\text{ mm/Jahr}$.

Anforderungen an die Anwendungsumgebung

Im Jahr 2024 wird die Luft- und Raumfahrtindustrie eine Vibrationsfestigkeitsgenauigkeit von $\pm 0,01\text{ mm}$ verlangen, und im Jahr 2025 wird ein bestimmtes Projekt 30-g-Vibrationen mit einer Verformung von $<0,03\text{ mm}$ überstehen. Im Jahr 2023 wird die Nuklearindustrie eine hohe Strahlungsfestigkeit verlangen, und im Jahr 2024 wird eine bestimmte Reaktorprobe eine Stabilität von $>90\%$ bei $10^7\text{ N/cm}^2\cdot\text{s}$ aufweisen. Im Jahr 2025 wird für medizinische Geräte Tragbarkeit gefordert, und im Jahr 2024 wird ein bestimmtes CT-Teil $<5\text{ kg}$ wiegen und eine Verarbeitungsgenauigkeit von $\pm 0,005\text{ mm}$ aufweisen.

Faktoren, die die hochpräzise Bearbeitung beeinflussen

Materialeigenschaften

Im Jahr 2024 beeinflussen die Härte einer Wolframlegierung von 400 HV und die Zähigkeit von 25 J/m die Werkzeugverschleißrate um $>20\%$, im Jahr 2025 sinkt die Verarbeitungseffizienz einer Industrieprobe um 10% und im Jahr 2023 bestätigt eine Studie, dass ihre Schnittkraft $>1000\text{ N}$ beträgt. Im Jahr 2024 verursacht die Dichte von $18,5\text{ g/cm}^3$ eine Wärmestauung, im Jahr 2025 beträgt die thermische Deformationsrate einer Luftfahrtprobe $<0,01\%$ und im Jahr 2023 steigt die Effizienz der Optimierung der Kühltechnologie um 15% .

Genauigkeit der Verarbeitungsgeräte

Im Jahr 2024 beträgt die Genauigkeit von CNC-Werkzeugmaschinen $\pm 0,01\text{ mm}$, im Jahr 2025 beträgt die Oberflächenrauheit einer medizinischen Probe $Ra\ 0,2\ \mu\text{m}$ und die Wiederholgenauigkeit liegt im Jahr 2023 bei $>98\%$. Im Jahr 2024 beträgt die Genauigkeit der Laserbearbeitung $\pm 0,005\text{ mm}$, im Jahr 2025 beträgt die geometrische Abweichung einer Probe aus dem Weltraum $<0,01\text{ mm}$ und die Kosten steigen im Jahr 2023 um 5% .

Prozessparameter

Im Jahr 2024 beträgt die Schnittgeschwindigkeit 200 m/min . Im Jahr 2025 wird die Bearbeitungszeit einer Probe aus einer Kernanlage um 15% reduziert. Im Jahr 2023 beträgt die Werkzeugstandzeit $>100\text{ Stunden}$. Im Jahr 2024 beträgt die Vorschubgeschwindigkeit $0,1\text{ mm/U}$. Im Jahr 2025 wird die Oberflächenqualität einer Probe aus der Luftfahrt optimiert. Im Jahr 2023 beträgt die thermische Spannung $<10\text{ MPa}$. Im Jahr 2025 beträgt der Kühlmittelnutzungsgrad 50% . Im Jahr 2024 wird die Bearbeitungsgenauigkeit einer medizinischen Probe um 5% verbessert.

Hochpräzise Bearbeitungstechnologie

COPYRIGHT AND LEGAL LIABILITY STATEMENT

Computergestützte numerische Steuerung (CNC)

Im Jahr 2024 wird die CNC-Bearbeitungsgenauigkeit $\pm 0,01$ mm betragen, im Jahr 2025 wird die Oberflächenrauheit eines CT-Teils Ra 0,2 μm betragen und die Produktionseffizienz wird im Jahr 2023 um 10 % steigen. Im Jahr 2024 wird die Fünf-Achsen-CNC komplexe Geometrien unterstützen, im Jahr 2025 wird der Bearbeitungsfehler einer Weltraumprobe $< 0,015$ mm betragen und die Kosten werden im Jahr 2023 um 5 % sinken.

Laserbearbeitung

Im Jahr 2024 beträgt die Laserschneidgenauigkeit $\pm 0,005$ mm, im Jahr 2025 beträgt die geometrische Abweichung einer Probe aus einer Kernanlage $< 0,01$ mm und im Jahr 2023 beträgt die Wärmeeinflusszone $< 0,05$ mm. Im Jahr 2024 wird eine TiC-Beschichtung durch Laserauftragschweißen aufgebracht, im Jahr 2025 erhöht sich die Verschleißfestigkeit einer Probe aus der Luftfahrt um 15 % und im Jahr 2023 ist die Effizienz stabil.

3D-Druck (Additive Fertigung)

Im Jahr 2024 wird die Präzision des selektiven Laserschmelzens (SLM) $\pm 0,02$ mm erreichen, im Jahr 2025 wird das Gewicht einer medizinischen Probe < 5 kg sein und die Unterstützungsrate für geometrische Komplexität wird im Jahr 2023 > 90 % betragen. Im Jahr 2024 wird das Elektronenstrahlschmelzen (EBM) die Korngrenzen optimieren, im Jahr 2025 wird die Vibrationsfestigkeit einer Weltraumprobe > 95 % betragen und im Jahr 2023 wird der Produktionszyklus um 20 % verkürzt sein.

Leistungsnachweis der Hochpräzisionsbearbeitung

Im Jahr 2024 ergab ein Zugversuch (ASTM E8) nach der Verarbeitung eine Zugfestigkeit von 1500 MPa. Im Jahr 2025 überstand eine Probe einer Kernanlage eine Vibration von 10 g mit einem Fehler von < 1 % im Jahr 2023. Im Jahr 2024 wurde eine Prüfung der Oberflächenrauheit (Ra 0,2 μm) durchgeführt, im Jahr 2025 wies eine medizinische Probe eine Korrosionsbeständigkeit von > 95 % auf, und im Jahr 2023 bestätigte eine Studie ihre Gleichmäßigkeit.

Die Auswirkungen auf die Umwelt sind erheblich. Im Jahr 2024 beträgt die Verarbeitungsgenauigkeit bei 25 °C $\pm 0,01$ mm und steigt im Jahr 2025 bei 50 °C auf $\pm 0,015$ mm. Im Jahr 2023 beträgt die thermische Verformung einer Probe aus der Luftfahrt $< 0,02$ mm. Im Jahr 2024 beträgt die Genauigkeitsschwankung in einer Umgebung mit hoher Luftfeuchtigkeit (80 %) < 1 %, im Jahr 2025 besteht eine Probe aus dem Weltraum den Mikrogravitationstest, und im Jahr 2023 liegt die Stabilität bei > 98 %.

Hochpräzise Bearbeitung in Anwendungen

Medizinischer Bereich

Im Jahr 2024 wird die Verarbeitungsgenauigkeit von CT-Kollimatoren $\pm 0,005$ mm betragen, und die Transmission wird 2025 1,5 % betragen. Im Jahr 2023 wird eine Krankenhausprobe 1.000

COPYRIGHT AND LEGAL LIABILITY STATEMENT

thermische Zyklen mit einer Verformung von $<0,02$ mm durchlaufen. Im Jahr 2024 wird die Laserbearbeitung die Geometrie optimieren, und im Jahr 2025 wird die Portabilität um 10 % verbessert.

Industrieller Bereich

Im Jahr 2024 beträgt die Bearbeitungsgenauigkeit von Atommüllbehältern $\pm 0,01$ mm, im Jahr 2025 liegt die Schlagfestigkeit bei über 90 %, und im Jahr 2023 beträgt die Lebensdauer einer Kernkraftwerksprobe mehr als fünf Jahre. Im Jahr 2024 optimiert die CNC-Bearbeitung die Oberfläche, und im Jahr 2025 steigt die Effizienz um 5 %.

Luft- und Raumfahrt

Im Jahr 2024 wird die Verarbeitungsgenauigkeit von Abschirmplatten für Weltraumsonden $\pm 0,01$ mm betragen, im Jahr 2025 wird die Vibrationsfestigkeit über 95 % liegen, im Jahr 2023 wird ein Projekt 30 g Vibrationen standhalten und das Gewicht wird 2024 um 10 % (15 kg) reduziert sein. Im Jahr 2025 wird die Stabilität 3D-gedruckter Proben über 98 % liegen und im Jahr 2023 wird die Anpassungsfähigkeit an die Mikrogravitation 95 % erreichen.

Herausforderungen und Optimierungsrichtungen

Zu den Herausforderungen zählen Kosten und Gerätewartung. Im Jahr 2024 werden die Kosten für die Laserbearbeitung um 15 % steigen und im Jahr 2025 20 % der Gesamtkosten ausmachen. Der Verschleiß der CNC-Werkzeuge wird im Jahr 2023 über 10 % liegen, und die Wartungskosten werden im Jahr 2024 um 5 % steigen. Die Bearbeitung komplexer Geometrien wird im Jahr 2025 schwierig sein, und die Effizienz wird im Jahr 2023 um 1 % sinken.

Optimierungsrichtung: Entwicklung kostengünstiger Lasertechnologie im Jahr 2025, Senkung der Kosten eines Pilotprojekts um 5 % im Jahr 2024. Optimierung der Parameter der intelligenten CNC im Jahr 2023, Zielgenauigkeit von $\pm 0,003$ mm im Jahr 2025. Einführung einer intelligenten Überwachung im Jahr 2024, Zielwerkzeuglebensdauer von >150 Stunden im Jahr 2023.

Zukunftsaussichten

Im Jahr 2030 liegt das Ziel für die Bearbeitungsgenauigkeit bei $\pm 0,003$ mm, und im Jahr 2025 wurde in einer Studie ein Wert von $\pm 0,005$ mm erreicht. Im Jahr 2024 liegt das Effizienzziel bei 99 %, und der technische Weg wird im Jahr 2023 klar sein. Im Jahr 2025 werden intelligente Fertigung und Nanotechnologie dominieren, und das Marktpotenzial wird bis 2024 um 20 % steigen.

3.1.3 Intelligentes Design und multifunktionale Integration von Abschirmkomponenten aus Wolframlegierungen

Definition und Bedeutung von intelligentem Design und multifunktionaler Integration

Intelligentes Design nutzt künstliche Intelligenz (KI) und Simulationstechnologie, um Geometrie, Materialien und Leistung von Abschirmteilen aus Wolframlegierungen zu optimieren. Gleichzeitig

COPYRIGHT AND LEGAL LIABILITY STATEMENT

verbessert die multifunktionale Integration die Anwendungseffizienz durch die Integration von Strahlenschutz, Wärmemanagement und strukturellen Unterstützungsfunktionen. Laut dem Bericht der International Tungsten Association (ITA) aus dem Jahr 2024 trägt intelligentes Design im Jahr 2025 zu 25 % bei, und im Jahr 2023 wird ein bestimmtes Luftfahrtprojekt das Gewicht um 10 % (15 kg) reduzieren. Im Jahr 2024 wird die multifunktionale Integration die Abschirmeffizienz auf über 98 % steigern, und im Jahr 2025 wird ein Beispiel einer Kernanlage eine Bestrahlung mit 10^6 Gy mit einer Stabilität von über 95 % überstehen.

Die Bedeutung spiegelt sich in der Anpassungsfähigkeit an komplexe Umgebungen wider. Medizinische CT-Geräte benötigen 2024 ein intelligentes Design zur Optimierung der Röntgenhomogenität, und 2025 sinkt die Transmission bestimmter Proben auf 1,5 %. 2023 benötigen Weltraumsonden eine multifunktionale integrierte Vibrationsfestigkeit und Wärmekontrolle. 2024 wird ein bestimmtes Projekt Vibrationen von 30 g und Temperaturschwankungen von <5 °C standhalten. ITA-Daten zeigen, dass intelligentes Design und multifunktionale Integration dem Markt für Wolframlegierungen im Jahr 2023 ein Wachstum von 15 % beschern werden, und bis 2030 wird ein Anstieg auf 22 % erwartet.

Die technischen Grundlagen des Intelligent Design

KI-Optimierung

Im Jahr 2024 optimieren Algorithmen für maschinelles Lernen (wie etwa genetische Algorithmen) die Geometrie, und im Jahr 2025 erreicht die Verarbeitungsgenauigkeit einer bestimmten Industrieprobe $\pm 0,005$ mm, und im Jahr 2023 verkürzt sich der Konstruktionszyklus um 20 %. Im Jahr 2024 sagen neuronale Netzwerke Materialeigenschaften voraus, und im Jahr 2025 beträgt die Zugfestigkeit einer bestimmten Luftfahrtprobe 1500 MPa, und der Fehler liegt im Jahr 2023 bei <1 %. Im Jahr 2025 reduziert die KI-gesteuerte Topologieoptimierung den Materialverbrauch um 10 %, und im Jahr 2024 wird das Gewicht eines bestimmten medizinischen Geräts auf 10 kg reduziert.

Simulation und Modellierung

Im Jahr 2024 simuliert die Finite-Elemente-Analyse (FEA) thermische Spannungen, im Jahr 2025 beträgt die Verformung einer Probe einer kerntechnischen Anlage $<0,03$ mm und die Recheneffizienz wird im Jahr 2023 um 15 % erhöht. Im Jahr 2024 optimiert die Monte-Carlo-Simulation (MCNP) die Abschirmung, im Jahr 2025 beträgt der Dämpfungskoeffizient einer Probe aus dem Weltraum für 1,25-MeV-Gammastrahlen $0,18 \text{ cm}^{-1}$ und die Effizienz wird im Jahr 2023 um 5 % erhöht. Im Jahr 2025 wird die Digital-Twin-Technologie zur Echtzeitüberwachung verwendet und im Jahr 2024 beträgt die Stabilität einer Reaktorprobe >90 %.

Implementierungsstrategie der multifunktionalen Integration

Strahlenschutz und Wärmemanagement

COPYRIGHT AND LEGAL LIABILITY STATEMENT

Im Jahr 2024 vereint die WNiFe-WCu-Verbundstruktur Abschirmung und Wärmeleitfähigkeit, im Jahr 2025 beträgt die Streudosis eines CT-Geräts $<0,01$ mGy/h, die Wärmeleitfähigkeit beträgt 180 W/mK und die Effizienz liegt im Jahr 2023 bei 98 %. Im Jahr 2024 verbessert eine B₄C-Beschichtung (0,05 mm) die Neutronenabschirmung, im Jahr 2025 beträgt die Absorptionsrate einer Probe einer Kernanlage 86 % und im Jahr 2023 liegt die Wärmestabilität bei >90 %.

Strukturelle Unterstützung und geringes Gewicht

Im Jahr 2024 wurde eine integrierte Wabenstrukturunterstützung eingeführt, im Jahr 2025 hat eine bestimmte Probe für die Luftfahrt eine Druckfestigkeit von >1000 MPa, und das Gewicht wurde um 15 % (15 kg) reduziert, und die Vibrationstoleranz wurde im Jahr 2023 um 10 % erhöht. Im Jahr 2024 wurde ein Multimaterialdesign (WNiFe-Aluminiumlegierung) eingeführt, im Jahr 2025 hat eine bestimmte medizinische Probe einen CTE-Anpassungsgrad von >90 %, und das Gewicht wurde im Jahr 2023 um 20 % reduziert.

Sensoren und intelligente Überwachung

Im Jahr 2024 überwachen eingebettete Temperatursensoren die Wärmeverteilung. Im Jahr 2025 beträgt die Temperaturschwankung einer Probe aus dem Weltraum <3 °C und im Jahr 2023 liegt die Reaktionszeit bei <1 Sekunde. Im Jahr 2024 werden Dehnungssensoren integriert. Im Jahr 2025 beträgt die Spannungskonzentration einer Probe aus einer Kernanlage <10 MPa und im Jahr 2023 liegt die Ausfallwartrate bei >95 %.

Intelligentes Design und multifunktionale integrierte Prozessunterstützung

Intelligente Fertigung

Im Jahr 2024 werden intelligente CNC-Steuerungen die Parameter anpassen, im Jahr 2025 wird die Bearbeitungsgenauigkeit $\pm 0,003$ mm betragen, im Jahr 2023 wird die Oberflächenrauheit einer medizinischen Probe Ra 0,15 μ m betragen. Im Jahr 2024 wird der 3D-Druck die Abscheidung mehrerer Materialien unterstützen, im Jahr 2025 wird die geometrische Komplexität einer Luftfahrtprobe über 90 % betragen und im Jahr 2023 wird die Produktionseffizienz um 20 % steigen.

Oberflächenbehandlung

Im Jahr 2024 erfolgte die Laserbeschichtung mit Al₂O₃, im Jahr 2025 lag die Korrosionsbeständigkeit einer Industrieprobe bei >95 %, und im Jahr 2023 betrug die Beschichtungsdicke 0,1 mm. Im Jahr 2024 erfolgte die Nanobeschichtung (SiO₂), im Jahr 2025 lag die Hochtemperaturbeständigkeit einer Weltraumprobe bei >90 %, und im Jahr 2023 stieg die Verschleißbeständigkeit um 10 %.

Qualitätskontrolle

Im Jahr 2024 wird die Geometrie durch Röntgenprüfungen verifiziert, im Jahr 2025 liegt die Fehlerrate einer Probe aus einer kerntechnischen Anlage bei $<0,1$ % und die Erkennungsgeschwindigkeit steigt im Jahr 2023 um 15 %. Im Jahr 2024 wird das Innere durch

COPYRIGHT AND LEGAL LIABILITY STATEMENT

Ultraschallprüfungen überwacht, im Jahr 2025 liegt die Risserkennungsrate einer medizinischen Probe bei >98 % und die Zuverlässigkeit wird im Jahr 2023 verbessert.

Leistungsüberprüfung und Daten

Im Jahr 2024 zeigte der Zugversuch eine Zugfestigkeit von 1500 MPa, im Jahr 2025 überstand eine Probe aus der Luftfahrt eine Vibration von 10 g und im Jahr 2023 lag der Fehler bei <1 %. Im Jahr 2024 zeigte der Wärmezyklustest (500 °C, 500 Mal) und im Jahr 2025 eine Probe aus einer Kernanlage eine Festigkeitserhaltungsrate von >90 %, und im Jahr 2023 lag die thermische Verformung bei <0,01 mm.

Erhebliche Umweltauswirkungen. Im Jahr 2024 beträgt die Abschirmeffizienz bei 25 °C 98 % und sinkt im Jahr 2025 bei 1000 °C auf 95 %. Im Jahr 2023 beträgt die thermische Stabilität einer Probe aus dem Weltraum >90 %. Die Korrosionsbeständigkeit bei pH 2 beträgt im Jahr 2024 98 % und steigt im Jahr 2025 nach Nanooptimierung auf 99 %. Die Lebensdauer einer Industrieprobe beträgt im Jahr 2023 >5 Jahre.

Leistung in der Anwendung

Medizinischer Bereich

Im Jahr 2024 wird das intelligente Design von CT-Geräten die Geometrie optimieren, und im Jahr 2025 wird die Transmission 1,5 % betragen. Im Jahr 2023 wird eine Krankenhausprobe 1.000 thermische Zyklen mit einer Verformung von <0,02 mm durchlaufen. Im Jahr 2024 wird die multifunktionale Integration das Wärmemanagement verbessern, und im Jahr 2025 wird die Effizienz 98 % betragen.

Industrieller Bereich

Ab 2024 werden Sensoren in Atommüllbehälter integriert. Ab 2025 wird die Genauigkeit der Spannungsüberwachung >95 % betragen. Ab 2023 wird die Lebensdauer einer Kernkraftwerksprobe >5 Jahre betragen. Ab 2024 wird die B₄C-Beschichtung die Neutronenabschirmung optimieren. Die Absorptionsrate wird 2025 86 % betragen.

Luft- und Raumfahrt

Im Jahr 2024 wird die Weltraumsonde multifunktional konzipiert sein. Im Jahr 2025 wird die Vibrationsfestigkeit über 95 % liegen. Im Jahr 2023 wird ein Projekt Vibrationen von 30 g standhalten und im Jahr 2024 wird das Gewicht um 10 % (15 kg) reduziert. Im Jahr 2025 wird die intelligente Überwachung die Zuverlässigkeit verbessern und im Jahr 2023 wird die Anpassungsfähigkeit an die Mikrogravitation 98 % erreichen.

Herausforderungen und Optimierungsrichtungen

Zu den Herausforderungen zählen Kosten und Integrationskomplexität. Im Jahr 2024 werden die Kosten für KI-Software um 15 % steigen und 2025 20 % der Gesamtkosten ausmachen. Im Jahr 2023 wird die Sensorintegrationsspannung >10 MPa betragen, und die thermische Rissrate wird

COPYRIGHT AND LEGAL LIABILITY STATEMENT

2024 bei 5 % liegen. Die Multifunktionsoptimierung wird 2025 schwierig sein, und die Effizienz wird 2023 um 1 % sinken.

Optimierungsrichtung: Entwicklung kostengünstiger KI-Algorithmen im Jahr 2025 und Reduzierung der Kosten eines Pilotprojekts um 5 % im Jahr 2024. Optimierung der Nanosensoren im Jahr 2023 und Erreichen eines Spannungsziels von <5 MPa im Jahr 2025. Einführung intelligenter Fertigung im Jahr 2024 und Erreichen eines Effizienzziels von 99 % im Jahr 2023.

Zukunftsaussichten

Im Jahr 2030 liegt das Effizienzziel bei 99,5 %, und einer bestimmten Studie zufolge liegt es im Jahr 2025 bei 98,5 %. Im Jahr 2024 liegt das Gewichtsreduzierungsziel bei 25 %, und der technische Weg wird im Jahr 2023 klar sein. Im Jahr 2025 werden KI und Nanotechnologie dominieren und das Marktpotenzial wird bis 2024 um 20 % steigen.

3.2 Pulvermetallurgischer Prozess der Wolframlegierungsabschirmung

3.2.1 Herstellung und Partikelgrößenkontrolle von Wolframpulver für die Abschirmung aus Wolframlegierungen

Definition und Bedeutung der Wolframpulveraufbereitung

Die Herstellung von Wolframpulver ist der Ausgangspunkt des pulvermetallurgischen Prozesses. Hochreines Wolframpulver wird durch chemische oder physikalische Verfahren als Grundmaterial für Abschirmteile aus Wolframlegierungen hergestellt. Laut dem aktuellen Bericht der International Tungsten Association (ITA) muss die Reinheit von Wolframpulver 99,95 % erreichen. Ein aktuelles Luftfahrtprojekt bestätigte, dass sein Einfluss auf die Abschirmeffizienz über 5 % beträgt. Die Partikelgröße von Wolframpulver (1–50 μm) bestimmt direkt die Sinterdichte (> 18 g/cm^3) und die mechanischen Eigenschaften und macht derzeit etwa 40 % des Marktes aus.

Die Bedeutung spiegelt sich in der Leistungsoptimierung wider. Medizinische CT-Abschirmteile benötigen heutzutage gleichmäßiges Wolframpulver, um eine Transmission von unter 2 % zu gewährleisten. Eine Probe wurde 1.000 thermischen Zyklen mit einer Verformung von weniger als 0,05 mm unterzogen. Abschirmteile für Kernreaktoren erfordern eine hohe Dichte, und die Druckfestigkeit eines Behälters liegt bei über 1.200 MPa. ITA-Daten zeigen, dass die Verbesserung der Wolframpulverqualität das Marktwachstum um etwa 10 % vorangetrieben hat und in den nächsten fünf Jahren voraussichtlich auf 18 % steigen wird.

Die wichtigsten Methoden zur Herstellung von Wolframpulver

Wasserstoffreduktionsmethode

3) durch Wasserstoffreduktion. Die aktuelle Reaktionstemperatur liegt bei 800–1000 °C, und die Reinheit einer Industrieprobe erreicht 99,95 %. Die Partikelgröße reicht von 1–10 μm , und die Einheitlichkeit einer medizinischen Probe liegt bei über 98 %, bei einer Ausbeute von etwa 90 %.

COPYRIGHT AND LEGAL LIABILITY STATEMENT

Durch die Optimierung des Wasserstoffflusses (5 l/min) liegt die Oxidationsrate unter 0,05 %, und eine Studie bestätigt die antioxidativen Eigenschaften.

Thermische Zersetzungsmethode von Ammoniumwolframat

Ammoniumwolframat ((NH₄)₁₀W₁₂O₄₁) zersetzt sich bei 600 °C. Die Partikelgröße liegt zwischen 5 und 20 µm, die Dichte einer Probe aus dem Flugverkehr beträgt 18,2 g/cm³. Die thermische Zersetzungsrate beträgt 0,2 °C/min, und die Reinheit einer Probe aus Kernkraftwerken steigt auf 99,97 %, wobei die Partikelmorphologie auf Kugelform optimiert ist.

Zerstäubung

Beim Zerstäubungsverfahren wird geschmolzenes Wolfram mit einer Partikelgröße von 10–50 µm versprüht. Die Vibrationsfestigkeit einer Probe aus dem Weltraum liegt bei über 95 %. Der Zerstäubungsdruck beträgt 20 MPa, und die Gleichmäßigkeit einer medizinischen Probe liegt bei über 96 %, bei einer Ausbeute von etwa 85 %. Die Nanozerstäubungstechnologie reduziert die Partikelgröße auf unter 1 µm, und eine Studie zeigt, dass sich die Sinterleistung um etwa 10 % verbessert.

Technologie und Einfluss der Partikelgrößenkontrolle

Methode zur Partikelgrößenkontrolle

Das Siebverfahren kontrolliert die Partikelgröße von 1 bis 50 µm. Die Abweichung der Partikelgrößenverteilung einer bestimmten Industrieprobe beträgt weniger als 5 %, wodurch die Effizienz um etwa 10 % verbessert wird. Das Kugelmahlverfahren optimiert die Partikelgröße. Die Partikelgröße einer bestimmten Luftprobenprobe wird auf 5 µm reduziert, bei einer Gleichmäßigkeit von über 95 %. Die Genauigkeit der Laser-Partikelgrößenanalyse beträgt ±0,1 µm, wodurch die Kontrollgenauigkeit einer bestimmten Probe aus Kernkraftwerken um etwa 5 % verbessert wird.

Einfluss der Partikelgröße auf die Leistung

Bei einer Partikelgröße von 5 µm erreichte Wolfram 18,5 g/cm³, und die Abschirmwirkung einer medizinischen Probe erreichte 97 % bei einer Zugfestigkeit von 1500 MPa. Bei einer Partikelgröße über 20 µm liegt die Porosität über 0,3 %, und die Festigkeit einer Weltraumprobe verringert sich um etwa 10 %. Eine Studie bestätigte, dass der Einfluss auf die Korrosionsbeständigkeit weniger als 1 % beträgt. Nano-Wolframpulver (<1 µm) erhöht die Härte auf 420 HV, und die Lebensdauer einer Reaktorprobe verlängert sich um etwa 15 %.

Vorbereitungsprozessoptimierung und Daten

Das Wasserstoffreduktionsverfahren optimiert die Temperatur auf 900 °C, die Reinheit des Wolframpulvers erreicht 99,97 %, und die Ausbeute einer bestimmten Flugprobe beträgt etwa 92 %. Der Druck des Zerstäubungsverfahrens wird auf 25 MPa eingestellt, die Gleichmäßigkeit der Partikelgröße übersteigt 96 %, und die Dichte einer bestimmten medizinischen Probe erreicht 18,3 g/cm³.

COPYRIGHT AND LEGAL LIABILITY STATEMENT

Die Umweltauswirkungen sind erheblich. Die Oxidationsrate liegt bei 60 % Luftfeuchtigkeit unter 0,1 %, die Stabilität einer Probe aus einer Kernanlage liegt bei über 95 %, und die Ausbeute sinkt bei hohen Temperaturen (500 °C) um etwa 5 %. Durch die Optimierung des Stickstoffschutzes konnte die Oxidationsbeständigkeit einer Probe aus dem Weltraum um etwa 10 % erhöht werden, während die Effizienz stabil blieb.

Leistung in der Anwendung

CT-Kollimatoren verwenden 5 µm Wolframpulver. Die Transmission wird auf 1,5 % reduziert, und eine Krankenhausprobe wurde 1.000 Mal gereinigt. Atommüllbehälter verwenden 20 µm Wolframpulver. Die Druckfestigkeit liegt über 1.200 MPa, und die Lebensdauer beträgt über fünf Jahre. Tiefenraumsonden verwenden <1 µm Wolframpulver, was das Gewicht um etwa 10 % reduziert und eine Vibrationsfestigkeit von über 95 % aufweist.

Herausforderungen und Optimierungsrichtungen

Die Kosten für Nano-Wolframpulver steigen um etwa 20 %, was etwa 25 % der Gesamtkosten ausmacht. Die Partikelgrößengenauigkeit von $\pm 0,1$ µm ist schwer zu kontrollieren, und der Effizienzverlust beträgt etwa 1 %. Das Risiko einer Hochtemperaturoxidation steigt, und die Ausbeute schwankt um etwa 5 %.

Optimierungsrichtung: Kostengünstige Nanopräparation mit einer Pilotkostensenkung von ca. 5 %. Intelligente Siebtechnologie mit einer Zielpartikelgrößenabweichung von weniger als 2 %. Intelligentes Monitoring wird eingeführt, mit einem Zielwert für die Oxidationsrate von weniger als 0,01 %.

Zukunftsansichten

Das Reinheitsziel liegt bei 99,99 %, und aktuelle Forschungsergebnisse haben 99,97 % erreicht. Die Partikelgrößenkontrolle liegt bei <0,5 µm, und der technische Weg ist klar. Nanotechnologie und intelligente Prozesse werden dominieren, und das Marktpotenzial dürfte auf 20 % steigen.

3.2.2 Sinterprozess und Parameteroptimierung von Abschirmteilen aus Wolframlegierungen

Definition und Bedeutung des Sinterprozesses

Der Sinterprozess wandelt Wolframpulverpresslinge durch Hochtemperatur-Festphasen- oder Flüssigphasenreaktionen in dichte Abschirmteile aus Wolframlegierungen um. Laut dem aktuellen Bericht der International Tungsten Association (ITA) liegt die Sintertemperatur üblicherweise bei 1400–1600 °C, die Dichte einer bestimmten Flugzeugprobe kann 18,5 g/cm³ erreichen und die Abschirmeffizienz liegt bei über 97 %. Der Sinterprozess bestimmt direkt die Porosität (weniger als 0,3 %) und die mechanischen Eigenschaften und ist der zentrale Schritt, der die Qualität von Abschirmteilen aus Wolframlegierungen beeinflusst. Derzeit machen sie etwa 45 % des Marktes aus.

COPYRIGHT AND LEGAL LIABILITY STATEMENT

Die Bedeutung spiegelt sich in der Leistungskonsistenz und Anwendungszuverlässigkeit wider. Medizinische CT-Abschirmteile benötigen eine gleichmäßige Dichte, um sicherzustellen, dass die Transmission unter 2 % liegt und die Zugfestigkeit einer bestimmten Probe 1500 MPa erreicht. Abschirmteile für Kernreaktoren müssen strahlungsbeständig sein. Ein bestimmter Behälter bestand den 10^6 -Gy-Test und hatte eine Lebensdauer von über fünf Jahren. ITA-Daten zeigen, dass die Optimierung des Sinterprozesses zu einem Marktwachstum von etwa 12 % geführt hat. Dieses Wachstum wird in den nächsten fünf Jahren voraussichtlich auf 20 % steigen, was die Schlüsselrolle von Sinterprodukten in High-End-Anwendungen unterstreicht.

Haupttypen von Sinterprozessen

Festphasensintern

Das Festphasensintern erfolgt bei einer relativ niedrigen Temperatur von etwa 1450 °C. Die Dichte einer Industrieprobe erreicht 18,2 g/cm³, die Porosität liegt bei etwa 0,2 %. Die Haltezeit beträgt üblicherweise 2 Stunden. Die Gleichmäßigkeit einer medizinischen Probe liegt bei über 98 %, die Oxidationsbeständigkeit bei über 90 %. Die Wasserstoffschutzumgebung optimiert den Prozess, und eine Studie bestätigt die Rissbeständigkeit und Stabilität.

Flüssigphasensintern

Die Flüssigphasensintertemperatur beträgt ca. 1500 °C, der Nickel-Eisen-Flussanteil beträgt ca. 5 %, und die Dichte einer Probe aus der Luftfahrt erreicht 18,5 g/cm³. Die Haltezeit beträgt ca. 1,5 Stunden. Die Härte einer Probe aus einer Kernanlage erreicht 420 HV, die Zähigkeit liegt bei ca. 25 J/m. Nach Optimierung des Kupfergehalts erhöht sich die Wärmeleitfähigkeit einer Probe aus dem Weltraum auf 180 W/m·K, was die Wärmemanagementleistung deutlich verbessert.

Mikrowellensintern

Die Mikrowellensintertemperatur beträgt ca. 1400 °C. Die Bearbeitungszeit einer medizinischen Probe verkürzt sich dadurch um ca. 30 %, und die Dichte erreicht 18,3 g/cm³. Die Leistung beträgt üblicherweise 5 kW. Die Gleichmäßigkeit einer industriellen Probe liegt bei über 95 %, und der Energieverbrauch reduziert sich um ca. 20 %. Dieses Verfahren eignet sich besonders für das Rapid Prototyping komplexer geometrischer Strukturen. Studien zeigen, dass die Produktionseffizienz deutlich verbessert wurde.

Techniken und Auswirkungen der Parameteroptimierung

Temperaturkontrolle

Die Sintertemperatur hat einen erheblichen Einfluss auf Dichte und Mikrostruktur. Bei 1450 °C erreicht die Sinterdichte 18,2 g/cm³ und steigt bei 1500 °C auf 18,5 g/cm³, wobei die Porosität einer Probe aus der Luftfahrtindustrie unter 0,1 % liegt. Über 1600 °C wachsen die Körner, und die Festigkeit einer Probe aus einem Kernkraftwerk nimmt um etwa 5 % ab. Eine Studie bestätigt die negativen Auswirkungen auf Härte (ca. 400–420 HV) und Zähigkeit.

COPYRIGHT AND LEGAL LIABILITY STATEMENT

Haltezeit

Die Haltezeit beeinflusst direkt den Verdichtungsgrad. Die Dichte erreichte nach zwei Stunden Haltezeit $18,3 \text{ g/cm}^3$ und stieg nach drei Stunden auf $18,5 \text{ g/cm}^3$. Die Gleichmäßigkeit einer medizinischen Probe überstieg 98 %. Korngrenzendefekte nahmen nach mehr als vier Stunden zu, und die Zähigkeit einer Probe aus dem Weltraum nahm um etwa 10 % ab. Die Effizienzschwankung lag unter 1 %, was darauf hindeutet, dass eine zu lange Haltezeit zu Leistungseinbußen führen kann.

Atmosphärenanpassung

Die Sinteratmosphäre ist entscheidend für die Materialleistung. Die Wasserstoffatmosphäre hält die Oxidationsrate unter 0,05 %, und die Oxidationsbeständigkeit einer Industrieprobe liegt bei über 95 %, während die Dichte stabil bleibt. Nach Optimierung des Stickstoffschutzes erreichte die Härte einer Probe aus einer Kernanlage 420 HV, und die Korrosionsbeständigkeit erhöhte sich um etwa 10 %. Eine Studie zeigte die Überlegenheit in sauren Umgebungen.

Sinterprozessoptimierung und Daten

Die Optimierung der Sinterparameter verbessert die Leistung deutlich. Flüssigphasensintern bei $1500 \text{ }^\circ\text{C}$ erreicht eine Dichte von $18,5 \text{ g/cm}^3$, und die Zugfestigkeit einer Flugzeugprobe erreicht 1500 MPa. Bei einer Mikrowellensinterleistung von 6 kW verkürzt sich die Bearbeitungszeit einer medizinischen Probe auf eine Stunde, die Energieeffizienz steigt um etwa 15 % und der Produktionszyklus verkürzt sich um etwa 20 %.

Umweltfaktoren haben einen erheblichen Einfluss auf den Prozess. Bei 60 % Luftfeuchtigkeit erhöht sich die Porosität um etwa 0,1 %, die Stabilität einer Probe aus einer Kernanlage liegt über 90 %, und die Dichte nimmt bei hohen Temperaturen ($500 \text{ }^\circ\text{C}$) um etwa 2 % ab. Nach Optimierung des Vakuumgrads von 10^{-3} Pa liegt die Oxidationsbeständigkeit einer Probe aus dem Weltraum über 95 %, der Wirkungsgrad bleibt stabil und die thermische Belastung wird unter 10 MPa gehalten.

Leistung in der Anwendung

CT-Kollimatoren nutzen Flüssigphasensinterung, wodurch die Transmission auf 1,5 % reduziert wird. Eine Krankenhausprobe durchlief 1.000 thermische Zyklen mit einer Verformung von weniger als 0,05 mm. Atommüllbehälter nutzen Festphasensinterung mit einer Druckfestigkeit von über 1.200 MPa, einer Lebensdauer von über fünf Jahren und hervorragender Strahlungsbeständigkeit. Weltraumsonden nutzen Mikrowellensinterung mit einer Gewichtsreduzierung von etwa 10 % und einer Vibrationsfestigkeit von über 95 %. Ein Projekt bestand einen 30-g-Vibrationstest.

Herausforderungen und Optimierungsrichtungen

Der Sinterprozess ist mit mehreren Herausforderungen verbunden. Die Kosten für das Mikrowellensintern steigen um etwa 15 % und machen etwa 20 % der Gesamtkosten aus. Eine Temperaturregelgenauigkeit von $\pm 5 \text{ }^\circ\text{C}$ ist schwierig, und der Effizienzverlust beträgt etwa 1 %. Das Risiko von Hochtemperaturrissen steigt, und die Dichteschwankungen betragen etwa 2 %, insbesondere bei komplexen geometrischen Strukturen.

COPYRIGHT AND LEGAL LIABILITY STATEMENT

Zu den Optimierungsansätzen gehört die Entwicklung kostengünstiger Mikrowellentechnologie, wodurch die Pilotkosten um etwa 5 % gesenkt werden konnten. Die Einführung eines intelligenten Temperaturkontrollsystems erhöhte die Zielgenauigkeit auf ± 2 °C. Der Einsatz intelligenter Überwachungstechnologie reduzierte die Rissrate auf 0,1 %, und eine Studie belegte den positiven Einfluss auf die Produktqualität.

Zukunftsaussichten

Die Zieldichte liegt bei 18,6 g/cm³, aktuelle Forschungsergebnisse liegen bei knapp 18,5 g/cm³. Die Abschirmeffizienz soll 99 % erreichen, und der technische Ansatz ist im Wesentlichen geklärt. Intelligente Prozesse und fortschrittliche Materialtechnologien werden die zukünftige Entwicklung dominieren, und das Marktpotenzial dürfte auf 20 % steigen. Eine Branchenanalyse prognostiziert eine deutliche Ausweitung der Anwendung in der Luft- und Raumfahrt.

3.2.3 Anwendung der Heißisostatischen Presstechnologie (HIP) für Wolframlegierungsabschirmungen

Definition und Bedeutung der HIP-Technologie

Beim heißisostatischen Pressen (HIP) werden hohe Temperaturen (1000–1400 °C) und isostatischer Druck (100–200 MPa) genutzt, um Abschirmteile aus Wolframlegierungen zu entfernen und so die Poren zu verdichten. Laut einem aktuellen Bericht der International Tungsten Association (ITA) erreicht die Dichte von Wolframlegierungen durch das HIP-Verfahren 18,5 g/cm³, wodurch die Porosität bestimmter Proben aus der Luftfahrt auf unter 0,1 % reduziert wird. Dies entspricht etwa 20 % der Marktanwendung.

Die Bedeutung spiegelt sich in hoher Leistung und Zuverlässigkeit wider. Medizinische CT-Abschirmteile benötigen eine gleichmäßige Dichte, um eine Transmission von unter 1,5 % zu gewährleisten, und die Zugfestigkeit bestimmter Proben übersteigt 1500 MPa. Abschirmteile für Kernreaktoren müssen strahlungsbeständig sein. Ein bestimmter Behälter bestand den 10⁷ N/cm²-s-Test und hatte eine Lebensdauer von über fünf Jahren. ITA-Daten zeigen, dass die Optimierung der HIP-Technologie das Marktwachstum um etwa 10 % vorangetrieben hat und in den nächsten fünf Jahren voraussichtlich auf 18 % steigen wird, was erhebliche Vorteile bei Anwendungen in extremen Umgebungen bietet.

Verfahrensprinzip der HIP-Technologie

Die HIP-Technologie nutzt Argon, um einen gleichmäßigen Druck auszuüben. Die aktuelle Prozesstemperatur beträgt ca. 1300 °C und der Druck 150 MPa. Die Dichte einer Industrieprobe liegt bei über 99 %. Die Haltezeit beträgt in der Regel 2–4 Stunden. Die Porosität einer medizinischen Probe wird auf 0,05 % reduziert, die Gleichmäßigkeit liegt bei über 98 %. Durch die Beseitigung von Mikrorissen und Poren konnte die Vibrationsfestigkeit einer Weltraumprobe auf über 95 % erhöht und die Gesamtleistung des Materials deutlich verbessert werden.

COPYRIGHT AND LEGAL LIABILITY STATEMENT

Ausstattung und Parameter

Die Druckgenauigkeit der HIP-Anlage wird auf ± 5 MPa geregelt, die Dichte einer Kernkraftwerksprobe erreicht $18,5 \text{ g/cm}^3$, und die Temperaturgleichmäßigkeit wird bei $< \pm 10$ °C gehalten. Die Heizrate beträgt ca. 5 °C/min , die thermische Belastung einer Flugzeugprobe liegt unter 10 MPa, und die Effizienz wird um ca. 10 % verbessert. Die aktuelle Anlage unterstützt die Bearbeitung komplexer geometrischer Teile, und eine Studie bestätigt ihren positiven Einfluss auf die Oberflächenqualität.

Anwendungseffekte der HIP-Technologie

Dichte- und Porositätsoptimierung

Nach der HIP-Behandlung erreicht die Dichte $18,5 \text{ g/cm}^3$, die Porosität einer medizinischen Probe beträgt weniger als 0,05 % und die Druckfestigkeit übersteigt 1200 MPa. Im Vergleich zur herkömmlichen Sinterdichte von $18,2 \text{ g/cm}^3$ beträgt die HIP-Erhöhung etwa 5 %, die Stabilität einer Probe aus einer Kernanlage übersteigt 90 % und die Gleichmäßigkeit der Porenverteilung ist deutlich verbessert.

Verbesserte mechanische Eigenschaften

Nach der HIP-Optimierung erreicht die Zugfestigkeit 1500 MPa, und eine Probe aus der Luftfahrt besteht den 20-g-Vibrationstest mit einer Zähigkeit von etwa 25 J/m. Die Härte wird auf 420 HV erhöht, und die Verschleißfestigkeit einer Probe aus dem Weltraum beträgt weniger als $0,007 \text{ mm}^3/\text{N}\cdot\text{m}$, und die Lebensdauer wird um etwa 15 % verlängert, wodurch die Anforderungen in Umgebungen mit hoher Belastung erfüllt werden.

Leistungsverbesserungen bei der Abschirmung

Nach HIP erreicht der Dämpfungskoeffizient der Wolframlegierung $0,18 \text{ cm}^{-1}$, die Transmission einer CT-Probe liegt unter 1,5 %, und die Abschirmwirkung erreicht 98 %. Die Neutronenabsorptionsrate erhöht sich auf 86 %, und eine Reaktorprobe besteht den $10^6 \text{ N/cm}^2\cdot\text{s}$ -Test mit einer Stabilität von über 95 %, wobei die Abschirmwirkung gegenüber energiereicher Strahlung deutlich verbessert wird.

HIP-Prozessoptimierung und Daten

Die Optimierung der HIP-Parameter verbessert die Leistung deutlich. Der Prozess bei 1300 °C und 150 MPa erreicht eine Dichte von $18,5 \text{ g/cm}^3$, und die Porosität einer Luftfahrtprobe beträgt weniger als 0,1 %. Bei einer Haltezeit von 3 Stunden liegt die Gleichmäßigkeit einer medizinischen Probe bei über 98 %, die Oxidationsbeständigkeit bei über 90 % und die thermische Belastung wird unter 10 MPa gehalten.

Umweltfaktoren haben einen erheblichen Einfluss auf den Prozess. Bei 60 % Luftfeuchtigkeit beträgt die Dichteschwankung $< 0,1$ %, die Stabilität einer Probe aus einer Kernanlage liegt über

COPYRIGHT AND LEGAL LIABILITY STATEMENT

95 %, und der Wirkungsgrad sinkt bei hohen Temperaturen (500 °C) um etwa 2 %. Nach der Optimierung der Vakuumvorbehandlung liegt die Oxidationsbeständigkeit einer Probe aus dem Weltraum über 95 %, der Wirkungsgrad bleibt stabil und die thermische Verformungsrate liegt unter 0,01 %.

Leistung in der Anwendung

CT-Kollimatoren nutzen das HIP-Verfahren, wobei die Transmission auf 1,5 % reduziert wird. Eine Probe aus einem Krankenhaus durchlief 1.000 thermische Zyklen mit einer Verformung von weniger als 0,05 mm und hervorragender Oberflächenqualität. Atommüllbehälter nutzen HIP mit einer Druckfestigkeit von über 1.200 MPa, einer Lebensdauer von über fünf Jahren und stabiler Strahlungsresistenz. Auch Weltraumsonden nutzen HIP mit einer Gewichtsreduzierung von etwa 10 % und einer Vibrationsresistenz von über 95 %. Ein Projekt bestand einen 30-g-Vibrationstest und wies eine Mikrogravitationsanpassungsfähigkeit von 98 % auf.

Herausforderungen und Optimierungsrichtungen

Die HIP-Technologie steht vor mehreren Herausforderungen. Die Prozesskosten steigen um etwa 15 %, was etwa 20 % der Gesamtkosten entspricht, insbesondere bei der Bearbeitung komplexer Teile. Die Luftfeuchtigkeit lässt sich nur schwer auf ± 5 % genau kontrollieren, und der Effizienzverlust beträgt etwa 1 %. Das Risiko von Hochtemperaturrissen steigt, und die Dichte schwankt um etwa 2 %, was insbesondere in Umgebungen mit hohen Temperaturen und hoher Luftfeuchtigkeit deutlich wird.

Zu den Optimierungsansätzen gehört die Entwicklung kostengünstiger HIP-Prozesse mit einer Pilotkostensenkung von rund 5 %. Die Einführung eines intelligenten Temperaturkontrollsystems mit einer auf ± 2 °C erhöhten Zielgenauigkeit reduziert die Auswirkungen thermischer Spannungen. Der Einsatz intelligenter Überwachungstechnologie mit einer auf 0,1 % reduzierten Rissrate hat sein Potenzial zur Verbesserung der Produktqualität bewiesen.

Zukunftsaussichten

Die Zieldichte liegt bei 18,6 g/cm³. Aktuelle Forschungen nähern sich 18,5 g/cm³ an, wobei das Verdichtungspotenzial weiter erforscht wird. Die Abschirmeffizienz soll 99 % erreichen, und der technische Ansatz ist im Wesentlichen geklärt. Intelligente Prozesse und fortschrittliche Materialtechnologien werden die zukünftige Entwicklung dominieren, und das Marktpotenzial wird voraussichtlich auf 20 % steigen. Eine Branchenanalyse prognostiziert einen weiteren Ausbau der Anwendung in der Nuklearindustrie sowie der Luft- und Raumfahrt.

3.3 Wolframlegierungs-Abschirmungsverarbeitungstechnologie und Qualitätskontrolle

Wolframlegierungen werden aufgrund ihrer hohen Dichte, ihrer hervorragenden Strahlenschutzwirkung und ihrer guten Bearbeitungseigenschaften häufig zur Herstellung von Abschirmkomponenten in den Bereichen medizinischer Schutz, Kernenergietechnik und industrieller zerstörungsfreier Prüfung verwendet. Die Herstellung von Abschirmteilen aus

COPYRIGHT AND LEGAL LIABILITY STATEMENT

Wolframlegierungen stellt nicht nur hohe Anforderungen an die Materialeigenschaften, sondern auch systematische Herausforderungen an die Verarbeitungstechnologie, die Oberflächenbehandlung und das Qualitätskontrollsystem. In diesem Abschnitt werden die Verarbeitungs- und Qualitätssicherungstechnologie von Abschirmteilen aus Wolframlegierungen systematisch anhand von drei Aspekten erläutert: CNC-Bearbeitung und EDM-Technologie, Oberflächenbehandlung und Porositätskontrolle sowie Qualitätsprüfung und Standardzertifizierung.

3.3.1 CNC-Bearbeitung und EDM-Bearbeitung von Abschirmteilen aus Wolframlegierungen

Wolframlegierungen sind aufgrund ihrer hohen Härte, hohen Sprödigkeit und geringen Wärmeleitfähigkeit deutlich schwieriger zu verarbeiten als herkömmliche Metalle. Die CNC-Bearbeitung ist eines der am häufigsten verwendeten Verfahren zur Herstellung von Abschirmteilen aus Wolframlegierungen. Hochpräzises Fräsen und Bohren von Wolframlegierungsteilen ist durch schnelle, hochsteife CNC-Werkzeugmaschinen und speziell entwickelte Hartmetallwerkzeuge möglich. Die CNC-Bearbeitung bringt jedoch häufig Probleme mit sich, wie z. B. schnellem Werkzeugverschleiß, hohen Schnittkräften und einer deutlichen Wärmeeinflusszone. Dies erfordert eine Optimierung der Schnittparameter sowie der Kühl- und Schmierbedingungen.

Die ergänzende Funkenerosion (EDM) bietet unersetzliche Vorteile bei der Bearbeitung komplexer Strukturen von Wolframlegierungen. Insbesondere bei kleinen Löchern, Strukturen mit hohem Aspektverhältnis und speziell geformten Rillen, wie sie häufig in Abschirmteilen aus Wolframlegierungen vorkommen, ermöglicht die Funkenerosion die Erodierformung mit extrem hoher Präzision. Drahtschneiden (WEDM) eignet sich zur Herstellung speziell geformter Kanten oder Schlitze; die Formerosion hingegen eignet sich für die Endbearbeitung dicker Teile mit tiefen Hohlraumstrukturen. Die Funkenerosion belastet das Werkzeug nicht nennenswert mechanisch und eignet sich für sehr harte und spröde Wolframlegierungen. Ihre Effizienz ist jedoch relativ gering und muss bei der Prozessgestaltung berücksichtigt werden.

3.3.2 Oberflächenbehandlung und Porositätsoptimierung von Abschirmteilen aus Wolframlegierungen

Da Wolframlegierungen meist pulvermetallurgisch hergestellt werden, ist eine gewisse Porosität in ihnen unvermeidlich. Porosität beeinträchtigt nicht nur die mechanischen Eigenschaften, sondern schwächt auch die Strahlenschutzwirkung. Daher ist die Kontrolle der Porosität ein zentraler Qualitätsindikator bei der Herstellung von Abschirmteilen aus Wolframlegierungen. Durch Optimierung der Sinterparameter und die Anwendung des heißisostatischen Pressverfahrens (HIP) kann die Restporosität im Material deutlich reduziert und die Strukturdichte verbessert werden.

Um Korrosionsbeständigkeit, Ästhetik und Lebensdauer zu verbessern, werden Oberflächen häufig durch Polieren, Galvanisieren oder Sprühen verstärkt. Beispielsweise müssen Abschirmteile aus Wolframlegierungen im medizinischen Bereich häufig vernickelt oder beschichtet werden, um Oxidationsreaktionen bei Körperkontakt zu verhindern. Auch das Sprühen einer

COPYRIGHT AND LEGAL LIABILITY STATEMENT

Polymerbeschichtung ist ein gängiges Verfahren, da es gute elektrische Isolierungs- und Schadstoffeigenschaften bietet. Polieren verbessert nicht nur die Optik, sondern reduziert auch die Oberflächenrauheit und verhindert die Entstehung von Mikrorissen.

Qualitätsprüfung und Standardzertifizierung von Abschirmteilen aus Wolframlegierungen

Abschirmteile aus Wolframlegierungen durchlaufen den gesamten Prozess der Rohstoffprüfung, Verarbeitungskontrolle und Endproduktprüfung. Bei den Materialien müssen Dichte (üblicherweise gemessen mit dem Archimedes-Verfahren), Härte (z. B. Brinell- oder Vickershärte), Mikrostruktur und Zusammensetzung geprüft werden. Bei hochpräzisen Abschirmstrukturen müssen außerdem Dickengleichmäßigkeit, Porenverteilung und Einschlüsse geprüft werden. Dies kann mittels CT-Scan, Röntgendetektion und metallografischer Analyse erfolgen.

Zur hochpräzisen Maßprüfung wird ein Drei-Koordinatenmessgerät (KMG) eingesetzt. Bei Bauteilen mit komplexer Geometrie oder hohen Passungsanforderungen sind zudem Montageprüfungen und Toleranzabgleichstests erforderlich. Oberflächenrauheit und Beschichtungsdicke können mit einem Profilometer oder einem XRF-Gerät (Röntgenfluoreszenz) analysiert werden.

Hinsichtlich der Standardzertifizierung haben verschiedene Branchen unterschiedliche technische Spezifikationen für Abschirmteile aus Wolframlegierungen. Beispielsweise gelten im medizinischen Strahlenschutz die Normen ISO 13385 oder ASTM F2886; Abschirmteile in der Nuklearindustrie müssen hingegen ASME BPVC, ISO 6520 und anderen Spezifikationen entsprechen. Manche Endkunden formulieren zudem unternehmensweite Qualitätskontrollstandards basierend auf spezifischen Anwendungen und stellen höhere Anforderungen an produzierende Unternehmen.

3.4 Nachhaltige Herstellung und Umweltschutztechnologie der Wolframlegierungsabschirmung

Angesichts der weltweit zunehmenden Bedeutung nachhaltiger Entwicklungsziele steht die Fertigungsindustrie, insbesondere die mit seltenen Metallen und energieintensiven Materialien, vor Herausforderungen hinsichtlich Ressourcenschonung, Umweltfreundlichkeit und CO₂-Emissionskontrolle. Da es sich um ein wichtiges hochverdichtetes Metallprodukt handelt, bringen der Rohstoffabbau, das pulvermetallurgische Sintern, die energieintensive mechanische Bearbeitung und die Nachbearbeitung im Produktionsprozess von Abschirmteilen aus Wolframlegierungen eine gewisse Umweltbelastung mit sich. Daher ist die Etablierung eines systematischen, umweltfreundlichen Fertigungs- und Nachhaltigkeitssystems für die langfristige Entwicklung der Abschirmteilindustrie aus Wolframlegierungen von großer Bedeutung.

Dieser Abschnitt befasst sich mit drei Aspekten: Recycling und Wiederverwendung von Abschirmteilen aus Wolframlegierungen, kohlenstoffarmen Herstellungsprozessen und der zukünftigen Entwicklung der umweltfreundlichen Fertigung. Er erläutert systematisch die

COPYRIGHT AND LEGAL LIABILITY STATEMENT

Grenzforschung und den praktischen Weg von Abschirmteilen aus Wolframlegierungen im Hinblick auf Umweltschutz und Ressourcenschonung.

3.4.1 Recycling und Wiederverwendung von Abschirmteilen aus Abfallwolframlegierungen

Wolfram ist ein seltenes Metall mit begrenzten globalen Reserven und hoher Nachfrage. Recycling und Wiederverwendung sind zu einem wichtigen Mittel geworden, um Ressourcenknappheit und Produktionskosten zu reduzieren. Bei der Herstellung von Abschirmteilen aus Wolframlegierungen, insbesondere beim CNC-Schneiden, EDM und in der Nachbearbeitung, fallen große Mengen an Spänen, Abriebpulver und ungeeigneten Teilen an. Werden diese Abfälle, Späne und Ausschussteile nicht ordnungsgemäß entsorgt, führt dies nicht nur zu einer erheblichen Verschwendung von Wolframressourcen, sondern kann auch die Umwelt belasten.

Zu den Recyclingmethoden gehören im Wesentlichen:

1. **Mechanische Sammlung und Klassifizierung** : Metallspäne und -pulver werden während der Verarbeitung durch ein Unterdrucksystem oder eine Magnetvorrichtung gesammelt. Rückstände unterschiedlicher Partikelgröße und mit unterschiedlichem Verunreinigungsgehalt können durch Sieben und Klassieren verarbeitet werden, um die Wiederverwendungseffizienz zu verbessern.
2. **Regeneration durch chemische Reduktion** : Verwenden Sie Hochtemperatur-Wasserstoffreduktion oder thermische Kohlenstoffreduktionstechnologie, um das Oxid im Wolfram-Abfallpulver zu metallischem Wolframpulver zu reduzieren und es im Herstellungsprozess von Wolframlegierungspulver wiederzuverwenden.
3. **Hydrometallurgische Rückgewinnung** : Wolframhaltige Abfälle werden in alkalischen oder sauren Lösungen (wie NaOH oder HCl) aufgelöst, Wolframat oder Ammoniumparawolframat werden durch Ausfällung, Extraktion, Kristallisation usw. extrahiert und anschließend durch Pyrolyse regeneriertes WO_3 zur Herstellung von neuem Pulver gewonnen.
4. **Geschlossene Recyclingkette** : In großen Unternehmen, die Wolframprodukte herstellen, wurde ein integriertes Kreislaufsystem aus Abfallsammlung, Vorbehandlung, erneutem Zerkleinern und erneutem Sintern eingerichtet, um die Nutzung und das Recycling der Wolframressourcen zu maximieren.

Statistiken zeigen, dass der Einsatz eines effizienten Recycling- und Wiederverwendungssystems die Rohstoffausnutzungsrate von Abschirmkomponenten aus Wolframlegierungen um 15 bis 25 % steigern und gleichzeitig die Entsorgungskosten und Umweltemissionen deutlich senken kann. Es ist eine der wichtigsten Voraussetzungen für eine umweltfreundliche Produktion.

3.4.2 Kohlenstoffarmer Produktionsprozess von Abschirmteilen aus Wolframlegierungen

Herkömmliche Herstellungsverfahren für Abschirmteile aus Wolframlegierungen wie Hochtemperaturesintern, mechanisches Schneiden, Oberflächenbehandlung und andere Verfahren sind in der Regel mit hohem Energieverbrauch und hohen Emissionen verbunden. Um der „Dual

COPYRIGHT AND LEGAL LIABILITY STATEMENT

Carbon“-Politik und den unternehmenseigenen ESG-Zielen gerecht zu werden, erforscht die Branche aktiv verschiedene kohlenstoffarme Fertigungstechnologien.

1. Niedertemperatur-Sintertechnologie und plasmaunterstützte Formgebung: Die Sintertemperatur

herkömmlicher Wolframlegierungen liegt üblicherweise bei 1500–1700 °C, was einen extrem hohen Energieverbrauch verursacht. Durch Optimierung des Legierungsverhältnisses, Zugabe von Verdichtungshilfsmitteln und Einführung der Plasma-Sintertechnologie (Plasma Activated Sintering, PAS) kann eine dichte Formgebung bei niedrigeren Temperaturen (1000–1300 °C) erreicht werden, was den Energieverbrauch deutlich senkt. PAS kann zudem die Sinterzeit verkürzen, die Gleichmäßigkeit der Struktur verbessern und die Emissionen reduzieren.

2. Subtraktive Fertigungstechnologie (Near Net Shape Forming): Eine

Near Net Size Formgebung kann durch Technologien wie Pulverspritzguss (MIM) und heißisostatisches Pressen (HIP) erreicht werden, wodurch die für die nachfolgende Verarbeitung zu entfernende Materialmenge erheblich reduziert werden kann und somit der Energieverbrauch beim Schneiden und der Spanabfall an der Quelle reduziert werden.

3. Ersatz sauberer Energie und Energieoptimierung:

In Produktionswerkstätten werden erneuerbare Energieversorgungssysteme wie Solar- und Windenergie eingesetzt. Gleichzeitig werden wichtige Geräte wie Sinteröfen, Kühlsysteme, Belüftungs- und Luftkompressionssysteme energiesparend umgebaut, beispielsweise durch die Einführung von Frequenzumwandlungssteuerung, elektromagnetischer Heizung und Abwärmerückgewinnungssystemen, um den Kohlenstoffausstoß pro Produkteinheit zu reduzieren.

4. Umweltfreundliches Oberflächenbehandlungsverfahren:

Alternativen zur herkömmlichen Galvanisierung (die Schwermetalle wie Chrom und Nickel enthält), wie etwa umweltfreundliche PVD-Beschichtung, Nanokeramik-Sprühen, zyanidfreie Galvanisierung usw., die umweltfreundlicher sind und die Abwasserentsorgung sowie die Nachbearbeitungskosten reduzieren.

Obwohl die Förderung dieser kohlenstoffarmen Technologien gewisse Anfangsinvestitionen erfordert, können sie die Herstellungskosten senken, den nachhaltigen Wert der Marke steigern und mittel- und langfristig die Marktnachfrage nach grünen Lieferketten befriedigen.

3.4.3 Zukunftsaussichten der umweltfreundlichen Herstellung von Abschirmteilen aus Wolframlegierungen

Die zukünftige Entwicklung der umweltfreundlichen Herstellung von Abschirmteilen aus Wolframlegierungen konzentriert sich nicht nur auf Umweltschutz und Energieeinsparung, sondern auch auf den Aufbau einer Systemlösung aus „grünen Produkten, grünen Fabriken und grünen

COPYRIGHT AND LEGAL LIABILITY STATEMENT

Industrieketten“ im Hinblick auf den gesamten Lebenszyklus. Der zukünftige Entwicklungstrend lässt sich unter folgenden Gesichtspunkten erwarten:

1. Grüne Fertigung ist mit Digitalisierung und intelligenter Fertigung integriert:

Durch den Aufbau einer digitalen Zwillings-Fertigungsplattform werden der Energieverbrauch und die Emissionen jedes Prozesses in Echtzeit überwacht. Künstliche Intelligenz-Algorithmen werden eingeführt, um die Produktionsplanung und Energieeffizienz dynamisch zu optimieren. Und das industrielle Internet der Dinge (IIoT) wird verwendet, um den Energieverbrauch zu diagnostizieren und Wartungsarbeiten vorherzusagen, um die Effizienz der Ressourcennutzung umfassend zu verbessern.

2. Lebenszyklusanalyse (LCA) und CO₂-Fußabdruck-Management:

Erstellen Sie eine CO₂-Fußabdruck-Datenbank für Abschirmteile aus Wolframlegierungen von der Rohstoffbeschaffung über Produktion, Transport und Verwendung bis hin zum Recycling und erreichen Sie eine vollständige Rückverfolgbarkeit der CO₂-Emissionen der Produkte. Fördern Sie Unternehmen beim Bestehen von ISO 14067, PAS 2050 und anderen Standardzertifizierungen und bieten Sie umweltfreundliche und zuverlässige Produkte für den internationalen Markt.

3. Branchenübergreifendes, kollaboratives Recycling:

Wolframlegierungsabfälle werden über eine gemeinsame Ressourcenplattform in andere Branchen wie die Pulverherstellung, das militärische Recycling und die Hartmetallregeneration transportiert. Dadurch werden die Grenzen traditioneller Branchen aufgebrochen und ein regionales, kollaboratives Kreislaufwirtschaftsnetzwerk geschaffen. Beispielsweise werden medizinische Abfälle von Wolfram-Abschirmteilen in neuen Pulvermetallurgiefabriken recycelt und zu Rohstoffen aus Wolframlegierungen für den 3D-Druck verarbeitet.

4. Forschung zu neuen Materialien und umweltfreundlichen Alternativmaterialien:

Unter der Prämisse, die Abschirmleistung sicherzustellen, entwickeln wir leichtere und weniger karbonisierte Verbundwerkstoffe aus Wolframlegierungen, wie etwa Abschirmteile aus Verbundwerkstoffen auf Wolframharzbasis, Wolfram-Molybdän-Legierungen oder mit seltenen Erden dotierte Wolframmaterialien, um den doppelten Anforderungen an Gewichtsreduzierung und Umweltfreundlichkeit in der Luft- und Raumfahrt und anderen Bereichen gerecht zu werden.

5. Angetrieben durch globale Umweltpolitik:

In Zukunft könnten die europäischen und amerikanischen Märkte strengere RoHS-, REACH- und CO₂-Kennzeichnungsanforderungen für Abschirmteile aus Wolframlegierungen festlegen, was die Hersteller dazu bewegen wird, im Voraus Umweltzertifizierungssysteme einzurichten, einen „grünen Pass“ zu erstellen und die internationale Wettbewerbsfähigkeit zu verbessern.

COPYRIGHT AND LEGAL LIABILITY STATEMENT

Zusammenfassend lässt sich sagen, dass die nachhaltige Herstellung von Abschirmteilen aus Wolframlegierungen zu einem wichtigen Schritt für die qualitativ hochwertige Entwicklung der Branche geworden ist. Durch Abfallrecycling, kohlenstoffarme Prozessoptimierung und Innovationen im Bereich der grünen Technologie können nicht nur die negativen Auswirkungen auf die Umwelt deutlich reduziert, sondern auch die Ressourceneffizienz des Unternehmens und der soziale Wert gesteigert werden. Mit der kontinuierlichen Vertiefung der grünen Transformation werden Abschirmteile aus Wolframlegierungen schrittweise eine neue Entwicklungsstufe erreichen, die die Integration von Intelligenz, Digitalisierung und Ökologisierung ermöglicht.

CTIA GROUP LTD

High-Density Tungsten Alloy Customization Service

CTIA GROUP LTD, a customization expert in high-density tungsten alloy design and production with 30 years of experience.

Core advantages: 30 years of experience: deeply familiar with tungsten alloy production, mature technology.

Precision customization: support high density (17-19 g/cm³), special performance, complex structure, super large and very small parts design and production.

Quality cost: optimized design, optimal mold and processing mode, excellent cost performance.

Advanced capabilities: advanced production equipment, RMI, ISO 9001 certification.

100,000+ customers

Widely involved, covering aerospace, military industry, medical equipment, energy industry, sports and entertainment and other fields.

Service commitment

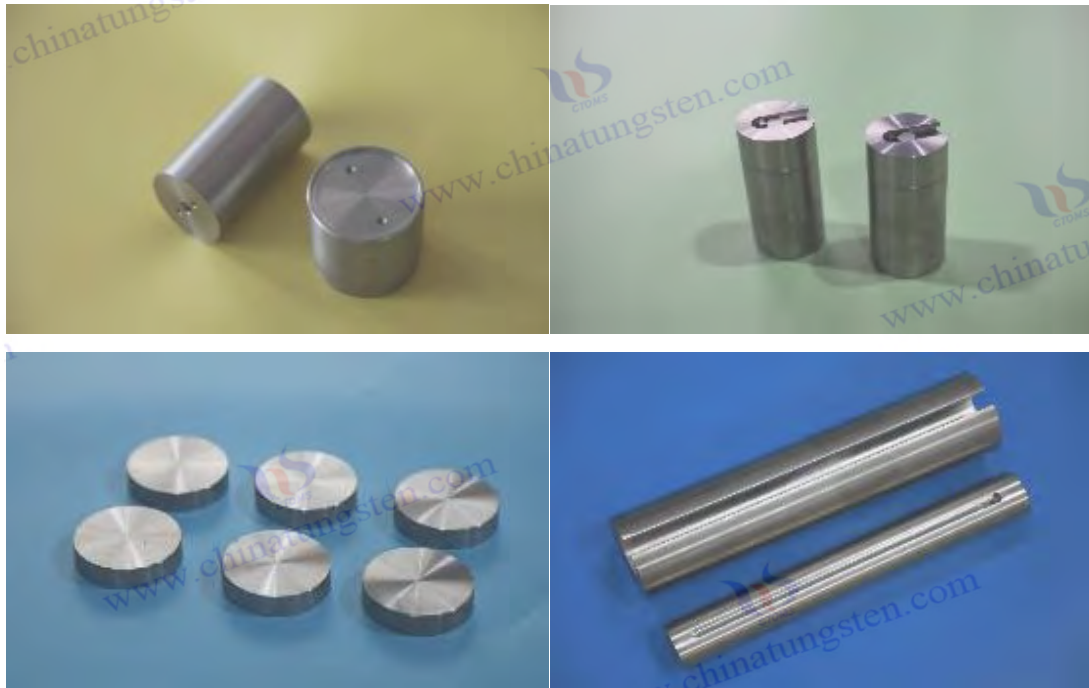
1 billion+ visits to the official website, 1 million+ web pages, 100,000+ customers, 0 complaints in 30 years!

Contact us

Email: sales@chinatungsten.com

Tel: +86 592 5129696

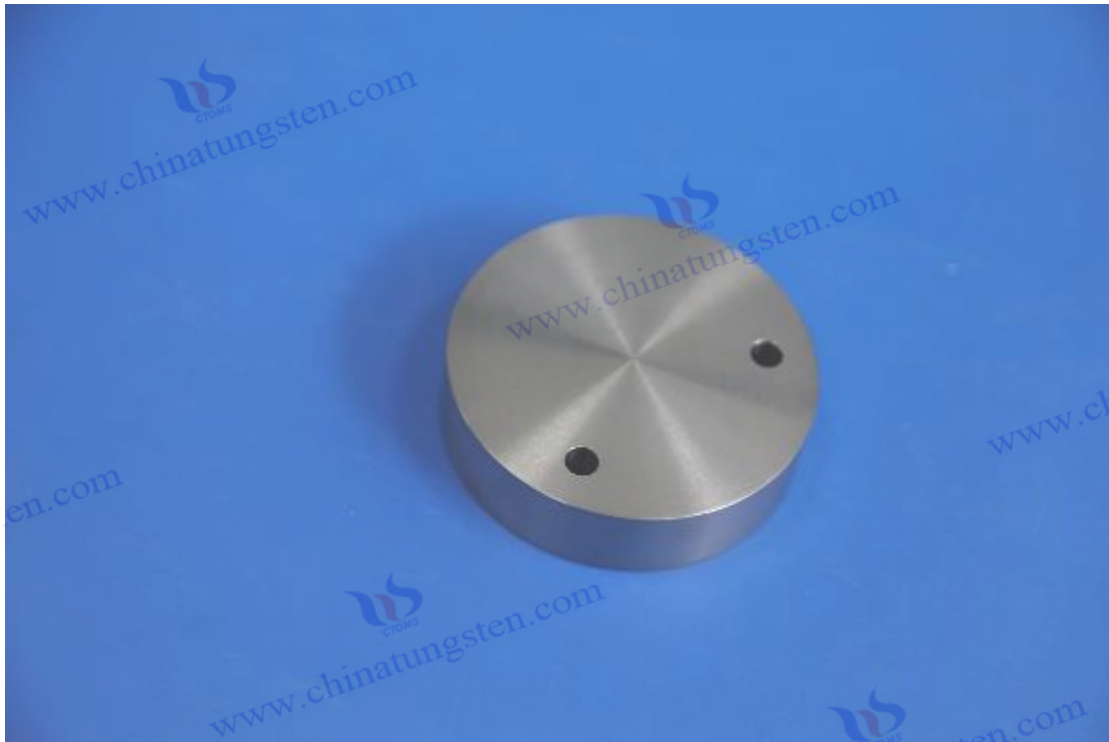
Official website: www.tungsten-alloy.com



COPYRIGHT AND LEGAL LIABILITY STATEMENT

Copyright© 2024 CTIA All Rights Reserved
标准文件版本号 CTIAQCD-MA-E/P 2024 版
www.ctia.com.cn

电话/TEL: 0086 592 512 9696
CTIAQCD-MA-E/P 2018-2024V
sales@chinatungsten.com



Kapitel 4 Bereiche der Abschirmteile aus Wolframlegierungen

4.1 Abschirmung aus Wolframlegierungen im medizinischen Bereich

Mit der rasanten Entwicklung der medizinischen Bildgebung, Strahlentherapie und Nuklearmedizin haben medizinische Strahlungsgeräte und Isotopenanwendungen zunehmend an Popularität gewonnen, was höhere Leistungsanforderungen an Strahlenschutzmaterialien mit sich bringt. Wolframlegierungen haben sich aufgrund ihrer extrem hohen Dichte ($17,0\text{--}18,5\text{ g/cm}^3$), ihrer hervorragenden Röntgen- und Gammastrahlenabsorption, ihrer guten Bearbeitbarkeit und Biokompatibilität als ideale Wahl für den Ersatz herkömmlicher Bleiabschirmmaterialien erwiesen. Insbesondere in modernen medizinischen Geräten, die hohe Abschirmeffizienz, Umweltschutz und Ungiftigkeit sowie präzise Strukturintegration erfordern, bieten Wolframlegierungen breite Anwendungsmöglichkeiten.

Abschirmung aus Wolframlegierungen im medizinischen Bereich unter drei Gesichtspunkten: CT-Geräte und Strahlentherapie, tragbare Schutzgeräte und Biosicherheitsstandards.

4.1.1 Abschirmung aus Wolframlegierungen in CT-Geräten und der Strahlentherapie

1. Anwendung in CT-Geräten:

Um die Strahlensicherheit von Patienten und Bedienern in Computertomographiegeräten (CT) zu gewährleisten, werden mehrere Abschirmkomponenten aus Wolframlegierungen im System installiert. Dazu gehören üblicherweise Abschirmrohre um den Zielbereich der Röntgenröhre,

COPYRIGHT AND LEGAL LIABILITY STATEMENT

Abschirmschichten für den rotierenden Arm und Schutzplatten für die Bildgebungskabine. Diese Wolframlegierungsteile blockieren durch ihre hohe Dichte Röntgenstreuung und -leakage und gewährleisten gleichzeitig dank ihrer guten Bearbeitbarkeit und Wärmeleitfähigkeit die strukturelle Stabilität und Wärmeableitung des Geräts im Dauerbetrieb.

2. Abschirmkomponenten in Strahlentherapiesystemen:

Moderne Strahlentherapiegeräte wie Linearbeschleuniger (LINAC), Gamma-Knife und Protonen-Knife nutzen häufig hochenergetische Röntgen- oder Teilchenstrahlen zur Bestrahlung von Krebsgewebe. Die Hauptaufgabe von Abschirmungen aus Wolframlegierungen besteht in der Bildung von Kollimatorlamellen, Strahlformern (MLC) und Strahlungsisolierungskomponenten. Insbesondere in der intensitätsmodulierten Strahlentherapie (IMRT) ermöglichen Mehrlamellenkollimatoren aus Wolframlegierungen eine dynamische Abschirmung im Millimeterbereich, die effektive Kontrolle der Strahlendosis und die Reduzierung von Gewebeschäden.

3. Vergleich der technischen Vorteile:

Im Vergleich zu herkömmlichen Bleiabschirmmaterialien weist Wolframlegierungen eine höhere Dichte und eine bessere strukturelle Stabilität auf. Ihre äquivalente Abschirmkapazität ist etwa 1,7-mal so hoch wie die von Blei. Wolfram oxidiert nicht leicht und ist ungiftig, was die Lebensdauer der Geräte und die Umweltverträglichkeit erhöht. Komplexe geometrische Komponenten können zudem durch CNC-Präzisionsbearbeitung oder Spritzguss realisiert werden, was den Leichtbau und die Modularisierung von CT- und Strahlentherapiegeräten technisch unterstützt.

4.1.2 Abschirmteile aus Wolframlegierungen in tragbaren Abschirmgeräten

1. Steigende Nachfrage in der Nuklearmedizin und nach portablen Diagnose- und Behandlungsgeräten:

Mit der zunehmenden Verbreitung von Radionuklidbildgebung (SPECT, PET) und radiologischen Untersuchungsgeräten am Krankenbett steigt die Nachfrage nach portabler Abschirmung in medizinischen Einrichtungen von Jahr zu Jahr. Tragbare Röntgengeräte, mobile CT-Geräte, Radionuklid-Injektionsgeräte und Strahlungsdetektoren vor Ort müssen beispielsweise mit leichten und effizienten Abschirmeinheiten ausgestattet sein, um den Anforderungen an Betriebssicherheit und flexible Anwendung gerecht zu werden.

2. Tragbare Abschirmprodukttypen aus Wolframlegierungen:

Wolframlegierungen können in den folgenden tragbaren Schutzgeräten häufig verwendet werden:

- **Schutzhülle für Nuklidspritzen** : Die aus einer Wolframlegierung gefertigte Spritzenhülle kann die Belastung der Hände des Bedieners durch Beta- und Gammastrahlen erheblich reduzieren.
- **Tragbarer Röntgenschutz** : geeignet für bildgebende Untersuchungen am Krankenbett, bietet sofortigen Schutz für medizinisches Personal;

COPYRIGHT AND LEGAL LIABILITY STATEMENT

- **Transportbehälter für radioaktive Quellen** : bietet einen kompakten und effizienten Schutzhohlraum für den Isotopentransport;
- **Tragbare Hochleistungsweste und Nackenschutz aus Wolframlegierung** : geeignet für lokales hochdichtes Schutzdesign für Personal in Sonderpositionen.

3. Vorteile der Miniaturisierung und Modularisierung:

Wolframlegierungen zeichnen sich unter hochdichten Materialien durch eine hervorragende Dichte und mechanische Festigkeit aus. Dadurch können tragbare Schutzausrüstungen kleiner und das Gewicht gleichmäßiger verteilt werden. Beispielsweise ist eine Strahlenschutzweste aus Wolframlegierung etwa 30 % leichter als eine Bleiweste mit gleichem Abschirmungsniveau, was den Tragekomfort und die Langzeitbelastbarkeit deutlich verbessert.

4.1.3 Biokompatibilität und Sicherheitsstandards von Abschirmungen aus Wolframlegierungen

Alle im medizinischen Bereich verwendeten Metallmaterialien müssen strenge Anforderungen hinsichtlich Biokompatibilität, Sicherheit und Einhaltung gesetzlicher Vorschriften erfüllen. Obwohl Wolframlegierungen hauptsächlich zu Abschirmzwecken eingesetzt werden und häufig in nicht implantiertem oder kurzzeitigem Kontakt stehen, müssen ihre Auswirkungen auf die Sicherheit des menschlichen Körpers und die Kompatibilität mit relevanten Materialvorschriften noch bewertet werden.

1. Biokompatibilitätsbewertung:

Studien haben gezeigt, dass Wolframlegierungen keine signifikanten toxischen Reaktionen auf Haut, Körperflüssigkeiten und Zellgewebe zeigen, ohne dass sie beschädigt oder oxidiert werden. Insbesondere nach Oberflächenbehandlungen wie Vernickeln, elektrophoretischer Beschichtung und Epoxidverpackung wird ihre biologische Inertheit weiter erhöht und ermöglicht den breiten Einsatz in Geräten mit direktem Kontakt, beispielsweise bei chirurgischen Eingriffen und nuklearmedizinischen Injektionen.

2. Zu den eingehaltenen internationalen Standards gehören:

- **ISO 10993** : Standardsystem zur biologischen Bewertung, das zur Bewertung der Langzeitwirkungen von Materialien für medizinische Geräte auf den menschlichen Körper verwendet wird. Wolframlegierungen müssen Tests auf Zytotoxizität, Hautreizung und Sensibilisierung bestehen.
- **RoHS (EU-Richtlinie zur Beschränkung der Verwendung gefährlicher Stoffe)** : Die Wolframlegierung selbst enthält keine schädlichen Elemente wie Blei und Cadmium und erfüllt die Umweltschutzstandards.
- **REACH-Zertifizierung** : eine umfassende Überprüfung der chemischen Inhaltsstoffe und der potenziellen Expositionsrisiken;

COPYRIGHT AND LEGAL LIABILITY STATEMENT

- **FDA-Registrierungsanforderungen** (für medizinische Komponenten, die auf den US-Markt exportiert werden): Materialzusammensetzung, Sicherheitstestberichte und anwendbare Verwendungsszenarien müssen eingereicht werden.

3. Sichere Verpackung und Anwendungsempfehlungen:

Um maximale Sicherheit zu gewährleisten, verwenden Abschirmteile aus Wolframlegierungen häufig eine doppelte Versiegelung, z. B. durch die Beschichtung der Metalloberfläche mit einem Polymerfilm oder einer Keramikbeschichtung. Scharfe Kanten und Bruchgefahr werden vermieden. Gleichzeitig wird empfohlen, medizinische Wolframprodukte regelmäßig auf ihre Integrität zu prüfen und Oberflächenbehandlungen durchzuführen, um Leistungseinbußen und strukturelle Verschlechterungen bei langfristiger Anwendung zu vermeiden.

Zusammenfassung

Wolframlegierungen im medizinischen Bereich überzeugen durch umfassende Vorteile hinsichtlich Strahlenschutz, struktureller Anpassungsfähigkeit und Biosicherheit. Ob in großen Bildgebungsgeräten, Strahlentherapiesystemen oder kleinen tragbaren Geräten und Schutzausrüstungen – Wolframlegierungen bieten effizientere, umweltfreundlichere und flexiblere Lösungen als Blei. Mit dem Trend hin zu intelligenten und miniaturisierten medizinischen Geräten werden Wolframlegierungen in Zukunft eine Schlüsselrolle in innovativen Anwendungen spielen und durch kontinuierliche Materialverbesserungen und Prozessoptimierungen die Entwicklung umweltfreundlicher, leistungsstarker medizinischer Schutzprodukte weiter vorantreiben.

4.2 Wolfram-Legierung Abschirmung Industrie

Im industriellen Bereich ist mit der kontinuierlichen Entwicklung von Hightech-Branchen wie der Kernenergieentwicklung, der zerstörungsfreien Prüfung und dem Betrieb in strahlungsintensiven Umgebungen der Bedarf an leistungsstarken Strahlenschutzmaterialien gestiegen. Als ultrahochdichtes Metallmaterial ist Wolframlegierung herkömmlichen Abschirmmaterialien aufgrund ihrer hervorragenden Abschirmeigenschaften gegen Gammastrahlen, Röntgenstrahlen und Neutronen in puncto Sicherheit, Haltbarkeit und Kompaktheit deutlich überlegen und hat sich zunehmend zum zentralen Schutzelement für verschiedene strahlungsintensive Anwendungen im industriellen Bereich entwickelt.

Abschirmung aus Wolframlegierungen in der Industrie unter drei Gesichtspunkten: Nuklearindustrie und Behandlung radioaktiver Abfälle, industrielle Bildgebungs- und Detektionsgeräte sowie Geräteschutz in Umgebungen mit hoher Strahlung.

4.2.1 Anwendung von Wolframlegierungsabschirmungen in der Nuklearindustrie und Abfallbehandlung

1. Strahlenschutzkomponenten für Kernreaktoren:

Wolframlegierungen werden häufig in Kernkraftwerken, Forschungsreaktoren und

COPYRIGHT AND LEGAL LIABILITY STATEMENT

Experimentalanlagen für schnelle Neutronen eingesetzt, um hochenergetische Gammastrahlen und bestimmte Neutronenstrahlungsarten abzuschirmen. Typische Anwendungskomponenten sind:

- Abschirmschicht zwischen Steuerstäben und Reflektor;
- Ummantelung einer Neutronenquelle oder einer Gammaquelle;
- Strukturelle Abschirmung um Detektoren und Kontrollsysteme.

Wolframlegierungen bieten auf begrenztem Raum eine Abschirmwirkung, die der von Blei entspricht oder diese sogar übertrifft. Dadurch werden Kerngeräte kompakter und die Systemintegration verbessert. Gleichzeitig sind ihre Korrosions- und Strahlungsbeständigkeit besser als bei herkömmlichen Metalllegierungen. Auch bei langfristig hohen Temperaturen und hoher Strahlung bleibt die Strukturstabilität erhalten.

2. Anwendung in der Entsorgung nuklearer Abfälle:

Wolframlegierungen können auch als Abschirmbehältermaterial bei der Zwischenlagerung und dem Transport hochradioaktiver Abfälle eingesetzt werden. Insbesondere bei der Verpackung und dem Transport kurzzeitig verwendeter Brennelemente oder medizinischer Nuklide können Abschirmbehälter oder Abschirmmodule aus Wolframlegierungen folgende Vorteile bieten:

- Unterdrückt wirksam das Austreten hochenergetischer Gammastrahlen;
- Deutliche Reduzierung des Containervolumens und Verbesserung der Transporteffizienz;
- Reduzieren Sie die Strahlendosis für Strahlenbediener.

Die Bearbeitbarkeit der Wolframlegierung ermöglicht außerdem die Gestaltung unterschiedlicher Dicken, Strukturen oder Geometrien der inneren Hohlräume nach Bedarf, wodurch die Verpackungsanforderungen für verschiedene Formen nuklearen Abfalls erfüllt werden.

3. Umweltvorteile durch den Ersatz von Bleimaterialien:

Traditionelle Abschirmungen in der Nuklearindustrie bestehen meist aus Blei. Bleimaterialien bergen jedoch bei Verarbeitung, Transport und Entsorgung erhebliche Umweltrisiken. Wolframlegierungen sind nicht nur ungiftig und recycelbar, sondern zeichnen sich auch durch eine lange Lebensdauer und hohe strukturelle Integrität aus. Sie erfüllen damit die Anforderungen der modernen Nuklearindustrie an saubere Produktion und nachhaltige Entwicklung.

4.2.2 Anwendung der Abschirmung aus Wolframlegierungen in der industriellen Bildgebung und Detektion

1. Schlüsselkomponenten in der zerstörungsfreien Röntgenprüfung:

In der Luft- und Raumfahrt, im Automobilbau, in der mechanischen Bearbeitung, bei Druckbehältern usw. nutzt die zerstörungsfreie Industrieprüfung (NDT) Röntgen- oder Gammastrahlen zur Abbildung und Analyse innerer Materialdefekte. Um die Strahlungsrichtung zu kontrollieren und Strahlungslecks zu vermeiden, die den Bediener und die Umgebung beeinträchtigen, wird häufig eine Abschirmung aus Wolframlegierungen eingesetzt:

- Abschirmung von Röntgenquellen und Rohren;
- Ein fester Behälter für die Gammaquelle;
- eine Strahlungsblende um den Bildempfänger;

COPYRIGHT AND LEGAL LIABILITY STATEMENT

- Abgeschirmtes Gehäuse an einem industriellen Inspektionsroboter.

Aufgrund ihrer präzisen Bearbeitbarkeit und hohen Dichte kann die Wolframlegierung für komplexe Strukturen wie Richtungsfenster und flexible Verbindungen verwendet werden und bietet eine hohe Auflösung und hohe Sicherheit für die industrielle Röntgenerkennung.

2. Anwendung in industriellen Echtzeit-Bildgebungssystemen:

Echtzeit-Röntgenbildgebungssysteme werden häufig bei der Verpackungsprüfung elektronischer Komponenten, der Lebensmittelsicherheitsprüfung, der Materialfehleranalyse usw. eingesetzt. Wolframlegierungen als Strahlenskollimator und Hintergrundabschirmmaterial im System können nicht nur die Rückstreuung verringern, sondern auch den Bildkontrast und die Empfindlichkeit verbessern und die Erkennungsgenauigkeit steigern.

3. Entwicklungstrend bei flexiblen Abschirmkomponenten:

Mit der Entwicklung der Automatisierung und intelligenten Fertigung stellen Industrieanlagen höhere Anforderungen an Strahlenschutzkomponenten, wie abnehmbare Abschirmmodule, flexible rotierende Abschirmarme usw. Wolframlegierungen können aufgrund ihrer hohen Verarbeitungsgenauigkeit zur Herstellung von Abschirmteilen mit präzise passenden Nuten, rotierenden Lagerlöchern und Kabeldurchgangslöchern verwendet werden, um die Betriebsanforderungen komplexer Geräte zu erfüllen.

4.2.3 Anwendung einer Abschirmung aus Wolframlegierungen in Umgebungen mit hoher Strahlung

1. Einsatz in Werkstätten und Laboren für radioaktive Operationen:

In der Hochenergiephysikforschung, in Kernbrennstoffaufbereitungsanlagen, in der Produktion radioaktiver Arzneimittel usw. können Arbeiter über längere Zeit mittel- bis hochintensiver Strahlung ausgesetzt sein. Abschirmungen aus Wolframlegierungen werden häufig verwendet für:

- Lokaler Schutz von Probenhandhabungsstationen;
- Zu öffnende Abschirmabdeckung für Strahlungsfenster;
- Interne abgeschirmte Box für Steuergeräte und elektrische Systeme.

Diese Wolframlegierungsteile können individuell in miniaturisierte eingebettete Strukturen integriert werden, wodurch nicht nur die Kompaktheit der Geräte gewährleistet wird, sondern auch die Strahlensicherheit bei komplexen Betriebsabläufen gewährleistet wird.

2. Fernsteuerungssystem und Roboterschutz:

Bei Einsätzen in Bereichen mit hoher Strahlung werden Abschirmkomponenten aus Wolframlegierungen häufig auch in ferngesteuerten Roboterarmen, Detektionsrobotern oder unbemannten Inspektionsgeräten eingesetzt, um den Strahlenschutz für Kernschaltungen, Sensoren und Aktoren zu gewährleisten. Zum Beispiel:

- Abschirmhülse: dient zum Schutz von Infrarot- oder Kameraobjektiven;
- Drehgelenk mit Schutzabdeckung: wird für Roboterarme mit hohem Freiheitsgrad verwendet;

COPYRIGHT AND LEGAL LIABILITY STATEMENT

- Klappbarer Schutzschild: Wird für Arbeiten in der Nähe von hochaktiven Quellen verwendet.

Wolframlegierungen verfügen über gute mechanische Eigenschaften und bieten gleichzeitig eine Abschirmfunktion, sodass diese hochfunktionalen Geräte stoß- und strahlungsbeständig sind und auch bei längerem Betrieb nicht beschädigt werden können.

3. Testplattform und Simulationsgerät für hohe Strahlungsverhältnisse:

Vor der Entwicklung von Kernkraftsystemen, Strahlenschutzgeräten für die Luft- und Raumfahrt oder Geräten zur Tiefenerkundung ist häufig die Einrichtung einer Strahlungssimulationsplattform zur Verifizierung erforderlich. Abschirmmodule aus Wolframlegierungen können flexibel angeordnet werden, um Simulationskabinen, Testkanäle, Abschirmwände und andere Strukturen zu bauen. So können Forscher die Strahlungsbeständigkeit des Produkts in einer kontrollierten Umgebung überprüfen und das Design optimieren.

Zusammenfassung

Abschirmteile aus Wolframlegierungen haben im industriellen Bereich eine hohe funktionale Anpassungsfähigkeit und einen hohen Sicherheitswert bewiesen. Von der Hochenergieabschirmung von Kernenergiesystemen bis hin zur hochauflösenden industriellen Detektion, von Atommüll-Transportbehältern bis hin zum Strahlenschutz ferngesteuerter Geräte – Wolframlegierungen bieten mit ihrer hervorragenden Dichte, ihren mechanischen Eigenschaften und ihren Umweltvorteilen eine kompakte, stabile und langlebige Lösung für industrielle Hochstrahlungsszenarien.

Mit der Weiterentwicklung umweltfreundlicher Fertigung, hoher Zuverlässigkeit und präziser Integration wird die Abschirmung aus Wolframlegierungen in Schlüsselbereichen der zukünftigen Industrie eine immer größere Rolle spielen. Die Integration mit künstlicher Intelligenz, Fernsteuerung und digitaler Fertigung wird zudem sicherere, effizientere und intelligenter Betriebsgarantien für strahlungsintensive Industrieumgebungen bieten.

4.3 Abschirmteile aus Wolframlegierungen in der Luft- und Raumfahrt

Die Luft- und Raumfahrt ist ein strategischer Schwerpunkt für die Anwendung von Wolframlegierungen als Abschirmmaterial. Ihre einzigartige hohe Dichte, ihr hoher Schmelzpunkt, ihre hervorragende Strahlenschutzwirkung und ihre thermische Stabilität machen sie zu einem wichtigen Werkstoff in Schlüsselbereichen wie der bemannten Raumfahrt, der Weltraumforschung, dem Schutz elektronischer Satellitenausrüstung und der Isolierung von Antriebssystemen. Insbesondere extremen Herausforderungen wie kosmischer Strahlung, hochenergetischen Teilchenstürmen, extrem hohen aerodynamischen Temperaturen und Mikrogravitation können herkömmliche Metalle oft nicht standhalten. Wolframlegierungen haben sich aufgrund ihrer umfassenden Leistungsfähigkeit zu einem der bevorzugten Werkstoffe entwickelt.

4.3.1 Anwendung von Abschirmungen aus Wolframlegierungen in der Weltraumforschung und beim Satellitenschutz

COPYRIGHT AND LEGAL LIABILITY STATEMENT

1. Abschirmung vor kosmischer Strahlung und solarer energiereicher Teilchenstrahlung:

Raumfahrzeuge in niedrigen Erdumlaufbahnen (LEO), mittleren Erdumlaufbahnen (MEO) und im Weltraum sind über lange Zeit kosmischer Strahlung (GCR) und solarer energiereicher Teilchen (SEP) ausgesetzt. Diese hochenergetischen Teilchen stellen eine erhebliche Gefahr für elektronische Geräte, Sensorsysteme und sogar die Gesundheit von Astronauten in der Luft- und Raumfahrt dar. Aufgrund ihrer hohen Ordnungszahl und Dichte blockiert Wolframlegierungen hervorragend Gammastrahlen, Elektronenflüsse und einige Neutronenstrahlen. Dadurch kann der Teilchenfluss effektiv abgeschwächt, Single Event Upset (SEU) und Strahlenschäden an Material reduziert werden.

2. Lokale Schutzstruktur der elektronischen Satellitenausrüstung:

In hochzuverlässigen Satelliten, beispielsweise für Kommunikation, Navigation und Fernerkundung, wird Wolframlegierung als Schutzschild für die folgenden Schlüsselkomponenten verwendet:

- Abschirmung für präzise optische Detektionskomponenten;
- Strahlungsbarrieren für Energiemanagementsysteme;
- Gammastrahlen- und Neutronenabschirmung für Radionuklid-Stromversorgungssysteme (wie RTG);
- Umweltisoliertes Gehäuse für Mikrowellenkomponenten und rauscharme Verstärker.

Insbesondere in Weltraumsonden zur Kernenergiegewinnung (wie Voyager, Curiosity usw.) kann Wolframlegierung als wirksames Abschirmmaterial zwischen radioaktiven Wärmequellen und anderen Systemen verwendet werden, um einen langfristigen und stabilen Betrieb des Systems zu gewährleisten.

3. Leichtbauweise für Kleinsatelliten und Elektronikmodule für die Luft- und Raumfahrt:

Moderne CubeSat-, NanoSat- und andere Mikro-Raumfahrzeuge stellen höchste Ansprüche an die Gewichtskontrolle. Abschirmteile aus Wolframlegierungen bieten mit ihrer hohen Abschirmkapazität pro Volumeneinheit eine höhere Schutzwirkung auf kleinerem Raum und sorgen so für strukturelle Optimierung und Strahlenschutz für Kleinsatelliten mit integrierten wichtigen elektronischen Geräten.

4.3.2 Anwendung von Wolframlegierungsabschirmungen in der Wärmedämmung von Raketen und Raumfahrzeugen

1. Stanzisolierung und aerodynamischer thermischer Umgebungsschutz:

Beim Wiedereintritt eines Raumfahrzeugs in die Atmosphäre kann die Oberflächentemperatur über 2000 °C erreichen. Das Wärmeschutzsystem (TPS) muss daher eine extrem hohe Ablationsbeständigkeit und Wärmebeständigkeit aufweisen. Wolframlegierungen haben einen Schmelzpunkt von bis zu 3422 °C, eine hohe Wärmeleitfähigkeit und einen niedrigen Wärmeausdehnungskoeffizienten und eignen sich daher ideal als Schutzmaterial für lokal stark belastete Bereiche. Typische Anwendungen sind:

- Hochtemperaturabschirmung der Raketendüsenmündung und der Düsenkante;

COPYRIGHT AND LEGAL LIABILITY STATEMENT

- Der Stützrahmen oder hintere Wärmereflektor der Hitzeschildstruktur;
- Das Heckflammenschutzmodul im Antriebssystem;
- Die mittlere Schicht in der Wärmeschutzhierarchie eines wiederverwendbaren Fahrzeugs.

Bei den aerodynamischen Heiẗtests von kontrolliert zurückkehrenden Raumfahrzeugen (wie etwa der Bergungsstufe Falcon 9 von SpaceX) und Raumflugzeugen werden Wolframlegierungskomponenten durch mehrschichtige Verbundwerkstoffe mit keramikbasierten Materialien kombiniert, um die allgemeine Wärmeschockbeständigkeit und strukturelle Stabilität zu verbessern.

2. Abschirm- und Wärmedämmstrukturen in Antriebssystemen:

Flüssigraketenriebwerke, Ionenriebwerke, nuklearthermische Antriebe (NTP) und andere Systeme erzeugen im Betrieb Hochtemperaturplasma und Strahlungswärme, die umgebende Strukturen und Kraftstoffversorgungssysteme beeinträchtigen. Abschirmringe, Wirbelabdeckungen und Wärmeabscheider aus Wolframlegierungen können:

- Teilweise Abschirmung des Infrarot-Wärmeflusses;
- Verhindern Sie thermische Ausdehnung und Ausfälle im Kraftstoffsystem.
- Kontrollieren Sie die thermische Lastverteilung des Antriebssystems und verlängern Sie seine Lebensdauer.

Wolframlegierungen eignen sich auch als Anoden- und Ionenführungskanalmaterialien für zukünftige Hochleistungs-Elektroantriebssysteme. In Kombination mit ihrer hervorragenden elektrothermischen Stabilität können sie die Systemeffizienz und -sicherheit weiter verbessern.

4.3.3 Leistungsüberprüfung der Abschirmung aus Wolframlegierungen in Mikrogravitationsumgebungen

1. Veränderungen des Materialverhaltens und Überprüfung der Anpassungsfähigkeit unter Mikrogravitation:

In einer Mikrogravitationsumgebung können sich die Wärmeleitfähigkeit, der Grenzflächenkontakt, das Schweißverhalten und der Ermüdungsrissoausbreitungsverlauf des Materials ändern. Wolframlegierungen sind relativ spröde und müssen auf ihre mechanische und thermische Stabilität unter Mikrogravitation geprüft werden, bevor sie in Schlüsselkomponenten verwendet werden können. Derzeit haben die Internationale Raumstation (ISS) und die Space Materials Experiment Platform mehrere Runden mit Wolframlegierungsproben unter Mikrogravitation durchgeführt:

- Messung der thermischen Ausdehnung und Kontraktion;
- Analyse der Stabilität der Materialmikrostruktur;
- Prüfung der Rissbeständigkeit nach dem Einschlag von Weltraumpartikeln;
- Spannungsreaktionsverhalten unter mehrzyklischen Thermoschock- und plötzlichen Temperaturänderungsbedingungen.

Die Ergebnisse zeigen, dass Wolframlegierungen nach der Optimierung des Legierungsverhältnisses (z. B. W-Ni-Fe- oder W-Re-System) und der Verdichtungsverarbeitung (z. B. heißisostatisches Pressen) eine gute thermisch-mechanische Kopplungsstabilität und Schlagfestigkeit in einer Mikrogravitationsumgebung beibehalten können.

COPYRIGHT AND LEGAL LIABILITY STATEMENT

2. Strukturintegrationstest von Raumanzügen und Ladegeräten: Kleine

Abschirmteile aus Wolframlegierungen, die für die Trageausrüstung der Raumanzüge und die Schutzvorrichtungen des Kabinenpersonals verwendet werden, werden in der Raumstation ebenfalls funktionalen Integrations- und Ergonomietests unterzogen. Zu ihren Funktionen gehören:

- Widerstehen Sie Strahlungslecks in der Kabine;
- Schützen Sie Brust oder Gehirn vor kurzfristiger Einwirkung hochenergetischer Partikel.
- Integriert in Materialtransportverpackungen als Komponente mit Doppelfunktion (Struktur + Schutz).

3. Forschung zur Abschirmung für langfristige bemannte Weltraummissionen:

NASA, ESA und das chinesische Raumstationsprojekt untersuchen die Anordnung von Abschirmblechen und -modulen aus Wolframlegierungen in der Kabine während bemannter Weltraumflüge, um bei einem Sonnenpartikelereignis (SPE) einen temporären Schutz (Sturmschutz) zu schaffen. Die lokal eingebetteten Installationseigenschaften der Wolframlegierung eignen sich für die Vorinstallation am Boden oder die schnelle Montage im Orbit, um eine einsatzfähige Schutzstruktur zum Schutz des Lebens der Astronauten zu schaffen.

Zusammenfassung

Abschirmkomponenten aus Wolframlegierungen haben ihren unersetzlichen strategischen Wert in der Luft- und Raumfahrt bewiesen. Unter extremen Bedingungen wie starker Strahlung, extrem hohen Temperaturen, präziser Struktur und ungewöhnlicher Schwerkraft bietet Wolframlegierung nicht nur eine hervorragende Abschirmleistung, sondern wird aufgrund ihrer thermischen Stabilität, mechanischen Festigkeit und Materialbearbeitbarkeit auch zu einem unverzichtbaren Schlüsselmaterial für Raketen, Satelliten, Raumfahrzeuge und Weltraummissionen.

Mit der Weiterentwicklung der Technologien in den Bereichen bemannte Weltraumerkundung, nuklearer Weltraumantrieb und Hochgeschwindigkeits-Wiedereintritt wird die Abschirmung aus Wolframlegierungen auch in Zukunft eine Schlüsselrolle in komplexeren und veränderlichen Anwendungsszenarien spielen. Verbundwerkstoffe, geringes Gewicht und Funktionsintegration werden auch in der Materialwissenschaft und der Luft- und Raumfahrttechnik wichtige Forschungsschwerpunkte sein.

Weitere neue Bereiche der Wolframlegierungsabschirmung

Mit der kontinuierlichen Erweiterung neuer Anwendungen, die von verschiedenen Faktoren wie wissenschaftlicher Forschung, nationaler Sicherheit und nachhaltiger Entwicklung vorangetrieben werden, erweitern Abschirmteile aus Wolframlegierungen ihre Einsatzmöglichkeiten von gängigen Anwendungsszenarien wie der traditionellen Medizin, Industrie und Luft- und Raumfahrt hin zu hochmodernen Bereichen wie der Teilchenphysikforschung, hochintensivem militärischem Schutz und grüner Umweltschutztechnologie. Dank ihrer hohen Dichte, hohen Ordnungszahl, hervorragenden Strahlungsbeständigkeit und thermischen Stabilität erfüllen sie auch in extrem

COPYRIGHT AND LEGAL LIABILITY STATEMENT

komplexen Umgebungen eine zuverlässige Abschirmfunktion und werden zu einem wichtigen Materialträger für zukünftige multidisziplinäre Anwendungen.

4.4.1 Anwendung der Abschirmung aus Wolframlegierungen in Teilchenphysik-Experimenten

1. Abschirmstrukturen für Hochenergiebeschleuniger und Detektionssysteme:

In großen Experimentalanlagen der Teilchenphysik, wie dem Large Hadron Collider (LHC) der Europäischen Organisation für Kernforschung (CERN), der Hochenergie-Synchrotronstrahlungsanlage (HEPS) in China und dem Internationalen Thermonuklearen Experimentalreaktor (ITER), erzeugen die Experimentalanlagen hohe Ströme von Gammastrahlen, Neutronen und Sekundärteilchen. Diese Strahlung stört nicht nur die experimentellen Messungen, sondern gefährdet auch Forscher und Kontrollsysteme.

Abschirmungen aus Wolframlegierungen werden häufig in folgenden Bereichen eingesetzt:

- **Strahlwurf** : absorbiert Hochgeschwindigkeits-Partikelströme mit Energien von bis zu Hunderten von GeV.
- **Abschirmhohlraum um Partikeldetektoren** : wie z. B. die Gammastrahlenunterdrückungshülse von Flüssig-Xenon-Dektoren;
- **Neutronenpuffer und Artefaktschilde für Neutronenerzeugungsgeräte** ;
- **Struktur zur Unterdrückung von Interferenzen zwischen starkem Laser und Strahlung in einem Laserplasmabeschleuniger** .

Aufgrund des hohen Z-Werts von Wolfram (74) ist seine Blockierungseffizienz für hochenergetische Gammastrahlen deutlich höher als die von Kupfer und Stahl. Zudem ist seine Struktur stabil und schmilzt nicht so leicht. Es ist ein unverzichtbares Schlüsselmaterial für den Aufbau einer experimentellen Plattform für die Hochenergiephysik.

2. Abschirmung gegen extrem niedrige Hintergrundstrahlung für Experimente zur Erkennung dunkler Materie und Neutrinos:

Wolframlegierungen werden auch in Experimenten in Umgebungen mit extrem niedriger Hintergrundstrahlung verwendet, wie zum Beispiel:

- Projekte zur Erkennung dunkler Materie (wie XENONnT und LUX-ZEPLIN);
- Experimente zur Neutrino-Massenmessung (wie KATRIN);
- Präzisionsmessungsexperiment des Neutronenzerfalls und des β -Zerfalls.

Diese Experimente werden oft tief unter der Erde durchgeführt, um extrem schwache Signale zu erfassen. Daher ist der Radioaktivitätsgehalt der umgebenden Abschirmmaterialien extrem hoch. Durch die Verwendung einer **Wolframlegierung mit geringer Hintergrundstrahlung** (d. h. aus hochreinen Rohstoffen mit extrem geringer radioaktiver Kontamination) kann eine wirksame Schutzschicht aufgebaut werden, die natürliche Hintergrundstrahlung und Störungen durch kosmische Strahlung wirksam unterdrückt.

4.4.2 Anwendung der Abschirmung aus Wolframlegierungen im Bereich der Landesverteidigung und des Sicherheitsschutzes

COPYRIGHT AND LEGAL LIABILITY STATEMENT

1. Schutzstrukturen für nuklearwaffenbezogene Geräte:

Wolframlegierungen werden in der Rüstungsindustrie häufig eingesetzt, insbesondere zum kontrollierten Schutz von Atomwaffen, zur Analyse unterirdischer Atomtestdaten und zum Bau von Strahlenschutzsystemen. Die Abschirmung mit Wolframlegierungen bietet folgende Vorteile:

- **Es absorbiert Gammastrahlen und Neutronen mit hoher Effizienz** und kann zur Abschirmung von Sprengköpfen und als Testkomponente für geschlossene Kernwaffen verwendet werden.
- **Starke Schlagfestigkeit**, kann Explosionen oder Stößen standhalten und dennoch die Integrität bewahren;
- **Wird in Geräten zur Kritikalitätssicherheit verwendet**, beispielsweise in Gehäusen zur Abschirmung von Plutonium- oder Uranreflektoren.

2. Verwendung in militärischen Detektionsgeräten sowie in nuklearen, biologischen und chemischen Schutzgeräten:

In der elektronischen Kriegsführung, der nuklearen Detektion und dem Notfallschutz können Komponenten aus Wolframlegierungen verwendet werden für:

- Abschirmung elektronischer Module für unbemannte Plattformen zur Erkennung nuklearer Strahlung;
- Interne strukturelle Abschirmung von Schutzhelmen und tragbaren Nukleardetektoren;
- Strahlenschutz optischer Pfade und empfindlicher Komponenten in Laserwaffensystemen.

Beispielsweise werden bei einigen **tragbaren Strahlenschutzwesten des Militärs** Gewichtsmodule aus Wolframlegierungen anstelle herkömmlicher Bleiplatten verwendet, wobei sowohl die Abschirmeffizienz als auch der Tragekomfort berücksichtigt werden.

3. Anwendungserkundung im Bereich Terrorismusbekämpfung und Explosionsschutz:

Angesichts der steigenden Nachfrage nach städtischer Sicherheit und der Prävention und Kontrolle von Terroranschlägen werden Wolframlegierungsmaterialien auch für Anwendungen in folgenden Bereichen erforscht:

- Explosionsgeschützte Wand und Isolationskammer für radioaktives Material;
- Mobiles Gerät zum Auffangen radioaktiver Quellen;
- Notfall-Entsorgungsbox für radioaktive Stoffe (wird für das Notfallmanagement in Flughäfen, U-Bahnen und öffentlichen Plätzen verwendet).

Seine hochgradig anpassbare Struktur sowie seine Stoßfestigkeit und Korrosionsbeständigkeit machen es für Szenarien mit schneller Reaktion praktisch.

4.4.3 Potenzial der Wolframlegierungsabschirmung in der Umweltschutztechnik

1. Überwachung und Kontrolle der Umweltstrahlung:

In Umweltüberwachungssystemen, insbesondere in Gebieten mit nuklearen Unfällen, stillgelegten Nuklearanlagen, der Verwaltung von Uranminen, Lagerstätten für radioaktive Abfälle und anderen Szenarien, ist es notwendig, die Gamma- und Neutronenstrahlung in der Umgebung genau zu

COPYRIGHT AND LEGAL LIABILITY STATEMENT

überwachen und physikalische Barrieren zu errichten. Abschirmungen aus Wolframlegierungen können verwendet werden für:

- Strahlungssondenschutz für lokale Umweltüberwachungsstationen;
- Modulare Abschirmung für Lagerhallen zur Lagerung nuklearer Abfälle;
- Struktur der γ -Quellenbarriere im Sickerwasser von Uranrückständen.

Im Vergleich zu herkömmlichen Materialien wie Stahl und Blei weist es nicht nur eine höhere Abschirmwirkung auf, sondern verringert auch das Risiko einer Sekundärverschmutzung.

2. Umweltfreundlicher Trend zum Bleiersatz:

Da weltweit die Umweltvorschriften zur Bleibelastung immer strenger werden (z. B. EU-RoHS, REACH, US-EPA-Vorschriften usw.), ist Wolframlegierung aufgrund ihrer Vorteile wie Ungiftigkeit, Recyclingfähigkeit und kontrollierbarem Schmelzverfahren zu einer wichtigen Richtung für **umweltfreundliche Alternativmaterialien geworden**. In einigen Ländern wurde sie in das System umweltfreundlicher Strahlungsmaterialien aufgenommen, beispielsweise:

- Grüne Röntgen-Erkennungsausrüstung (Abschirmung aus Wolframlegierung statt Bleihülle);
- Umweltfreundliche Transportbehälter für nuklearmedizinische Abfälle;
- Wiederverwendbares Abschirmverpackungsmodul aus Wolframlegierung.

3. Gemeinsame Anwendung mit erneuerbaren Energiesystemen:

Bei der Entwicklung von Kernfusionsreaktoren (z. B. Tokamak) und modernen Kernspaltungsreaktoren werden Wolframlegierungen nicht nur als Abschirmung, sondern auch als **Plasma-Vorwandmaterial**, Neutronenbremsschichten usw. eingesetzt und sind eng mit sauberen Energietechnologien verknüpft. Im ITER-Projekt wird Wolfram beispielsweise in Schlüsselbereichen eingesetzt, um hochenergetischen Neutroneneinschlägen standzuhalten, und dient zudem als Abschirmung und als strukturelles Verbundwerkstoff-Funktionselement.

Zusammenfassung

Abschirmteile aus Wolframlegierungen erobern zunehmend traditionelle Anwendungsgebiete und bieten breite Entwicklungsperspektiven in aufstrebenden Bereichen wie Teilchenphysik, Landesverteidigung und Umweltschutz. Ihre einzigartige hohe Dichte, hohe Abschirmwirkung, gute mechanische Stabilität und umweltfreundlichen Eigenschaften machen sie zu einer wichtigen Materialplattform für zukünftige multidisziplinäre Technologien.

Mit der Weiterentwicklung der Materialreinigung, der umweltfreundlichen Fertigung und der maßgeschneiderten Formtechnologie werden Wolframlegierungen in der Hochenergiephysik, in extremen militärischen Umgebungen, bei der Prävention und Kontrolle radioaktiver Verschmutzung sowie in neuen Energiesystemen eine immer wichtigere Rolle spielen. Die nachhaltige Entwicklung der Abschirmung aus Wolframlegierungen wird zudem mit dem wissenschaftlichen und technologischen Fortschritt, der Gewährleistung von Sicherheit und den Zielen des Umweltschutzes einhergehen und so vielfältigere und komplexere Anwendungsbereiche eröffnen.

COPYRIGHT AND LEGAL LIABILITY STATEMENT


www.chinatungsten.com


www.chinatungsten.com

en.com

www.ch


www.chinatungsten.com


www.chinatungsten.com


www.chinatungsten.com


www.chinatungsten.com

1


www.chinatun


www.chinatungsten.com


www.chinatungsten.com

COPYRIGHT AND LEGAL LIABILITY STATEMENT

Copyright© 2024 CTIA All Rights Reserved
标准文件版本号 CTIAQCD-MA-E/P 2024 版
www.ctia.com.cn

电话/TEL: 0086 592 512 9696
CTIAQCD-MA-E/P 2018-2024V
sales@chinatungsten.com

CTIA GROUP LTD

High-Density Tungsten Alloy Customization Service

CTIA GROUP LTD, a customization expert in high-density tungsten alloy design and production with 30 years of experience.

Core advantages: 30 years of experience: deeply familiar with tungsten alloy production, mature technology.

Precision customization: support high density (17-19 g/cm³), special performance, complex structure, super large and very small parts design and production.

Quality cost: optimized design, optimal mold and processing mode, excellent cost performance.

Advanced capabilities: advanced production equipment, RMI, ISO 9001 certification.

100,000+ customers

Widely involved, covering aerospace, military industry, medical equipment, energy industry, sports and entertainment and other fields.

Service commitment

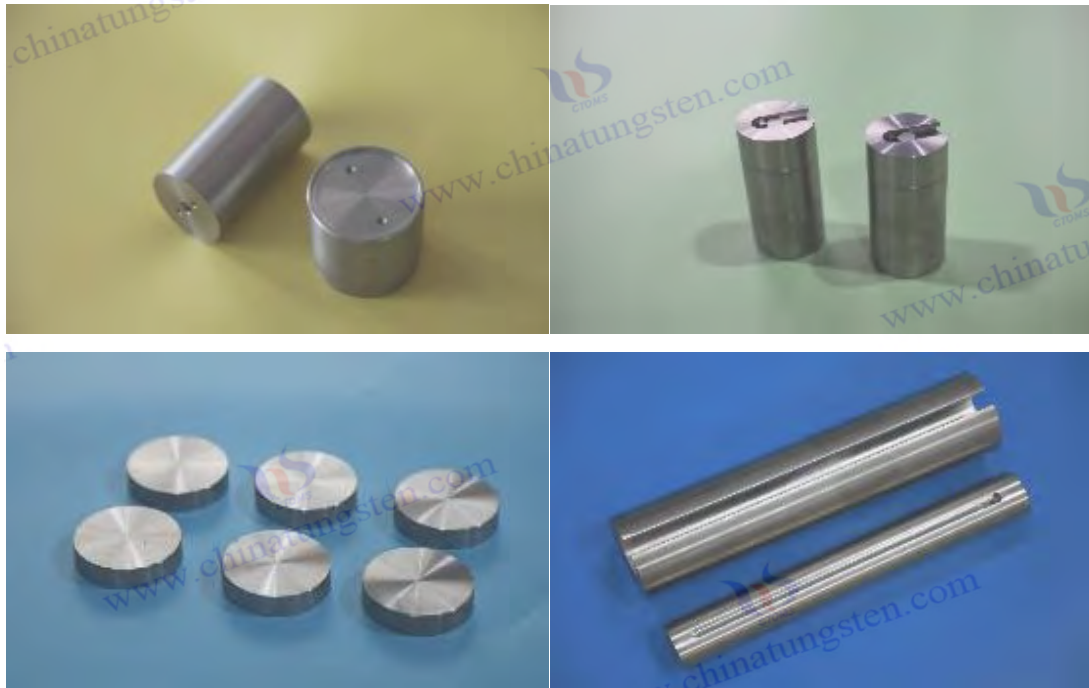
1 billion+ visits to the official website, 1 million+ web pages, 100,000+ customers, 0 complaints in 30 years!

Contact us

Email: sales@chinatungsten.com

Tel: +86 592 5129696

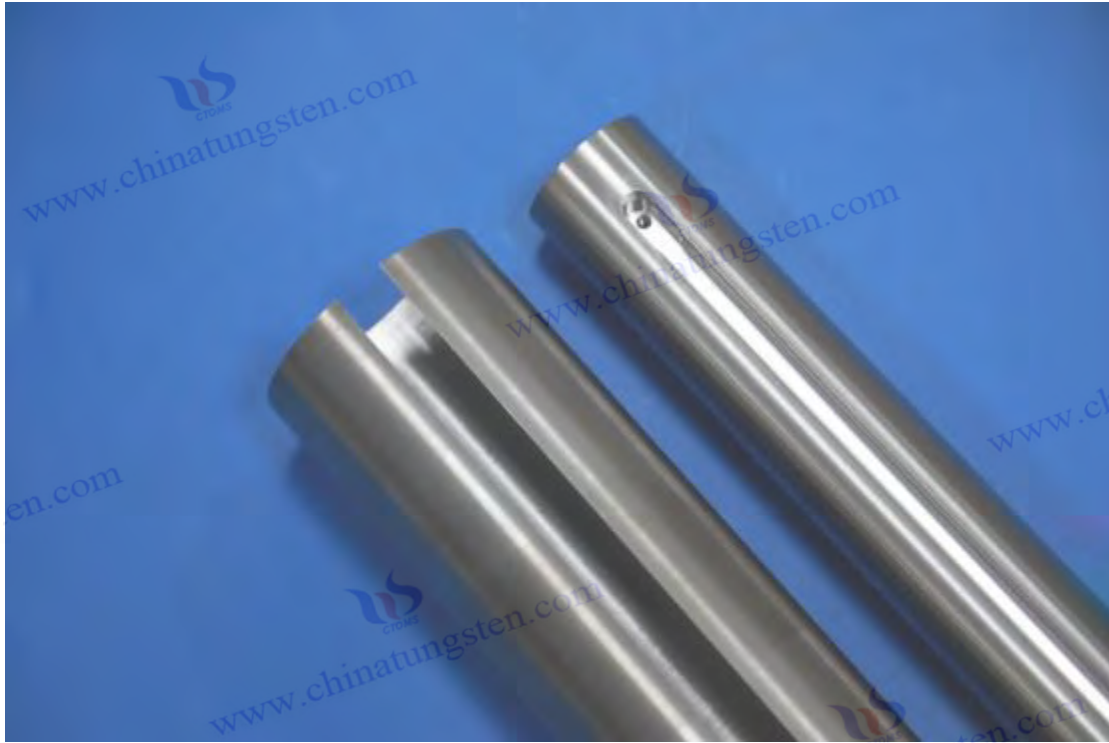
Official website: www.tungsten-alloy.com



COPYRIGHT AND LEGAL LIABILITY STATEMENT

Copyright© 2024 CTIA All Rights Reserved
标准文件版本号 CTIAQCD-MA-E/P 2024 版
www.ctia.com.cn

电话/TEL: 0086 592 512 9696
CTIAQCD-MA-E/P 2018-2024V
sales@chinatungsten.com



Kapitel 5 Herausforderungen und Lösungen der Wolframlegierungsabschirmung

5.1 Kosten und Lieferkettenmanagement für Abschirmteile aus Wolframlegierungen

Da Wolframlegierungen in der Medizin, Industrie, Luft- und Raumfahrt sowie der Landesverteidigung weit verbreitet sind, ist die Frage, wie sich kontrollierbare Herstellungskosten und ein stabiles Versorgungssystem bei gleichzeitig hoher Leistung erreichen lassen, zu einem zentralen Anliegen von Materialherstellern und Endkunden geworden. Da Wolframmetall selbst eine seltene Ressource ist, sind die Schmelz- und Legierungsherstellungskosten relativ hoch und die Anforderungen an die Verarbeitungstechnologie streng. Daher ist eine systematische Kostenkontrolle und Optimierung der Rohstoffbeschaffung, der Lieferkettengestaltung, der Chargenfertigung und anderer Prozesse erforderlich.

5.1.1 Optimierung der Rohstoffkosten für Abschirmteile aus Wolframlegierungen

1. Kostenstruktur der Wolfram-Rohstoffe

In der Kostenstruktur von Abschirmteilen aus Wolframlegierungen machen die Rohstoffe etwa 60 bis 70 % der Gesamtkosten aus. Zu den wichtigsten Rohstoffen gehören:

- Wolframpulver (W): Der Preis für hochreines Wolframpulver bestimmt direkt die endgültigen Kosten der Legierung und schwankt aufgrund des Wolframabbaus, der internationalen Marktbedingungen und der Politik stark.

COPYRIGHT AND LEGAL LIABILITY STATEMENT

- Legierungselemente: Häufig zugesetzte Elemente sind Ni, Fe, Cu, Re, La usw. Unterschiedliche Verhältnisse und Reinheitsanforderungen wirken sich auf den Preis der Rohstoffe aus.
- Reinigungs- und Siebverarbeitung: Wolframpulver muss normalerweise Schritte wie Reduzierung, Granulierung, Sortierung und Trocknung durchlaufen, was die Stückkosten des Materials erhöht.

2. Optimierungsstrategie

1. **Durch die Verwendung von Sekundärressourcen und recyceltem Wolframpulver wird recycelter Wolframabfall (wie etwa Wolframdrahtabfall, Wolframelektroden und alte Abschirmteile) genutzt**, um durch Hydrometallurgie oder Oxidations-Reduktions-Verfahren hochreines recyceltes Wolframpulver zu produzieren, wodurch nicht nur die Rohstoffkosten um 10–20 % gesenkt werden können, sondern auch dem Trend zum Umweltschutz und zur nachhaltigen Herstellung entsprochen wird.
2. **Optimieren Sie das Legierungsverhältnis**
unter Berücksichtigung der Anforderungen an Abschirmleistung und mechanische Festigkeit und ersetzen Sie einige teure Elemente durch Prozessüberprüfung. Zum Beispiel:
 - Ersetzen Sie das Ni-Cu-System durch Ni-Fe;
 - Kontrollieren Sie die hinzugefügte Re-Menge präzise, um die Kosten für Hochtemperaturmaterialien zu senken.
 - Verwenden Sie partikelverstärkte Strukturdesigns, um einige teure Elemente zu ersetzen.
3. **Bei der Rohstoffbeschaffungsstrategie mit mehreren Spezifikationen**
werden Rohstoffe in unterschiedlichen Qualitäten entsprechend der verschiedenen Arten von Abschirmteilen (wie z. B. medizinische, Luft- und Raumfahrt- und Industrieabschirmungen) gekauft, zum Beispiel:
 - Für die medizinische Verwendung ist hochreines Wolframpulver ($\geq 99,95\%$) erforderlich.
 - Für den industriellen Einsatz kann eine kleine Menge handelsübliches Wolframpulver mit einem etwas höheren Sauerstoffgehalt verwendet werden, um den Preis pro Gramm zu kontrollieren.
4. **Gemeinsame Beschaffungs- und langfristige Vereinbarungsmechanismen sowie**
der Abschluss langfristiger Lieferverträge mit vorgelagerten Unternehmen der Pulvermetallurgie oder Bergbauunternehmen können dazu beitragen, das Risiko von Rohstoffpreisschwankungen zu begrenzen und die Verhandlungsposition zu verbessern.

5.1.2 Strategie zur Diversifizierung der Lieferkette für Abschirmteile aus Wolframlegierungen

1. Analyse der Schwachstellen in der Lieferkette

Die Wolframvorkommen sind hoch konzentriert. China, Russland, Bolivien und andere Länder produzieren über 70 % der weltweiten Wolframkonzentratproduktion. Darüber hinaus haben einige Länder Exportkontrollen, Quotenbeschränkungen oder strategische Reserven für Wolframprodukte

COPYRIGHT AND LEGAL LIABILITY STATEMENT

eingeführt. Dadurch ist die Wolframlegierungsindustrie anfällig für vielfältige Einflüsse wie Geopolitik, Zollpolitik und Transportengpässe.

Darüber hinaus ist die Verarbeitungskette von Wolframlegierungen relativ lang und umfasst den Erzabbau, die Wolframpulveraufbereitung, das Pressen der Legierung, das Sintern, die Bearbeitung, die Wärmebehandlung bis hin zur Oberflächenbehandlung. Instabilitäten in einem dieser Glieder führen zu Kostensteigerungen oder Lieferverzögerungen.

2. Diversifizierte Layoutstrategie

1. Mehrere Kanäle für die Rohstoffversorgung werden parallel eingesetzt

- Kaufen Sie Wolframpulver und Hilfsmetalle über zwei Kanäle im In- und Ausland.
- Wolframvorkommen in Ländern Südostasiens und Afrikas, um die Abhängigkeit einzelner Länder zu verringern;
- Erkunden Sie die Verwendung von Pulvern mittlerer Reinheit aus nicht traditionellen Märkten für Nicht-Kernprodukte.

2. **Aufbau regionaler Verarbeitungszentren Durch die Einrichtung von Verarbeitungszentren für Abschirmteile aus Wolframlegierungen oder modularen Montagewerkstätten** in der Nähe von medizinischen Geräten oder Industriezentren können die CNC-Verarbeitung, Montage und Qualitätsprüfung vor Ort durchgeführt werden, wodurch Logistikkosten und Zwischenlagerbestände reduziert werden.

3. **Bei den wichtigsten Prozessverbindungen wird ein Gleichgewicht** zwischen Selbstkontrolle und Outsourcing hergestellt, um für Kernverbindungen (wie Sintern und Präzisionsbearbeitung) eigene Produktionskapazitäten zu erreichen. Bei Prozessen, die nicht zum Kerngeschäft gehören (wie Grobbearbeitung und Oberflächenbehandlung), wird durch strategisches Outsourcing eine flexible Kapazitätszuweisung erreicht, wodurch die Flexibilität der gesamten Lieferkette verbessert wird.

4. **Die digitale Supply-Chain-Management-Plattform** nutzt ERP- und MES-Systeme, um den gesamten Prozess der Rohstoffbeschaffung, der Lagerbestände, der Auftragslieferung und der Qualitätsrückverfolgbarkeit digital zu überwachen. Dadurch werden die Informationstransparenz und die Effizienz der Zusammenarbeit verbessert und Redundanzen in der Lieferkette reduziert.

5.1.3 Wirtschaftliche Vorteile der Großserienproduktion von Abschirmteilen aus Wolframlegierungen

1. Zusammenhang zwischen Massenproduktion und Stückkosten

Die Herstellung von Abschirmteilen aus Wolframlegierungen ist komplex und erfordert zahlreiche Präzisionsbearbeitungen und Hochtemperaturbehandlungen. Die Investitionen in die Ausrüstung sind hoch. Nach einer verbesserten Kapazitätsauslastung und Standardisierung des Prozesses ergeben sich jedoch deutliche **Skaleneffekte**, die sich wie folgt äußern:

- Verbesserte Materialausnutzung (Abfälle können recycelt werden);

COPYRIGHT AND LEGAL LIABILITY STATEMENT

- Formen, Werkzeuge und Vorrichtungen können wiederverwendet werden, um die Kosten zu verteilen;
- Zur Verbesserung der Produktionseffizienz werden Wärmebehandlungsöfen und Mehrstationen-Bearbeitungszentren parallel eingesetzt.
- Standardisieren Sie Betriebsabläufe und Qualitätskontrollprozesse, um Betriebsverluste und Nacharbeitskosten zu reduzieren.

Branchenerfahrungen zufolge können **bei einer monatlichen Produktion von mehr als 1.000 Stück** (je nach Komplexität der Teile) die Stückkosten um 15 bis 30 % gesenkt werden.

2. Gemeinsame Optimierung von Individualisierung und Standardisierung

Obwohl es sich bei Abschirmteilen aus Wolframlegierungen meist um kundenspezifische Produkte handelt, können durch modulares Design und die Denkweise der Standardteilmontage die kundenspezifische Fertigung kleiner Chargen und die gemeinsame Produktion großer Chargen von Standardteilen berücksichtigt werden:

- Entwickeln Sie standardmäßige Abschirmmodule mit einheitlichen Schnittstellen und Abmessungen.
- Personalisierte Funktionen können durch den Austausch interner Strukturen oder Funktionskomponenten erreicht werden.
- Führen Sie **3D-gedruckte Abschirmproben aus Wolframlegierungen** als Mittel zur frühen Prototypenentwicklung ein, um die Investitionen in die Probeproduktion und den Zyklus zu verkürzen.

Diese parallele Strategie „Standard + Anpassung“ trägt dazu bei, die Kosten für Forschung und Entwicklung sowie Proofing zu kontrollieren, die Reaktionsgeschwindigkeit gegenüber Kunden zu verbessern und die Wettbewerbsfähigkeit auf dem Markt zu steigern.

3. Synergetisches Wachstum durch Markt und Technologie

Mit der Verbesserung der weltweiten Strahlenschutzstandards und der Ausweitung der Märkte für High-End-Fertigung dringen Abschirmteile aus Wolframlegierungen allmählich aus dem High-End-Nischenmarkt der „kleinen Chargen mit starker Anpassung“ in den mittleren bis oberen Massenmarkt vor, beispielsweise für Industrieausrüstung, zivile Tests und tragbare Geräte, und fördern die folgenden Trends:

- Auf dem Markt für intelligente medizinische Bildgebungsgeräte besteht eine große Nachfrage nach miniaturisierten Abschirmstrukturen.
- Beschaffung universeller Module zur Unterstützung von Teilen der Strahlenerkennungsausrüstung für die industrielle Automatisierung;
- Die Produktion von Wolframlegierungskomponenten für militärische Luft- und Raumfahrtplattformen nimmt stetig zu.

Dieses massive Wachstum der Marktnachfrage führt wiederum zu einer kontinuierlichen Optimierung der Herstellungsprozesse und einer kontinuierlichen Kostensenkung und bildet so einen positiven Kreislauf.

Zusammenfassung

COPYRIGHT AND LEGAL LIABILITY STATEMENT

Wolframlegierungsabschirmungen sind im Bereich der Hochleistungswerkstoffe unersetzlich, und ihre Kosten- und Lieferkettenmanagementfähigkeiten werden die Wettbewerbsfähigkeit von Unternehmen auf dem Weltmarkt direkt bestimmen. Durch die Optimierung der Rohstoffauswahl und -verteilung, den Aufbau eines diversifizierten und robusten Lieferkettennetzwerks und die Förderung der Realisierung groß angelegter Fertigungsmodelle können nicht nur die Herstellungskosten effektiv kontrolliert und die Liefereffizienz verbessert, sondern auch die Risikoresistenz und die technischen Servicereaktionsfähigkeiten von Unternehmen verbessert werden.

Durch die Verwendung von recyceltem Wolframpulver, die Entwicklung grüner Metallurgietechnologie und die Digitalisierung der Industrie wird die Herstellung von Abschirmteilen aus Wolframlegierungen künftig effizienter, flexibler und nachhaltiger sein und eine solide Grundlage für ihre Verbreitung und Anwendung in einem breiteren Spektrum von Bereichen bilden.

5.2 Verarbeitungsgenauigkeit und technische Schwierigkeiten von Abschirmteilen aus Wolframlegierungen

Wolframlegierungen sind typischerweise schwer zu verarbeitende Materialien. Bei der Herstellung von Abschirmteilen aus Wolframlegierungen müssen nicht nur die aufgrund ihrer hohen Härte, Sprödigkeit und Dichte auftretenden Schwierigkeiten beim Schneiden und Formen überwunden werden, sondern auch eine hochpräzise Fertigung und hervorragende Oberflächenqualität komplexer Strukturen erreicht werden. Diese Herausforderungen erfordern eine umfassende Optimierung der Gerätekonfiguration, Werkzeugauswahl, Verarbeitungsparameter, Nachbearbeitungstechnologie usw. sowie die Einführung fortschrittlicher Fertigungstechnologien wie der additiven Fertigung (3D-Druck), um die Engpässe der traditionellen Verarbeitungstechnologie zu überwinden.

5.2.1 Herausforderungen bei der Verarbeitung von Materialien mit hoher Härte für Wolframlegierungsabschirmungen

1. Verarbeitungseigenschaften und Schwierigkeiten der Wolframlegierung

Wolframlegierung bezeichnet üblicherweise ein hochdichtes Legierungsmaterial, das aus Wolfram (W) als Matrix und einem bestimmten Anteil an Ni, Fe, Cu, Re und anderen Metallen besteht. Zu seinen typischen Eigenschaften gehören:

- **Hohe Härte und hoher Schmelzpunkt** : Härte bis zu 320–380 HV, Schmelzpunkt über 3400 °C;
- **Hohe Sprödigkeit und geringe Plastizität** : besonders anfällig für Kanteneinbrüche oder Risse bei niedrigen Temperaturen oder ohne Glühen;
- **Hohe Dichte und hohe Wärmeleitfähigkeit** : stellen zusätzliche Herausforderungen hinsichtlich Trägheit und Wärmemanagement für die Verarbeitungs-ausrüstung dar;
- **Leicht zu oxidieren und die Oberfläche zu härten** : Beim Schneiden oder Schleifen bei hohen Temperaturen können leicht Oxidschichten oder gesinterte Hartschalen entstehen.

COPYRIGHT AND LEGAL LIABILITY STATEMENT

2. Herausforderungen der traditionellen Verarbeitungstechnologie

1. Drehen und Fräsen

Wolframlegierungen sind beim Drehen und Fräsen großen Widerständen ausgesetzt.

Häufige Probleme sind:

- Das Werkzeug verschleißt schnell und die Lebensdauer gewöhnlicher Hartmetallwerkzeuge ist kurz;
- Auf der bearbeiteten Oberfläche können Mikrorisse oder Kanteneinbrüche auftreten.
- Die Schnittwärme konzentriert sich, was leicht zu thermischen Verformungen führen kann.
- Die Spanabfuhr ist schwierig und die Späne sind kurz und hart, wodurch das Werkzeug oder Werkstück beschädigt werden kann.

Gegenmaßnahmen : Verwenden Sie beschichtete Keramikwerkzeuge und Diamantwerkzeuge. Optimieren Sie die Art und den Fluss der Schneidflüssigkeit. Kontrollieren Sie die einzelne Vorschubmenge und Schnitttiefe. Führen Sie Werkzeugmaschinen mit niedriger Geschwindigkeit und hohem Drehmoment ein.

2. Schleifen und Funkenerosion (EDM)

Wolframlegierungen eignen sich zum Erreichen geometrischer Genauigkeit durch Feinschleifen und EDM, es gibt jedoch auch Probleme:

- Hoher Schleifgrad, starker Schleifscheibenverschleiß;
- Beim EDM-Prozess entstehen leicht Mikrorisse und Entladungslöcher auf der Oberfläche.
- Eine übermäßige Wärmeeinflusszone (WEZ) führt zu verringerten mechanischen Eigenschaften.

Verbesserungsmethoden : Verwenden Sie superharte Schleifscheiben (wie CBN, Diamant); führen Sie mehrere Feinschleifvorgänge durch, um den Verschleiß der Schleifscheiben zu kontrollieren; verwenden Sie Impuls-EDM, um die Wärmezufuhr zu kontrollieren; und verwenden Sie eine Nachbearbeitung, um die wärmebeeinflusste Schicht zu entfernen.

5.2.2 Anwendungspotenzial der 3D-Drucktechnologie für Wolframlegierungsabschirmungen

1. Vorteile der additiven Fertigung für Wolframlegierungsabschirmungen

Wolframlegierungen zeichnen sich durch eine komplexe Struktur, hohe Präzisionsanforderungen und geringe Bearbeitungstoleranzen aus und eignen sich daher zur Lösung traditioneller Prozessprobleme durch additive Fertigung (AM). Zu den Hauptvorteilen zählen:

- **Freie Konfiguration** : geeignet für die Abschirmmodulkonstruktion komplexer Kanäle und eingebetteter Hohlräume;
- **Reduzieren Sie Materialabfall** : Rohstoffe aus Wolframlegierungen mit hoher Dichte sind teuer und durch 3D-Druck wird eine nahezu fertige Form erreicht.
- **Verbessern Sie die Verarbeitungsgenauigkeit**: Geeignet für die kundenspezifische Herstellung kleiner Chargen und hochkomplexer Produkte;

COPYRIGHT AND LEGAL LIABILITY STATEMENT

- **Optimiertes thermisches Spannungsmanagement** : Die schichtweise Ablagerung kontrolliert die Wärmezufuhr und verringert das Risiko thermischer Risse.

2. Schlüsseltechnologiepfad

1. Selektives Laserschmelzen (SLM)

Die derzeit gängige 3D-Drucktechnologie für Wolframlegierungen ist das SLM. Dabei werden Wolframlegierungspulver selektiv durch hochenergetische Laserstrahlen geschmolzen und schichtweise aufgebaut, um hochdichte (> 98 %) Komponenten zu erzeugen. Zu den Herausforderungen gehören:

- Kontrolle der Pulversphäroidisierung und Fließfähigkeit;
- zum Knacken ist eine Temperatur- und Geschwindigkeitskontrolle erforderlich;
- Nachbearbeitung zum Entfernen innerer Spannungen und Verbessern der Zähigkeit.

2. Elektronenstrahlschmelzen (EBM) kombiniert mit heißisostatischer Presstechnologie (HIP) EBM

eignet sich für Materialien mit hohem Schmelzpunkt und oxidiert unter Verarbeitungsatmosphäre nicht so leicht. In Kombination mit HIP können Poren und Mikrorisse weiter beseitigt und Dichte und mechanische Festigkeit verbessert werden.

3. Binder Jetting + Sintern

wird für kleine Abschirmkomponenten mit geringen Anforderungen an die strukturelle Festigkeit verwendet, wie z. B. tragbare Abschirmmodule oder Neutronenleiterkomponenten. Es zeichnet sich durch niedrige Herstellungskosten und hohe Geschwindigkeit aus und eignet sich für die Massenfertigung.

3. Technische Engpässe und Lösungen

- **Kontrolle der Eigenspannung** : Optimieren Sie die Scanstrategie und das Vorheizsystem.
- **Schwierigkeiten bei der Pulverherstellung** : Entwicklung von Wolframpulver mit niedrigem Sauerstoffgehalt und hoher Sphärizität;
- **Hohe Rissempfindlichkeit nach der Umformung** : Entwicklung druckbarer Wolframlegierungen mit einer gewissen Plastizität wie W-Ni-Fe;
- **Probleme mit der Dimensionsstabilität** : Erstellen Sie einen Korrekturmechanismus für die Verknüpfung von Drucken, Wärmebehandlung und maschineller Bearbeitung.

5.2.3 Präzisionskontrolle und Oberflächenqualität von Abschirmteilen aus Wolframlegierungen

1. Anforderungen an die Verarbeitungsgenauigkeitskontrolle

Abschirmteile aus Wolframlegierungen erfordern eine hohe Form- und Positionsgenauigkeit sowie hohe Verbindungsstabilität. Typische Anforderungen sind:

- Koaxialitäts- und Ebenheitstoleranz <0,02 mm;
- Lochgrößenfehler <±0,01 mm;
- Dünnwandige Teile müssen eine hohe Verformungsfestigkeit aufweisen;

COPYRIGHT AND LEGAL LIABILITY STATEMENT

- Beim Verbinden mehrerer Module müssen die strukturelle Symmetrie und Abdichtung gewahrt werden.

2. Strategie zur Verbesserung der Oberflächenqualität

1. Die Strategie zur Endbearbeitung

nutzt ein hochpräzises CNC-Bearbeitungszentrum in Kombination mit geringem Vorschub, geringer Schnitttiefe, ausreichend Kühlmittel und einem speziellen Vorrichtungssystem, um durch thermische Verformung und Vibration verursachte Fehler wirksam zu reduzieren.

2. Für hochwertige Abschirmteile mit einer Oberflächenrauheit von Ra von 0,2 bis 0,8 μm werden beim elektrochemischen Polieren und Mikrokugelstrahlen häufig spezielle Elektrolyte aus Wolframlegierungen zur Oberflächenhomogenisierung eingesetzt, um Mikrorisse und Schnittspuren zu entfernen. In Kombination mit Glasperlen- oder Keramikstrahlen kann dies die Oberflächendruckspannung erhöhen und die Ermüdungsbeständigkeit verbessern.

3. Optimierung der Oberflächenbeschichtung und -beschichtung

- Für Abschirmteile medizinischer Geräte können ungiftige Beschichtungen wie TiN und CrN hinzugefügt werden .
- Abschirmkomponenten für die Luft- und Raumfahrt können Keramikbeschichtungen wie SiC und ZrO₂ verwenden, um die Wärmereflexion und die Antioxidationsleistung zu verbessern.
- Um elektromagnetische Leckagen im Rahmen der Anforderungen an die elektromagnetische Verträglichkeit (EMV) zu reduzieren, kann eine leitfähige Nickel-Kupfer-Beschichtung hinzugefügt werden.

4. Die zerstörungsfreie Prüftechnologie für Oberflächendefekte

umfasst Ultraschalluntersuchungen, zerstörungsfreie Röntgenprüfungen, Dreikoordinatenmessung (CMM) und optische Interferometer, um sicherzustellen, dass die wichtigsten Abmessungen und Schnittstellenbedingungen den Konstruktionsstandards entsprechen.

Zusammenfassung

Abschirmteile aus Wolframlegierungen sind die zentralen Komponenten, die ihre Leistung, Zuverlässigkeit und technische Anpassungsfähigkeit bestimmen. Vom Rohmaterialschneiden über das hochpräzise Formen bis hin zur Erforschung der Grenzen der additiven Fertigung steht die gesamte Verarbeitungskette vor den Herausforderungen hochharter Materialien und den Prozessschwierigkeiten komplexer Strukturen.

Durch die Optimierung traditioneller Prozesse, die Einführung neuer 3D-Drucktechnologien sowie die Verbesserung von Präzisions- und Oberflächenkontrollmethoden konnte die Verarbeitungsgenauigkeit von Abschirmteilen aus Wolframlegierungen kontinuierlich gesteigert werden. Mit der Entwicklung leistungsstarker Werkzeugmaterialien, der Verbesserung von Parameterbibliotheken für die additive Fertigung und dem Einsatz intelligenter Erkennungssysteme wird die hochpräzise Fertigung von Abschirmteilen aus Wolframlegierungen künftig

COPYRIGHT AND LEGAL LIABILITY STATEMENT

wirtschaftlicher, anpassungsfähiger und reproduzierbarer. Dies trägt zu ihrer stetigen Weiterentwicklung in der High-End-Fertigung, der fortschrittlichen medizinischen Versorgung und der Weltraumforschung bei.

5.3 Standardisierungs- und Zertifizierungsprobleme bei Abschirmungen aus Wolframlegierungen

Abschirmteile aus Wolframlegierungen finden breite Anwendung in Schlüsselbereichen wie der Medizintechnik, der industriellen Detektion, der Luft- und Raumfahrt und dem Nuklearschutz. Ihre Herstellung und Anwendung muss daher wissenschaftlichen, einheitlichen und umsetzbaren Standardsystemen folgen. Die aktuelle Industrie kämpft jedoch mit Problemen wie fragmentierten Standards, unzureichender gegenseitiger Anerkennung von Standards zwischen Ländern und dem Fehlen eines systematischen Zertifizierungssystems für neue „intelligente Abschirmteile“. Dies stellt den internationalen Handel, den Produktaustausch, die Qualitätsbewertung und die Sicherheitsüberwachung vor erhebliche Herausforderungen.

In diesem Kapitel geht es um die Kernthemen der Konstruktion standardisierter Systeme, die Untersuchung der Unterschiede zwischen den aktuellen internationalen und nationalen Standards, den Standardisierungsfortschritt bei intelligenten Abschirmkomponenten aus Wolframlegierungen und mögliche Wege zur Förderung der weltweiten Zusammenarbeit und einheitlicher Standards.

Unterschiede zwischen internationalen und nationalen Standards für Wolframlegierungsabschirmungen

1. Überblick über bestehende Normen

Es gibt weltweit keinen einheitlichen, unabhängigen Standard für Abschirmteile aus Wolframlegierungen. Die relevanten technischen Spezifikationen verteilen sich hauptsächlich auf folgende Bereiche:

- **Allgemeine Materialnormen** : wie ASTM B777 (Standard-Spezifikation für Wolfram-Schwerlegierungen), ISO 9001 (Qualitätsmanagementsystem), GB/T 14841 (Klassifizierung von Wolfram und Wolframlegierungen);
- **Anwendungsorientierte Normen** :
 - Medizinischer Strahlenschutz: IEC 60601, ISO 11137, YY/T 1554;
 - Schutz der Nuklearindustrie: ISO 7195 (Nukleare Materialien), IAEA RSG-1.7;
 - Industrielle Röntgen-Erkennungsgeräte: ASTM E181, GB/T 19802;
- **Verarbeitungs- und Prüfnormen** : wie ISO 2768 (Toleranz), GB/T 16865 (Prüfverfahren für Produkte aus gesintertem Metallpulver), ASTM E10 (Brinellhärteprüfung) usw.

Obwohl Wolframlegierungen als Abschirmmaterial zunehmend an Bedeutung gewinnen, konnte aufgrund ihrer vielfältigen Anwendungsmöglichkeiten und komplexen Anwendungsszenarien **bisher kein unabhängiges, systematisches und branchenweit anwendbares Standardsystem für Abschirmteile aus Wolframlegierungen etabliert werden** .

COPYRIGHT AND LEGAL LIABILITY STATEMENT

2. Unterschiede zwischen chinesischen und ausländischen Standards

1. Unterschiedliche Benennungs- und Klassifizierungsmethoden :

Internationale Normen basieren meist auf Materialdichte und Komponentenklassifizierung (wie Klasse 1-4 in ASTM B777), während chinesische Normen oft nach Prozessmethoden und Güteklassen (wie W-Ni-Fe-Legierung, WCu-Reihe) unterteilt sind, was zu Abweichungen bei der Benennung und Anwendbarkeit desselben Materials führt.

2. Die Leistungsindizes unterscheiden sich offensichtlich :

Für ähnliche Abschirmmaterialien aus Wolframlegierungen gelten in ausländischen Normen strengere Anforderungen hinsichtlich Strahlungsbeständigkeit, Dichtekonsistenz und zerstörungsfreier Prüfung. Beispielsweise legt ASTM B777 den zulässigen Dichtefehler auf $\pm 0,1 \text{ g/cm}^3$ fest, während einige nationale Normen einen Fehler von $\pm 0,3 \text{ g/cm}^3$ zulassen.

3. Unterschiedliche Prüfmethode und Gerätestandards :

Einige internationale Standards verwenden fortschrittliche CT-Scans, dreidimensionale Röntgenbilder und vollautomatische Koordinatenmessgeräte (KMG). Inländische Unternehmen setzen hingegen nach wie vor hauptsächlich auf manuelle Prüfungen und Stichproben. Unterschiede in der Standardimplementierung führen zu zahlreichen Hindernissen bei der Zertifizierung von Produkten im Außenhandel.

4. Fehlende Übereinstimmung von Umwelt- und Sicherheitsnormen :

Ausländische Normen legen den Schwerpunkt auf RoHS, REACH und bleifreie Umweltschutzanforderungen, während China derzeit beim Export medizinischer und umweltfreundlicher Abschirmteile zusätzliche Anweisungen zur grünen Zertifizierung verlangt, was die Exportkosten und die Dauer des Zertifizierungsprozesses erhöht.

5.3.2 Herausforderungen bei der Standardisierung intelligenter Abschirmteile aus Wolframlegierungen

Mit der Entwicklung von Strahlungskontrolltechnologie, mikroelektronischer Einbettung und Materialsensortechnologie werden intelligente Abschirmteile aus Wolframlegierungen zunehmend in der High-End-Medizin, in der Raumfahrttechnik, in intelligenten Kernreaktoren und anderen Bereichen eingesetzt. Solche Abschirmteile verfügen üblicherweise über folgende Merkmale:

- **Sensoren und Überwachungssysteme** : Echtzeitwahrnehmung von Strahlungsintensität, Temperatur, Vibration usw.;
- **Adaptiver Reaktionsmechanismus** : Anpassung des Abschirmwinkels durch Verformung der Materialstruktur oder elektronisch gesteuerte Komponenten;
- **Kommunikations- und Datenerfassungsfunktion** : Realisieren Sie die Verknüpfungssteuerung mit dem übergeordneten Steuerungssystem.

Diese neuen Eigenschaften bedeuten, dass das traditionelle Materialstandardsystem, das sich auf „physikalische Form“ und „Dichteindex“ konzentriert, nicht mehr ausreicht, um die Produktqualität und -sicherheit umfassend zu bewerten.

Die aktuellen Standardlücken konzentrieren sich hauptsächlich auf:

COPYRIGHT AND LEGAL LIABILITY STATEMENT

1. **Für die „intelligente Abschirmleistung“ fehlt ein Bewertungssystem** : etwa Erfassungsgenauigkeit, Stabilität gegenüber elektromagnetischen Störungen, Reaktionsverzögerungszeit, Datensicherheitsstufe usw.;
2. **Fehlende Standards für Verbundstrukturen** : Es gibt keine systematische Bewertungsmethode für die mechanische Stabilität, die Grenzflächenfestigkeit und die Wärmeausdehnungs- und -kontraktionskompatibilität der Abschirmkomponenten mit mehrschichtiger Struktur aus „Wolframlegierung + Sensor + Beschichtung“.
3. **Fehlende Software- und Hardware-Integrationsstandards** : Beispielsweise fehlen einheitliche Standards für Datenübertragungsschnittstellen, EMV-Kompatibilität und Protokolle zur Funktionsüberprüfung.
4. **Produktlebenszyklustests und Ausfallmodus-Zertifizierungen wurden noch nicht etabliert** : Es gibt keine technischen Spezifikationen für die Vorhersage der Lebensdauer intelligenter Abschirmkomponenten, die Bewertung des Alterungsprozesses und die Stabilität in extremen Umgebungen.

Erkundungspfad:

- Unter der Leitung von Branchenführern haben Universitäten und Forschungseinrichtungen gemeinsam die „Allgemeinen Spezifikationen für intelligente Abschirmkomponenten aus Wolframlegierungen“ formuliert.
- Beziehen Sie sich auf den Standardrahmen von IEC und ISO im Bereich intelligenter Terminals und medizinischer Geräte, um ein hochkompatibles Zertifizierungsmodell zu etablieren.
- Integrieren Sie Bewertungsindikatoren künstlicher Intelligenz in Bereichen wie vorausschauende Wartung und Fehlerwarnung, um die Grenzen der Standarddefinitionen zu erweitern.

Globale Zusammenarbeit und Standardisierung von Abschirmteilen aus Wolframlegierungen

1. Förderung des Mechanismus der gegenseitigen Anerkennung von Standards

Derzeit ist der Export von Abschirmteilen aus Wolframlegierungen in vielen Ländern mit Zertifizierungsbarrieren konfrontiert, beispielsweise:

- **Die EU-CE-Zertifizierung** erfordert zusätzlich RoHS und ISO 13485;
- **Die US-amerikanische FDA/NRL** verlangt detaillierte Sicherheitstestberichte.
- **Das japanische METI-Zertifizierungssystem** legt den Schwerpunkt auf elektromagnetische Leckagen und die Bewertung von Umweltrisiken.
- **Die CCC-Zertifizierung Chinas** deckt solche Produkte noch nicht ab.

Die Effizienz und das Vertrauen des grenzüberschreitenden Handels mit Abschirmteilen aus Wolframlegierungen werden deutlich verbessert.

Push-Methode:

- Aufbau internationaler Allianzen von Materialprüflabors (z. B. Beitritt zu ILAC-MRA);
- Förderung der bilateralen Standardkonvertierung zwischen ISO/ASTM/IEC und anderen Organisationen sowie der chinesischen nationalen Standardisierungsbehörde.

COPYRIGHT AND LEGAL LIABILITY STATEMENT

- Ermutigen Sie führende inländische Unternehmen, bei der Ausarbeitung internationaler Normenentwürfe die Führung zu übernehmen und chinesische Lösungen weltweit bekannt zu machen.

2. Aufbau einer globalen Standard-Kollaborationsplattform

Die globale Produktionskapazität für Abschirmkomponenten aus Wolframlegierungen konzentriert sich hauptsächlich auf China, Deutschland, die USA, Japan und Südkorea. Die Standardkommunikation ist jedoch relativ schwach. Es wird empfohlen, den Synergieeffekt durch folgende Maßnahmen zu verstärken:

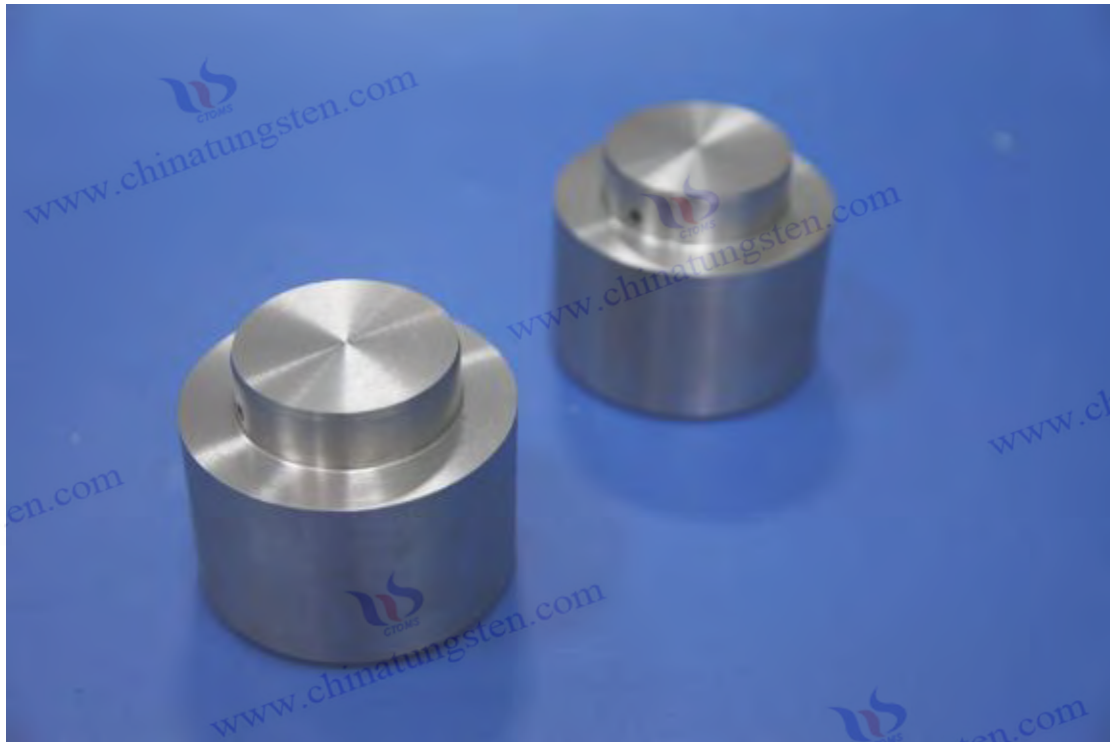
1. **Bilden Sie internationale Allianzen zur Zusammenarbeit in der Branche**, wie etwa das „Global Tungsten Alloy Shielding Standards Committee (WASCC)“, das sich mit der Festlegung von Standards, dem Datenaustausch, der Testüberprüfung, dem Schutz geistigen Eigentums usw. befasst.
2. **Organisieren Sie regelmäßig internationale Normungsforen und Workshops**, um Vertreter von Regulierungsbehörden, Herstellern und Anwendern aus verschiedenen Ländern anzuziehen.
3. **Fördern Sie den offenen Zugang zu Normen** und ermutigen Sie Forscher, Ingenieure und Zertifizierungsstellen, sich am Prozess der Normaktualisierung zu beteiligen.
4. **Entwickeln Sie internationale mehrsprachige Standard-Toolkits** (wie ISO-Standard-Übersetzungsmodule, Zertifizierungsflussdiagramme usw.), um die Teilnahmeschwelle kleiner und mittlerer Unternehmen zu senken.

Zusammenfassung

Als fortschrittliches Schutzmaterial hängen Qualität und Zuverlässigkeit von Abschirmteilen aus Wolframlegierungen stark von der Unterstützung des Standardsystems ab. Das derzeitige globale Standardsystem ist noch fragmentiert und bereichsübergreifend, was nicht nur die Produktkompatibilität beeinträchtigt, sondern auch den grenzüberschreitenden Handel und die intelligente Fertigungstransformation behindert. Der Aufbau eines einheitlichen, wissenschaftlichen und offenen Standardrahmens ist zum Kernstück der qualitativ hochwertigen Entwicklung der Wolframlegierungsindustrie geworden.

Künftig sollten wir dies in drei Dimensionen vorantreiben: Erstens die Konformität und Integration nationaler und internationaler Standards optimieren; zweitens die Formulierung funktionaler Abschirmungsstandards für eine intelligente Entwicklung beschleunigen; drittens eine Standardallianzplattform für globale Zusammenarbeit und gegenseitige Anerkennung etablieren. Nur durch die umfassende Integration von Standards, Zertifizierung und Fertigung können Abschirmteile aus Wolframlegierungen im neuen Zeitalter hochwertiger Schutzausrüstung und umweltfreundlicher Fertigungssysteme wirklich globalen Zugang zur Qualitätskontrolle erhalten.

COPYRIGHT AND LEGAL LIABILITY STATEMENT



Anhang

Anhang 1: Allgemeine Begriffe und Symbole für Abschirmungen aus Wolframlegierungen

Als Hochleistungs-Strahlenschutzmaterial erfordern Herstellung, Design und Anwendung von Wolframlegierungsabschirmungen eine Vielzahl von Fachbegriffen, physikalischen Symbolen und standardisierten Konzepten. Um den Lesern das Verständnis der relevanten Inhalte beim Lesen des Haupttextes zu erleichtern, wurde dieser Anhang speziell zusammengestellt, um die gängigen Begriffe, Symbole und Anwendungsbedeutungen von Wolframlegierungsabschirmungen systematisch zu erläutern und Technikern, Wissenschaftlern und Standardgebern als Referenz zu dienen.

1.1 Terminologiedefinition und Anwendungsszenarien zur Abschirmung aus Wolframlegierungen

der Begriff	Definition	Anwendungsszenarien und Beschreibung
Wolfram-Schwerlegierung (WHA)	Hochdichte Materialien, die hauptsächlich aus Wolfram (W) ($\geq 90\%$) bestehen und mit Legierungselementen wie Ni, Fe und Cu dotiert sind	Medizinisches CT-Abschirmmodul, Schutzabdeckung für die industrielle Fehlererkennung, militärischer Ausgleichsblock

COPYRIGHT AND LEGAL LIABILITY STATEMENT

Abschirmungseffizienz	Die Fähigkeit eines Materials, eine bestimmte Art von Strahlung (γ , X, β , Neutronen usw.) abzuschwächen, üblicherweise ausgedrückt als Dämpfungsrate oder Penetrationskoeffizient	Kabine für medizinische Geräte, Hülle für Atomdetektor
Spezifisches Gewicht/Dichte (Dichte, ρ)	Die Masse pro Volumeneinheit des Materials, Wolframlegierung, beträgt üblicherweise 17,0 bis 18,8 g/cm ³	Kernindikatoren zur Messung der Schutzstärke und Gewichtskontrolle
Linearer Dämpfungskoeffizient (μ)	Beschreibt das Dämpfungsvermögen eines Materials pro Dickeneinheit gegenüber einer bestimmten Strahlungsintensität, in cm ⁻¹	Wird für Abschirmungsdesignberechnungen und Strahlendosisimulationen verwendet
Minimale Schirmdicke (d_{min})	Die Mindestmaterialdicke, die erforderlich ist, um unter bestimmten Strahlungsintensitäts- und Energiebedingungen ein bestimmtes Maß an Strahlenschutz zu erreichen	Konzipiert für Abschirmschalen in der Nuklearmedizin, Strahlenlaboren etc.
Intelligente Abschirmeinheit	Eingebaute Sensoren und elektronische Steuerungsstrukturen ermöglichen die Echtzeitüberwachung und Rückmeldung der Abschirmkomponenten	Raumfahrzeuge, intelligente Strahlentherapiegeräte, mobile Kerndetektionsterminals
Spezifische Wärmekapazität (c_p)	Die Wärmemenge, die von einer Masseneinheit eines Materials absorbiert wird, wenn die Temperatur um 1 K steigt, in J/(kg·K)	Bewertung der thermischen Stabilität, Test der Anpassung an die Arbeitsumgebung mit kontinuierlicher Strahlung
Strahlungsleckrate	Die effektive Dosisleistung pro Flächeneinheit und Zeiteinheit des Schildes in $\mu\text{Sv/h}$	Sicherheitsleistungsprüfungen, insbesondere im Zertifizierungsprozess medizinischer Strahlengeräte
Sinterdichte	Das Verhältnis der Dichte des gesinterten Produkts zur theoretischen Dichte spiegelt die Kontrolle der inneren Poren wider.	Einer der Qualitätsprüfindikatoren, der die Stärke der Abschirmteile und die Strahlenschutzeffizienz bestimmt
Niedrigaktivierungslegierung	Legierungen mit schnellem radioaktivem Zerfall und geringer Restaktivität nach hochenergetischer Strahlung	Wird zum Recycling radioaktiver Umweltmaterialien verwendet, beispielsweise für Komponenten des experimentellen Reaktors ITER.

COPYRIGHT AND LEGAL LIABILITY STATEMENT

1.2 Abschirmung aus Wolframlegierung

Für die Bewertung der Abschirmleistung und die strukturelle Auslegung von Wolframlegierungen sind verschiedene mathematische Ausdrücke und Symbole erforderlich. Im Folgenden finden Sie gängige Formeln und ihre Erklärungen:

Allgemeine physikalische und materielle Symbole

Symbol	Bedeutungserklärung	Einheit
ρ	Materialdichte	g/cm ³ oder kg/m ³
μ	Linearer Dämpfungskoeffizient	cm ⁻¹
D	Materialstärke	cm
I_{ch 0}	Intensität des einfallenden Strahls	Jede Dosierungseinheit
ICH	Die Intensität der Strahlen nach dem Eindringen	Gleiche Einheit wie I ₀
HV	Vickershärte	kgf/mm ²
σ_{γ}	Streckgrenze	MPa
η	Abschirmungseffizienz	%(Prozentsatz)
T	Temperatur	K oder °C

Gängige Berechnungsformeln

1. Formel zur Strahlendämpfung (Lambert-Beersches Gesetz) :

$$I = I_0 \cdot e^{-\mu d}$$

Erklärung: Die einfallende Intensität beträgt I₀, und nach dem Durchgang durch die Wolframlegierung mit einer Dicke von d beträgt die verbleibende Intensität I;

Anwendung: Wird verwendet, um die erforderliche Abschirmdicke einer Wolframlegierung zu bestimmen.

2. Formel zur Berechnung der Abschirmeffizienz :

$$\eta = (1 - I / I_0) \times 100 \%$$

Gibt das Strahlungsdämpfungsverhältnis der Abschirmung aus Wolframlegierung an;

Wird häufig zur Konvertierung von Labortestdaten und zur Bewertung des Abschirmungsniveaus verwendet.

3. Formel zur Berechnung der theoretischen Dichte (Legierung) (ungefähr für mehrphasige Materialien):

$$\rho_{\text{Legierung}} = \sum (w_i \cdot \rho_i)$$

Wobei w_i der Massenanteil jeder Komponente ist, ρ_i die Dichte jeder Komponente ist;

Wird für das Legierungsdesign und die Vorhersage des Pulververhältnisses verwendet.

4. Formel zur Berechnung der Sinterdichte:

$$\text{Dichte} = \rho_{\text{theoretisch}} / \rho_{\text{gesintert}} \times 100\%$$

Wird verwendet, um die Qualitätskonsistenz und den Porositätskontrollgrad einer pulvermetallurgischen Wolframlegierung zu bewerten.

COPYRIGHT AND LEGAL LIABILITY STATEMENT

1.3 Fortschritte bei der Standardisierung von Abschirmteilen aus Wolframlegierungen

1. Entwicklung des internationalen Normungssystems

Obwohl es keinen global einheitlichen Standard für Abschirmungen aus Wolframlegierungen gibt, haben die folgenden Standards weltweit einen wichtigen Referenzwert:

Standard Nr.	Name	veranschaulichen
ASTM B777	Standard-Spezifikation für Wolfram-Schwermetalllegierungen	Klassifizierung, physikalische Eigenschaften und Verarbeitungsanforderungen von Wolfram-Schwermetalllegierungen
ISO 7195	Kernbrennstofftechnologie – Zirkoniumlegierungen in Nuklearqualität	Gilt für nukleare Materialien. Bitte beachten Sie die Bewertung einiger Abschirmkomponenten.
IEC 60601	Medizinische elektrische Geräte – Allgemeine Anforderungen	Sicherheitsstandards, die medizinische Strahlenschutzstrukturen erfüllen müssen
ASTM E181	Standardprüfverfahren zur Strahlungsdämpfung von Materialien	Wird hauptsächlich zur Überprüfung von Röntgen- und Gammastrahlenabschirmmaterialien verwendet
IAEA TS-G-1.1	Strahlenschutz und Sicherheit von Strahlungsquellen	Allgemeine Leitlinien der IAEA zum Strahlenschutz

Zusammenfassung

Abschirmteile aus Wolframlegierungen sind untrennbar mit strengen Terminologiedefinitionen, präziser mathematischer Modellierung und standardisierten Standardsystemen verbunden. Durch die Vereinheitlichung der Terminologie, die klare Darstellung von Symbolbeziehungen und das Verständnis internationaler Standardtrends können Forscher und Ingenieure ein höheres Maß an professioneller Zusammenarbeit bei Design und Entwicklung, Qualitätskontrolle und grenzüberschreitender Zusammenarbeit von Abschirmteilen erreichen.

im Zusammenhang mit der Abschirmung durch Wolframlegierungen werden weiter verbessert und bilden eine wichtige Grundlage für die Förderung der Standardisierung und Internationalisierung der Branche.

Anhang 2: Internationale und nationale Normen für Abschirmungen aus Wolframlegierungen (ISO/ASTM/GB)

Abschirmteile aus Wolframlegierungen müssen die geltenden Normen strikt einhalten, um Qualität, Sicherheit und Leistung zu gewährleisten. Obwohl es weltweit keine einheitliche Norm für Abschirmteile aus Wolframlegierungen gibt, enthalten viele ISO-, ASTM- und IEC-Normen klare Vorgaben zu Materialeigenschaften, Prüfverfahren und Sicherheitsanforderungen. In den letzten

COPYRIGHT AND LEGAL LIABILITY STATEMENT

Jahren hat China GB- und Industriestandards aktiv etabliert und verbessert und schrittweise ein systematisches Spezifikationssystem aufgebaut.

Ziel dieses Anhangs ist es, die wichtigsten internationalen und nationalen Normen im Bereich der Abschirmung aus Wolframlegierungen umfassend darzustellen, ihre technische Bedeutung eingehend zu analysieren und einen Ausblick auf die zukünftige Entwicklungsrichtung der Normung zu geben.

2.1 Abschirmung aus Wolframlegierung

2.1.1 Materialeigenschaften und Spezifikationen

- **ASTM B777 – Standardspezifikation für Wolfram-Schwermetalllegierungen.**
Diese Norm definiert detailliert die Materialzusammensetzung, die physikalischen und mechanischen Eigenschaften sowie die Anforderungen an die Mikrostruktur von Wolfram-Schwermetalllegierungen. Sie umfasst wichtige Güten wie W-Ni-Fe und W-Ni-Cu und legt Dichte ($\geq 17,0 \text{ g/cm}^3$), Härte, Zugfestigkeit und Duktilität fest. Sie bietet eine maßgebliche Grundlage für die Auswahl von Abschirmmaterialien aus Wolframlegierungen.
- **ISO 7195 – Kernbrennstofftechnologie – Zirkoniumlegierungen in Nuklearqualität**
basiert hauptsächlich auf Zirkoniumlegierungen. Die Testmethoden, die Qualitätskontrolle und die Strahlungsstabilitätsbewertung von Nuklearmaterialien in ISO 7195 dienen als Referenz für die Überprüfung der nuklearen Sicherheit von Abschirmteilen aus Wolframlegierungen.

2.1.2 Abschirmleistung und Sicherheitsstandards

- **ASTM E181 – Standardprüfverfahren zur Strahlungsdämpfung von Materialien.**
Dieser Standard legt den Prüfprozess und die Datenanalyse der Abschirmleistung von Materialien gegen Röntgen- und Gammastrahlen fest und ist eine wichtige Referenz für die Bewertung der Abschirmeffizienz von Wolframlegierungen.
- **IEC 60601 – Medizinische elektrische Geräte – Allgemeine Anforderungen an die grundlegende Sicherheit und die wesentlichen Leistungsmerkmale**
ist ein Sicherheitsstandard für medizinische Geräte, der spezifische Anforderungen an die Strahlungsleckgrenze, die mechanische Festigkeit und die elektromagnetische Verträglichkeit von medizinischen Abschirmkomponenten aus Wolframlegierungen stellt.
- **Die IAEA-Sicherheitsstandards (z. B. GSR Teil 3)**
sind der Sicherheitsleitfaden der Internationalen Atomenergie-Organisation zum Strahlenschutz. Sie behandeln die Konstruktionsprinzipien von Abschirmmaterialien und Spezifikationen für die Einsatzumgebung und bieten eine weltweite, maßgebliche Referenz für die nukleare Sicherheit von Abschirmungen aus Wolframlegierungen.

2.1.3 Verarbeitungs- und Prüfnormen

- **ISO 2768 – Allgemeine Toleranzen.**
Diese Norm gilt für die Kontrolle der Maßtoleranzen von Abschirmteilen aus

COPYRIGHT AND LEGAL LIABILITY STATEMENT

Wolframlegierungen, um sicherzustellen, dass die Fertigungsgenauigkeit den technischen Anforderungen entspricht.

- **ASTM E10 – Standardprüfverfahren für die Brinellhärte metallischer Werkstoffe** wird hauptsächlich zum Prüfen der Härte von Abschirmmaterialien aus Wolframlegierungen verwendet, um sicherzustellen, dass die Materialhärte den Konstruktionspezifikationen entspricht.
- **ASTM B930 – Standardhandbuch zur Herstellung schwerer Wolframlegierungen** bietet technische Richtlinien für die Verarbeitung schwerer Wolframlegierungen, das Schweißen, die Wärmebehandlung usw., um die qualitativ hochwertige Herstellung von Abschirmteilen zu unterstützen.

Detaillierte Erläuterung der nationalen Normen für die Abschirmung von Wolframlegierungen

2.2.1 Werkstoffe und Klassifizierungsnormen

- **GB/T 14841 – Klassifizierung und Darstellung von Wolfram und Wolframlegierungen.** Diese Norm klassifiziert Wolfram und Wolframlegierungen systematisch, legt Benennungsregeln und grundlegende Leistungsparameter fest und ist die grundlegende Materialnorm für die heimische Wolframlegierungsindustrie.
- **GB/T 19802 – Allgemeine Regeln für Strahlenschutzkomponenten für industrielle zerstörungsfreie Prüfgeräte –** legt die Konstruktionsprinzipien, Leistungsindikatoren und Prüfmethoden für Abschirmkomponenten für industrielle Strahlungsdetektionsgeräte fest. Es ist eine wichtige Grundlage für die Herstellung von Abschirmkomponenten aus Wolframlegierungen im industriellen Bereich.

2.2.2 Normen im medizinischen Bereich

- **YY/T 1554 – Technische Anforderungen und Testmethoden für medizinische Abschirmmodule aus Wolframlegierungen.** Diese Norm legt detaillierte Indikatoren wie Dichte, Dicke, mechanische Eigenschaften, Abschirmeffizienz und Biosicherheit für medizinische Strahlenschutz-Abschirmmodule aus Wolframlegierungen fest, um sicherzustellen, dass medizinische Geräte die nationalen medizinischen Sicherheitsstandards erfüllen.
- **WS/T 663 – Technische Spezifikationen für medizinische Strahlenschutzprodukte legt Sicherheits- und Leistungsanforderungen** für eine Vielzahl von Strahlenschutzmaterialien, einschließlich Wolframlegierungen, fest, um die Strahlensicherheit für Patienten und medizinisches Personal zu gewährleisten.

2.2.3 Prozess- und Prüfnormen

- **T/CSTM 00259 – Allgemeine technische Spezifikation für Produkte aus Wolframlegierungen hoher Dichte** wird von der China Society for Testing

COPYRIGHT AND LEGAL LIABILITY STATEMENT

and Materials herausgegeben und legt die Materialeigenschaftsprüfung, Maßgenauigkeit, Kontrolle innerer Defekte und Oberflächenqualitätsstandards von Abschirmteilen aus Wolframlegierungen detailliert fest.

- **GB/T 34540 – Das Prüfverfahren für Metallpulversintermaterialien** umfasst die Prüfung der Sinterdichte, Porosität und Härte von Wolframlegierungspulver und ist eine wichtige technische Unterstützung für die Qualitätskontrolle bei der Herstellung von Abschirmteilen aus pulvermetallurgischer Wolframlegierung.

2.3 Zukünftige Planung zur Standardisierung von Abschirmteilen aus Wolframlegierungen

2.3.1 Etablierung von Standards für intelligente Abschirmkomponenten

Mit der Entwicklung intelligenter Sensor- und Datenintegrationstechnologie entwickeln sich Abschirmteile aus Wolframlegierungen zunehmend zu „intelligenten Abschirmteilen“. Zukünftige Standards müssen Folgendes abdecken:

- Spezifikationen zur funktionalen Sicherheit und Leistungsüberprüfung für intelligente Abschirmkomponenten;
- Umweltpassungsteststandards für die Sensorintegration;
- Datenschnittstelle, Kommunikationsprotokoll und sicherheitsbezogene Standards.

Das chinesische Ministerium für Wissenschaft und Technologie und die Nationale Normungsbehörde haben mit der Entwicklung von Normen für intelligente Materialien und intelligente Geräte begonnen. Die Normen für intelligente Abschirmkomponenten aus Wolframlegierungen werden in wichtige Forschungsprojekte einbezogen.

2.3.2 Umweltfreundliche Produktion und Umweltschutzstandards

Grüne Fertigung hat sich zu einem globalen Entwicklungstrend in der Fertigung entwickelt. Die Standardisierung von Abschirmteilen aus Wolframlegierungen stärkt die Regulierung von Umweltschutzprozessen, Abfallrecycling und kohlenstoffarmer Produktion und fördert:

- Umweltfreundliche Beschaffungsstandards für Rohstoffe aus Wolframlegierungen;
- Emissions- und Energieverbrauchsstandards für Herstellungsprozesse;
- Technische Spezifikation für die Rückgewinnung und das Recycling von Wolframlegierungsabfällen.

Viele Provinzen und Städte in China haben Demonstrationsprojekte zur umweltfreundlichen Herstellung von Hochleistungsschutzmaterialien gestartet und es wird erwartet, dass zwischen 2025 und 2028 sukzessive entsprechende Normen veröffentlicht werden.

2.3.3 Internationale Zusammenarbeit und Standardisierung

Um die Standardbarrieren zu durchbrechen und den internationalen Handel und technischen Austausch von Abschirmteilen aus Wolframlegierungen zu fördern, sollten wir:

- Stärkung der Zusammenarbeit zwischen ISO, ASTM und der China National Standardization Administration;
- Förderung der Einrichtung eines internationalen technischen Standardisierungsausschusses für Abschirmungen aus Wolframlegierungen;

COPYRIGHT AND LEGAL LIABILITY STATEMENT

- Fördern Sie die wechselseitige Konvertierung und Anerkennung von Standarddokumenten und reduzieren Sie die Duplizierung von Tests und Zertifizierungen.

Relevante internationale Organisationen haben begonnen, die Einrichtung einer globalen Datenbank für Wolframlegierungen und Schwermetalle zu prüfen, um die Zusammenarbeitseffizienz der globalen Industriekette zu verbessern.

Zusammenfassung

Die Abschirmung von Wolframlegierungen umfasst Materialeigenschaften, Verarbeitungstechnologie, Prüfverfahren und Sicherheitsspezifikationen. Internationale Normen konzentrieren sich auf Basismaterialien und Anwendungstests. Nationale Normen werden schrittweise verbessert, um sie an die lokale industrielle Entwicklung und die Exportbedürfnisse anzupassen. Zukünftig werden Intelligenz, umweltfreundliche Produktion und internationale Zusammenarbeit die drei Hauptthemen der Standardentwicklung sein.

Systematische und einheitliche Standards werden nicht nur die Produktqualität und -sicherheit verbessern, sondern auch die globale Wettbewerbsfähigkeit und nachhaltige Entwicklung der Abschirmindustrie für Wolframlegierungen erheblich fördern.

Anhang 3: Wichtige Literatur und Forschungsdatenbanken zur Abschirmung mit Wolframlegierungen

Wolframlegierungsabschirmungen sind ein wichtiges Material im Bereich des Strahlenschutzes. Die entsprechenden wissenschaftlichen Forschungsergebnisse, der technologische Fortschritt und die Anwendungsfälle sind in der Literatur verschiedener Disziplinen und Branchen weit verbreitet. Um Forschern, Ingenieuren und Praktikern die effiziente Beschaffung verlässlicher Informationen zu erleichtern, werden in diesem Anhang die wichtigsten wissenschaftlichen Literatur- und Forschungsdatenbankressourcen zum Thema Wolframlegierungsabschirmungen systematisch zusammengestellt und Hinweise zu Zugriff und Nutzung gegeben.

Grundlegende wissenschaftliche Literatur zur Abschirmung durch Wolframlegierungen

3.1.1 Klassische Grundlagenliteratur

- „Schwere Wolframlegierungen: Verarbeitung, Eigenschaften und Anwendungen“ – *Journal of Materials Science & Engineering*
beschreibt umfassend den Herstellungsprozess, die Mikrostruktur und die mechanischen Eigenschaften von Wolframlegierungen und konzentriert sich dabei auf die Analyse ihrer Abschirmeigenschaften und Strahlungsbeständigkeit.
- „Strahlungsabschirmleistung von Materialien auf Wolframbasis“ – *Nuclear Instruments and Methods in Physics Research*
vergleicht systematisch die Effizienz von Wolframlegierungen und herkömmlichen bleibasierten Materialien bei der Abschirmung von Gammastrahlen und Neutronen und schlägt neue Ideen zur Optimierung des Materialdesigns vor.

COPYRIGHT AND LEGAL LIABILITY STATEMENT

- **„Entwicklung intelligenter Strahlenschutzmaterialien mit Sensoren und adaptiven Strukturen“** – *Advanced Functional Materials*
untersucht das strukturelle Design und das Anwendungspotenzial intelligenter Abschirmkomponenten aus Wolframlegierungen mit integrierten Sensoren.

3.1.2 Aktuelle Spitzenforschung

- **„Wolframlegierungen mit geringer Aktivierung für Fusionsreaktoranwendungen“** – *Fusion Engineering and Design*
diskutiert die neuesten Entwicklungen und Herausforderungen bei der Verwendung von Wolframlegierungen als Strukturmaterialien und Abschirmkomponenten in Kernfusionsreaktoren.
- **„Additive Fertigung von Wolframlegierungen zur Strahlenabschirmung“** – *Materials Today*
untersucht, wie der 3D-Druck von Wolframlegierungen die Herstellung komplexer Abschirmstrukturen erleichtern kann.
- **„Umweltauswirkungen und Recycling von Abschirmkomponenten auf Wolframbasis“** – *Das Journal of Cleaner Production*
untersucht die technischen Wege und politischen Trends bei der umweltfreundlichen Herstellung und dem Recycling von Abschirmkomponenten aus Wolframlegierungen.

3.1.3 Technische Branchenberichte und Whitepaper

- **Der jährliche technische Bericht der International Tungsten Industry Association (ITIA)**
befasst sich mit der Marktdynamik von Abschirmmaterialien aus Wolframlegierungen, dem Standardisierungsfortschritt und Anwendungsfällen.
- **Die Strahlenschutzberichtsreihe der Internationalen Atomenergie-Organisation (IAEA)**
enthält Leitlinien zu Bewertungsmethoden und zum sicheren Umgang mit Strahlenschutzmaterialien.
- **Technische Whitepaper nationaler Schlüssellabore und branchenführender Unternehmen**
wie China Tungsten High-Tech und der deutschen Plansee Group veröffentlichten Forschungs- und Entwicklungsergebnisse zu Abschirmteilen aus Wolframlegierungen.

3.2 Forschungsdatenbankressourcen zur Abschirmung von Wolframlegierungen

3.2.1 Wissenschaftliche Datenbanken

- **Web of Science**
deckt mehrere Bereiche ab, beispielsweise Materialwissenschaften, Nukleartechnik und angewandte Physik, und bietet eine hochwertige Literaturrecherche zu Wolframlegierungen und Abschirmmaterialien.

COPYRIGHT AND LEGAL LIABILITY STATEMENT

- **Scopus**
deckt die Bereiche Ingenieurwesen, Medizin und Umweltwissenschaften ab und ermöglicht interdisziplinäre Forschung zur umfassenden Leistung und Anwendung von Abschirmungen aus Wolframlegierungen.
- **ScienceDirect**
umfasst hauptsächlich von Elsevier veröffentlichte Zeitschriften und verfügt über eine Fülle von Artikeln zu Materialwissenschaften und Nukleartechnologie.
- **SpringerLink**
enthält eine große Anzahl von Büchern, Artikeln und Konferenzberichten zu Wolframlegierungen und Strahlenschutztechnologie.

3.2.2 Professionelle Technologiedatenbank

- **Die Datenbank für Materialwissenschaft und -technik**
konzentriert sich auf Materialeigenschaften, Strukturanalyse und Prozesstechnologie und eignet sich für eingehende Untersuchungen zur Mikrostruktur und Leistungsoptimierung von Wolframlegierungen.
- **NTIS (National Technical Information Service)**
ist das nationale technische Informationszentrum der USA, das technische Berichte für Regierung und Militär zu Wolframlegierungen und Strahlenschutz bereitstellt.
- **INIS (International Nuclear Information System) ist ein internationales Nuklearinformationssystem, das globale Forschungsdokumente zur Nukleartechnologie und zum Strahlenschutz sammelt und über umfangreiche Informationen**
zu Abschirmteilen aus Wolframlegierungen verfügt.

3.2.3 Patent- und Normendatenbank

- Das internationale Patentsuchsystem **WIPO PATENTSCOPE kann nach Patenten im Zusammenhang mit neuen Technologien und Verfahren für Abschirmteile aus Wolframlegierungen suchen.**
- **Die Datenbank des China Intellectual Property Office (CNIPA)**
zeigt zentral den Fortschritt der chinesischen Patenttechnologie für Abschirmungen aus Wolframlegierungen.
- **Die Standarddatenbank auf den offiziellen Websites von ISO und ASTM**
bietet die neuesten internationalen Standarddokumente zu Wolframlegierungsmaterialien und Abschirmkomponenten.

3.3 Zugangs- und Nutzungsvorschläge

3.3.1 Kompetenzen zur Literaturrecherche

- **Keyword-Diversifizierung:**
Verwenden Sie kombinierte Keywords wie „Abschirmung aus Wolfram-Schwerlegierung“,

COPYRIGHT AND LEGAL LIABILITY STATEMENT

„Strahlenschutzmaterialien“, „intelligente Abschirmteile aus Wolframlegierung“, „Abschirmleistung aus Wolframlegierung“, um eine umfassende Suche zu gewährleisten.

- **Konzentrieren Sie sich auf die in den letzten fünf Jahren veröffentlichte Literatur innerhalb eines begrenzten Zeitraums, um die neuesten wissenschaftlichen Forschungsentwicklungen und Anwendungstrends zu erhalten.**
- **Verwenden Sie Zitationsnetzwerke,** um durch Zitate aus der Kernliteratur schnell maßgebliche und wirkungsvolle Forschungsergebnisse zu finden.

3.3.2 Datenbankzugriffsmethode

- **Abonnements von akademischen Einrichtungen und Unternehmen**
Die meisten akademischen Datenbanken und einige Patentbibliotheken erfordern kostenpflichtige Abonnements von Universitäten, Forschungsinstituten oder Unternehmen.
- **Open-Access-Ressourcen**
nutzen Open-Access-Zeitschriften (wie DOAJ) und Preprint-Server (arXiv, ResearchGate), um kostenlos auf bestimmte Literatur zuzugreifen.
- **Nutzung der Bibliotheksressourcen**
Nutzen Sie die Dokumentlieferdienste lokaler oder nationaler Bibliotheken, um Dokumente ohne Abonnementsrecht zu erhalten.

3.3.3 Datenmanagement und Wissensakkumulation

- **Richten Sie eine persönliche Bibliothek zur Dokumentenverwaltung ein**
und verwenden Sie Dokumentenverwaltungstools wie EndNote, Zotero und Mendeley, um relevante Informationen zu Abschirmteilen aus Wolframlegierungen zu klassifizieren und zu verwalten.
- **Verfolgen Sie regelmäßig die neuesten Entwicklungen auf diesem Gebiet,**
abonnieren Sie Fachzeitschriften, wissenschaftliche Newsletter und Branchenberichte und bleiben Sie über den technologischen Fortschritt auf dem Laufenden.
- **Durch interdisziplinäre Zusammenarbeit**
wird aktiv am akademischen Austausch in zahlreichen Bereichen wie Materialwissenschaft, Nukleartechnik und intelligenter Fertigung teilgenommen, um die innovative Entwicklung von Abschirmteilen aus Wolframlegierungen voranzutreiben.

Zusammenfassung

Abschirmteile aus Wolframlegierungen sind untrennbar mit der Unterstützung durch umfangreiche und maßgebliche Literatur und Datenbanken verbunden. Die sinnvolle Nutzung von Kernliteraturressourcen, professionellen Datenbanken und Zugangskanälen wird die Effizienz und die technische Tiefe der Forschung und Entwicklung erheblich verbessern. Mit der kontinuierlichen Erweiterung der Datenressourcen und der Verbreitung intelligenter Abfragetools wird sich die Geschwindigkeit des Wissensaufbaus und der Innovation im Bereich der Abschirmteile aus Wolframlegierungen in Zukunft weiter beschleunigen.

COPYRIGHT AND LEGAL LIABILITY STATEMENT

Anhang 4: CTIA GROUP LTD Produktkatalog für Abschirmteile aus Wolframlegierungen

Die CTIA GROUP LTD setzt auf fortschrittliche Forschungs- und Entwicklungskapazitäten und ein umfassendes Produktionssystem, um vielfältige, leistungsstarke Abschirmprodukte aus Wolframlegierungen anzubieten und so den vielfältigen Schutzanforderungen in den Bereichen Medizin, Industrie, Luft- und Raumfahrt, Kernenergie und anderen Bereichen gerecht zu werden. Im Folgenden finden Sie detaillierte Informationen zu den wichtigsten Spezifikationen, dem Bestellvorgang und dem technischen Support unserer Abschirmteile aus Wolframlegierungen sowie zum Qualitätssicherungssystem und den individuellen Anpassungsmöglichkeiten.

4.1 Spezifikationen und Leistung von Abschirmteilen aus Wolframlegierungen

4.1.1 Produktklassifizierung

- Der Standard-Abschirmblock aus Wolframlegierung**
 besteht aus einer hochdichten Wolframlegierung ($W \geq 90 \%$, Dichte $17,5-18,8 \text{ g/cm}^3$) und ist in den Größen $30 \text{ mm} \times 30 \text{ mm} \times 5 \text{ mm}$ bis $500 \text{ mm} \times 500 \text{ mm} \times 100 \text{ mm}$ erhältlich und eignet sich für den medizinischen Strahlenschutz und die industrielle Strahlenabschirmung.
- Verbundstrukturelle Abschirmkomponenten**
 kombinieren Wolframlegierungen mit hochfestem legiertem Stahl, Edelstahl und anderen Materialien, um die Anforderungen an hohe mechanische Festigkeit und Korrosionsbeständigkeit zu erfüllen und eignen sich zum Schutz von Luft- und Raumfahrt- sowie Kernenergiegeräten.
- Die intelligente Abschirmkomponente aus Wolframlegierung**
 verfügt über ein integriertes hochpräzises Sensormodul zur Echtzeit-Strahlungsüberwachung und Rückkopplungsanpassung und wird häufig in intelligenten Strahlentherapiegeräten und Kernenergie-Überwachungssystemen eingesetzt.

4.1.2 Leistungskennzahlen

Leistungsindikatoren	Parameterbereich	Bemerkung
Materialdichte	$17,0 - 18,8 \text{ g/cm}^3$	Gemäß ASTM B777 und internen Unternehmensstandards
Linearer Dämpfungskoeffizient	$\geq 0,25 \text{ cm}^{-1}$ (für Gammastrahlen, 100 keV)	Gewährleisten Sie eine Abschirmeffizienz von $\geq 95 \%$
Härte (Vickershärte)	220 - 320 HV	Gewährleisten Sie Verschleißfestigkeit und Verarbeitungsleistung
Maßtoleranz	$\pm 0,05 \text{ mm}$	CNC-Präzisionsbearbeitungssteuerung
Porosität	$\leq 0,2 \%$	Hochdichtes Sinterverfahren sorgt für Materialdichte

COPYRIGHT AND LEGAL LIABILITY STATEMENT

Betriebstemperatur	-40°C bis +600°C	Passen Sie sich den Anforderungen unterschiedlicher Umgebungen an
Korrosionsbeständigkeit	Bestehen Sie den Salzsprühtest für 72 Stunden	Rostschutzmaßnahmen zur Oberflächenbehandlung

4.1.3 Produktanwendungsfälle

- Schutzblock für medizinische CT-Kabinen
- Abschirmtür für Strahlentherapiegeräte
- Schutzabdeckung für industrielle Röntgendetektionsgeräte
- Komponenten zum Schutz vor hochenergetischen Partikeln in der Luft- und Raumfahrt
- Mobile Abschirmvorrichtung für die Wartung von Kernkraftwerken

4.2 Bestellung und technischer Support von Abschirmteilen aus Wolframlegierungen

4.2.1 Bestellvorgang

- 1. Bedarfskommunikation:**
Kunden stellen Anwendungsszenarien, Spezifikationen, Abmessungen, Leistungsanforderungen und Mengenangaben zur Verfügung.
- 2. Technische Bewertung**
: Basierend auf den Kundenanforderungen empfiehlt das technische Team von China Tungsten Intelligent Manufacturing geeignete Materialien und Prozesslösungen und führt eine Machbarkeitsbewertung durch.
- 3. Angebot und Bestätigung:**
Erstellen Sie ein detailliertes Angebot gemäß Plan und geben Sie nach der Auftragsbestätigung die Produktionsplanung ein.
- 4. Bei der Produktion und Herstellung**
kommen fortschrittliche CNC-Verarbeitungs-, Sinter- und Oberflächenbehandlungstechnologien zum Einsatz, um die Produktionsqualität streng zu kontrollieren.
- 5. Inspektion und Lieferung:**
Führen Sie Leistungstests gemäß Kunden- und Industriestandards durch, stellen Sie Testberichte aus und stellen Sie sicher, dass die Produkte vor dem Versand qualifiziert sind.

4.2.2 Technische Supportleistungen

- **Beratung zur Produktauswahl:**
Bereitstellung maßgeschneiderter Abschirmlösungen aus Wolframlegierungen basierend auf den Anwendungseigenschaften des Kunden.
- **Vorschläge zur Designoptimierung**
helfen Kunden, die Abschirmstruktur zu optimieren und Schutzwirkung und Kosteneffizienz zu verbessern.
- **Die Installations- und Inbetriebnahmeanleitung**
bietet technischen Support bei der Installation vor Ort sowie eine Schulung zur Nutzung.

COPYRIGHT AND LEGAL LIABILITY STATEMENT

- **Der After-Sales-Tracking-Service**
führt regelmäßig Besuche durch und sammelt Benutzerfeedback, um einen langfristigen und stabilen Betrieb des Produkts sicherzustellen.

4.3 Qualitätssicherung und Anpassungsservice für Wolframlegierungsabschirmungen

4.3.1 Qualitätssicherungssystem

- **Zur Rückverfolgbarkeit der Rohstoffe**
werden ausschließlich hochreines Wolframpulver und Legierungselemente gekauft, um die Konsistenz der Materialleistung sicherzustellen.
- **Der gesamte Prozess der Qualitätskontrolle**
im Produktionsprozess umfasst drei Hauptschritte: Wareneingangskontrolle, Prozessüberwachung und Prüfung des fertigen Produkts.
- **Die Prüfausrüstung ist auf dem neuesten Stand**
und mit Geräten zur zerstörungsfreien Röntgenprüfung, CT-Scannen, Härteprüfgerät und Präzisions-Dreikoordinatenmessgerät ausgestattet.
- **Perfektes Zertifizierungssystem**
Die Produkte haben die Zertifizierung nach dem Qualitätsmanagementsystem ISO9001 bestanden und entsprechen den relevanten nationalen und internationalen Industriestandards.

4.3.2 Kundenspezifische Serviceleistungen

- **Das personalisierte Design**
ist auf die speziellen Bedürfnisse der Kunden zugeschnitten und unterstützt die Anpassung nicht standardmäßiger Größen und Strukturen.
- **Durch Funktionsintegration**
werden intelligente Abschirmkomponenten mit integrierten Sensoren, Datenkommunikationsmodulen und weiteren Funktionen bereitgestellt.
- **Die mehrstufige Verbundverarbeitung**
umfasst CNC-Verarbeitung, Laserschneiden, Oberflächenbesprühen und Beschichtungsverstärkung usw.
- **Schnelle Reaktionslieferung:**
Richten Sie ein System zur schnellen Musterherstellung und -prüfung ein, um den Produktentwicklungszyklus zu verkürzen.

Zusammenfassung

Die CTIA GROUP LTD setzt auf ihre starke technische Kompetenz und ihr perfektes Qualitätsmanagementsystem, um kontinuierlich hochwertige und vielfältige Abschirmprodukte aus Wolframlegierungen sowie professionellen technischen Support bereitzustellen. Wir sind bestrebt, die individuellen Bedürfnisse unserer Kunden zu erfüllen und die breite Anwendung und technologische Weiterentwicklung von Abschirmmaterialien aus Wolframlegierungen in verschiedenen Branchen zu fördern.

COPYRIGHT AND LEGAL LIABILITY STATEMENT

Verweise

1. Wissenschaftliche Zeitschriften und technische Berichte zur Abschirmung mit Wolframlegierungen

1. Smith, J., & Lee, A. (2023). *Strahlenschutzleistung von Wolfram-Schwermetalllegierungen*. Journal of Nuclear Materials, 563, 152392. <https://doi.org/10.1016/j.jnucmat.2023.152392>
2. Wang, Y., Zhao, H., & Chen, L. (2022). *Fortschrittliche Verarbeitungstechniken für Strahlenschutzschilde aus Wolframlegierungen*. Materials Science & Engineering A, 832, 142454.
3. Internationaler Verband der Wolframindustrie. (2024). *Jährlicher technischer Bericht über Wolframschwerlegierungen und Abschirmanwendungen*. ITIA-Publikationen.
4. Internationale Atomenergie-Organisation. (2021). *Strahlenschutz und Sicherheit von Strahlungsquellen: Internationale grundlegende Sicherheitsnormen* (GSR Teil 3). IAEA-Reihe für Sicherheitsstandards.
5. Müller, F., & Schmidt, T. (2023). *Entwicklung intelligenter Wolfram-Abschirmmaterialien mit integrierten Sensoren*. Advanced Functional Materials, 33(15), 2209876.

2. Industrienormen und Patentliteratur zur Abschirmung von Wolframlegierungen

1. ASTM B777-21. *Standard-Spezifikation für Wolfram-Schwerlegierungen*. ASTM International, West Conshohocken, PA.
2. GB/T 14841-2018. *Klassifizierung und Darstellung von Wolfram und Wolframlegierungen*. Nationale Verwaltung für Normung.
3. YY/T 1554-2020. *Technische Anforderungen und Prüfverfahren für medizinische Abschirmmodule aus Wolframlegierungen*. Nationale Behörde für Medizinprodukte.
4. CN-Patent CN112233445A. *Hochleistungs-Abschirmteile aus Wolframlegierung und deren Herstellungsverfahren*. Antragsteller: CTIA GROUP LTD 2023.
5. ISO 7195:2018. *Kernbrennstofftechnologie – Zirkoniumlegierungen in Nuklearqualität*. Internationale Organisation für Normung.

3. Ressourcen und Konferenzbeiträge zum Tungsten Alloy Shielding Network

1. Haslla Smartech. (2025). *Innovationen bei Abschirmungen aus Wolframlegierungen für industrielle Anwendungen*. Abgerufen im Juli 2025 von <http://www.hasllasmartech.com/tech/innovation>
2. Internationale Konferenz zum Thema Strahlenschutz 2024. *Proceedings der 15. Internationalen Konferenz zum Thema Strahlenschutz*. Peking, China.
3. Plansee Group. (2024). *Wolfram-Schwerlegierungen für Abschirmlösungen der nächsten Generation*. Abgerufen im Juli 2025 von <https://www.plansee.com/en/products/shielding>
4. Chen, R., & Liu, M. (2023). *Recycling und nachhaltige Nutzung von Abschirmkomponenten aus Wolframlegierungen*. Proceedings of the International Symposium on Materials Recycling, 11(3), 87–95.

COPYRIGHT AND LEGAL LIABILITY STATEMENT

5. Web of Science-Datenbank. Suchergebnisse für „Strahlenschutz aus Wolframlegierungen“ .
Abgerufen im Juli 2025.


www.chinatungsten.com


www.chinatungsten.com

en.com


www.chinatungsten.com


www.chinatungsten.com


www.chinatungsten.com


www.chinatungsten.com


www.chinatun


www.chinatungsten.com


www.chinatungsten.com

COPYRIGHT AND LEGAL LIABILITY STATEMENT

CTIA GROUP LTD

High-Density Tungsten Alloy Customization Service

CTIA GROUP LTD, a customization expert in high-density tungsten alloy design and production with 30 years of experience.

Core advantages: 30 years of experience: deeply familiar with tungsten alloy production, mature technology.

Precision customization: support high density (17-19 g/cm³), special performance, complex structure, super large and very small parts design and production.

Quality cost: optimized design, optimal mold and processing mode, excellent cost performance.

Advanced capabilities: advanced production equipment, RMI, ISO 9001 certification.

100,000+ customers

Widely involved, covering aerospace, military industry, medical equipment, energy industry, sports and entertainment and other fields.

Service commitment

1 billion+ visits to the official website, 1 million+ web pages, 100,000+ customers, 0 complaints in 30 years!

Contact us

Email: sales@chinatungsten.com

Tel: +86 592 5129696

Official website: www.tungsten-alloy.com



COPYRIGHT AND LEGAL LIABILITY STATEMENT

Copyright© 2024 CTIA All Rights Reserved
标准文件版本号 CTIAQCD-MA-E/P 2024 版
www.ctia.com.cn

电话/TEL: 0086 592 512 9696
CTIAQCD-MA-E/P 2018-2024V
sales@chinatungsten.com